

UNIVERSIDAD PERUANA LOS ANDES
FACULTAD DE INGENIERÍA
ESCUELA PROFESIONAL DE INGENIERÍA CIVIL



UPLA
UNIVERSIDAD PERUANA LOS ANDES

TESIS

**APLICACIÓN DE FIBRAS DE GUADUA ANGUSTIFOLIA EN
EL DISEÑO DE PAVIMENTOS RÍGIDOS**

**PARA OPTAR EL TÍTULO PROFESIONAL DE INGENIERO
CIVIL**

PRESENTADO POR:

Bach. Anderson Jhordenio Huamán Pérez

ASESOR:

Ing. Rando Porrás Olarte

LÍNEA DE INVESTIGACIÓN INSTITUCIONAL:

Transporte y Urbanismo

FECHA DE INICIO Y CULMINACIÓN:

Marzo – Noviembre

HUANCAYO – PERÚ NOVIEMBRE – 2021

HOJA DE DOCENTES REVISORES
UNIVERSIDAD PERUANA LOS ANDES
FACULTAD DE INGENIERÍA
ESCUELA PROFESIONAL DE INGENIERÍA CIVIL
TESIS

APLICACIÓN DE FIBRAS DE GUADUA ANGUSTIFOLIA EN EL DISEÑO DE
PAVIMENTOS RÍGIDOS

PRESENTADO POR:

Bac. Huamán Pérez, Anderson Jhordenio

PARA OPTAR EL TÍTULO PROFESIONAL DE:

Ingeniero Civil

ESCUELA PROFESIONAL DE INGENIERÍA CIVIL

APROBADA POR EL SIGUIENTE JURADO

PRESIDENTE : _____
Dr. RUBEN DARÍO TAPIA SILGUERA

PRIMER MIEMBRO : _____
Ing. MANUEL IVÁN MAITA PÉREZ

SEGUNDO MIEMBRO : _____
Ing. CARLOS ALBERTO GONZALES ROJAS

TERCER MIEMBRO : _____
Ing. LÍDIA BENIGNA LARRAZÁBAL SÁNCHEZ

SECRETARIO DOCENTE : _____
Mg. LEONEL UNTIVEROS PEÑALOZA

Huancayo, 20 de Febrero del 2022

DEDICATORIA

La presente investigación, está dedicado a mis padres, debido a su apoyo incondicional, que me otorgan día a día, con el único objetivo de conducirme hacia el camino correcto.

Bach. Huamán Pérez, Anderson Jhordenio

AGRADECIMIENTOS

- Agradezco a mis padres, hermanita Milagros, y a mi sobrino Deyvid, por formar y ser parte fundamental durante mi etapa de formación universitaria y profesional.
- A mi hermanita Esther Medalith, que en paz descansa, por su guía espiritual en cada decisión tomada día a día.
- A Mitchel Marco, por su voluntad de impartirme conocimientos avocados a la topografía.
- Al Ing. Javier Reynoso por su empatía de asesoramiento en el desarrollo del presente estudio.
- Finalmente, hacia mi persona, por mi perseverancia y voluntad empleado en la elaboración de la presente investigación.

Bach. Huamán Pérez, Anderson Jhordenio



UNIVERSIDAD PERUANA LOS ANDES
FACULTAD DE INGENIERÍA
DIRECCIÓN DE LA UNIDAD DE INVESTIGACIÓN



“Año del Fortalecimiento de la Soberanía Nacional”

EL DIRECTOR DE LA UNIDAD DE INVESTIGACIÓN DE LA
FACULTAD DE INGENIERÍA DEJA:

CONSTANCIA N° 222

Que, el (la) bachiller: **ANDERSON JHORDENIO, HUAMAN PEREZ**, de la Escuela Profesional de **INGENIERÍA CIVIL**, presentó la tesis denominada **“APLICACIÓN DE FIBRAS DE GUADUA ANGUSTIFOLIA EN EL DISEÑO DE PAVIMENTOS RÍGIDOS”**, la misma que cuenta con **172 Páginas**, ha sido ingresada por el **SOFTWARE – TURNITIN FEEDBACK STUDIO** obteniendo el **16%** de similitud.

Se expide la presente constancia para los fines pertinentes.

Huancayo 06 de julio del 2022



Dr. Santiago Zevallos Salinas
Director de la Unidad de Investigación

CONTENIDO

DEDICATORIA.....	III
AGRADECIMIENTOS.....	IV
CONSTANCIA TURNITIN	V
CONTENIDO.....	VI
ÍNDICE DE TABLAS	XII
ÍNDICE DE FIGURAS	XV
RESUMEN	XVII
ABSTRACT.....	XVIII
INTRODUCCIÓN	XIX
CAPÍTULO I	
EL PROBLEMA DE INVESTIGACIÓN	
1.1. Planteamiento del problema	22
1.2. Formulación y sistematización del problema	23
1.2.1. Problema General	23
1.2.2. Problemas Específicos	23
1.3. Justificación	24
1.3.1. Práctica	24
1.3.2. Teórica	24
1.3.3. Metodológica	24
1.4. Delimitaciones	25
1.4.1. Espacial.....	25
1.4.2. Temporal.....	25
1.4.3. Económica	25
1.5. Limitaciones	25
1.5.1. Limitaciones por Covid – 19	25
1.6. Objetivos.....	26
1.6.1. Objetivo General.....	26

1.6.2. Objetivos Específicos	26
------------------------------------	----

CAPITULO II

MARCO TEÓRICO

2.1. Antecedentes.....	27
2.1.1. Antecedentes Nacionales	27
2.1.2. Antecedentes Internacionales	32
2.2. Marco conceptual	36
2.2.1. Guadua Angustifolia (Bambú).....	36
2.2.2. Guadua Angustifolia.....	41
2.2.3. Agregados	45
2.2.3.1. Normativa de los Agregados.....	46
2.2.3.1.1. Método de Ensayo para Contenido de Humedad total de los Agregados – MTC E215.....	46
2.2.3.1.2. Peso Unitario y Vacío de los Agregados – MTC E203	47
2.2.3.1.3. Análisis Granulométrico de Agregados Grueso y Finos – MTC E204.	48
2.2.3.1.4. Gravedad Específica y Absorción de Agregados Finos – MTC E205..	49
2.2.3.1.5. Gravedad Específica y Absorción de Agregados Gruesos – MTC E206 50	
2.2.4. Concreto.....	52
2.2.4.1. Normativa del Concreto	54
2.2.4.1.1. Toma de muestras de Concreto Fresco – MTC E701	54
2.2.4.1.2. Elaboración y curado de especímenes de Hormigón (Concreto) en el Laboratorio – MTC E702.....	54
2.2.4.1.3. Resistencia a la Compresión Testigos Cilíndricos – MTC E704.....	55
2.2.4.1.4. Asentamiento del Concreto (Slump) – MTC E705.....	56
2.2.5. Suelos.....	57
2.2.6. Tráfico Vial.....	62
2.2.7. Pavimento Rígido	64

2.2.7.1. Condiciones del Diseño Estructural de Pavimentos Urbanos.....	68
2.2.7.2. Metodología de Diseño	68
2.3. Definición de Términos:.....	76
2.4. Hipótesis	76
2.4.1. Hipótesis General	76
2.4.2. Hipótesis Específicas	77
2.5. Variables.....	77
2.5.1. Definición conceptual de las variables	77
2.5.2. Definición operacional de las variables	77
2.5.3. Operacionalización de las variables	78
 CAPITULO III	
METODOLOGÍA	
3.1. Método de investigación.....	79
3.2. Tipo de Investigación:	79
3.3. Nivel de investigación:	80
3.4. Diseño de la investigación:.....	80
3.5. Población y muestra:	80
3.6. Técnicas e instrumentos de recolección de datos:	82
3.7. Procesamiento de la información	84
3.8. Técnicas y análisis de datos.....	85
 CAPITULO IV	
RESULTADOS	
4.1. Cuento y clasificación vehicular	86
4.1.1. Resumen de conteo y clasificación vehicular del día Lunes 26 de abril del 2021, en sentido Este a Oeste.....	87
4.1.2. Resumen de conteo y clasificación vehicular del día Martes 27 de abril del 2021, en sentido Este a Oeste.....	90

4.1.3. Resumen de conteo y clasificación vehicular del día Miércoles 28 de abril del 2021, en sentido Este a Oeste.....	93
4.1.4. Resumen de conteo y clasificación vehicular del día Jueves 29 de abril del 2021, en sentido Este a Oeste.....	96
4.1.5. Resumen de conteo y clasificación vehicular del día Viernes 30 de abril del 2021, en sentido Este a Oeste.....	99
4.1.6. Resumen de conteo y clasificación vehicular del día Sábado 01 de mayo del 2021, en sentido Este a Oeste.....	102
4.1.7. Resumen de conteo y clasificación vehicular del día Domingo 02 de mayo del 2021, en sentido Este a Oeste.....	105
4.2. Determinación de Número de repeticiones de Ejes Equivalentes.	108
4.2.1. Determinación de Ejes Equivalentes del Conteo Vehicular.	108
4.3. Resistencia a la Compresión.....	118
4.3.1. Resultados de Resistencia a Compresión de la Muestra Patrón a los 3, 7, 14 y 28 Días.	118
4.3.2. Resultados de Resistencia a Compresión de la Muestra Patrón + 0.5% de Fibra de Guadua Angustifolia a los 3, 7, 14 y 28 Días.....	122
4.3.3. Resultados de Resistencia a Compresión de la Muestra Patrón + 1.0% de Fibra de Guadua Angustifolia a los 3, 7, 14 y 28 Días.....	126
4.3.4. Resultados de Resistencia a Compresión de la Muestra Patrón + 1.5% de Fibra de Guadua Angustifolia a los 3, 7, 14 y 28 Días.....	130
4.4. Análisis Comparativo de Resistencia a la Compresión de los Diferentes Especímenes de concreto.	134
4.4.1. Resultados Comparativos de Resistencia a Compresión Obtenidas por las Muestras de Concretos Cilíndricas a la Edad de 3 Días.	134
4.4.2. Resultados Comparativos de Resistencia a Compresión Obtenidas por las Muestras de Concretos Cilíndricas a la Edad de 7 Días.	135
4.4.3. Resultados Comparativos de Resistencia a Compresión Obtenidas por las Muestras de Concretos Cilíndricas a la Edad de 14 Días.	137

4.4.4. Resultados Comparativos de Resistencia a Compresión Obtenidas por las Muestras de Concretos Cilíndricas a la Edad de 28 Días.	138
4.5. Análisis Comparativo de Valores de Resistencia a Compresión de los Diferentes Especímenes de Concreto.	139
4.5.1. Resultados Comparativos de Resistencia a Compresión de Muestras Cilíndricas de Concreto a la Edad de 3 Días, Expresadas en %.....	139
4.5.2. Resultados Comparativos de Resistencia a Compresión de Muestras Cilíndricas de Concreto a la Edad de 7 Días, Expresadas en %.....	141
4.5.3. Resultados Comparativos de Resistencia a Compresión de Muestras Cilíndricas de Concreto a la Edad de 14 Días, Expresadas en %.....	142
4.5.4. Resultados Comparativos de Resistencia a Compresión de Muestras Cilíndricas de Concreto a la Edad de 28 Días, Expresadas en %.....	143
4.5.5. Resumen General Promedio de Valores Adquiridos Durante los 3, 7, 14 Y 28 Días de Ensayo, Muestra Patrón vs Muestra Patrón + 0.5%, 1.0% y 1.5% de Fibras de Guadua Angustifolia.	144
4.6. Análisis de Resultados de Ensayo a Flexotracción (Módulo de Rotura).	147
4.6.1. Datos de Resistencia a Flexión del Concreto Endurecido ASTM C78, de la Viga Patrón, Ensayada a los 28 Días.	148
4.6.2. Datos de Resistencia a Flexión del Concreto Endurecido ASTM C78, de la Viga Patrón + 0.5% Fibra, Ensayada a los 28 Días.	149
4.6.3. Datos de Resistencia a Flexión del Concreto Endurecido ASTM C78, de la Viga Patrón + 1.0% Fibra, Ensayada a los 28 Días.	150
4.6.4. Datos de Resistencia a Flexión del Concreto Endurecido ASTM C78, de la Viga Patrón + 1.5% Fibra, Ensayada a los 28 Días.	151
4.6.5. Resumen Comparativo de Datos de Resistencia a Flexión del Concreto Endurecido ASTM C78, de la Viga Patrón vs Viga Patrón + 0.5%, 1.0% y 1.5% de Fibra, Ensayada a los 28 Días.	152
4.6.6. Comparativo de Datos de Resistencia a Flexión del Concreto Endurecido ASTM C78, de la Viga Patrón vs Viga Patrón + 0.5%, 1.0% y 1.5% de Fibra, Ensayada a los 28 Días, Expresados en %.	153

4.7. Análisis de Resultados de Módulo de Elasticidad.....	155
4.7.1. Resultados de Módulo de Elasticidad de la Muestra Patrón a las Edades de 3, 7, 14 y 28 Días.	155
4.7.2. Resultados de Módulo de Elasticidad de la Muestra Patrón + 0.5% de Fibra de Guadua Angustifolia a las Edades de 3, 7, 14 y 28 Días.	156
4.7.3. Resultados de Módulo de Elasticidad de la Muestra Patrón + 1.0% de Fibra de Guadua Angustifolia a las Edades de 3, 7, 14 y 28 Días.	157
4.7.4. Resultados de Módulo de Elasticidad de la Muestra Patrón + 1.5% de Fibra de Guadua Angustifolia a las Edades de 3, 7, 14 y 28 Días.	157
4.7.5. Resumen Comparativo de Módulo de Elasticidad de la Muestra Patrón vs Muestra Patrón + 0%, 0.5%, 1.0% y 1.5% de Fibra de Guadua Angustifolia a las Edades de 3, 7, 14 y 28 Días.	158
 CAPITULO V	
DISCUSIÓN DE RESULTADOS	
CONCLUSIONES	168
RECOMENDACIONES	169
REFERENCIAS BIBLIOGRÁFICAS	170
ANEXOS	173
Anexo 01: Matriz de Consistencia.....	174
Anexo 02: Matriz de Operacionalización de Variables.....	176
Anexo 03: Ensayos Realizados de Mecánica de Suelos.....	178
Anexo 04: Diseño de Mezcla $F'c=210\text{kg/cm}^2$ Muestra Patrón.....	188
Anexo 05: Diseño de Mezcla $F'c=210\text{kg/cm}^2$ Muestra Patrón + 0.5% de Fibra de Guadua Angustifolia	203
Anexo 06: Diseño de Mezcla $F'c=210\text{kg/cm}^2$ Muestra Patrón + 1.0% de Fibra de Guadua Angustifolia	213
Anexo 07: Diseño de Mezcla $F'c=210\text{kg/cm}^2$ Muestra Patrón + 1.5% de Fibra de Guadua Angustifolia	223
Anexo 08: Resultados de Resistencia a Flexotracción del concreto.....	233
Anexo 09: Certificados de Calibración de Equipos de Laboratorio.....	238
Anexo 10: Plano de Estación de Conteo vehicular.....	243
Anexo 11: Panel Fotográfico.....	245

ÍNDICE DE TABLAS

Tabla 1: <i>Módulo de Elasticidad</i>	38
Tabla 2: <i>Tamaño de la Muestra del Agregado</i>	47
Tabla 3: <i>Cantidad Mínima de Muestra de Agregado Grueso</i>	49
Tabla 4: <i>Peso Mínimo de la Muestra de Ensayo</i>	51
Tabla 5: <i>Número de Capas Requeridas en la Elaboración de las Muestras</i>	54
Tabla 6: <i>Diámetro de Varilla y Número de Golpes por Capa</i>	55
Tabla 7: <i>Especificaciones de Diámetro de la Cara de Carga</i>	55
Tabla 8: <i>Tolerancia de Edad de Ensayo de los Especímenes</i>	56
Tabla 9: <i>Número de Calicatas Para la Exploración de Suelos</i>	57
Tabla 10: <i>Clasificación de Suelos Según Tamaño de Partículas</i>	58
Tabla 11: <i>Clasificación de Suelos Según Índice de Plasticidad</i>	59
Tabla 12: <i>Clasificación de Suelos Según Equivalente de Arena</i>	59
Tabla 13: <i>Clasificación de Suelos Según Índice de Grupo</i>	60
Tabla 14: <i>Correlación de Tipos de Suelos AASHTO - SUCS</i>	61
Tabla 15: <i>Categorías de Subrasante</i>	62
Tabla 16: <i>Factores de Distribución Direccional y de Carril Para Determinar el Tránsito en el Carril de Diseño</i>	63
Tabla 17: <i>Número de Repeticiones Acumuladas de Ejes Equivalentes de 8.2t</i>	70
Tabla 18: <i>Número de Repeticiones Acumuladas de Ejes Equivalentes de 8.2t</i>	70
Tabla 19: <i>Número de Repeticiones Acumuladas de Ejes Equivalentes de 8.2t</i>	71
Tabla 20: <i>Índice de Serviciabilidad Inicial (Pi), Índice de Serviciabilidad Final. (Pt), Diferencial de Serviciabilidad Según Rango de Tráfico</i>	71
Tabla 21: <i>Valores de Nivel de Confiabilidad (R) y Desviación Estándar (Zr), Para un Periodo de Diseño de 20 Años</i>	72
Tabla 22: <i>CBR Mínimos Recomendados Para la sub Base Granular de Pavimentos Rígidos Según la Intensidad del Tráfico Expresado en EE</i>	73
Tabla 23: <i>Valores de Resistencia de Concreto Según la Demanda de Tráfico</i>	74
Tabla 24: <i>Condiciones de Drenaje</i>	75
Tabla 25: <i>Coefficiente de Drenaje de las Capas Granulares Cd</i>	75
Tabla 26: <i>Valores de Coeficiente de Transmisión de Carga J.</i>	75
Tabla 27: <i>Diseño de Investigación Causal Comparativo</i>	80

Tabla 28: <i>Población Para Resistencia a Compresión.</i>	81
Tabla 29: <i>Población Para Resistencia a Flexotracción.</i>	81
Tabla 30: <i>Población Para Asentamiento Resistencia a Compresión y Flexotracción.</i> ..	81
Tabla 31: <i>Resumen de Conteo Vehicular en la Estación de la Av. Pioneros con la Av. Fray Deunisio.</i>	87
Tabla 32: <i>Resumen de Conteo Vehicular en la Estación de la Av. Pioneros con la Av. Fray Deunisio.</i>	90
Tabla 33: <i>Resumen de Conteo Vehicular en la Estación de la Av. Pioneros con la Av. Fray Deunisio.</i>	93
Tabla 34: <i>Resumen de Conteo Vehicular en la Estación de la Av. Pioneros con la Av. Fray Deunisio.</i>	96
Tabla 35: <i>Resumen de Conteo Vehicular en la Estación de la Av. Pioneros con la Av. Fray Deunisio.</i>	99
Tabla 36: <i>Resumen de Conteo Vehicular en la Estación de la Av. Pioneros con la Av. Fray Deunisio.</i>	102
Tabla 37: <i>Resumen de Conteo Vehicular en la Estación de la Av. Pioneros con la Av. Fray Deunisio.</i>	105
Tabla 38: <i>Resumen de Datos de la Vía en Estudio.</i>	108
Tabla 39: <i>Resumen de Ejes Equivalentes Día Lunes 26 de Abril.</i>	109
Tabla 40: <i>Resumen de Ejes Equivalentes Día Martes 27 de Abril.</i>	110
Tabla 41: <i>Resumen de Ejes Equivalentes Día Miércoles 28 de Abril.</i>	111
Tabla 42: <i>Resumen de Ejes Equivalentes Día Jueves 29 de Abril.</i>	112
Tabla 43: <i>Resumen de Ejes Equivalentes Día Viernes 30 de Abril.</i>	113
Tabla 44: <i>Resumen de Ejes Equivalentes Día Sábado 01 de Mayo.</i>	114
Tabla 45: <i>Resumen de Ejes Equivalentes Día Domingo 02 de Mayo.</i>	115
Tabla 46: <i>Resumen General de Ejes Equivalentes Obtenidos.</i>	116
Tabla 47: <i>Resumen de Tráfico Semanal.</i>	117
Tabla 48: <i>Resistencia a Compresión a Distintas Edades del Concreto.</i>	119
Tabla 49: <i>Resumen de Resistencia a Compresión Promedio a Distintas Edades.</i>	119
Tabla 50: <i>Resistencia a Compresión a Distintas Edades del Concreto.</i>	123
Tabla 51: <i>Resumen de Resistencia a Compresión Promedio a Distintas Edades.</i>	123
Tabla 52: <i>Resistencia a Compresión a Distintas Edades del Concreto.</i>	127
Tabla 53: <i>Resumen de Resistencia a Compresión Promedio a Distintas Edades.</i>	127

Tabla 54: <i>Resistencia a Compresión a Distintas Edades del Concreto.</i>	131
Tabla 55: <i>Resumen de Resistencia a Compresión Promedio a Distintas Edades.</i>	131
Tabla 56: <i>Comparativo de Resistencia a Compresión a 3 Días de Ensayo.</i>	135
Tabla 57: <i>Comparativo de Resistencia a Compresión a 7 Días de Ensayo.</i>	136
Tabla 58: <i>Comparativo de Resistencia a Compresión a 14 Días de Ensayo.</i>	137
Tabla 59: <i>Comparativo de Resistencia a Compresión a 28 Días de Ensayo.</i>	138
Tabla 60: <i>Valores Porcentuales de Resistencia a Compresión Edad 3 Días.</i>	140
Tabla 61: <i>Valores Porcentuales de Resistencia a Compresión Edad 7 Días.</i>	141
Tabla 62: <i>Valores Porcentuales de Resistencia a Compresión Edad 14 Días.</i>	142
Tabla 63: <i>Valores Porcentuales de Resistencia a Compresión Edad 28 Días.</i>	143
Tabla 64: <i>Resumen General de Resistencia a compresión Según Días de Ensayo.</i>	144
Tabla 65: <i>Resumen General de Resistencia a compresión Según Días de Ensayo $f'_c(\%)$.</i> 146	
Tabla 66: <i>Datos Obtenidos de Resistencia a Flexión a la Edad de 28 Días.</i>	148
Tabla 67: <i>Datos Obtenidos de Resistencia a Flexión a la Edad de 28 Días.</i>	149
Tabla 68: <i>Datos Obtenidos de Resistencia a Flexión a la Edad de 28 Días.</i>	150
Tabla 69: <i>Datos Obtenidos de Resistencia a Flexión a la Edad de 28 Días.</i>	151
Tabla 70: <i>Resumen de Datos Obtenidos - Resistencia a Flexión.</i>	152
Tabla 71: <i>Comparativo de Resultados de Resistencia a Flexión (%)</i>	154
Tabla 72: <i>Módulo de Elasticidad de Concreto Muestra Patrón.</i>	155
Tabla 73: <i>Módulo de Elasticidad de Concreto Muestra Patrón + 0.5% Fibra.</i>	156
Tabla 74: <i>Módulo de Elasticidad de Concreto Muestra Patrón + 1.0% Fibra.</i>	157
Tabla 75: <i>Módulo de Elasticidad de Concreto Muestra Patrón + 1.5% Fibra.</i>	158
Tabla 76: <i>Resumen de Datos de Módulo de Elasticidad del Concreto.</i>	159

ÍNDICE DE FIGURAS

Figura 1: <i>Partes del Bambú</i>	37
Figura 2: <i>Partes del Tallo</i>	38
Figura 3: <i>Brote nuevo</i>	38
Figura 4: <i>Brote en Crecimiento</i>	39
Figura 5: <i>Tallo Tierno o Verde</i>	39
Figura 6: <i>Tallo Maduro</i>	40
Figura 7: <i>Tallo Sobremaduro</i>	40
Figura 8: <i>Guadua Angustifolia</i>	41
Figura 9: <i>Molde Para Determinar el Asentamiento</i>	56
Figura 10: <i>Variación Horaria, Hora Pico de Demanda Vehículos Livianos.</i>	88
Figura 11: <i>Variación Horaria, Hora Pico de Demanda Vehículos Pesados.</i>	89
Figura 12: <i>Variación Horaria, Hora Pico de Demanda Vehículos Livianos.</i>	91
Fuente: Elaboración Propia.....	91
Figura 13: <i>Variación Horaria, Hora Pico de Demanda Vehículos Pesados.</i>	92
Fuente: Elaboración Propia.....	92
Figura 14: <i>Variación Horaria, Hora Pico de Demanda Vehículos Livianos.</i>	94
Fuente: Elaboración Propia.....	94
Figura 15: <i>Variación Horaria, Hora Pico de Demanda Vehículos Pesados.</i>	95
Fuente: Elaboración Propia.....	95
Figura 16: <i>Variación Horaria, Hora Pico de Demanda Vehículos Livianos.</i>	97
Fuente: Elaboración Propia.....	97
Figura 17: <i>Variación Horaria, Hora Pico de Demanda Vehículos Pesados.</i>	98
Fuente: Elaboración Propia.....	98
Figura 18: <i>Variación Horaria, Hora Pico de Demanda Vehículos Livianos.</i>	100
Fuente: Elaboración Propia.....	100
Figura 19: <i>Variación Horaria, Hora Pico de Demanda Vehículos Pesados.</i>	101
Fuente: Elaboración Propia.....	101
Figura 20: <i>Variación Horaria, Hora Pico de Demanda Vehículos Livianos.</i>	103
Fuente: Elaboración Propia.....	103
Figura 21: <i>Variación Horaria, Hora Pico de Demanda Vehículos Pesados.</i>	104
Fuente: Elaboración Propia.....	104
Figura 22: <i>Variación Horaria, Hora Pico de Demanda Vehículos Livianos.</i>	106

Fuente: Elaboración Propia.....	106
Figura 23: <i>Variación Horaria, Hora Pico de Demanda Vehículos Pesados</i>	107
Fuente: Elaboración Propia.....	107
Figura 24: <i>Resumen de Ejes Equivalentes en la Estación de Conteo Vehicular</i>	116
Figura 25: <i>Resumen General de Tráfico Semanal Según Tipo de Vehículo</i>	117
Figura 26: <i>Resumen Promedio de Resistencia a Compresión</i>	120
Figura 27: <i>Porcentaje de Resistencia a Compresión Alcanzado</i>	121
Figura 28: <i>Resumen Promedio de Resistencia a Compresión</i>	124
Figura 29: <i>Porcentaje de Resistencia a Compresión Alcanzado</i>	125
Figura 30: <i>Resumen Promedio de Resistencia a Compresión</i>	128
Figura 31: <i>Porcentaje de Resistencia a Compresión Alcanzado</i>	129
Figura 32: <i>Resumen Promedio de Resistencia a Compresión</i>	132
Figura 33: <i>Porcentaje de Resistencia a Compresión Alcanzado</i>	133
Figura 34: <i>Comparación de Resistencia a Compresión de Testigos</i>	135
Figura 35: <i>Comparación de Resistencia a Compresión de Testigos</i>	136
Figura 36: <i>Comparación de Resistencia a Compresión de Testigos</i>	138
Figura 37: <i>Comparación de Resistencia a Compresión de Testigos</i>	139
Figura 38: <i>Valor Adquirido de Resistencia a Compresión</i>	140
Figura 39: <i>Valor Adquirido de Resistencia a Compresión</i>	141
Figura 40: <i>Valor Adquirido de Resistencia a Compresión</i>	142
Figura 41: <i>Valor Adquirido de Resistencia a Compresión</i>	143
Figura 42: <i>Resumen General de valores de Resistencia a Compresión a Diferentes Edades</i>	145
Figura 43: <i>Resumen General de Resistencia a Compresión $f'c(\%)$ a Diferentes Edades</i> .	146
Figura 44: <i>Fuerza vs Deformación de Ensayo a Flexión</i>	148
Figura 45: <i>Fuerza vs Deformación de Ensayo a Flexión</i>	149
Figura 46: <i>Fuerza vs Deformación de Ensayo a Flexión</i>	150
Figura 47: <i>Fuerza vs Deformación de Ensayo a Flexión</i>	151
Figura 48: <i>Fuerza vs Deformación de Ensayo a Flexión</i>	153
Figura 49: <i>Fuerza vs Deformación de Ensayo a Flexión</i>	154
Figura 50: <i>Comparativo de Módulo de Elasticidad del concreto</i>	160

RESUMEN

En la presente investigación el problema general fue ¿Cuál es el resultado de la aplicación de las fibras de Guadua Angustifolia en el Diseño de Pavimentos Rígidos?, para lo cual el objetivo general fue: Aplicar las fibras de Guadua Angustifolia en el Diseño de Pavimentos Rígidos, asimismo la hipótesis que se debe de contrastar es: La aplicación de fibras de Guadua Angustifolia reduce las propiedades mecánicas del concreto para el Diseño de Pavimentos Rígidos.

El estudio de esta investigación fue desarrollada por el Método Científico, el tipo de investigación fue Aplicada, el nivel tuvo caracter Explicativo y el diseño Causal Comparativo, la Población tendrá una correspondencia a 60 Ensayos realizados en laboratorio.

Según la presente investigación se concluye que la Resistencia a compresión mayor alcanzada fue por la Muestra Patrón a diferencia de la Muestra Patrón con adición del 0.5%, 1.0% y 1.5% de Fibra de Guadua Angustifolia, por otra parte, la que adoptó la mayor Resistencia a Flexotracción fue la Viga Patrón con adición del 0.5% de Fibra de Guadua Angustifolia, con respecto a la Viga Patrón y finalmente podemos concluir que el cálculo del Módulo de Elasticidad es directamente Proporcional a la Resistencia a Compresión.

Palabras clave: Fibras, Guadua Angustifolia, Concreto, Transitabilidad vehicular y Diseño de Pavimento Rígido.

ABSTRACT

In the present investigation the general problem was: What is the result of the application of Guadua Angustifolia fibers in the Design of Rigid Pavements?, for which the general objective was: Apply the Guadua Angustifolia fibers in the Design of Rigid Pavements Likewise, the hypothesis that must be tested is: The application of Guadua Angustifolia fibers reduces the mechanical properties of concrete for the Design of Rigid Pavements.

The study of this research was developed by the Scientific Method, the type of research was Applied, the level had an Explanatory character and the design was comparative causal, the Population will correspond to 60 tests carried out in the laboratory.

According to the present investigation, it is concluded that the highest compressive strength achieved was by the Standard Sample as opposed to the Standard Sample with addition of 0.5%, 1.0% and 1.5% of Guadua Angustifolia Fiber, on the other hand, the one that adopted the highest Resistance to Flexotraction was the Standard Beam with the addition of 0.5% of Guadua Angustifolia Fiber, with respect to the Standard Beam and finally we can conclude that the calculation of the Modulus of Elasticity is directly proportional to the Compressive Strength.

Keywords: Fibers, Guadua Angustifolia, Concrete, Vehicular traffic and Rigid Pavement Design.

INTRODUCCIÓN

En la actualidad, el sector ingenieril de transportes requiere el uso y la explotación de diversas materias primas, para el empleo de insumos en los pavimentos tanto en vías nacionales y locales, es por esa razón que la presente investigación titulada “Aplicación de Fibras de Guadua Angustifolia en el Diseño de Pavimentos Rígidos”, tiene como propósito usar la materia de la Guadua Angustifolia en beneficio del Pavimento Rígido, puesto que esta materia actualmente se considera como el acero del siglo XXI, así como por presentar buenas propiedades fisico-mecánicas, cuando entra en contacto con el concreto hidráulico.

La presente tesis a sido desarrollada respecto a las dimensiones de las variables tal como “Guadua Angustifolia”, la cual tiene como dimensión el “porcentaje”, los cuales se han tomado de antecedentes de esta misma índole de investigación, seguido por la variable dependiente “Diseño de Pavimento Rígido”, que tiene por dimensiones: Resistencia a la Compresión, que se ha desarrollado el ensayo de rotura para la obtención de resultados, seguido por la Resistencia a la Flexotracción, que también al igual que el ensayo anterior se ha realiza el módulo de rotura para obtener los resultados y finalmente el Módulo de Elasticidad del Concreto, que esto si ha involucrado el cálculo matemático del empleo de la fórmula establecida por la norma E-060 RNE, las cuales han sido elementos importantes para la interpretación de los resultados en el desarrollo de esta investigación, por medio del análisis de tablas y figuras.

En seguida la presente investigación se encuentra organizado jerárquicamente en capítulos que han sido claves para el desarrollo de la presente tesis, por ende se describiran a continuación estos capítulos:

Capítulo I, considerado como “El problema de investigación”, donde se plantean los siguientes items: el planteamiento de la realidad problemática, la formulación y sistematización del problema, ya sea de carácter general y específicos, la justificación de la investigación, las delimitaciones que se tienen en la presente investigación, limitaciones y los objetivos que se pretenden alcanzar en este estudio.

Capítulo II, considerado como “Marco Teórico”, donde se plantean los siguientes items: Antecedentes de investigaciones nacionales e internacionales que ayudan a encaminar el presente estudio, marco conceptual donde se plantean los criterios básicos de los aspectos técnicos, conceptuales y normativos de acuerdo al estudio a investigar, definición de términos, planteamiento de hipótesis y el desarrollo de las variables.

Capítulo III, considerado como “Metodología”, donde se tratan de plantear los siguientes items: El método de investigación, Tipo de investigación, Nivel de investigación, Diseño de investigación, Población y muestra, Técnicas e instrumentos de recolección de datos, Procesamiento de la información y las Técnicas y análisis de datos.

Capítulo IV, considerado como “Resultados”, donde en este item se pretenden plantear el desarrollo organizado de los diversos datos recolectados en campo y en laboratorio, haciendo uso de la estadística con el manejo de tablas y figuras para su análisis, siendo este un capítulo importante para el planteamiento de discusión de resultados.

Capítulo V, considerado como “Discusión de Resultados”, donde se pretenden discutir la hipótesis planteada, según los resultados obtenidos respecto a los antecedentes nacionales e internacionales tomados en la presente investigación, que se encuentran sujetos al desarrollo del capítulo IV.

Finalmente se plantearon las conclusiones, recomendaciones, referencias bibliograficas y anexos adoptados en el desarrollo de esta investigación.

Bach. Huamán Pérez, Anderson Jhordenio

CAPÍTULO I

EL PROBLEMA DE INVESTIGACIÓN

1.1. Planteamiento del problema

A nivel internacional los proyectos de ingeniería, la cual involucra el uso del concreto reforzado, ha sido un problema, puesto que para su fabricación de insumos se requiere muchos procesos, y más aún por ser uno de los agentes contaminantes del medio ambiente, las cuales nos conllevan a emplear materias primas alternativas, como es el caso de la *Guadua Angustifolia* (bambú), que se ha empleado en la presente investigación (Bejarano, 2019, p. 14).

Al ser de origen natural, económico, eco amigable y sustentable, además de poseer buenas propiedades físico – mecánicas, según estudios realizados recientemente, esta materia requiere pocos procesos para su utilización y se encuentra al alcance de la economía del ser humano.

A nivel nacional la infraestructura del sector vial, es un ente importante que determina el desarrollo económico y sustentable de un país, más aún con el tipo de diseño del pavimento rígido. Y esto es una problemática a solucionar, puesto que se emplean tecnologías que requieren varios procesos para su utilización en el concreto reforzado.

Viendo las nuevas prácticas del diseño de pavimentos rígidos a nivel local, la Guadua Angustifolia no tiene usos en el aspecto vial, a pesar de la gran cantidad existente inutilizable en la zona de estudio y esto es una problemática en el uso de esta materia, puesto que no se han realizado estudios para su empleo en el diseño de pavimentos rígidos.

También es necesario mencionar que esta materia se puede encontrar en la Amazonía del Perú y, asimismo en otras regiones, como es el caso de la provincia de Chanchamayo, Distrito de la Merced.

Por ende, la presente investigación realizó los análisis de estas fibras, con la adición del concreto, de modo que se pueda aplicar esta fibra como una alternativa para el diseño de pavimentos rígidos.

1.2. Formulación y sistematización del problema

1.2.1. Problema General

¿Cuál es el resultado de la aplicación de las fibras de guadua angustifolia en el diseño de pavimentos rígidos?

1.2.2. Problemas Específicos

- a. ¿Cuáles son los resultados de la aplicación de fibras de guadua angustifolia en la resistencia a compresión?
- b. ¿Qué resulta de la aplicación de las fibras de guadua angustifolia en la resistencia a flexotracción?
- c. ¿Qué resultado se obtiene de la aplicación de fibras de guadua angustifolia en el módulo de elasticidad?

1.3. Justificación

1.3.1. Práctica

La presente investigación tuvo como propósito aplicar la Guadua Angustifolia, en el concreto reforzado, para el diseño de pavimentos rígidos, puesto que el Distrito y Provincia de Chanchamayo, Departamento de Junín, cuenta con esta especie forestal no maderable, además tiene la posibilidad de reutilizar restos sobrantes de la artesanía, así como su proceso de elaboración requiere pocos procesos a diferencia de otras materias, a fin de tener pavimentos adecuados para la transitabilidad vehicular en beneficio de la sociedad.

1.3.2. Teórica

El presente estudio tuvo como justificación teórica, realizar una investigación en la zona de estudio, la cual involucra el empleo de esta materia en el concreto, ya que actualmente no existe ningún tipo de estudio de esta índole.

Por tanto, para su análisis se requiere el uso de teorías y/o conocimientos científicos, los cuales ayudarán a corroborar el propósito planteado. Asimismo, esta investigación servirá como sustento técnico, teórico, práctico y científico para futuras investigaciones de esta misma índole de investigación.

1.3.3. Metodológica

La presente investigación propuso una nueva metodología para plantear nuevas alternativas de diseño de pavimentos rígidos con el

empleo de la Guadua Angustifolia conjuntamente con el concreto, para así otorgar una adecuada resistencia a la estructura del pavimento.

1.4. Delimitaciones

1.4.1. Espacial

La presente investigación se realizó en la obra Mejoramiento de vías urbanas en la Av. Pioneros; entre los tramos Av. Perú, Jr. María Arguedas – Distrito de la Merced, Provincia de Chanchamayo – Junín.

1.4.2. Temporal

La delimitación temporal de esta investigación se realizó durante el mes de marzo hasta el mes de noviembre del 2021.

1.4.3. Económica

El costo asumido en la presente investigación, fue específicamente en su totalidad por el autor.

1.5. Limitaciones

1.5.1. Limitaciones por Covid – 19

En la presente investigación se han tenido algunas limitaciones, con respecto a la obtención de datos de campo, así como la adquisición de insumos para la preparación y ejecución de los diversos ensayos de laboratorio, esto debido a las restricciones planteadas por el gobierno central, pese a ello se ha logrado realizar todos los ensayos.

1.6. Objetivos

1.6.1. Objetivo General

Aplicar las fibras de guadua angustifolia en el diseño de pavimentos rígidos.

1.6.2. Objetivos Específicos

- a. Determinar los resultados de la aplicación de fibras de guadua angustifolia en la resistencia a compresión.
- b. Evaluar el resultado de la aplicación de las fibras de guadua angustifolia en la resistencia a flexotracción.
- c. Analizar el resultado de la aplicación de fibras de guadua angustifolia en el módulo de elasticidad.

CAPITULO II

MARCO TEÓRICO

2.1. Antecedentes

2.1.1. Antecedentes Nacionales

Bandy Basilio Salvatierra Vega (2019), en el estudio de su investigación “Aplicación del bambú en el reforzamiento del concreto para medir el comportamiento estructural de una vivienda de 2 pisos en cañete – 2019”, plantea como **problema general**: ¿Cómo la aplicación del bambú intervendría en el comportamiento estructural de una vivienda de 2 pisos en Cañete - 2019?, también plantea como **objetivo general** evaluar si la aplicación del bambú interviene en el comportamiento estructural de una vivienda de 2 pisos en Cañete - 2019, además la **metodología** empleada es el método hipotético – deductivo, ya que se partirá de hipótesis y luego mediante la deducción se comprobará la veracidad o falsedad de estas, asimismo determinó la siguiente **conclusión** las derivas inelásticas obtenidas en la vivienda reforzada con acero en la dirección X son de 0.6372 % y 0.4290 % en el piso 1 y 2, respectivamente, en la dirección Y son de 0.6414 % y 0.4320 % en el piso 1 y 2, respectivamente. En cuanto a

la vivienda reforzada con bambú las derivas inelásticas resultantes en el eje X son de 0.4752 % y 0.3090 % en el piso 1 y 2, respectivamente, en la dirección Y son de 0.4770 % y 0.3108 % en el piso 1 y 2, respectivamente; se observa que las derivas obtenidas de la vivienda reforzada con bambú son menores a las obtenidas de la vivienda reforzada con acero debido a los valores obtenidos de los esfuerzos mecánicos del bambú y finalmente tiene la siguiente **recomendación** debido a que la estructura se ubica en una zona con suelos blandos y posee cobertura liviana, se recomienda diseñar una platea de cimentación, con el fin de evitar el asentado de la estructura.

Wilder Roger Vargas Vásquez (2016), en el estudio de su investigación “Vigas de concreto reforzadas con bambú (Guadua Angustifolia) para construcciones rurales”, plantea como **problema general**: la baja adherencia entre el bambú y el concreto, la cual se debe principalmente al aumento del volumen del bambú con la humedad al embeberse en el concreto fresco y su posterior contracción al secarse, esto origina que se produzca grietas en la superficie del concreto y la pérdida de la adherencia entre los dos materiales, también plantea como **objetivo general** proponer un tratamiento alternativo que permita mejorar la adherencia y el consecuente uso del bambú como refuerzo longitudinal en vigas de concreto que cumplan con los parámetros de resistencia y deformaciones admisibles para una vivienda típica en la zona rural, además la **metodología** para establecer la capacidad que tienen los elementos del bambú para ser utilizados como elementos de concreto, se realizaron pruebas de

laboratorio tanto en el bambú como en la vigas de concreto reforzadas para determinar el comportamiento de ambos materiales en conjunto, asimismo determinó la siguiente **conclusión** el empleo de tablillas acanaladas e impermeabilizadas con asfalto líquido RC-250 y aditamento de arena media es una forma eficiente de mejorar la adherencia entre el concreto y el refuerzo del bambú debido a que este tipo de tratamiento fue el mejor esfuerzo de adherencia obtuvo, logrando un esfuerzo promedio de 6.7kg/cm². Verificando de esta forma que el acanalamiento longitudinal le otorga una mayor fricción y acuñaamiento y finalmente tiene la siguiente **recomendación** evaluar la interacción entre el concreto y el asfalto, dado que el concreto tiene características alcalinas y puede tener influencia en la película impermeable del refuerzo de bambú, lo cual no se contempló en esta investigación.

Marco Eduardo Montalvo Guevara (2015), en el estudio de su investigación “Pavimentos rígidos reforzados con fibras de acero versus pavimentos tradicionales”, plantea como **problema general**: cómo se vienen dando las investigaciones del concreto, y de las adiciones que mejoran sus características, también plantea como **objetivo general** proporcionar información, criterios generales y nuevas metodologías para el dimensionamiento, proyecto y ejecución de obras de pavimentos reforzados con fibras, asimismo determinó la siguiente **conclusión** una de las diferencias que se pueden encontrar en los parámetros de diseño es la propiedad del concreto: en el PCA se utiliza el módulo de rotura del concreto y en el TR-34 la resistencia

a compresión, sin embargo, en este último, el software PAVE 2008 tiene una base de datos el cual tiene una correlación entre estas dos propiedades de concreto. Por otro lado, cuando se diseña con la PCA el espesor del pavimento por cargas vehiculares, un requerimiento es el número de pasadas aproximadas que va a tener el vehículo, sin embargo, en la TR-34 se utiliza la escena más desfavorable o la carga más grande en la vida útil del pavimento ya que se trabaja con límites de esfuerzo y finalmente tiene la siguiente **recomendación** de acuerdo con el análisis efectuado tanto técnico como económicamente, se recomienda la utilización de concreto reforzado con fibras en la colocación en losas de pisos y pavimentos donde exigen una alta sollicitaciones de carga pesada.

Tania Palmira Flores zuta y Jhordan Rojas Torres (2021), en su trabajo de investigación “Evaluación del concreto $f'c = 175 \text{ kg/cm}^2$ reforzado con fibras de guadua angustifolia kunt, para mejorar su resistencia a la compresión. Moyobamba 2020-2021”, plantearon como **problema general**: ¿Es posible mejorar la resistencia a la compresión del concreto $f'c = 175 \text{ kg/cm}^2$ al aplicar fibra de guadua angustifolia kunt, Moyobamba 2021?, también plantearon como **objetivo general** Evaluar la resistencia a la compresión del concreto $f'c = 175 \text{ kg/cm}^2$ al incorporar fibra de guadua angustifolia kunt, Moyobamba 2021, además la **metodología** empleada es una investigación aplicada y el diseño de investigación experimental, debido a la manipulación de la variable independiente con el principal motivo de valorar la consecuencia de la adición de la fibra de guadua angustifolia kunth,

en un concreto $F'c=175 \text{ Kg/cm}^2$, mediante diversos ensayos a compresión, asimismo determinó la siguiente **conclusión** El diseño óptimo que se obtuvo en los ensayos para un concreto $f'c= 175 \text{ kg/cm}^2$ fue con la adicionando 2% de guadua angustifolia kunt, de las cuales se llegó a alcanzar la resistencia máxima de 199.73 kg/cm^2 , una resistencia a la compresión superior a la de los otros diseños en los veintiocho días. La dosificación utilizada para las 09 probetas que se realizaron con dicha adición fue de 14.945 kg de cemento, 32.26 kg de agregado fino, 57.22 kg de agregado grueso, 9.69 kg de agua y 0.305 kg de guadua y finalmente planteó la siguiente **recomendación** se recomienda el uso de guadua en un porcentaje menor de 2%. Ya que al porcentaje de adición de 4% la resistencia es desfavorable.

Elmer Rafael Aliaga Sánchez (2021), en el estudio de su investigación “Comportamiento estructural de una viga de concreto en Flexión, sometida a una carga puntual en el centro de luz Incorporando como refuerzo principal al bambú y de una Viga de concreto reforzada con acero, mediante ensayo Experimental en laboratorio”, plantea como **problema general**: ¿Cuál es el comportamiento estructural de una viga de concreto en flexión incorporando como refuerzos principales al bambú y al refuerzo convencional o acero, mediante ensayo experimental?, también plantea como **objetivo general** Determinar el comportamiento estructural de una viga de concreto en flexión incorporando como refuerzos principales al bambú y al refuerzo convencional o acero, mediante ensayo experimental en laboratorio, además la **metodología** empleada fue de tipo cuasi experimental

comparativa, asimismo determinó la siguiente **conclusión** el comportamiento estructural en el ensayo a flexión de la viga reforzada con bambú, el refuerzo de bambú siguió desarrollándose tal y como muestra el Grafico N° 46, después de ocurrida la falla en el concreto, desde los 10 mm hasta los 32.5mm, con un valor de ductilidad de 3.25, mientras que en la viga de concreto reforzada con acero (M-3) se muestra una ductilidad de curvatura de 5.14 tal como se indica en la tabla N° 01; ambos resultados muestran, el comportamiento dúctil de ambos materiales de refuerzo, aunque el acero es 58% mayor que el del bambú y finalmente planteó la siguiente **recomendación** seguir investigando y sobre todo realizar ensayos experimentales del bambú de la especie guadua angustifolia como material de refuerzo en vigas, para tener mayor información sobre el comportamiento del bambú ante esfuerzos en flexión.

2.1.2. Antecedentes Internacionales

Daniel Fernando Bejarano Vigoya (2019), en el estudio de su investigación “Estudio de la Resistencia mecánica del concreto reforzado con fibras de Guadua Angustifolia Kunt”, plantea como **problema general**: ¿Cuáles aspectos se deben tener en cuenta para determinar la mezcla (agua, cemento, agregados) con mejor resultado y poder determinar la resistencia mecánica del concreto reforzado con fibras de Guadua Angustifolia Kunth?, también plantea como **objetivo general** realizar el análisis de la resistencia mecánica en cilindros de Concreto reforzados con fibras de Guadua Angustifolia

Kunth, partiendo de una mezcla inicial de concreto sin fibras, estableciendo un análisis comparativo, además la **metodología** empleada es una investigación de tipo experimental, en la cual se realizaron pruebas de laboratorio aplicando los principios del método científico, para analizar los resultados encontrados. Por lo cual, se realizaron ensayos de laboratorio en los cuales se adicionó un porcentaje de fibras de guadua Angustifolia Kunth en su estado natural y otro porcentaje de fibras de guadua expuestas a radiación UVB, a una mezcla de concreto de cemento hidráulico; para luego realizar el estudio de la resistencia mecánica máxima de las muestras, y determinar si se puede usar la guadua como reforzante del concreto, asimismo determinó la siguiente **conclusión** la adición de fibras de guadua angustifolia Kunth en estado natural (CH=10.8%) a la muestra de concreto, mejoró la resistencia a la compresión del concreto en comparación con el concreto estándar, como también la adición de fibras de guadua angustifolia Kunth expuestas a radiación UVB (CH=10.8%) fue el mejor resultado de las 4 muestras de concreto que se prepararon, su resistencia a 28 días de curado sobrepasó el porcentaje esperado siendo este el valor de 113.4% (3.402 psi) y finalmente tiene la siguiente **recomendación** se recomienda realizar una investigación que analiza el comportamiento del concreto con porcentajes menores que el propuesto (123gr.), así como se recomienda realizar una investigación en la cual se estudie la guadua en estado natural y la guadua expuesta a radiación UVB, realizando pruebas de composición físico química, para determinar variaciones

que puedan dar respuesta al aumento de la resistencia del concreto reforzado con fibras de guadua expuestas.

Camilo Ernesto Conde Sepúlveda y Nilson Ricardo Bonilla Vargas (2019), en su trabajo de investigación “Evaluación del comportamiento físico – mecánico de un concreto hidráulico con adición de fibras de Guadua Angustifolia Kunt”, plantearon como **problema general**: ¿Cuál sería el comportamiento físico – mecánico del concreto hidráulico adicionando diferentes cantidades de fibras de guadua Angustifolia Kunth?, también plantearon como **objetivo general** evaluar del comportamiento físico – mecánico de un concreto hidráulico adicionando diferentes cantidades de fibras de guadua Angustifolia Kunth, además la **metodología** empleada es descriptiva con enfoque cualitativo y cuantitativo. Para capturar información útil al proyecto se seguirán los parámetros establecidos en la normativa INVIAS y NTC vigentes, asimismo determinaron la siguiente **conclusión** las propiedades físicas y mecánicas determinadas en los materiales gruesos y finos extraídos para esta investigación, si bien cumplen con las especificaciones y recomendaciones de la normativa INVIAS, no presentan características favorables para un espécimen de las dimensiones disponibles en laboratorio. Lo anterior se debe a que el agregado grueso cubre grandes espacios que generan una importante retención de aire bajo el mismo, generando pérdidas de resistencia a flexión y posiblemente a la compresión de los especímenes creados, como también el comportamiento físico – mecánico evaluado en un concreto hidráulico de 4000 psi adicionado

con diferentes cantidades de fibras de guadua *Angustifolia Kunth*, refleja la notoria reducción de resistencia a la flexión en los especímenes modificados. Aunque la resistencia de las viguetas es directamente proporcional y ascendente con los tiempos de rotura especificados, ninguna resistencia de las dos (2) muestras modificadas supera la de la muestra patrón, que es en esencia un Concreto hidráulico de 4000psi sin adiciones y/o modificaciones, y finalmente tiene la siguiente **recomendación** se recomienda fibras de guadua de menor longitud, ya que existe la posibilidad que el espacio ocupado de éstas dentro del espectro longitudinal de resistencia afecte de manera importante la resistencia a la flexión de los especímenes de concreto hidráulico analizados.

John Sebastián Martínez Morales y Jessica Alejandra Poveda Jaramillo (2018), en su trabajo de investigación “Evaluación de la utilización de las fibras de guadua como refuerzo del concreto para minimizar el proceso de fisuración”, plantearon como **problema general**: ¿Es probable minimizar el proceso de fisuración del concreto con la ayuda de fibras de origen natural (guadua)?, también plantearon como **objetivo general** analizar el desempeño del concreto reforzado con fibras de guadua, por medio de ensayos de resistencia, con el fin de determinar la viabilidad de reemplazar las fibras sintéticas por las de origen natural, además la **metodología** empleada es partiendo de la recolección de toda la información, desarrollo del marco teórico y antecedentes sobre concreto reforzado con diversos tipos de fibra natural de esta manera se podrá determinar el diseño de la mezcla,

dosificaciones y futuras aplicaciones para el concreto reforzado con fibras de guadua, asimismo determinaron la siguiente **conclusión** para llevar a cabo el comparativo entre los tres tipos de mezcla se utilizó la misma cantidad de material para la realización de cada una de ellas, la adición de fibras correspondió a 1% con respecto al peso total del concreto, se logró evidenciar que el concreto con adición de fibras tuvo un índice de absorción de agua mayor, como también el concreto sin adición de fibras fue mucho más trabajable revelando la presencia de vacíos poco representativos en los testigos, caso contrario se pudo evidenciar en los cilindros de concreto con fibras de guadua en los cuales se detectaron vacíos de gran importancia, y finalmente tiene la siguiente **recomendación** en este trabajo investigativo se plantea la utilización de fibras de guadua en el concreto para minimizar el proceso de fisuración, para ello se realizaron ensayos a tracción indirecta con el fin de determinar la incidencia de las fibras en este proceso de ensayo, así como se recomienda mantener la proporción de 1% de adición de fibras de guadua y tamaño utilizado en este trabajo investigativo teniendo en cuenta que la dosificación del agua debe ser mayor lo cual permita una mejor trabajabilidad de la mezcla y así garantizar un mejor estado de los elementos al momento del desencoframiento.

2.2. Marco conceptual

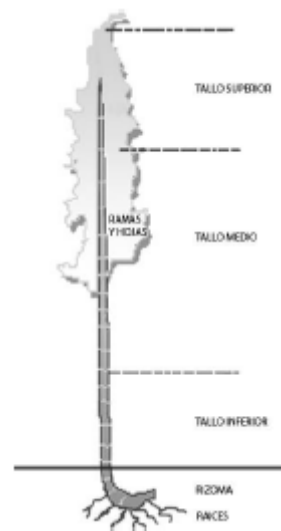
2.2.1. Guadua Angustifolia (Bambú)

a) Bambú o planta de Bambú

El bambú se designa como a un conjunto de especies que pertenece a la familia gramíneas (poaceae). Por otra parte, esta materia tiene la propiedad de desarrollarse desde 1m de largo en el tallo, incluso hasta tener un alto de 25m, las cuales son consideradas como gigantescas. Asimismo, tener un diámetro de 1/2cm hasta los 30cm, además de tener un crecimiento muy rápido por día.

Este recurso tiene la característica de ser leñoso, pertenece a la familia poaceae, así como a la sub familia bambusoideae (Mvcs, 2012, p. 4).

Figura 1: Partes del Bambú



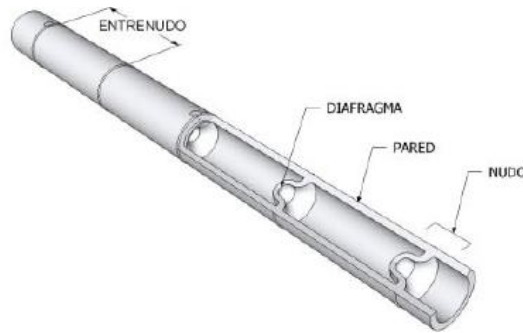
Fuente: Mvcs, 2012, pág. 4.

b) Caña de Bambú

La caña de esta materia prima, está conformada por el tallo, la cual presenta la característica de ser hueco, asimismo de poseer varios nudos. También la cual consta de las siguientes partes:

- NUDO: Parte o estructura del tallo que lo divide en secciones por medio de diafragmas.
- ENTRENUDO: Parte de la caña comprendida entre dos nudos.
- DIAFRAGMA: Membrana rígida que forma parte del nudo y divide el interior de la caña en secciones.
- PARED: Parte externa del tallo formada por tejido leñoso. (Mvcs, 2012, p.4).

Figura 2: Partes del Tallo



Fuente: Mvcs, 2012, pág. 5.

c) Módulo de Elasticidad

Para el empleo del bambú, se debe considerar el siguiente criterio en cuanto al módulo de elasticidad, como la que se consigna en la Tabla 1 (Mvcs, 2012, p. 8).

Tabla 1: Módulo de Elasticidad

Módulo De Elasticidad (E)	
E _{prom}	E _{min}
9500 Mpa (95000Kg/cm ²)	7300Mpa (73000Kg/cm ²)

Fuente: Mvcs, 2012, pág. 8.

d) Estado de Madurez

- Brote Nuevo:

“Los tallos nuevos del bambú se llaman brotes y nacen del rizoma. Los brotes nacen protegidos por vainas de color café llamadas, hojas caulinares” (Morán, 2015, p. 12).

Figura 3: Brote nuevo



Fuente: Morán, 2015, pág. 12.

- **Brote en Crecimiento:**

“Antes de un año de edad, los brotes llegan a su altura máxima, pero conservan sus hojas caulinares. A medida que las hojas caulinares se desprenden, se debe realizar la marcación de la caña” (Morán, 2015, p. 12).

Figura 4: *Brote en Crecimiento*



Fuente: Morán, 2015, pág. 12.

- **Tallo Tierno o Verde:**

“Cuando el tallo tiene entre 1 y 3 años, ha perdido sus hojas caulinares y se distingue por su color verde brillante. En esta fase el tallo es aún demasiado tierno para su uso en la construcción” (Morán, 2015, p. 12).

Figura 5: *Tallo Tierno o Verde*



Fuente: Morán, 2015, pág. 12.

- **Tallo Maduro:**

“Cuando el tallo tiene más de 4 años, está listo para su corte y aprovechamiento. Se dice que está “maduro” y se le distingue por su color verde opaco. El tallo está parcialmente cubierto con manchas de líquenes blancos” (Morán, 2015, p. 13).

Figura 6: *Tallo Maduro*



Fuente: Morán, 2015, pág. 13.

- **Tallo Sobremaduro:**

Se considera tallo sobremaduro al culmo que posee un color amarillo blanquecino en sus paredes externas, lo cual significa que ha perdido sus propiedades físicas y mecánicas para efectos de construcción, por lo cual se opta por cortar o caso contrario se usa como materia de leña (Morán, 2015, p. 13).

Figura 7: *Tallo Sobremaduro*



Fuente: Morán, 2015, pág. 13.

2.2.2. *Guadua Angustifolia*

a) Definición

La *Guadua angustifolia* es una especie perteneciente del bambú, la cual se desarrolla en una altura promedio hasta los 2000 msnm. Por otro lado, este recurso forma los bosques en la Amazonía del Perú, como también las conocidas plantaciones en otras regiones (Mvcs, 2012, p. 3).

Figura 8: *Guadua Angustifolia*



Fuente: Propia.

b) Propiedades Físicas y Mecánicas de la Guadua

Estas propiedades hacen que la guadua sea un material muy resistente y flexible por tener principalmente en su estructura fibras y sílice, así como por poseer buena relación entre resistencia y peso, por ende, puede aportar resistencia al concreto.

- Propiedades Físicas

i. Contenido de Humedad

Es muy importante al momento de analizar el grado de humedad que presenta la guadua, ya que esto va a depender principalmente de la época del año y del grado de madurez de esta materia. Y por lo general es recomendable usar tallos maduros, ya que no presentará un gran porcentaje de contracción y a su vez esto ayudará a mejorar la resistencia del concreto.

Ecuación de cálculo de contenido de humedad:

$$C.H = \frac{m - m_0}{m_0} \times 100\%$$

Donde:

m = Masa de la probeta antes del secado.

m_0 = Masa de la probeta después del secado.

ii. Densidad

Considerada como cantidad de volumen de una unidad de volumen, según normas establecidas.

$$\rho = \frac{m}{V}$$

Donde:

m = Masa.

V = Volumen.

- Propiedades Mecánicas

i. Resistencia a la Flexión

Consiste en un mecanismo de asegurar la flexión del tallo de la guagua, aplicado por una carga en la parte media, del soporte de carga.

$$\sigma_{ult} = F \times L \times \frac{D}{6} \times I_b$$

Donde:

F = Fuerza donde se presenta la falla.

L = Luz libre.

D = Diámetro externo promedio.

I_b = Momento de inercia calculado como: $I_b = \frac{\pi}{64} (D^4 - (D - 2t)^4)$

t = Espesor promedio de la pared de la guagua.

ii. Resistencia a la Compresión

Consiste en el aplastamiento perpendicular del tallo de la guadua, la que en su etapa de crecimiento también soporta la compresión por sí misma.

$$\sigma_{ult} = \frac{F_{ult}}{A}$$

Donde:

F_{ult} = Fuerza donde se presenta la falla.

A = Área transversal de la probeta.

iii. Resistencia al Corte

Considerada como la acción de corte, que son producidas por fuerzas directas, la cual la parte media está más propenso a sufrir esta acción, a diferencia de la parte lateral o extremo de la probeta.

$$t_{ult} = \frac{F_{ult}}{A}$$

Donde:

F_{ult} = Fuerza máxima de corte.

A = Área de corte.

iv. Resistencia a la Tracción

Consiste en la acción de tensionar en el eje longitudinal de la pieza de ensayo, por medio de las mordazas del equipo, pero sin tener giro longitudinal, asimismo esta debe ser radial.

$$\sigma_{ult} = \frac{F_{ult}}{A}$$

Donde:

F_{ult} = Carga máxima.

A = Área transversal.

c) Fibras de Guadua Angustifolia

Las fibras del Guadua Angustifolia (Bambú), están conformadas por un conjunto de filamentos, las cuales hacen de un material resistente a la tracción, compresión, flexión y cortante. También tiene la propiedad de actuar como material de refuerzo en el concreto. No obstante, las fibras poseen la característica de ser eco amigables, sustentables, y económicas que se encuentran al alcance del ser humano.

- Proceso de extracción de fibras de Guadua Angustifolia y su aplicación en el concreto estándar.

En la extracción de las fibras se debe tener en cuenta, que esta debe presentar un estado de madurez maduro, es decir el tallo. Así mismo, debe tenerse el mayor cuidado posible en la extracción, para así causar el menor daño, a estas fibras.

El proceso de la extracción de fibras consiste en obtener la materia bruta del Bambú(Guadua Angustifolia) en un conjunto de filamentos a la que llamamos fibras, para lo cual es importante no alterar en mayoría sus propiedades físico – mecánicas de la guadua angustifolia, para así emplearlo como un aditivo en beneficio del concreto estándar.

En la presente investigación el proceso de la extracción de las fibras fue de manera artesanal, es decir no se usó equipos mecánicos para la obtención de fibras, con el objetivo de no alterar demasiado sus propiedades físico – mecánicas.

Pasos para obtención de fibras de Guadua Angustifolia:

- En primera instancia se hizo el reconocimiento de la Guadua Angustifolia, tanto la especie como la edad factible para su aplicación, con un especialista en el rubo de fundo Bambú.
- En segundo lugar se procedió a cortar el culmo de la Guadua Angustifolia, para luego cortar la pared de la muestra, la cual está comprendida en los entrenudos.
- En tercer lugar, las muestras obtenidas se cortaron en 4, 8, 16 partes, con la ayuda de un estilete y así sucesivamente hasta lograr un filamento(fibra) de 2mm x 2mm x 5cm de longitud, acorde a las cantidades solicitadas por el laboratorio.

- Como cuarto lugar se procedió a impermeabilizar las fibras de guadua angustifolia, por un periodo no menor a 24 horas, para luego realizar el secado a ambiente natural al igual por un periodo mínimo de 24 horas.
- Finalmente, luego del secado de las fibras de guadua angustifolia se procedió a aplicar en el concreto estándar en el laboratorio donde se realizó los ensayos de resistencia a compresión y resistencia a flexotracción, según sollicitaciones a la que fueron diseñadas para un $f'c=210\text{kg/cm}^2$.

2.2.3. Agregados

Los agregados son materiales del proceso de la trituración de las rocas, que generalmente en el concreto ocupan un 70% de volumen aproximadamente. También se puede decir que son inertes, y a su vez estas pueden ser de origen natural o artificial.

a) Propiedades:

- Propiedades Físicas:

Las presentes propiedades físicas son: Condiciones de saturación, peso específico, peso unitario, absorción, porosidad, humedad.

- Propiedades Químicas:

Las propiedades químicas son: Reacción Álcali – Sílice y Álcali – Agregado.

- Propiedades Resistentes:

Las propiedades resistentes son: Resistencia, dureza, tenacidad.

- Otras Propiedades:

Tamaño máximo de agregados, forma y textura superficial, peso volumétrico.

- Forma y Textura Superficial:

Es importante mencionar estas características, para así determinar si son: Naturales(redondeadas) y Artificiales(angulosas). Por ende, se usará las angulosas,

por tener la propiedad de brindar mayor adherencia con el concreto y así brindar una mejor resistencia al momento del ensayo. (Icg: Manual de la construcción, 2014, p. 67).

b) Agregados: Fino, Gruesos, Global

- Agregado Fino:

Es el producto de la desintegración del agregado que pasa el tamiz 3/8”.

- Agregado Grueso:

El agregado grueso es el producto de la desintegración del agregado que es retenido en el tamiz N° 4, la cual es indispensable que cumpla con la NTP.400.037 (Icg: Manual de la construcción, 2014, p. 67).

- Agregado Global:

El agregado global tiene en su composición tanto el agregado fino, así como del agregado grueso.

2.2.3.1. Normativa de los Agregados

2.2.3.1.1. Método de Ensayo para Contenido de Humedad total de los Agregados – MTC E215

El presente ensayo tiene como propósito principal determinar el porcentaje de humedad contenido en el agrado fino y grueso (Mtc: Manual de ensayo de materiales, 2016, p. 361).

Además, se puede definir este método como un parámetro primordial e importante antes de realizar los otros ensayos, ya que implica realizar el cálculo de la cantidad de agua sujeta o comprendida en los agregados en estado natural, para lo cual la normativa nos plantea la presenta tabla para su empleo en el cálculo de este parámetro.

A continuación, se presenta la tabla del tamaño de la muestra del agregado.

Tabla 2: *Tamaño de la Muestra del Agregado*

Tamaño Máximo Nominal de Agregado mm (pulgadas)	Masa de la Muestra de Agregado de Peso Normal en kg
4,75 (0,187) (N°4)	0,5
9,5 (3/8)	1,5
12,5 (1/2)	2,0
19,0 (3/4)	3,0
5,0 (1)	4,0
37,5 (2.1/2)	6,0
50,0 (2)	8,0
63,0 (2.1/2)	10,0
75,0 (3)	13,0
90,0 (3.1/2)	16,0
100,0 (4)	25,0
150 (6)	50,0

Fuente: Mtc: Manual de ensayo de materiales, 2016, p. 362.

Fórmula de cálculo:

$$P = \frac{100(W - D)}{D}$$

Donde:

P = Contenido total de humedad total evaporable de la muestra en porcentaje

W = Masa de la muestra húmeda original en gramos

D = Masa de la muestra seca en gramo

2.2.3.1.2. Peso Unitario y Vacío de los Agregados – MTC E203

El presente ensayo tiene como propósito principal determinar el peso unitario suelto o compactado, así como el porcentaje de los vacíos de los agregados finos o gruesos, como también ambos (Mtc: Manual de ensayo de materiales, 2016, p. 298).

Fórmulas de cálculo:

$$M = \frac{(G - T)}{V}$$

$$M = (G - T) \times F$$

Donde:

M = Peso unitario del agregado en kg/m³ (lb/pie³)

G = Peso del recipiente de medida más el agregado en kg (lb)

T = Peso del recipiente de medida en kg (lb)

V = Volumen del recipiente de medida en m³ (pie³), y

F = Factor del recipiente de medida en m⁻³ (pie⁻³)

$$M_{SSS} = M \cdot [1 + (G - T) \times F]$$

Donde:

M_{SSS} = Peso unitario en la condición saturado

A = Porcentaje de absorción del agregado determinado de acuerdo con MTC

E 205 o MTC E 206

$$\%Vacíos = \frac{(A \times W) - B}{A \times W}$$

Donde:

A = Peso específico aparente según los procedimientos MTC E205.

B = Peso unitario de los agregados en kg/m³ (lb/pie³).

W = Densidad del agua, 998 kg/m³ (62,4 lb/pie³)

2.2.3.1.3. Análisis Granulométrico de Agregados Grueso y Finos – MTC E204

El presente ensayo tiene como propósito determinar por una serie de tamices, la distribución de agregados finos, gruesos con un peso conocido (Mtc: Manual de ensayo de materiales, 2016, p. 303).

Tabla 3: *Cantidad Mínima de Muestra de Agregado Grueso*

Tamaño Máximo Nominal Abertura Cuadrada mm (pulgadas)	Cantidad Mínima de Muestra de Ensayo (kg)
9,5 (3/8)	1
12,5 (1/2)	2
19,0 (3/4)	5
25,0 (1)	10
37,5 (1 1/2)	15
50,0 (2)	20
63,0 (2 1/2)	35
75,0 (3)	60
90,0 (3 1/2)	100
100,0 (4)	150
125,0 (5)	300

Fuente: Mtc: Manual de ensayo de materiales, 2016, p. 304.

Cálculo:

El cálculo consiste en determinar el porcentaje de agregado que pasa, el porcentaje retenido, esto en cada tamiz, frente al porcentaje inicial de la muestra ensayada, es decir la suma de estos porcentajes deberían de generar un 100%, la cual será equivalente a la muestra inicial (Mtc: Manual de ensayo de materiales, 2016, p. 305).

Asimismo, si en el caso se necesita de calcular el módulo de fineza, este cálculo se realizará sumando los diferentes porcentajes retenidos en los diferentes tamices, también acumulando los datos de cada tamiz y finalmente realizando la operación de la división entre 100, para así tener en el factor de porcentaje, de los siguientes datos: porcentajes retenidos, porcentajes acumulados y los porcentajes pasantes (Mtc: Manual de ensayo de materiales, 2016, p. 305).

2.2.3.1.4. Gravedad Específica y Absorción de Agregados Finos – MTC E205

Este ensayo consiste en determinar el peso específico seco, saturado, aparente, así como también la absorción del agregado fino sumergido en agua por un lapso de 24 horas (Mtc: Manual de ensayo de materiales, 2016, p. 309).

Fórmulas de cálculo:

$$Pe_m = \frac{W_0}{(V - V_a)} \times 100$$

$$Pe_{SSS} = \frac{500}{(V - V_a)} \times 100$$

$$Pe_a = \frac{W_0}{(V - V_a) - (500 - W_0)} \times 100$$

$$A_b = \frac{500 - W_0}{W_0} \times 100$$

Donde:

Pe_m = Peso específico de masa

W₀ = Peso en el aire de la muestra secada en el horno, g;

V = Volumen del frasco en cm³.

V_a = Peso en gramos o volumen en cm³ de agua añadida al frasco.

Pe_{SSS} = Peso específico de masa saturado con superficie seca.

Pe_a = Peso específico aparente.

A_b = Absorción.

2.2.3.1.5. Gravedad Específica y Absorción de Agregados Gruesos – MTC E206

Este ensayo consiste en determinar el peso específico seco, saturado, peso específico aparente, así como también la absorción del agregado grueso sumergido en agua por un lapso de 24 horas (Mtc: Manual de ensayo de materiales, 2016, p. 312).

Tabla 4: *Peso Mínimo de la Muestra de Ensayo*

Tamaño Máximo Nominal mm (pulgadas)	Peso Mínimo de la Muestra de Ensayo kg (libras)
12,5 (1/2) o menos	2 (4,4)
19,0 (3/4)	3 (6,6)
25,0 (1)	4 (8,8)
37,5 (1 1/2)	5 (11)
50,0 (2)	8 (18)
63,0 (2 1/2)	12 (26)
75,0 (3)	18 (40)
90,0 (3 1/2)	25 (55)
100,0 (4)	40 (88)
112,0 (4 1/2)	50 (110)
125,0 (5)	75 (165)
150,0 (6)	125 (276)

Fuente: Mtc: Manual de ensayo de materiales, 2016, p. 313.

Fórmulas de cálculo:

$$P_{em} = \frac{A}{(B - C)} \times 100$$

$$P_{eSSS} = \frac{B}{(B - C)} \times 100$$

$$P_{ea} = \frac{A}{(A - C)} \times 100$$

$$A_b(\%) = \frac{(B - A)}{A} \times 100$$

Donde:

Pem = Peso específico de masa

A = Peso de la muestra seca en el aire, gramos;

B = Peso de la muestra saturada superficialmente seca en el aire, gramos;

C = Peso en el agua de la muestra saturada.

PeSSS = Peso específico de masa saturada con superficie seca.

Pea = Peso específico aparente.

Ab = Absorción.

2.2.4. Concreto

El concreto es el resultado de una mezcla homogénea compuesta de cemento, agregados tanto finos como gruesos y agua, las cuales forman una pasta resistente.

Concreto Reforzado:

Se denomina concreto reforzado a la adición del concreto más el material de refuerzo, la cual puede ser acero, fibras u otros insumos que tengan la característica de brindar resistencia, al entrar en contacto con el concreto fresco.

a) Elementos que conforman el Concreto:

- Elementos Activos:

Los elementos activos están conformados por cemento, arena, piedra, agua y aditivos (Icg: Manual de la construcción, 2014, p. 71).

- Elementos Pasivos:

El único elemento pasivo conocido por el hombre es el aire (Icg: Manual de la construcción, 2014, p. 71).

b) Principales propiedades del Concreto:

- Concreto Fresco

Asentamiento:

Una vez finalizado el proceso de vaciado del concreto insitu, esta entra en reposo. Lo cual, en esta etapa, los componentes que tengan mayor densidad hacen que desciendan a diferencia de los menos densos, y cuando es excesivo la descendencia de estos componentes se forma en la parte superior una capa menos resistente y durable (Icg: Manual de la construcción, 2014, p. 71).

Peso Unitario:

Según la NTP 339.046, es el peso varillado, la cual se expresa en kilos por medio cubico de unidad de medida, esto de la muestra representativa del concreto, para

así evaluar el rendimiento de la mezcla, es decir determinar el contenido de los materiales como el cemento, agua y agregado. (Icg: Manual de la construcción, 2014, p. 71).

Fraguado:

Es el proceso en el cual el concreto en estado fresco por un lapso de tiempo adquiere resistencia y plasticidad, esto debido a la separación y cristalización de sus componentes, es decir alcanza una estabilidad inicial (Icg: Manual de la construcción, 2014, p. 71).

- Concreto Endurecido

Resistencia a Compresión:

La resistencia adquirida del concreto en estado endurecido generalmente se cuantifica a los 28 días, pero sin embargo esto es variable al tipo de proyecto como el caso de los túneles, la resistencia que normalmente se utiliza es 7 días o incluso menos que a diferencia de las presas es referencial a los 56 días o más. La resistencia del concreto se determina en testigos de secciones cilíndricas de 15cm de diámetro por 30cm de altura. Y esto se someten a la rotura en el laboratorio calificado (Icg: Manual de la construcción, 2014, p. 71).

Resistencia a la Flexión:

La resistencia a flexión, generalmente es un 10% a la de compresión. Por esta razón se usa materiales de refuerzo para lograr un porcentaje mayor, un ejemplo claro es una viga, lo cual este elemento está sometido a cargas actuantes en su longitud, por ende, estas están diseñadas mayormente para resistir cargas a flexión (Icg: Manual de la construcción, 2014, p. 71).

2.2.4.1. Normativa del Concreto

2.2.4.1.1. Toma de muestras de Concreto Fresco – MTC E701

Este ensayo tiene como propósito describir los procedimientos de recolección de muestras del concreto, ya sea en obra o directamente en la planta de producción de esta, para así determinar la calidad y las características que presenta, a su vez la recolección de resultados se emitirá conjuntamente con la del ensayo destinada (Mtc: Manual de ensayo de materiales, 2016, p. 766).

2.2.4.1.2. Elaboración y curado de especímenes de Hormigón (Concreto) en el Laboratorio – MTC E702

Este ensayo tiene como propósito establecer el procedimiento adecuado para la elaboración y curado del testigo, cumpliendo los controles de los materiales y las consideraciones del ensayo (Mtc: Manual de ensayo de materiales, 2016, p. 770).

Tabla 5: *Número de Capas Requeridas en la Elaboración de las Muestras*

Tipo de Tamaño de la Muestra en mm (pulgadas)	Método de Compactación	Número de Capas	Altura Aproximada de la Capa en mm (pulgadas)
CILINDROS	Apisonado(varillado)	3 iguales	
Hasta 300(12)	Apisonado(varillado)	las	100(4)
Mayor que 300(12)	Vibración	requeridas	
Hasta 460(18)	Vibración	2 iguales	200(4)
Mayor que 460(18)		3 ó más	
PRISMAS	Apisonado(varillado)		
Hasta 200(8)	Apisonado(varillado)	2 iguales	100(4)
Mayor que 200(8)	Vibración	3 ó más	
Hasta 200(8)	Vibración	1	200(8) C 172
Mayor que 200(8)		2 ó más	

Fuente: Mtc: Manual de ensayo de materiales, 2016, p. 777.

Tabla 6: Diámetro de Varilla y Número de Golpes por Capa

Cilindros		
Diámetro del Cilindro en mm (pulgadas)	Diámetro de Varilla en mm (pulgadas)	Número de Golpes por Capa
50(2) a 150(6)	10(3/8)	25
150 (6)	16(5/8)	25
200 (8)	16(5/8)	50
250(10)	16(5/8)	75
Vigas y Prismas		
Área de la Superficie Superior de la Muestra en cm ² (pulg ²)	Diámetro de Varilla en mm (pulgadas)	Número de Golpes por Capa
160(25)	10(3/8)	25
165(26) a 310(49)	10(3/8)	1 por cada 7 cm ² (1 pulg ²) de área
320(50) o más	16(5/8)	1 por cada 14 cm ² (2 pulg ²) de área

Fuente: Mtc: Manual de ensayo de materiales, 2016, p. 778.

2.2.4.1.3. Resistencia a la Compresión Testigos Cilíndricos – MTC

E704

Este ensayo tiene como propósito determinar la resistencia a compresión de los testigos de concreto de sección circular, en el laboratorio indicado, la cual está limitada para concretos que tengan un peso unitario superior al de 800kg/m³ (Mtc: Manual de ensayo de materiales, 2016, p. 770).

Tabla 7: Especificaciones de Diámetro de la Cara de Carga

Diámetro del Espécimen de Ensayo, mm (pulgadas)	Diámetro Máximo de la Cara de Carga, mm (pulgadas)
50 (2)	105 (4)
75 (3)	130 (4)
100 (4)	165 (6,5)
150 (6)	255 (10)
200 (8)	280 (11)

Fuente: Mtc: Manual de ensayo de materiales, 2016, p. 791.

Tabla 8: Tolerancia de Edad de Ensayo de los Especímenes

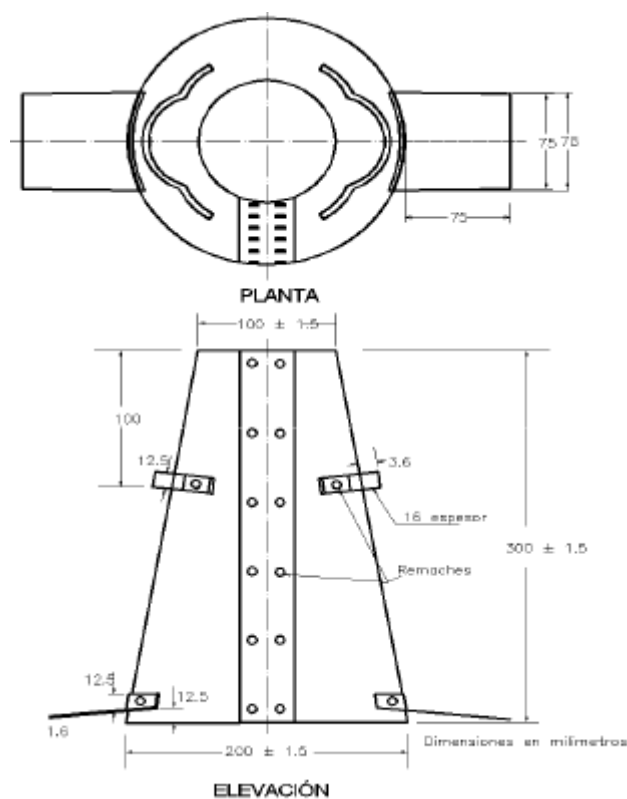
Edad del Ensayo	Edad del Ensayo
12 horas	0,25 ó 2,1%
24 horas	± 0,5 horas ó 2,1%
3 días	2 horas ó 2,28%
7 días	6 horas ó 3,6%
28 días	20 horas 3,0%
56 días	40 horas ó 3,0%
90 días	2 días ó 2,2%

Fuente: Mtc: Manual de ensayo de materiales, 2016, p. 794.

2.2.4.1.4. Asentamiento del Concreto (Slump) – MTC E705

El propósito es determinar el asentamiento del concreto fresco, es decir una vez recogido insitu o de laboratorio, siempre en cuando el agregado grueso no sea superior a 37,5mm o 1 1/2'', en tal sentido se procederá a tamizar según la normativa MTC 701 (Mtc: Manual de ensayo de materiales, 2016, p. 801).

Figura 9: Molde Para Determinar el Asentamiento



Fuente: Mtc: Manual de ensayo de materiales, 2016, p. 802.

2.2.5. Suelos

a) Caracterización de la Subrasante

Para la caracterización de la subrasante del suelo, que servirá para el diseño del pavimento rígido, se realizará una calicata con una profundidad mínima de 1.50m, con la finalidad de determinar las características del suelo.

Tabla 9: *Número de Calicatas Para la Exploración de Suelos*

Tipo de Carretera	Profundidad (m)	Número Mínimo de Calicatas	Observación
Autopistas: carreteras de IMDA mayor de 6000 veh/día, de calzadas separadas, cada una con dos o más carriles	1.50m respecto al nivel de subrasante del proyecto	* Calzada 2 carriles por sentido: 4 calicatas x km x sentido * Calzada 3 carriles por sentido: 4 calicatas x km x sentido * Calzada 4 carriles por sentido: 6 calicatas x km x sentido	Las calicatas se ubicarán longitudinalmente y en forma alternada
Carreteras Duales o Multicarril: carreteras de IMDA entre 6000-4001 veh/día, de calzadas separadas, cada una con dos ó más carriles.	1.50m respecto al nivel de subrasante del proyecto	* Calzada 2 carriles por sentido: 4 calicatas x km x sentido * Calzada 3 carriles por sentido: 4 calicatas x km x sentido * Calzada 4 carriles por sentido: 6 calicatas x km x sentido	
Carreteras de Primera clase: carreteras con un IMDA entre 4000-2001 veh/día, de una calzada de dos carriles.	1.50m respecto al nivel de subrasante del proyecto	* 4 calicatas x km	Las calicatas se ubicarán longitudinalmente y en forma alternada
Carreteras de Segunda Clase: carreteras con un IMDA entre 2000-401 veh/día, de una calzada de dos carriles.	1.50m respecto al nivel de subrasante del proyecto	* 3 calicatas x km	
Carreteras de Tercera Clase: carreteras con un IMDA entre 400-201 veh/día, de una calzada de dos carriles.	1.50m respecto al nivel de subrasante del proyecto	* 2 calicatas x km	
Carreteras de Bajo Volumen de Tránsito: carreteras con un IMDA \leq 200 veh/día, de una calzada.	1.50m respecto al nivel de subrasante del proyecto	* 1 calicata x km	

Fuente: Manual de carreteras: suelos, geología, geotecnia y pavimentos, 2014, p. 26.

b) Propiedades Fundamentales

Granulometría:

La granulometría de suelos consiste en clasificar los suelos de acuerdo al tamaño de las partículas, por medio de tamices, la cual tiene como función principal retener los materiales de mayor a menor tamaño en el juego que tamices.

Tabla 10: *Clasificación de Suelos Según Tamaño de Partículas*

Tipo de Material		Tamaño de las Partículas
Grava		75 mm - 4.75 mm
Arena		Arena gruesa: 4.75 mm - 2.00 mm Arena media: 2.00 mm - 0.425 mm Arena fina: 0.425 mm - 0.075 mm
Material Fino	Limo	0.075 mm - 0.005 mm
	Arcilla	Menor a 0.005 mm

Fuente: Manual de carreteras: suelos, geología, geotecnia y pavimentos, 2014, p. 31.

Plasticidad:

La plasticidad es la propiedad que presentan los suelos, la cual no se disgregan hasta por un cierto límite de humedad, esta depende únicamente de los elementos finos, puesto que la granulometría del suelo no nos permite determinar esta propiedad, por esa razón además se necesita de los ensayos del Límite de Atterberg (Manual de carreteras: suelos, geología, geotecnia y pavimentos, 2014, p. 31).

Los límites de Atterberg que se encargan de medir la cohesión de los suelos son: el límite líquido, límite plástico y el límite de contracción.

- Límite Líquido (LL)

Proceso en el cual el suelo pasa de un estado semilíquido al estado plástico, puesto que al encontrarse el suelo en este estado es moldeable.

- Límite Plástico (LP)

Proceso que consiste en el paso de un estado plástico a un estado semisólido del suelo, puesto que al encontrarse el suelo en este estado se rompe (Manual de carreteras: suelos, geología, geotecnia y pavimentos, 2014, p. 31).

- **Límite de Contracción (Retracción)**

Es el proceso en el cual el suelo, pasa del estado semisólido al estado sólido, esto debido a la pérdida de humedad (Manual de carreteras: suelos, geología, geotecnia y pavimentos, 2014, p. 31).

- **Índice de Plasticidad (IP)**

Es considerada como la diferencia matemática entre el límite líquido con el límite plástico.

Tabla 11: *Clasificación de Suelos Según Índice de Plasticidad*

Índice de Plasticidad	Plasticidad	Características
$IP > 20$	Alta	suelos muy arcillosos
$IP \leq 20$	Media	suelos arcillosos
$IP > 7$		
$IP < 7$	Baja	suelos poco arcillosos plasticidad
$IP = 0$	No Plástico (NP)	suelos exentos de arcilla

Fuente: Manual de carreteras: suelos, geología, geotecnia y pavimentos, 2014, p. 32.

Equivalente de Arena (EA):

Es la proporción que se encuentra en el agregado fino y grueso, por la apariencia que se presenta, lo cual es polvo o nocivo. Asimismo, el valor numérico del equivalente de arena, indica la plasticidad de un suelo (Manual de carreteras: suelos, geología, geotecnia y pavimentos, 2014, p. 32).

Tabla 12: *Clasificación de Suelos Según Equivalente de Arena*

Equivalente de Arena	Característica
sí $EA > 40$	el suelo no es plástico, es arena
sí $40 > EA > 20$	el suelo es poco plástico y no heladizo
sí $EA < 20$	el suelo es plástico y arcilloso

Fuente: Manual de carreteras: suelos, geología, geotecnia y pavimentos, 2014, p. 32.

Índice de Grupo:

El valor tiene uso, para la nomenclatura del suelo según la metodología AASSHTO.

El valor del índice de grupo está dado por la siguiente fórmula.

$$IG = 0.2(a) + 0.005(ac) + 0.01(bd)$$

Donde:

a = F-35 (F = Fracción del porcentaje que pasa el tamiz N° 200 -74 micras).

Expresado por un número entero positivo comprendido entre 1 y 40.

b = F-15 (F = Fracción del porcentaje que pasa el tamiz N° 200 -74 micras).

Expresado por un número entero positivo comprendido entre 1 y 40.

c = LL – 40 (LL = límite líquido). Expresado por un número entero comprendido entre 0 y 20.

d = IP-10 (IP = índice plástico). Expresado por un número entero comprendido entre 0 y 20 o más.

De ser el caso del índice de grupo negativo, es considerado como cero.

Tabla 13: *Clasificación de Suelos Según Índice de Grupo*

Índice de Grupo	Suelo de Subrasante
IG > 9	Inadecuado
IG está entre 4 a 9	Insuficiente
IG está entre 2 a 4	Regular
IG está entre 1 - 2	Bueno
IG está entre 0 - 1	Muy Bueno

Fuente: Manual de carreteras: suelos, geología, geotecnia y pavimentos, 2014, p. 33.

Humedad Natural:

La humedad natural, es considerado como la cantidad de agua retenida de un suelo en estado natural, es decir insitu, la cual es variable debido a la estación del año.

La humedad natural tiene como propósito realizar una comparación directa con la humedad óptima, la cual esta será determinada por el ensayo Proctor para así posteriormente determinar el CBR de un suelo. En este sentido si se presentara que la humedad natural determinada sea inferior o igual a la humedad óptima, la persona encargada de tomar las acciones pertinentes será el proyectista, en cuanto a la consolidación de suelo, así como al aporte de la cantidad necesaria del agua, pero si en caso resultara lo inverso se planteará, usar material de préstamo para el

compactado del suelo (Manual de carreteras: suelos, geología, geotecnia y pavimentos, 2014, p. 33).

Clasificación de Suelos:

Esta clasificación, nos permite clasificar un suelo, con los datos anteriores como la granulometría, plasticidad e índice de grupo, ya sea en el sistema SUCS o AASSHTO, es decir clasificar suelos con las mismas características que las componen.

Tabla 14: *Correlación de Tipos de Suelos AASSHTO - SUCS*

Clasificación de Suelos AASSHTO AASHTO M-145	Clasificación de Suelos SUCS ASTM-D-2487
A-1-a	GW, GP, GM, SW, SP, SM
A-1-b	GM, GP, SM, SP
A-2	GM, GC, SM, SC
A-3	SP
A-4	CL, ML
A-5	ML, MH, CH
A-6	CL, CH
A-7	OH, MH, CH

Fuente: Manual de carreteras: suelos, geología, geotecnia y pavimentos, 2014, p. 33.

Ensayo CBR:

Cuando se haya definido la clasificación del suelo por el sistema AASSHTO y SUCS, se procederá a elaborar el perfil estratigráfico, para así establecer la resistencia requerida del suelo por el CBR, la cual estará referido al 95% de la máxima densidad seca y a la penetración de carga de 2.54mm, se podrán establecer ciertos criterios para determinar el valor del CBR (Manual de carreteras: suelos, geología, geotecnia y pavimentos, 2014, p. 35).

Criterios establecidos para determinar el valor del CBR:

- En las capas más representativas del suelo, que se tienen de 6 a más valores de CBR, se tomará como el promedio general de todos, para determinar óptimo de diseño del CBR, para la subrasante (Manual de carreteras: suelos, geología, geotecnia y pavimentos, 2014, p. 35).

- En el caso que se tengan valores menos de 6 valores del CBR, se tomará los siguientes criterios para la obtención del valor. (Manual de carreteras: suelos, geología, geotecnia y pavimentos, 2014, p. 35).
- En caso de valores parecidos consignar el valor promedio.
- En caso que los valores sean variables, es necesario adoptar el más crítico.
- Luego de la obtención del valor del CBR, se procederá a la clasificación de la subrasante a la que pertenece.

Tabla 15: *Categorías de Subrasante*

Categorías de Subrasante	CBR
S ₀ : Subrasante Inadecuada	CBR < 3%
S ₁ : Subrasante Insuficiente	De CBR ≥ 3% A CBR < 6%
S ₂ : Subrasante Regular	De CBR ≥ 6% A CBR < 10%
S ₃ : Subrasante Buena	De CBR ≥ 10% A CBR < 20%
S ₄ : Subrasante Muy Buena	De CBR ≥ 20% A CBR < 30%
S ₅ : Subrasante Excelente	CBR ≥ 30%

Fuente: Manual de carreteras: suelos, geología, geotecnia y pavimentos, 2014, p. 35.

Una vez que se haya obtenido el valor adecuado del CBR, se procederá a calcular el módulo resiliente con la siguiente fórmula.

$$Mr(\text{psi}) = 2555 \times \text{CBR}^{0.64}$$

Ensayo de Módulo Resiliente:

El módulo resiliente considerada como una medida, que sirve para el diseño de los pavimentos rígidos y, por ende, debe convertirse a módulo de la reacción de la subrasante conocido como el valor K (Manual de carreteras: suelos, geología, geotecnia y pavimentos, 2014, p. 37).

2.2.6. Tráfico Vial

El tráfico vial se considera como la demanda del tráfico ocasionado por el parque automotor de una localidad, la cual es indispensable determinar para el diseño de pavimentos.

a) Demanda de Tráfico

La demanda de tráfico consiste en obtener datos del índice medio diario anual, para cierto tramo de tráfico vial, para lo cual es factible proporcionar la identificación de estos datos de las vías de conexión homogénea (Manual de carreteras: suelos, geología, geotecnia y pavimentos, 2014, p. 62).

b) Factor Direccional y de Carril

Este factor está en función del número de calzadas, sentidos y carriles de la vía en estudio. Para ello se hará uso de una tabla para la obtención de este valor.

Tabla 16: *Factores de Distribución Direccional y de Carril Para Determinar el Tránsito en el Carril de Diseño*

Número de Calzadas	Número de Sentidos	Número de Carriles por Sentido	Factor Direccional (Fd)	Factor Carril (Fc)	Factor Ponderado $F_d \times F_c$ Para Carril de Diseño
1 calzada (para IMDa total de la calzada)	1 sentido	1	1.00	1.00	1.00
	1 sentido	2	1.00	0.80	0.80
	1 sentido	3	1.00	0.60	0.60
	1 sentido	4	1.00	0.50	0.50
	2 sentidos	1	0.50	1.00	0.50
	2 sentidos	2	0.50	0.80	0.40
2 calzadas con separador central (para IMDa total de las dos calzadas)	2 sentidos	1	0.50	1.00	0.50
	2 sentidos	2	0.50	0.80	0.40
	2 sentidos	3	0.50	0.60	0.30
	2 sentidos	4	0.50	0.50	0.25

Fuente: Manual de carreteras: suelos, geología, geotecnia y pavimentos, 2014, p. 64.

c) Tasa de Crecimiento y Proyección

La tasa de crecimiento se debe al crecimiento demográfico de la población, como también al crecimiento de tránsito vehicular que sirven de carga. Este valor se usa para el cálculo del factor de crecimiento acumulado durante un periodo de diseño.

Para el cálculo del factor de crecimiento acumulado de los vehículos ligeros se usará la tasa de crecimiento poblacional, mientras que para los vehículos de carga o

pesados se tendrá en conocimiento usar la tasa de crecimiento del producto bruto interno (PBI).

Para el cálculo de estos factores se usará la presente fórmula:

$$\text{Factor Fca} = \frac{(1 + r)^n - 1}{r}$$

Donde:

r = Tasa anual de crecimiento, expresado en porcentaje

n = Periodo de diseño

d) Número de Repeticiones de Ejes Equivalentes

Para calcular el número de repeticiones se usará la siguiente expresión, lo cual nos indicará la demanda de tráfico generado en un periodo de diseño.

$$N_{\text{rep de EE}}_{8,2\text{tn}} = \Sigma[\text{EE}_{\text{día-carril}} \times \text{Fca} \times 365]$$

Donde:

$$\text{EE}_{\text{día-carril}} = \text{IMD}_{\text{pi}} \times \text{Fd} \times \text{Fc} \times \text{Fvpi} \times \text{Fpi}$$

Fca = Factor de crecimiento acumulado por tipo de vehículo pesado.

365 = Factor denominado como número de días del año.

2.2.7. Pavimentos

Actualmente las vías de comunicación tienen como propósito interconectar ciudades, naciones y continentes, que a su vez sirven para el desarrollo demográfico y económico de un país.

Así mismo estas vías de comunicación se consideran como pavimentos ya sea de carácter flexible o rígido, según sus condiciones en la que hayan sido diseñadas y ejecutadas.

Los pavimentos, tienen la característica de satisfacer la necesidad de la transitabilidad vehicular, sea el lugar donde brinde el servicio, para lo cual esta capa debe de cumplir ciertas condiciones acorde al clima, lugar y topografía para su funcionamiento.

Por otra parte, los pavimentos cumplen la condición de recibir las cargas adyacentes a ella, ocasionados por el paso vehicular, para luego transmitir las y distribuir las a las capas inferiores o subyacentes, para así otorgar la funcionalidad a la que haya sido realizada.

a) Comportamiento de los pavimentos

Para MTC: Manual de carreteras (2014, p. 268), el “manual introduce el concepto de comportamiento de un pavimento, el cual se define como la capacidad estructural medible a lo largo de su periodo de diseño. Este análisis deberá ser incorporado en los diseños de pavimentos que realice el Ingeniero Proyectista de Pavimentos. Para el indicado análisis, las actuales herramientas conocidas y utilizadas en el Perú, nos remiten a los modelos HDM del Banco Mundial; que incorporan submodelos de deterioro del pavimento”.

Para la realización y estructuración de un pavimento sea la condición que sea, básicamente el manual de carreteras nos sugiere en primera instancia la aplicación de la metodología AASHTO-93, la cual esta metodología toma como referencia tres parámetros fundamentales, las cuales son el estudio de tráfico y/o llamado también estudio de tránsito vehicular, dimensionamiento de la sub rasante y la aplicación del parámetro de las condiciones climáticas, las cuales según la jerarquía mencionada las dos primeras son consideradas como condiciones de ingreso para el dimensionamiento de la estructura del pavimento y finalmente la tercera condición tiene como propósito la aplicación de ciertos criterios para la selección de materiales y para así otorgar alguna recomendación como consultor (MTC: Manual de carreteras, 2014, p. 268).

2.2.8. Pavimento Rígido

El pavimento rígido está conformado por una losa de concreto y una carpeta de suelo (sub base granular) que posee buenas propiedades de capacidad portante, también esta carpeta se encarga de recibir la carga de los vehículos pesados y livianos, ya sea en movimiento o estático. Por otro lado, esta losa en la etapa de

función generalmente absorbe la transmisión de cargas, para así transmitir la carga restante a las carpetas inferiores.

A continuación, se hará mención de los tipos de pavimentos rígidos:

- Pavimento compuesto por concreto simple con pasadores (Dowells)
- Pavimento compuesto por concreto reforzado con pasadores (Dowells)

Por otra parte, el pavimento rígido también es considerado como una losa de concreto la cual, al ser resistente absorbe casi la totalidad de las cargas de tránsito, así proyectando cargas menores a las capas subyacentes y finalmente a la subrasante (Manual de carreteras: suelos, geología, geotecnia y pavimentos, 2014, p. 224).

Así mismo, el pavimento rígido cuenta con las siguientes capas:

a) Capa de Rodadura

“Es la parte superior de un pavimento, que puede ser de tipo bituminoso (flexible) o de concreto de cemento Portland (rígido) o de adoquines, cuya función es sostener directamente el tránsito.” (Manual de carreteras: suelos, geología, geotecnia y pavimentos, 2014, p. 21).

b) Base

Considera como estrato de capa que se encuentra por debajo de la capa de rodadura, la cual se comporta como un transmisor de cargas en forma distribuida, lo cual fue originado por el tráfico vehicular. Asimismo, esta capa tendrá un comportamiento drenante lo cual estará conformada por un material granular, o en caso fortuito será tratada con otro material tal como es el caso del cemento, asfalto o cal (Manual de carreteras: suelos, geología, geotecnia y pavimentos, 2014, p. 21).

c) Subbase

La subbase tiene como propósito de soportar a las capas superiores, es decir a la base y a la carpeta de rodadura, también actúa como una capa a efectos de drenaje. Así también esta capa puede estar conformado por un material granular que tenga un CBR superior o igual que 40%, o en tal caso puede ser tratada al igual que la base,

para así brindar una capacidad de soporte adecuada ante el tráfico vial, pero es importante mencionar que esta capa depende del diseño y estructura del pavimento, ya que en algunos no se contemplan el acondicionamiento de esta capa (Manual de carreteras: suelos, geología, geotecnia y pavimentos, 2014, p. 21).

d) Subrasante

“La Subrasante es la superficie terminada de la carretera a nivel de movimiento de tierras (corte y relleno), sobre la cual se coloca la estructura del pavimento o afirmado.” (Manual de carreteras: suelos, geología, geotecnia y pavimentos, 2014, p. 20).

En efecto, también la subrasante es la capa que sirve de soporte de la estructura del pavimento. Así mismo, en la etapa constructiva los últimos 0.30m de suelo debajo del nivel superior de la subrasante, deberán ser compactados al 95% de la máxima densidad seca obtenida del ensayo Proctor modificado (MTC EM 115). (Manual de carreteras: suelos, geología, geotecnia y pavimentos, 2014, p. 21).

e) Materiales

Los materiales básicos y fundamentales en un pavimento rígido son los siguientes:

- Concreto (Cemento + Agregados + Agua)
- Acero de refuerzo
- Sellador de junta
- Cordón de respaldo

f) Ventajas y Desventajas

Las principales ventajas que podemos describir son:

- Mayor capacidad de soporte de carga
- Posee la capacidad de no ser muy deformable
- Posee mayor tiempo de durabilidad
- Menor costo de mantenimiento durante su vida útil

Las principales desventajas que podemos mencionar son:

Costo de ejecución muy elevado

- No puede brindar el servicio inmediatamente
- No puede coberturar grandes áreas puesto que posee juntas
- Para su demolición requiere equipos especiales

2.2.8.1. Condiciones del Diseño Estructural de Pavimentos Urbanos

Los factores que se tendrán en consideración, para el diseño de pavimentos urbanos, se mencionarán a continuación:

- Calidad y valor portante del suelo de fundación y de la sub-rasante.
- Características y volumen de tránsito durante el periodo de diseño.
- Vida útil del pavimento.
- Condiciones climáticas y de drenaje.
- Características geométricas de la vía.
- Tipo de pavimento a usarse. (N.T.E CE. 010: Pavimentos urbanos, 2010, p. 24).

2.2.8.2. Metodología de Diseño

Metodología de Diseño AASHTO 93

Esta metodología menciona que el pavimento en su etapa inicial brinda un servicio alto y a medida que pasa el tiempo, es decir en su periodo de diseño este nivel de servicio bajo esto debido a las repeticiones de la carga del tránsito. Por otra parte, este método impone el servicio final que esta debe cumplir durante el periodo de diseño (Manual de carreteras: suelos, geología, geotecnia y pavimentos, 2014, p. 224).

Para ello la metodología AASHTO 93, designa la siguiente fórmula para su cálculo:

$$\text{Log}_{10} W_{8.2} = Z_R S_0 + 7.35 \text{Log}_{10}(D+25.4) - 10.39 + \frac{\text{Log}_{10}\left(\frac{\Delta\text{PSI}}{4.5-1.5}\right)}{1 + \frac{1.25 \times 10^{19}}{(D+25.4)^{8.46}}} + (4.22 - 0.32P_t) \times \text{Log}_{10}\left(\frac{M_R C_{dx}(0.09D^{0.75} - 1.132)}{1.51x \left(0.09D^{0.75} \frac{7.38}{(E_c/k)^{0.25}}\right)}\right)$$

Donde:

W8.2 = Numero previsto de ejes equivalentes de 8.2 toneladas métricas, a lo largo del periodo de diseño.

ZR = Desviación normal estándar.

SO = Error estándar combinado en la predicción del tránsito y en la variación del comportamiento esperado del pavimento.

D = Espesor de pavimento de concreto, en milímetros.

Δ PSI= Diferencia entre los índices de servicio inicial y final.

Pt = Índice de serviciabilidad o servicio final.

Mr = Resistencia media del concreto (en Mpa) a flexo tracción a los 28 días (método de carga en los tercios de luz).

Cd = Coeficiente de drenaje.

J = Coeficiente de transmisión de carga en las juntas.

Ec = Módulo de elasticidad del concreto, en Mpa.

K = Módulo de reacción, dado en Mpa/m de la superficie (base, subbase o subrasante) en la que se apoya el pavimento de concreto.

Parámetros de Diseño:

a) Periodo de Diseño

Para el diseño de pavimentos rígidos se asumirá como mínimo 20 años, también este valor se regirá de acuerdo a las condiciones del proyecto.

b) El Tránsito (ESALS)

El tránsito está en función a la demanda de tráfico generado y desviado para el diseño del carril. La metodología AASSHTO 93, maneja una guía simplificada, la cual consiste en definir el tráfico como ejes equivalentes, puesto que transforma las cargas, ya sea de vehículos pesados y ligeros, como el concepto de ejes simples a la suele llamarlos ESALS (Manual de carreteras: suelos, geología, geotecnia y pavimentos, 2014, p. 225).

Categorías para identificar tipo de Tráfico:

- **Caminos de Bajo Volumen de Tránsito**

Tabla 17: *Número de Repeticiones Acumuladas de Ejes Equivalentes de 8.2t*

Tipos Tráfico Pesado en EE	Rangos de Tráfico Pesado Expresado en EE
Tp1	> 150,000 EE
	≤ 300,000 EE
Tp2	> 300,000 EE
	≤ 500,000 EE
Tp3	> 500,000 EE
	≤ 750,000 EE
Tp4	> 750,000 EE
	≤ 1'000,000 EE

Fuente: Manual de carreteras: suelos, geología, geotecnia y pavimentos, 2014, p. 226.

- **Caminos de Moderado Volumen de Tránsito**

Tabla 18: *Número de Repeticiones Acumuladas de Ejes Equivalentes de 8.2t*

Tipos Tráfico Pesado en EE	Rangos de Tráfico Pesado Expresado en EE
Tp5	> 1'000,000 EE
	≤ 1'500,000 EE
Tp6	> 1'500,000 EE
	≤ 3'000,000 EE
Tp7	> 3'000,000 EE
	≤ 5'000,000 EE
Tp8	> 5'000,000 EE
	≤ 7'500,000 EE
Tp9	> 7'500,000 EE
	≤ 10'000,000 EE
Tp10	> 10'000,000 EE
	≤ 12'500,000 EE
Tp11	> 12'500,000 EE
	≤ 15'000,000 EE
Tp12	> 15'000,000 EE
	≤ 20'000,000 EE
Tp13	> 20'000,000 EE
	≤ 25'000,000 EE
Tp14	> 25'000,000 EE
	≤ 30'000,000 EE

Fuente: Manual de carreteras: suelos, geología, geotecnia y pavimentos, 2014, p. 226.

- Caminos de alto volumen de tránsito

Tabla 19: *Número de Repeticiones Acumuladas de Ejes Equivalentes de 8.2t*

Tipos Tráfico Pesado en EE	Rangos de Tráfico Pesado Expresado en EE
Tp15	> 30'000,000 EE

Fuente: Manual de carreteras: suelos, geología, geotecnia y pavimentos, 2014, p. 226.

c) Serviciabilidad

Este parámetro se define como la capacidad del pavimento, de servir al tránsito generado en el carril de diseño, lo cual el método AASSTHO 93, establece un rango de 0 a 5, donde 0 significa que la vía es intransitable, a diferencia que 5 especifica una vía en óptimas condiciones, lo cual no se da en la realidad (Manual de carreteras: suelos, geología, geotecnia y pavimentos, 2014, p. 227).

Para determinar este parámetro se utilizará la siguiente tabla:

Tabla 20: *Índice de Serviciabilidad Inicial (Pi), Índice de Serviciabilidad Final. (Pt),*

Diferencial de Serviciabilidad Según Rango de Tráfico

Tipo de Caminos	Tráfico	Ejes Equivalentes Acumulados		Índice de Serviciabilidad Inicial (Pi)	Índice de Serviciabilidad Final o Terminal (Pt)	Diferencia de Serviciabilidad (Δ PSI)
Caminos de Bajo Volumen de Tránsito	Tp1	150,001	300,000	4.10	2.00	2.10
	Tp2	300,001	500,000	4.10	2.00	2.10
	Tp3	500,001	750,000	4.10	2.00	2.10
	Tp4	750,001	1,000,000	4.10	2.00	2.10
Resto de Caminos	Tp5	1,000,001	1,500,000	4.30	2.50	1.80
	Tp6	1,500,001	3,000,000	4.30	2.50	1.80
	Tp7	3,000,001	5,000,000	4.30	2.50	1.80
	Tp8	5,000,001	7,500,000	4.30	2.50	1.80
	Tp9	7,500,001	10,000,000	4.30	2.50	1.80
	Tp10	10,000,001	12,500,000	4.30	2.50	1.80
	Tp11	12,500,001	15,000,000	4.30	2.50	1.80
	Tp12	15,000,001	20,000,000	4.50	3.00	1.50
	Tp13	20,000,001	25,000,000	4.50	3.00	1.50
	Tp14	25,000,001	30,000,000	4.50	3.00	1.50
	Tp15	> 30,000,000		4.50	3.00	1.50

Fuente: Manual de carreteras: suelos, geología, geotecnia y pavimentos, 2014, p. 227.

d) Confiabilidad y Desviación Estándar

La confiabilidad denominada como un factor de seguridad, que sirve como incremento del tránsito vehicular a lo largo del periodo de diseño de la estructura del pavimento (Manual de carreteras: suelos, geología, geotecnia y pavimentos, 2014, p. 228).

El rango que estable la metodología AASHTO, se encuentra en el intervalo de $0.30 < 0.40$, a diferencia del manual de carreteras que recomienda usar 0.35 como factor de confiabilidad (Manual de carreteras: suelos, geología, geotecnia y pavimentos, 2014, p. 228).

Los valores que se estimarán, estará en función al Número de repeticiones de EE, a continuación, se detallará en la siguiente tabla.

Tabla 21: Valores de Nivel de Confiabilidad (R) y Desviación Estándar (Z_R), Para un Periodo de Diseño de 20 Años

Tipo de Caminos	Tráfico	Ejes Equivalentes Acumulados		Nivel de Confiabilidad (R)	Desviación Estándar Normal (Z _R)
Caminos de Bajo Volumen de Tránsito	Tp0	100,000	150,000	65%	-0.385
	Tp1	150,001	300,000	70%	-0.524
	Tp2	300,001	500,000	75%	-0.674
	Tp3	500,001	750,000	80%	-0.842
	Tp4	750,001	1,000,000	80%	-0.842
Resto de Caminos	Tp5	1,000,001	1,500,000	85%	-1.036
	Tp6	1,500,001	3,000,000	85%	-1.036
	Tp7	3,000,001	5,000,000	85%	-1.036
	Tp8	5,000,001	7,500,000	90%	-1.282
	Tp9	7,500,001	10,000,000	90%	-1.282
	Tp10	10,000,001	12,500,000	90%	-1.282
	Tp11	12,500,001	15,000,000	90%	-1.282
	Tp12	15,000,001	20,000,000	90%	-1.282
	Tp13	20,000,001	25,000,000	90%	-1.282
	Tp14	25,000,001	30,000,000	90%	-1.282
	Tp15	> 30,000,000		95%	-1.645

Fuente: Manual de carreteras: suelos, geología, geotecnia y pavimentos, 2014, p. 229.

e) El suelo y el Efecto de Capas de Apoyo (Kc)

El factor que la caracteriza a la capa de la subrasante es conocido como el módulo de reacción (K), para lo cual esta capa se mejora en algunos casos, principalmente en la parte intermedia ya sea con material granular o de préstamo, o como también estas pueden ser tratadas, para así otorgar un espesor menor a la capa de concreto establecida en el diseño. Para tal efecto se introduce el módulo de reacción combinada, conocido como (Kc) (Manual de carreteras: suelos, geología, geotecnia y pavimentos, 2014, p. 229).

El manual de carreteras sugiere usar la figura que plantea la metodología AASSHTO, la cual estipula en usar correlaciones directas que permiten determinar el coeficiente K (Manual de carreteras: suelos, geología, geotecnia y pavimentos, 2014, p. 229).

Los materiales que presentan un CBR igual o mayor de 6%, se considera como factible para la capa de la subrasante, pero sin embargo si este valor es menor, en efecto se procederá a la estabilización del suelo o hacer un mejoramiento, pero si eligiendo el propósito más técnico, viable y económico (Manual de carreteras: suelos, geología, geotecnia y pavimentos, 2014, p. 230).

Tabla 22: *CBR Mínimos Recomendados Para la sub Base Granular de Pavimentos Rígidos Según la Intensidad del Tráfico Expresado en EE*

Tráfico	Ensayo Norma	Requerimiento
Para tráfico $\leq 15 \times 10^6$ EE	MTC E 132	CBR mínimo 40% (1)
Para tráfico $> 15 \times 10^6$ EE	MTC E 132	CBR mínimo 60% (1)

(1) Referido al 100% de la Máxima Densidad Seca y una Penetración de carga de 0.1" (2.5mm)

Fuente: Manual de carreteras: suelos, geología, geotecnia y pavimentos, 2014, p. 231.

f) Resistencia a Flexotracción del Concreto (MR)

El pavimento está sometido a flexión, por la transferencia de cargas del tránsito. Por ende, la metodología AASSHTO, nos permite usar la siguiente tabla (Manual de carreteras: suelos, geología, geotecnia y pavimentos, 2014, p. 231).

Tabla 23: Valores de Resistencia de Concreto Según la Demanda de Tráfico

Rangos de Tráfico Pesado Expresado en EE	Resistencia Mínima a la Flexotracción del Concreto (MR)	Resistencia Mínima Equivalente a la Compresión del Concreto (F'C)
≤ 5'000,000 EE	40 kg/cm ²	280 kg/cm ²
> 5'000,000 EE	42 kg/cm ²	300 kg/cm ²
≤ 15'000,000 EE	44 kg/cm ²	320 kg/cm ²
> 15'000,000 EE	45 kg/cm ²	350 kg/cm ²

Fuente: Manual de carreteras: suelos, geología, geotecnia y pavimentos, 2014, p. 231.

g) Drenaje (Cd)

Es importante analizar la presencia de agua o humedad, en la estructura del pavimento, para así no tener consecuencias con la subrasante y con la losa de concreto.

Este parámetro implica el tiempo que se mantiene el agua en la losa del concreto, a su vez el nivel de drenaje depende del diseño de redes de drenaje, para cual hayan sido diseñadas, como también de la permeabilidad de la subbase y la subrasante (Manual de carreteras: suelos, geología, geotecnia y pavimentos, 2014, p. 232).

El coeficiente de drenaje tiene una variación entre 0.70 y 1.25, esto de acuerdo a las condiciones de la permeabilidad de la estructura del pavimento, pero de cierto modo la normativa nos establece usar para efectos de diseño en los pavimentos el valor de 1.00 (Manual de carreteras: suelos, geología, geotecnia y pavimentos, 2014, p. 232).

Tablas de condiciones de drenaje:

Tabla 24: Condiciones de Drenaje

Calidad de Drenaje	50% de Saturación en:	85% de saturación en:
Excelente	2 horas	2 horas
Bueno	1 día	2 a 5 horas
Regular	1 semana	5 a 10 horas
Pobre	1 mes	más de 10 horas
Muy Pobre	El agua no drena	mucho más de 10 horas

Fuente: Manual de carreteras: suelos, geología, geotecnia y pavimentos, 2014, p. 232.

Tabla 25: Coeficiente de Drenaje de las Capas Granulares Cd

Calidad de Drenaje	% del Tiempo en que el Pavimento está Expuesto a Niveles de Humedad Próximos a la Saturación			
	< 1%	1 a 5%	5 a 25%	> 25%
Excelente	1.25 - 1.20	1.20 - 1.15	1.15 - 1.10	1.10
Bueno	1.20 - 1.15	1.15 - 1.10	1.10 - 1.00	1.00
Regular	1.15 - 1.10	1.10 - 1.00	1.00 - 0.90	0.90
Pobre	1.10 - 1.00	1.00 - 0.90	0.90 - 0.80	0.80
Muy Pobre	1.00 - 0.90	0.90 - 0.80	0.80 - 0.70	0.70

Fuente: Manual de carreteras: suelos, geología, geotecnia y pavimentos, 2014, p. 233.

h) Transferencia de Cargas (J)

“El valor de J es directamente proporcional al valor final del espesor de losa de concreto. Es decir, a menor valor de J, menor espesor de concreto.”

(Manual de carreteras: suelos, geología, geotecnia y pavimentos, 2014, p. 233).

Tabla 26: Valores de Coeficiente de Transmisión de Carga J.

Tipo de Berma	J			
	Granular o Asfáltica		Concreto Hidráulico	
Valores J	SI (con pasadores)	NO (con pasadores)	SI (con pasadores)	NO (con pasadores)
	3.2	3.8 - 4.4	2.8	3.8

Fuente: Manual de carreteras: suelos, geología, geotecnia y pavimentos, 2014, p. 233.

2.3. Definición de Términos:

Guadua Angustifolia

La guadua angustifolia considerada como una de las especies de la planta del bambú, que se encuentra principalmente en la región tropical de las naciones andinas nativas, que posee propiedades físico mecánicas apropiadas principalmente para el caso de las edificaciones sismorresistentes (Mvcs, 2012, p. 5).

Culmo

Se conoce como culmo al tallo aéreo de la guadua angustifolia, así como al del bambú, es decir es la parte que se encuentra comprendida conjuntamente con los nudos y entrenudos, o como algunos los conocen comúnmente como caña.

Fibras de Guadua Angustifolia (Bambú)

Las fibras conocidas como conjunto de filamentos, ya sea de diferentes tamaños, pero sí de espesores pequeños, lo cual sigue un proceso para su utilización como tal.

El término fibra de bambú se conoce como el desperdicio, es decir aserrín seleccionado principalmente por el peso de esta materia, la cual es sumergido en agua. Puesto que se atiende a este término con la norma ASTM C-1116-89 (Arbeláez, 1997, p. 131).

2.4. Hipótesis

2.4.1. Hipótesis General

La aplicación de fibras de guadua angustifolia mejora las propiedades mecánicas del concreto para el diseño de pavimentos rígidos.

2.4.2. Hipótesis Específicas

- a. Al aplicar las fibras de guadua angustifolia se incrementa la resistencia a compresión del concreto.
- b. Aplicando las fibras de guadua angustifolia se incrementa la resistencia a flexotracción del concreto.
- c. La utilización de fibras de guadua angustifolia mejora el módulo de elasticidad del concreto.

2.5. Variables

2.5.1. Definición conceptual de las variables

Variable Independiente (X): Guadua Angustifolia

Es una de las especies de la planta del bambú, que se encuentra principalmente en la región tropical de las naciones andinas nativas, que posee propiedades físico mecánicas apropiadas para el caso de las edificaciones sismorresistentes (Mvcs, 2012, p. 5).

Variable Dependiente (Y): Diseño de Pavimento Rígido

El pavimento rígido es considerado como una losa de concreto la cual, al ser resistente absorbe casi la totalidad de las cargas de tránsito, así proyectando cargas menores a las capas subyacentes y finalmente a la subrasante (Mtc: Manual de carreteras, 2013, p. 261).

2.5.2. Definición operacional de las variables

Variable Independiente (X): Guadua Angustifolia

La guadua angustifolia es una especie predominante del bambú de la selva central, la cual esta materia prima se utilizó como fibra, es decir se aplicó en los porcentajes del 0.5%, 1.0% y 1.5%, en adición al

concreto estándar, ya que al estar compuesto por con un conjunto de filamentos tiene la característica de ser resistente, además por encontrarse al alcance del ser humano.

Variable Dependiente (Y): Diseño de Pavimento Rígido

El diseño constó en adicionar la fibra de guadua angustifolia en el concreto estándar, lo cual esta afectará positivamente en las propiedades físico-mecánicas que se requiere para el diseño del pavimento rígido.

2.5.3. Operacionalización de las variables

Matriz de Operacionalización de las Variables

VARIABLE	DEFINICIÓN CONCEPTUAL	DIMENSIÓN	INDICADOR
Variable Independiente (X): Guadua Angustifolia	Es una de las especies de la planta del bambú, que se encuentra principalmente en la región tropical de las naciones andinas nativas, que posee propiedades físico mecánicas apropiadas para el caso de las edificaciones sismorresistentes. (Mvcs, 2012, p. 5).	Porcentaje (%)	0.0 %
			0.5%
			1.0%
			1.5%
Variable Dependiente (Y): Diseño de Pavimento Rígido	El pavimento rígido es considerado como una losa de concreto la cual, al ser resistente absorbe casi la totalidad de las cargas de tránsito, así proyectando cargas menores a las capas subyacentes y finalmente a la subrasante. (Mtc: Manual de carreteras, 2013, p. 261).	Resistencia a la compresión	Ensayo de rotura
		Resistencia a la flexotracción	Ensayo módulo de rotura
		Módulo de elasticidad	Cálculo de módulo de elasticidad

Fuente: Elaboración Propia.

CAPITULO III

METODOLOGÍA

3.1. Método de investigación

Para la presente investigación se hizo uso del método científico, la cual consiste en el camino jerarquizado y organizado que se debe seguir para la obtención de resultados. Este propósito opera con términos, conceptos, definiciones y variables acorde a la recolección de datos, para así construir el sistema teórico de la ciencia, y posteriormente lograr el objetivo planteado (Gómez, 2012, p. 85).

Este método se encuentra presente en las investigaciones ya sea de carácter cuantitativa o cualitativa. Asimismo, este método encaminará al presente estudio determinar los objetivos planteados, con la obtención de resultados de los diferentes ensayos.

3.2. Tipo de Investigación:

Tipo de Investigación Práctico o Aplicada

La presente investigación fue de tipo aplicada ya que se hizo uso de los conocimientos, teorías para llegar al propósito planteado. Lo cual quiere decir que el empleo de conocimientos con la práctica se alcanza a valorar a la investigación práctica o aplicada (Muñoz, 2015, “Investigación practica o aplicada”, párr. 2).

3.3. Nivel de investigación:

Explicativo

La presente investigación tuvo como nivel de investigación explicativo, porque pretendió explicar las causas y efectos del uso de guadua angustifolia en el diseño de pavimentos rígidos. En ese mismo orden, Ñaupas, Valdivia, Palacios, Romero (2018) sostienen que este nivel, tiene la característica de ser riguroso y compleja a la básica, que tiene como propósito la verificación de la hipótesis planteada según el diseño de investigación optada (p. 135).

3.4. Diseño de la investigación:

Causal comparativo

El diseño de investigación fue Causal comparativo, ya que ha consistido en la recolección de información de dos muestras, para así posteriormente verificar el comportamiento de una de las variables en estudio, tratando de controlar estadísticamente las otras variables en la que podrían involucrar a la variable dependiente (Espinoza, 2010, p. 94):

Tabla 27: *Diseño de Investigación Causal Comparativo*

Muestra en estudio, Observación ó medición	
Mp	O1
Me	O2

Fuente: Elaboración Propia.

Mp = Muestra patrón

Me = Muestra experimental con adición de Guadua (0.0%, 0.5%, 1.0%, 1.5%)

O1 = Observación del diseño de pavimento rígido de la muestra patrón:
Ensayos de laboratorio

O2 = Observación del diseño de pavimento rígido de la muestra experimental

3.5. Población y muestra:

Población

La población fue considerada como el conjunto de elementos o el total de un fenómeno en estudio, es decir, estos elementos tienen que poseer las mismas propiedades o características, para su análisis (Gómez, 2012, p. 87).

Tabla 28: *Población Para Resistencia a Compresión.*

Población Para Resistencia a Compresión			
Guadua Angustifolia (%)	Día de Ensayo	Cantidad Ensayos	Número de Días x Cantidad
0.0%	3, 7, 14, 28	3	12
0.5%	3, 7, 14, 28	3	12
1.0%	3, 7, 14, 28	3	12
1.5%	3, 7, 14, 28	3	12
Total, de ensayos a realizar			48

Fuente: Elaboración Propia.

Tabla 29: *Población Para Resistencia a Flexotracción.*

Población Para Resistencia a Flexotracción			
Guadua Angustifolia (%)	Día de Ensayo	Cantidad Ensayos	Número de Días x Cantidad
0.0%	28	1	1
0.5%	28	1	1
1.0%	28	1	1
1.5%	28	1	1
Total, de ensayos a realizar			4

Fuente: Elaboración Propia.

Tabla 30: *Población Para Asentamiento Resistencia a Compresión y Flexotracción.*

Población Para Asentamiento del Concreto			
Guadua Angustifolia (%)	Día de Ensayo	Cantidad Ensayos	Número de Días x Cantidad
0.0%	1	2	2
0.5%	1	2	2
1.0%	1	2	2
1.5%	1	2	2
Total, de ensayos a realizar			8

Fuente: Elaboración Propia.

Para la presente investigación la población determinada para la resistencia a compresión constó de un total de 48 ensayos, así como para la resistencia a flexotracción constó de un total de 4 ensayos y finalmente para el Asentamiento del concreto se necesitó de 8 ensayos, eso sí mencionando con la aplicación de fibras de Guadua Angustifolia en cada ensayo mencionado anteriormente.

Muestra

Según Romaní (como se citó en López, 1998, p. 123), “la muestra censal es aquella porción que representa la población”.

La muestra en el presente estudio fue por el método de muestreo censal, ya que se tendrá una consideración del 100% de la población, es decir para lo cual se contará el número de ensayos a realizar de la base de datos.

3.6. Técnicas e instrumentos de recolección de datos:

Observación: Esta técnica se empleó con la ficha de observación, la cual servirá para la recopilación de información de campo, tal como el proceso de extracción de fibras de bambú, estudio de tráfico y el ensayo de CBR. Asimismo, esta servirá para el planteamiento del diseño del pavimento rígido y posteriormente para el diseño de mezcla del concreto.

Información bibliográfica: Esta técnica consistió en el empleo de revistas, libros, tesis de los repositorios, normativas, textos de carácter científico, con el propósito de tener y adquirir los conocimientos científicos para el desarrollo de esta investigación.

Ficha de observación - Laboratorio: El empleo de este instrumento sirvió para el análisis del objetivo planteado en la presente investigación, es decir para la

toma de datos de ensayos realizados en el laboratorio, con la adición de fibras de guadua angustifolia, en diferentes proporciones en el concreto.

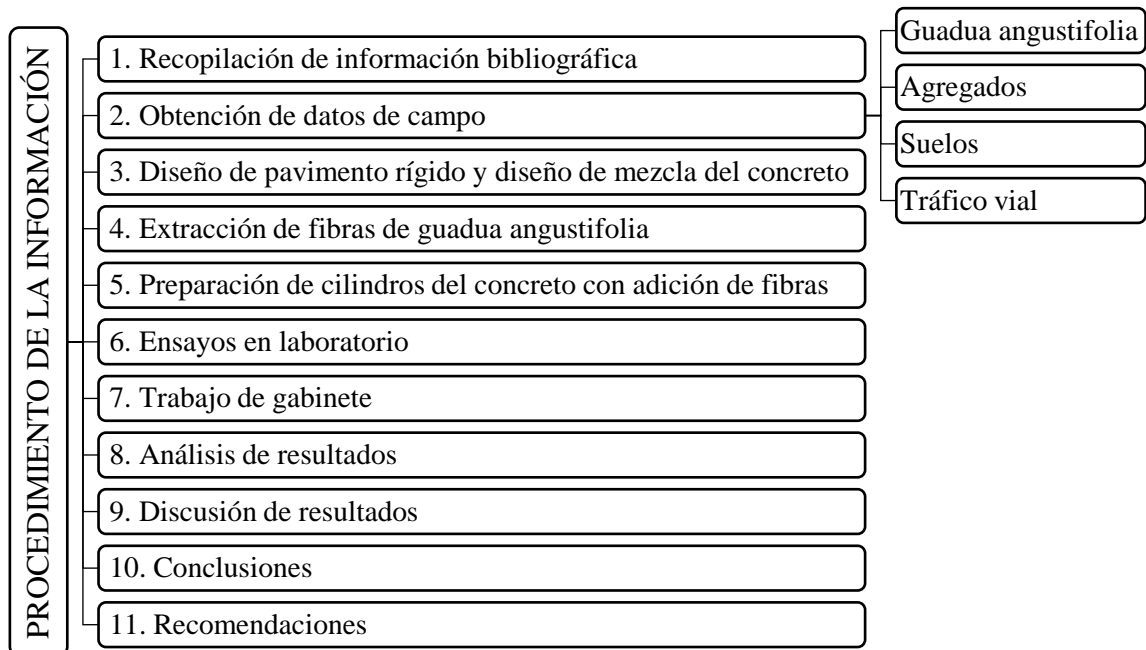
Normativas que se utilizaron en la presente investigación:

- **NTP 339.127:1998 (revisada el 2019):** Ensayo para determinar el contenido de humedad de un suelo.
- **NTP 339.128:1999 (revisada el 2019):** Ensayo para determinar el análisis granulométrico.
- **NTP 339.129:1999 (revisada el 2019):** Ensayo para determinar el límite líquido, límite plástico e índice de plasticidad del suelo.
- **NTP 339.140:1999 (revisada el 2019):** Ensayo para determinar los factores de contracción de suelos mediante el método de mercurio.
- **NTP 339.135:1999 (revisada el 2019):** Método para clasificación de suelos en vías de transporte.
- **NTP 339.145:1999 (revisada el 2019):** Método de ensayo de CBR (Laboratorio).
- **NTP 400.017:2020:** Ensayo para determinar el peso unitario y los vacíos en los agregados.
- **NTP 400.012:2013 (revisada el 2018):** Análisis granulométrico de agregados fino, grueso y global.
- **NTP 400.021:2020:** Peso específico y absorción del agregado grueso.
- **NTP 400.022:2013: (revisada el 2018):** Peso específico y absorción del agregado fino.
- **MTC E-215:** Ensayo para contenido de humedad total de los agregados por secado.

- **NTP 339.036:2017:** Muestreo de concreto fresco.
- **NTP 339.183:2013 (revisada el 2018):** Elaboración y curado de especímenes de concreto en laboratorio.
- **NTP 339.034:2015:** Método para determinar la resistencia a la compresión testigos cilíndricos del concreto.
- **NTP 339.084:2012 (revisada el 2017):** Método para determinar la resistencia a tracción simple del concreto.
- **NTP 339.035:2015:** Ensayo para la determinación del asentamiento del concreto.

3.7. Procesamiento de la información

La presente investigación empleó la siguiente secuencia para el procedimiento de información.



3.8. Técnicas y análisis de datos

El análisis de datos de esta investigación será de tipo cuantitativo, es decir se desarrollará tablas, figuras, por medio del programa Excel, de la recopilación de información de campo, así como de la obtención de resultados de los distintos ensayos analizados en laboratorio, para así posteriormente interpretarlos, acorde a los resultados obtenidos.

CAPITULO IV

RESULTADOS

4.1. Conteo y clasificación vehicular

El conteo y clasificación vehicular tiene como propósito determinar la demanda de tráfico vehicular ocasionado por el parque automotor en el lugar del estudio, para lo cual es indispensable tener estos datos producidos durante un periodo determinado, tanto de vehículos ligeros, así como el de los vehículos pesados, para efectos del diseño de un pavimento rígido.

Para el registro de conteo y clasificación vehicular, se consideró una estación de conteo vehicular que fue dentro del entorno de la Av. Pioneros, Distrito de la Merced y Provincia de Chanchamayo, de la Región Junín, que fue realizada en la presente fecha, desde el lunes 26 de abril del 2021 hasta el domingo 2 de mayo del 2021, que fueron tomadas de acuerdo al formato del Ministerio de transportes y comunicaciones, que a su vez nos permiten identificar con facilidad el tipo de vehículo en tránsito en la vía de estudio.

Para el planteamiento del registro de conteo y clasificación vehicular, podemos apreciar en las siguientes tablas, las cuales que nos permiten observar la demanda de transitabilidad vehicular producidas durante la semana.

4.1.1. Resumen de conteo y clasificación vehicular del día Lunes 26 de abril del 2021, en sentido Este a Oeste

Tabla 31: Resumen de Conteo Vehicular en la Estación de la Av. Pioneros con la Av. Fray Deuniso.

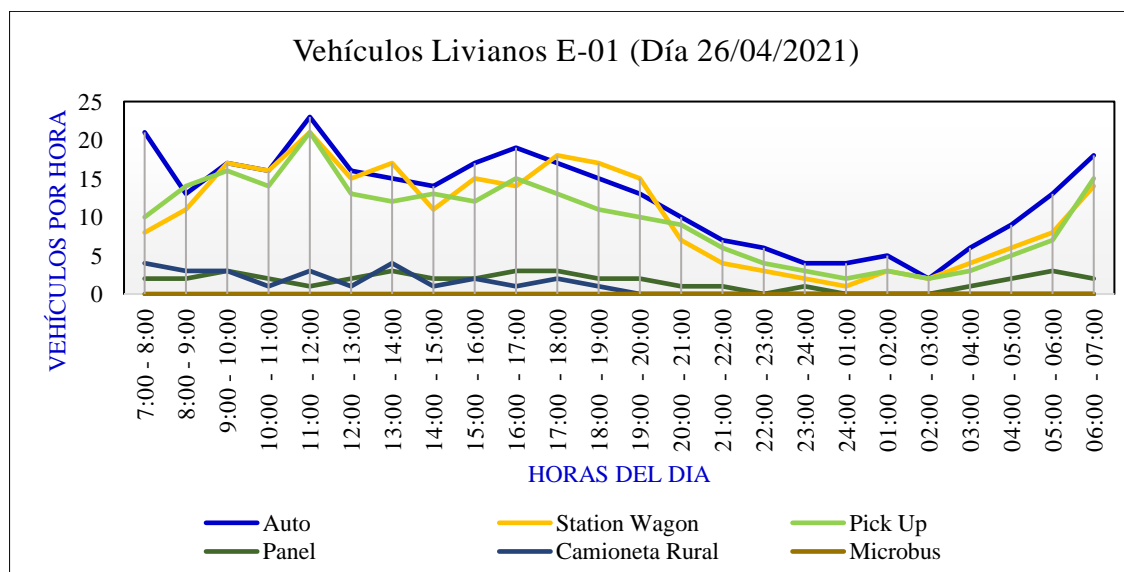
Hora	Auto	Station Wagon	Pick Up	Panel	Camioneta Rural	Microbús	Bus			Camión			Semi Traylor					Trayler			
							B2	B3-1	B4-1	C2	C3	C4	T2S1	T2S2	T2S3	T3S1	T3S2	T3S3	C2R2	C2R3	C3R2
Diagrama Vehicular																					
7:00 - 8:00	21	8	10	2	4	0	0	0	0	1	1	0	0	0	0	0	0	0	0	0	0
8:00 - 9:00	13	11	14	2	3	0	0	0	0	1	1	0	0	0	0	0	0	0	0	0	0
9:00 - 10:00	17	17	16	3	3	0	0	0	0	3	2	0	0	0	0	0	0	1	0	0	0
10:00 - 11:00	16	16	14	2	1	0	0	0	0	2	1	0	0	0	0	0	0	0	0	0	0
11:00 - 12:00	23	21	21	1	3	0	0	0	0	3	3	0	0	0	0	0	0	0	0	0	0
12:00 - 13:00	16	15	13	2	1	0	0	0	0	2	1	0	0	0	0	0	0	0	0	0	0
13:00 - 14:00	15	17	12	3	4	0	0	0	0	2	1	0	0	0	0	0	0	0	0	0	0
14:00 - 15:00	14	11	13	2	1	0	0	0	0	1	0	0	0	0	0	0	0	0	0	0	0
15:00 - 16:00	17	15	12	2	2	0	0	0	0	2	1	0	0	0	0	0	0	1	0	0	0
16:00 - 17:00	19	14	15	3	1	0	0	0	0	2	2	0	0	0	0	0	0	0	0	0	0
17:00 - 18:00	17	18	13	3	2	0	0	0	0	1	1	0	0	0	0	0	0	0	0	0	0
18:00 - 19:00	15	17	11	2	1	0	0	0	0	3	2	0	0	0	0	0	0	0	0	0	0
19:00 - 20:00	13	15	10	2	0	0	0	0	0	2	1	0	0	0	0	0	0	0	0	0	0
20:00 - 21:00	10	7	9	1	0	0	0	0	0	1	0	0	0	0	0	0	0	0	0	0	0
21:00 - 22:00	7	4	6	1	0	0	0	0	0	0	0	0	0	0	0	0	0	0	0	0	0
22:00 - 23:00	6	3	4	0	0	0	0	0	0	0	0	0	0	0	0	0	0	0	0	0	0
23:00 - 24:00	4	2	3	1	0	0	0	0	0	0	0	0	0	0	0	0	0	0	0	0	0
24:00 - 01:00	4	1	2	0	0	0	0	0	0	0	0	0	0	0	0	0	0	0	0	0	0
01:00 - 02:00	5	3	3	0	0	0	0	0	0	0	0	0	0	0	0	0	0	0	0	0	0
02:00 - 03:00	2	2	2	0	0	0	0	0	0	0	0	0	0	0	0	0	0	0	0	0	0
03:00 - 04:00	6	4	3	1	0	0	0	0	0	0	0	0	0	0	0	0	0	0	0	0	0
04:00 - 05:00	9	6	5	2	0	0	0	0	0	0	0	0	0	0	0	0	0	0	0	0	0
05:00 - 06:00	13	8	7	3	0	0	0	0	0	1	1	0	0	0	0	0	0	0	0	0	0
06:00 - 07:00	18	14	15	2	0	0	0	0	0	2	3	0	0	0	0	0	0	0	0	0	0
Parcial:	300	249	233	40	26	0	0	0	0	29	21	0	0	0	0	0	0	2	0	0	0
Desviado 10% :	30	25	23	4	3	0	0	0	0	3	2	0	0	0	0	0	0	0	0	0	0
Generado 10% :	30	25	23	4	3	0	0	0	0	3	2	0	0	0	0	0	0	0	0	0	0
Total	360	299	279	48	32	0	0	0	0	35	25	0	0	0	0	0	0	2	0	0	0

Hora	Auto	Station Wagon	Pick Up	Panel	Camioneta Rural	Microbús	Bus			Camión			Semi Trayler			Trayler					
							B2	B3-1	B4-1	C2	C3	C4	T2S1	T2S2	T2S3	T3S1	T3S2	T3S3	C2R2	C2R3	C3R2
Diagrama Vehicular																					
Total Agrupado	Livianos			1018		Buses			0	Camiones			60	Semi Trayler			2	Traylers			0
							Total										1080				

Fuente: Elaboración Propia.

A continuación, podemos apreciar en las figuras 10, 11 la variación horaria en la estación de conteo vehicular, tanto para vehículos livianos, así como para vehículos pesados, las cuales están de acuerdo a la Tabla 31.

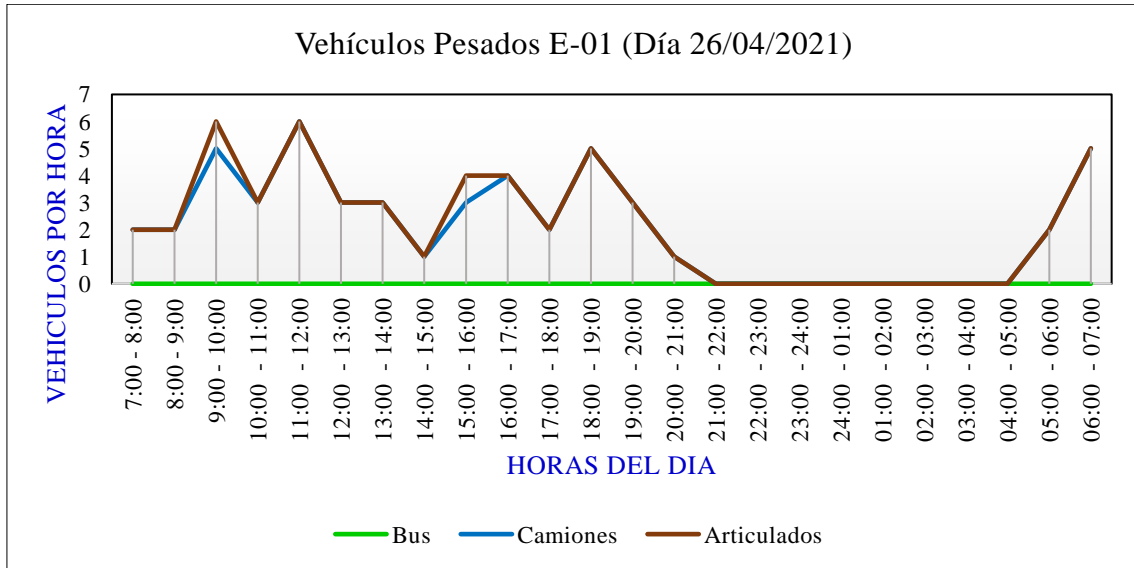
Figura 10: Variación Horaria, Hora Pico de Demanda Vehículos Livianos.



Fuente: Elaboración Propia.

Según la figura 10, podemos mencionar que la hora pico de demanda vehicular, está dada entre las 11:00am a 12:00pm, la cual es originada generalmente por el auto, station wagon y pick up, por otra parte, la que no incide mucho en la hora pico son el panel y la camioneta rural.

Figura 11: Variación Horaria, Hora Pico de Demanda Vehículos Pesados.



Fuente: Elaboración Propia.

Según la figura 11, se puede apreciar que la hora pico de demanda está comprendida entre las 9:00am y 10:00am, en las que los componen el camión, semi trayler y trayler, mientras la que no tiene mucha incidencia es el bus.

4.1.2. Resumen de conteo y clasificación vehicular del día Martes 27 de abril del 2021, en sentido Este a Oeste

Tabla 32: Resumen de Conteo Vehicular en la Estación de la Av. Pioneros con la Av. Fray Deuniso.

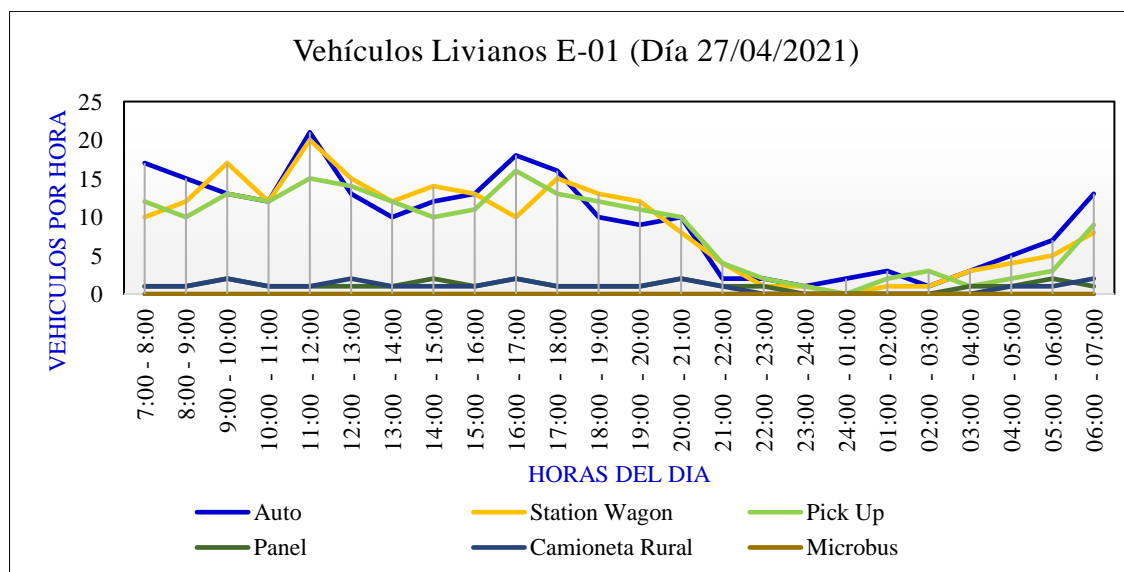
Hora	Auto	Station Wagon	Pick Up	Panel	Camioneta Rural	Microbús	Bus			Camión				Semi Traylor					Trayler		
							B2	B3-1	B4-1	C2	C3	C4	T2S1	T2S2	T2S3	T3S1	T3S2	T3S3	C2R2	C2R3	C3R2
Diagrama Vehicular																					
7:00 - 8:00	17	10	12	1	1	0	0	0	0	1	2	0	0	0	0	0	0	0	0	0	0
8:00 - 9:00	15	12	10	1	1	0	0	0	0	2	1	0	0	0	0	0	0	0	0	0	0
9:00 - 10:00	13	17	13	2	2	0	0	0	0	1	1	0	0	0	0	0	0	0	0	0	0
10:00 - 11:00	12	12	12	1	1	0	0	0	0	1	1	0	0	0	0	0	0	0	0	0	0
11:00 - 12:00	21	20	15	1	1	0	0	0	0	1	1	0	0	0	0	0	0	1	0	0	0
12:00 - 13:00	13	15	14	1	2	0	0	0	0	1	1	0	0	0	0	0	0	0	0	0	0
13:00 - 14:00	10	12	12	1	1	0	0	0	0	1	2	0	0	0	0	0	0	0	0	0	0
14:00 - 15:00	12	14	10	2	1	0	0	0	0	1	1	0	0	0	0	0	0	0	0	0	0
15:00 - 16:00	13	13	11	1	1	0	0	0	0	1	1	0	0	0	0	0	0	0	0	0	0
16:00 - 17:00	18	10	16	2	2	0	0	0	0	2	1	0	0	0	0	0	0	0	0	0	0
17:00 - 18:00	16	15	13	1	1	0	0	0	0	1	1	0	0	0	0	0	0	0	0	0	0
18:00 - 19:00	10	13	12	1	1	0	0	0	0	1	1	0	0	0	0	0	0	0	0	0	0
19:00 - 20:00	9	12	11	1	1	0	0	0	0	1	2	0	0	0	0	0	0	0	0	0	0
20:00 - 21:00	10	8	10	2	2	0	0	0	0	0	1	0	0	0	0	0	0	0	0	0	0
21:00 - 22:00	2	4	4	1	1	0	0	0	0	0	0	0	0	0	0	0	0	0	0	0	0
22:00 - 23:00	2	1	2	1	0	0	0	0	0	0	0	0	0	0	0	0	0	0	0	0	0
23:00 - 24:00	1	1	1	0	0	0	0	0	0	0	0	0	0	0	0	0	0	0	0	0	0
24:00 - 01:00	2	0	0	0	0	0	0	0	0	0	0	0	0	0	0	0	0	0	0	0	0
01:00 - 02:00	3	1	2	0	0	0	0	0	0	0	0	0	0	0	0	0	0	0	0	0	0
02:00 - 03:00	1	1	3	0	0	0	0	0	0	0	0	0	0	0	0	0	0	0	0	0	0
03:00 - 04:00	3	3	1	1	0	0	0	0	0	0	0	0	0	0	0	0	0	0	0	0	0
04:00 - 05:00	5	4	2	1	1	0	0	0	0	0	0	0	0	0	0	0	0	0	0	0	0
05:00 - 06:00	7	5	3	2	1	0	0	0	0	1	0	0	0	0	0	0	0	0	0	0	0
06:00 - 07:00	13	8	9	1	2	0	0	0	0	1	2	0	0	0	0	0	0	0	0	0	0
Parcial:	228	211	198	25	23	0	0	0	0	17	19	0	0	0	0	0	0	1	0	0	0
Desviado 10% :	23	21	20	3	2	0	0	0	0	2	2	0	0	0	0	0	0	0	0	0	0
Generado 10% :	23	21	20	3	2	0	0	0	0	2	2	0	0	0	0	0	0	0	0	0	0
Total	274	253	238	31	27	0	0	0	0	21	23	0	0	0	0	0	0	1	0	0	0

Hora	Auto	Station Wagon	Pick Up	Panel	Camioneta Rural	Microbús	Bus			Camión			Semi Trayler			Trayler						
							B2	B3-1	B4-1	C2	C3	C4	T2S1	T2S2	T2S3	T3S1	T3S2	T3S3	C2R2	C2R3	C3R2	
Diagrama Vehicular																						
Total Agrupado	Livianos			823			Buses			0	Camiones			44	Semi Trayler			1	Traylers			0
Total							868															

Fuente: Elaboración Propia.

A continuación, podemos apreciar en las figuras 12, 13 la variación horaria en la estación de conteo vehicular, tanto para vehículos livianos, así como para vehículos pesados, las cuales están de acuerdo a la Tabla 32.

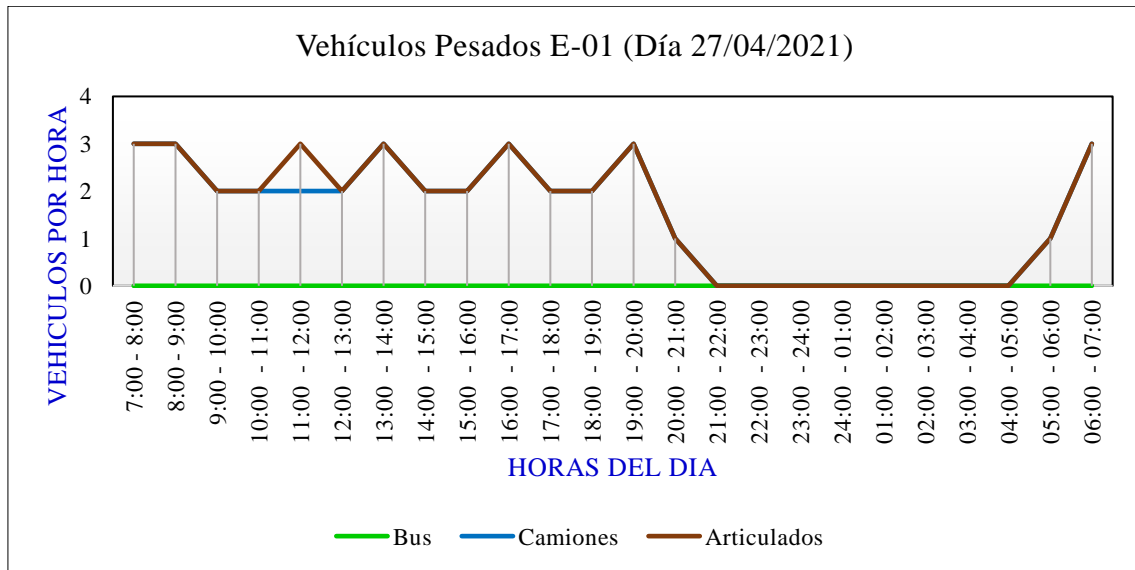
Figura 12: Variación Horaria, Hora Pico de Demanda Vehículos Livianos.



Fuente: Elaboración Propia.

Según la figura 12, podemos mencionar que la hora pico de demanda vehicular, está dada entre las 11:00am a 12:00pm, la cual es originada generalmente por el auto y station wagon, por otra parte, la que no incide mucho en la hora pico son el panel y la camioneta rural.

Figura 13: Variación Horaria, Hora Pico de Demanda Vehículos Pesados.



Fuente: Elaboración Propia.

Según la figura 13, se puede apreciar que la hora pico de demanda está comprendida entre las 11:00am a 12:00am, 13:00pm a 14:00pm y 16:00pm a 17:00pm en las que los componen el semi trayler y trayler.

4.1.3. Resumen de conteo y clasificación vehicular del día Miércoles 28 de abril del 2021, en sentido Este a Oeste

Tabla 33: Resumen de Conteo Vehicular en la Estación de la Av. Pioneros con la Av. Fray Deuniso.

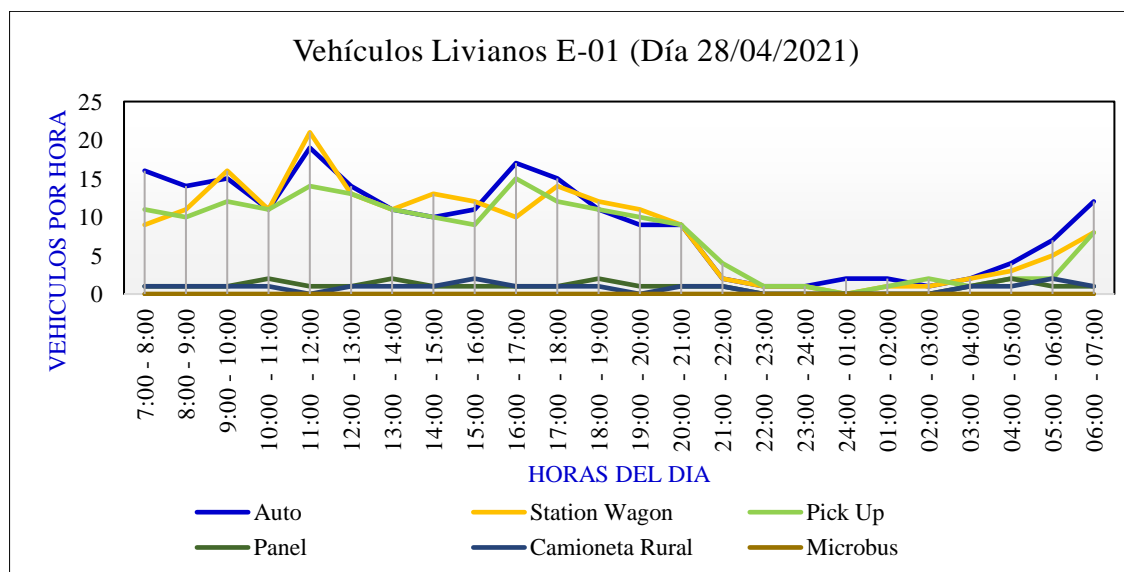
Hora	Auto	Station Wagon	Pick Up	Panel	Camioneta Rural	Microbús	Bus			Camión				Semi Trayler					Trayler		
							B2	B3-1	B4-1	C2	C3	C4	T2S1	T2S2	T2S3	T3S1	T3S2	T3S3	C2R2	C2R3	C3R2
Diagrama Vehicular																					
7:00 - 8:00	16	9	11	1	1	0	0	0	0	1	2	0	0	0	0	0	0	0	0	0	0
8:00 - 9:00	14	11	10	1	1	0	0	0	0	1	1	0	0	0	0	0	0	0	0	0	0
9:00 - 10:00	15	16	12	1	1	0	0	0	0	1	1	0	0	0	0	0	0	1	0	0	0
10:00 - 11:00	11	11	11	2	1	0	0	0	0	1	1	0	0	0	0	0	0	0	0	0	0
11:00 - 12:00	19	21	14	1	0	0	0	0	0	1	1	0	0	0	0	0	0	0	0	0	0
12:00 - 13:00	14	13	13	1	1	0	0	0	0	1	1	0	0	0	0	0	0	0	0	0	0
13:00 - 14:00	11	11	11	2	1	0	0	0	0	2	1	0	0	0	0	0	0	0	0	0	0
14:00 - 15:00	10	13	10	1	1	0	0	0	0	1	1	0	0	0	0	0	0	0	0	0	0
15:00 - 16:00	11	12	9	1	2	0	0	0	0	2	1	0	0	0	0	0	0	0	0	0	0
16:00 - 17:00	17	10	15	1	1	0	0	0	0	1	1	0	0	0	0	0	0	0	0	0	0
17:00 - 18:00	15	14	12	1	1	0	0	0	0	1	1	0	0	0	0	0	0	0	0	0	0
18:00 - 19:00	11	12	11	2	1	0	0	0	0	1	1	0	0	0	0	0	0	0	0	0	0
19:00 - 20:00	9	11	10	1	0	0	0	0	0	1	1	0	0	0	0	0	0	0	0	0	0
20:00 - 21:00	9	9	9	1	1	0	0	0	0	1	0	0	0	0	0	0	0	0	0	0	0
21:00 - 22:00	2	2	4	1	1	0	0	0	0	0	0	0	0	0	0	0	0	0	0	0	0
22:00 - 23:00	1	1	1	0	0	0	0	0	0	0	0	0	0	0	0	0	0	0	0	0	0
23:00 - 24:00	1	1	1	0	0	0	0	0	0	0	0	0	0	0	0	0	0	0	0	0	0
24:00 - 01:00	2	0	0	0	0	0	0	0	0	0	0	0	0	0	0	0	0	0	0	0	0
01:00 - 02:00	2	1	1	0	0	0	0	0	0	0	0	0	0	0	0	0	0	0	0	0	0
02:00 - 03:00	1	1	2	0	0	0	0	0	0	0	0	0	0	0	0	0	0	0	0	0	0
03:00 - 04:00	2	2	1	1	1	0	0	0	0	0	0	0	0	0	0	0	0	0	0	0	0
04:00 - 05:00	4	3	2	2	1	0	0	0	0	1	0	0	0	0	0	0	0	0	0	0	0
05:00 - 06:00	7	5	2	1	2	0	0	0	0	1	0	0	0	0	0	0	0	0	0	0	0
06:00 - 07:00	12	8	8	1	1	0	0	0	0	1	1	0	0	0	0	0	0	0	0	0	0
Parcial:	216	197	180	23	19	0	0	0	0	19	15	0	0	0	0	0	0	1	0	0	0
Desviado 10% :	22	20	18	2	2	0	0	0	0	2	2	0	0	0	0	0	0	0	0	0	0
Generado 10% :	22	20	18	2	2	0	0	0	0	2	2	0	0	0	0	0	0	0	0	0	0
Total	260	237	216	27	23	0	0	0	0	23	19	0	0	0	0	0	0	1	0	0	0

Hora	Auto	Station Wagon	Pick Up	Panel	Camioneta Rural	Microbús	Bus			Camión			Semi Trayler					Trayler						
							B2	B3-1	B4-1	C2	C3	C4	T2S1	T2S2	T2S3	T3S1	T3S2	T3S3	C2R2	C2R3	C3R2			
Diagrama Vehicular																								
Total Agrupado	Livianos			763			Buses			0	Camiones			42	Semi Trayler					1	Traylers			0
Total											806													

Fuente: Elaboración Propia.

A continuación, podemos apreciar en las figuras 14, 15 la variación horaria en la estación de conteo vehicular, tanto para vehículos livianos, así como para vehículos pesados, las cuales están de acuerdo a la Tabla 33.

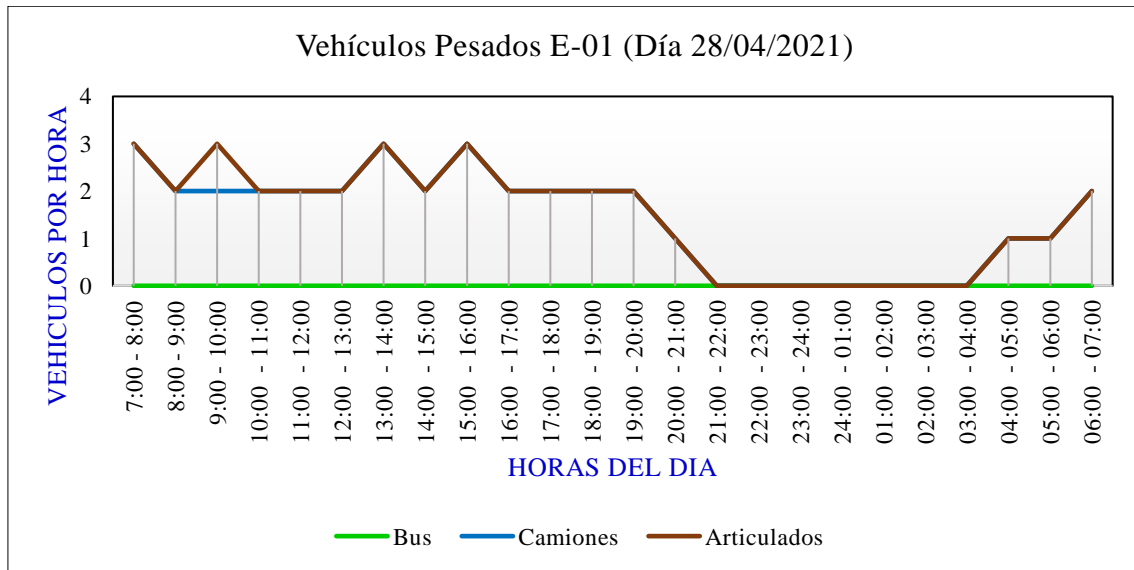
Figura 14: Variación Horaria, Hora Pico de Demanda Vehículos Livianos.



Fuente: Elaboración Propia.

Según la figura 14, podemos mencionar que la hora pico de demanda vehicular, está dada entre las 11:00am a 12:00pm, la cual es originada generalmente por el auto y station wagon, por otra parte, la que no incide mucho en la hora pico son el panel y la camioneta rural.

Figura 15: Variación Horaria, Hora Pico de Demanda Vehículos Pesados.



Fuente: Elaboración Propia.

Según la figura 15, se puede apreciar que la hora pico de demanda está comprendida entre las 9:00am a 10:00am, 13:00pm a 14:00pm y 15:00pm a 16:00pm en las que los componen el semi trayler y trayler.

4.1.4. Resumen de conteo y clasificación vehicular del día Jueves 29 de abril del 2021, en sentido Este a Oeste

Tabla 34: Resumen de Conteo Vehicular en la Estación de la Av. Pioneros con la Av. Fray Deuniso.

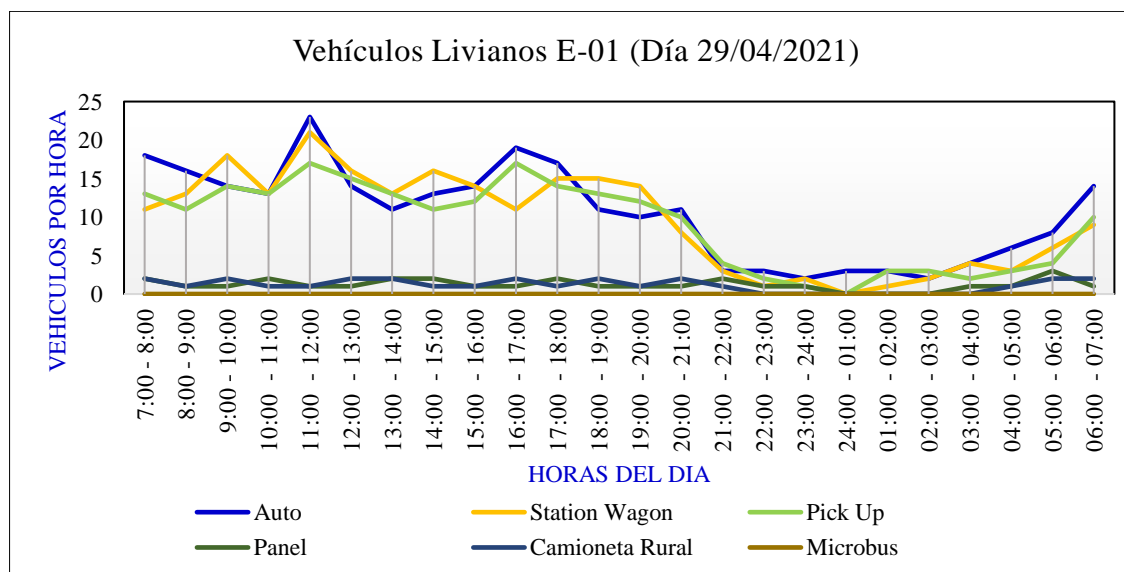
Hora	Auto	Station Wagon	Pick Up	Panel	Camioneta Rural	Microbús	Bus			Camión			Semi Traylor						Trayler		
							B2	B3-1	B4-1	C2	C3	C4	T2S1	T2S2	T2S3	T3S1	T3S2	T3S3	C2R2	C2R3	C3R2
Diagrama Vehicular																					
7:00 - 8:00	18	11	13	2	2	0	0	0	0	1	1	0	0	0	0	0	0	0	0	0	0
8:00 - 9:00	16	13	11	1	1	0	0	0	0	1	1	0	0	0	0	0	0	0	0	0	0
9:00 - 10:00	14	18	14	1	2	0	0	0	0	2	1	0	0	0	0	0	0	0	0	0	0
10:00 - 11:00	13	13	13	2	1	0	0	0	0	1	2	0	0	0	0	0	0	1	0	0	0
11:00 - 12:00	23	21	17	1	1	0	0	0	0	2	1	0	0	0	0	0	0	0	0	0	0
12:00 - 13:00	14	16	15	1	2	0	0	0	0	1	2	0	0	0	0	0	0	0	0	0	0
13:00 - 14:00	11	13	13	2	2	0	0	0	0	1	1	0	0	0	0	0	0	0	0	0	0
14:00 - 15:00	13	16	11	2	1	0	0	0	0	1	1	0	0	0	0	0	0	0	0	0	0
15:00 - 16:00	14	14	12	1	1	0	0	0	0	2	2	0	0	0	0	0	0	0	0	0	0
16:00 - 17:00	19	11	17	1	2	0	0	0	0	3	1	0	0	0	0	0	0	0	0	0	0
17:00 - 18:00	17	15	14	2	1	0	0	0	0	1	1	0	0	0	0	0	0	0	0	0	0
18:00 - 19:00	11	15	13	1	2	0	0	0	0	1	1	0	0	0	0	0	0	0	0	0	0
19:00 - 20:00	10	14	12	1	1	0	0	0	0	0	1	0	0	0	0	0	0	0	0	0	0
20:00 - 21:00	11	8	10	1	2	0	0	0	0	1	0	0	0	0	0	0	0	0	0	0	0
21:00 - 22:00	3	3	4	2	1	0	0	0	0	0	0	0	0	0	0	0	0	0	0	0	0
22:00 - 23:00	3	1	2	1	0	0	0	0	0	0	0	0	0	0	0	0	0	0	0	0	0
23:00 - 24:00	2	2	1	1	0	0	0	0	0	0	0	0	0	0	0	0	0	0	0	0	0
24:00 - 01:00	3	0	0	0	0	0	0	0	0	0	0	0	0	0	0	0	0	0	0	0	0
01:00 - 02:00	3	1	3	0	0	0	0	0	0	0	0	0	0	0	0	0	0	0	0	0	0
02:00 - 03:00	2	2	3	0	0	0	0	0	0	0	0	0	0	0	0	0	0	0	0	0	0
03:00 - 04:00	4	4	2	1	0	0	0	0	0	0	0	0	0	0	0	0	0	0	0	0	0
04:00 - 05:00	6	3	3	1	1	0	0	0	0	0	0	0	0	0	0	0	0	0	0	0	0
05:00 - 06:00	8	6	4	3	2	0	0	0	0	2	1	0	0	0	0	0	0	0	0	0	0
06:00 - 07:00	14	9	10	1	2	0	0	0	0	2	2	0	0	0	0	0	0	0	0	0	0
Parcial:	252	229	217	29	27	0	0	0	0	22	19	0	0	0	0	0	0	1	0	0	0
Desviado 10% :	25	23	22	3	3	0	0	0	0	2	2	0	0	0	0	0	0	0	0	0	0
Generado 10% :	25	23	22	3	3	0	0	0	0	2	2	0	0	0	0	0	0	0	0	0	0
Total	302	275	261	35	33	0	0	0	0	26	23	0	0	0	0	0	0	1	0	0	0

Hora	Auto	Station Wagon	Pick Up	Panel	Camioneta Rural	Microbús	Bus			Camión			Semi Trayler			Trayler																																			
							B2	B3-1	B4-1	C2	C3	C4	T2S1	T2S2	T2S3	T3S1	T3S2	T3S3	C2R2	C2R3	C3R2																														
Diagrama Vehicular																																																			
Total Agrupado	Livianos			906			Buses			0			Camiones			49			Semi Trayler			1			Traylers			956			0																				
Total																						906						Buses			0			Camiones			49			Semi Trayler			1			Traylers			956		

Fuente: Elaboración Propia.

A continuación, podemos apreciar en las figuras 16, 17 la variación horaria en la estación de conteo vehicular, tanto para vehículos livianos, así como para vehículos pesados, las cuales están de acuerdo a la Tabla 34.

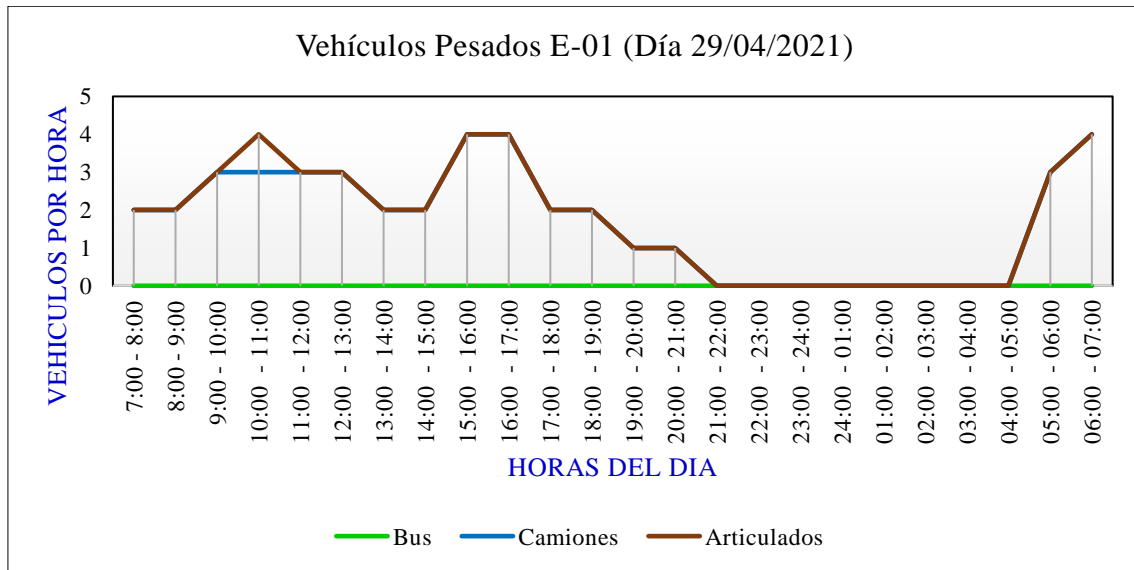
Figura 16: Variación Horaria, Hora Pico de Demanda Vehículos Livianos.



Fuente: Elaboración Propia.

Según la figura 16, podemos mencionar que la hora pico de demanda vehicular, está dada entre las 11:00am a 12:00pm, la cual es originada generalmente por el auto y station wagon, por otra parte, la que no incide mucho en la hora pico son el panel y la camioneta rural.

Figura 17: Variación Horaria, Hora Pico de Demanda Vehículos Pesados.



Fuente: Elaboración Propia.

Según la figura 17, se puede apreciar que la hora pico de demanda está comprendida entre las 10:00am a 11:00am y 15:00pm a 17:00pm en las que los componen el semi trayler y trayler.

4.1.5. Resumen de conteo y clasificación vehicular del día Viernes 30 de abril del 2021, en sentido Este a Oeste

Tabla 35: Resumen de Conteo Vehicular en la Estación de la Av. Pioneros con la Av. Fray Deuniso.

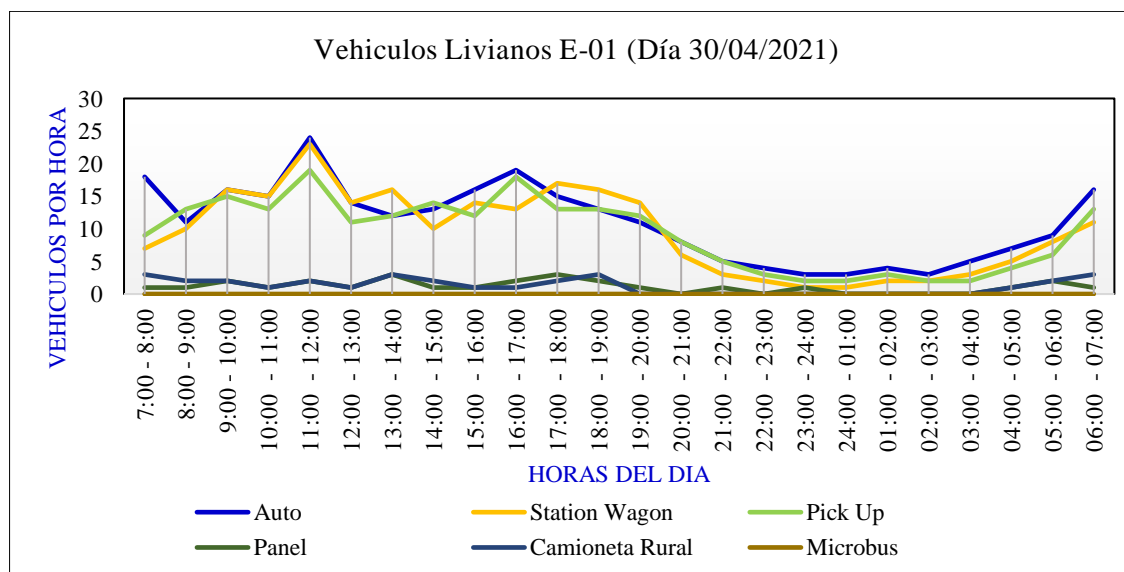
Hora	Auto	Station Wagon	Pick Up	Panel	Camioneta Rural	Microbús	Bus			Camión				Semi Traylor					Trayler		
							B2	B3-1	B4-1	C2	C3	C4	T2S1	T2S2	T2S3	T3S1	T3S2	T3S3	C2R2	C2R3	C3R2
Diagrama Vehicular																					
7:00 - 8:00	18	7	9	1	3	0	0	0	0	0	1	0	0	0	0	0	0	0	0	0	0
8:00 - 9:00	11	10	13	1	2	0	0	0	0	1	0	0	0	0	0	0	0	0	0	0	0
9:00 - 10:00	16	16	15	2	2	0	0	0	0	3	1	0	0	0	0	0	0	0	0	0	0
10:00 - 11:00	15	15	13	1	1	0	0	0	0	1	1	0	0	0	0	0	0	1	0	0	0
11:00 - 12:00	24	23	19	2	2	0	0	0	0	3	2	0	0	0	0	0	0	0	0	0	0
12:00 - 13:00	14	14	11	1	1	0	0	0	0	2	1	0	0	0	0	0	0	0	0	0	0
13:00 - 14:00	12	16	12	3	3	0	0	0	0	2	2	0	0	0	0	0	0	0	0	0	0
14:00 - 15:00	13	10	14	1	2	0	0	0	0	1	1	0	0	0	0	0	0	0	0	0	0
15:00 - 16:00	16	14	12	1	1	0	0	0	0	3	0	0	0	0	0	0	0	0	0	0	0
16:00 - 17:00	19	13	18	2	1	0	0	0	0	4	1	0	0	0	0	0	0	0	0	0	0
17:00 - 18:00	15	17	13	3	2	0	0	0	0	2	1	0	0	0	0	0	0	0	0	0	0
18:00 - 19:00	13	16	13	2	3	0	0	0	0	2	2	0	0	0	0	0	0	0	0	0	0
19:00 - 20:00	11	14	12	1	0	0	0	0	0	1	1	0	0	0	0	0	0	0	0	0	0
20:00 - 21:00	8	6	8	0	0	0	0	0	0	0	2	0	0	0	0	0	0	0	0	0	0
21:00 - 22:00	5	3	5	1	0	0	0	0	0	1	0	0	0	0	0	0	0	0	0	0	0
22:00 - 23:00	4	2	3	0	0	0	0	0	0	0	0	0	0	0	0	0	0	0	0	0	0
23:00 - 24:00	3	1	2	1	0	0	0	0	0	0	0	0	0	0	0	0	0	0	0	0	0
24:00 - 01:00	3	1	2	0	0	0	0	0	0	0	0	0	0	0	0	0	0	0	0	0	0
01:00 - 02:00	4	2	3	0	0	0	0	0	0	0	0	0	0	0	0	0	0	0	0	0	0
02:00 - 03:00	3	2	2	0	0	0	0	0	0	0	0	0	0	0	0	0	0	0	0	0	0
03:00 - 04:00	5	3	2	0	0	0	0	0	0	0	0	0	0	0	0	0	0	0	0	0	0
04:00 - 05:00	7	5	4	1	1	0	0	0	0	0	0	0	0	0	0	0	0	0	0	0	0
05:00 - 06:00	9	8	6	2	2	0	0	0	0	1	1	0	0	0	0	0	0	0	0	0	0
06:00 - 07:00	16	11	13	1	3	0	0	0	0	1	1	0	0	0	0	0	0	0	0	0	0
Parcial:	264	229	224	27	29	0	0	0	0	28	18	0	0	0	0	0	1	0	0	0	
Desviado 10% :	26	23	22	3	3	0	0	0	0	3	2	0	0	0	0	0	0	0	0	0	
Generado 10% :	26	23	22	3	3	0	0	0	0	3	2	0	0	0	0	0	0	0	0	0	
Total	316	275	268	33	35	0	0	0	0	34	22	0	0	0	0	0	1	0	0	0	

Hora	Auto	Station Wagon	Pick Up	Panel	Camioneta Rural	Microbús	Bus			Camión			Semi Trayler			Trayler								
							B2	B3-1	B4-1	C2	C3	C4	T2S1	T2S2	T2S3	T3S1	T3S2	T3S3	C2R2	C2R3	C3R2			
Diagrama Vehicular																								
Total Agrupado	Livianos			927			Buses			0	Camiones			56	Semi Trayler			1	Traylers			0		
							Total															984		

Fuente: Elaboración Propia.

A continuación, podemos apreciar en las figuras 18, 19 la variación horaria en la estación de conteo vehicular, tanto para vehículos livianos, así como para vehículos pesados, las cuales están de acuerdo a la Tabla 35.

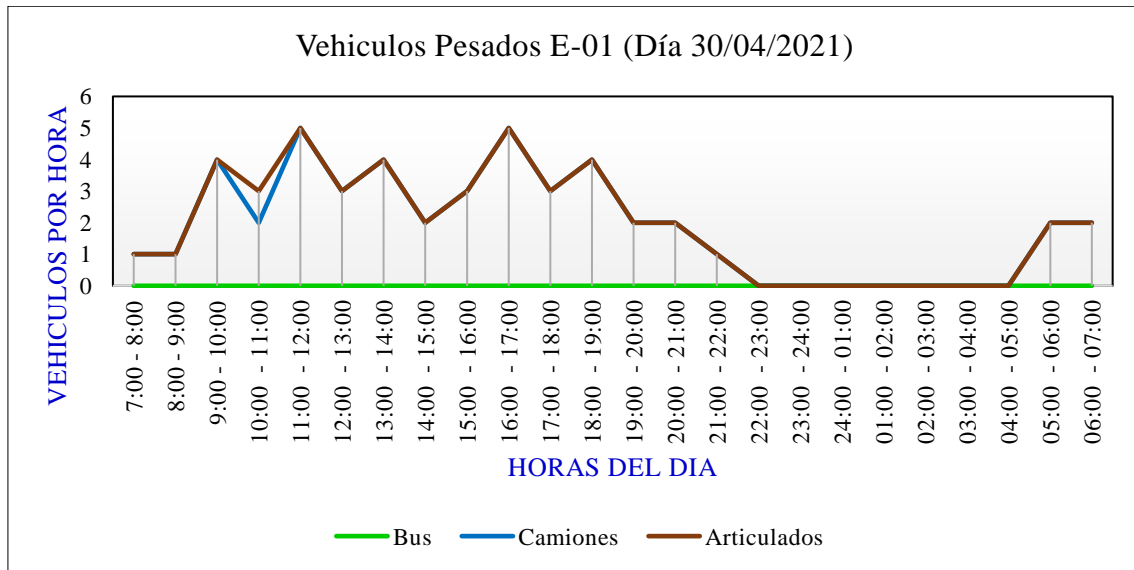
Figura 18: Variación Horaria, Hora Pico de Demanda Vehículos Livianos.



Fuente: Elaboración Propia.

Según la figura 18, podemos mencionar que la hora pico de demanda vehicular, está dada entre las 11:00am a 12:00pm, la cual es originada generalmente por el auto, station wagon y pick up, por otra parte, la que no incide mucho en la hora pico son el panel y la camioneta rural.

Figura 19: Variación Horaria, Hora Pico de Demanda Vehículos Pesados.



Fuente: Elaboración Propia.

Según la figura 19, se puede apreciar que la hora pico de demanda está comprendida entre las 11:00am a 12:00pm y 16:00pm a 17:00pm en las que los componen el semi trayler y trayler.

4.1.6. Resumen de conteo y clasificación vehicular del día Sábado 01 de mayo del 2021, en sentido Este a Oeste

Tabla 36: Resumen de Conteo Vehicular en la Estación de la Av. Pioneros con la Av. Fray Deuniso.

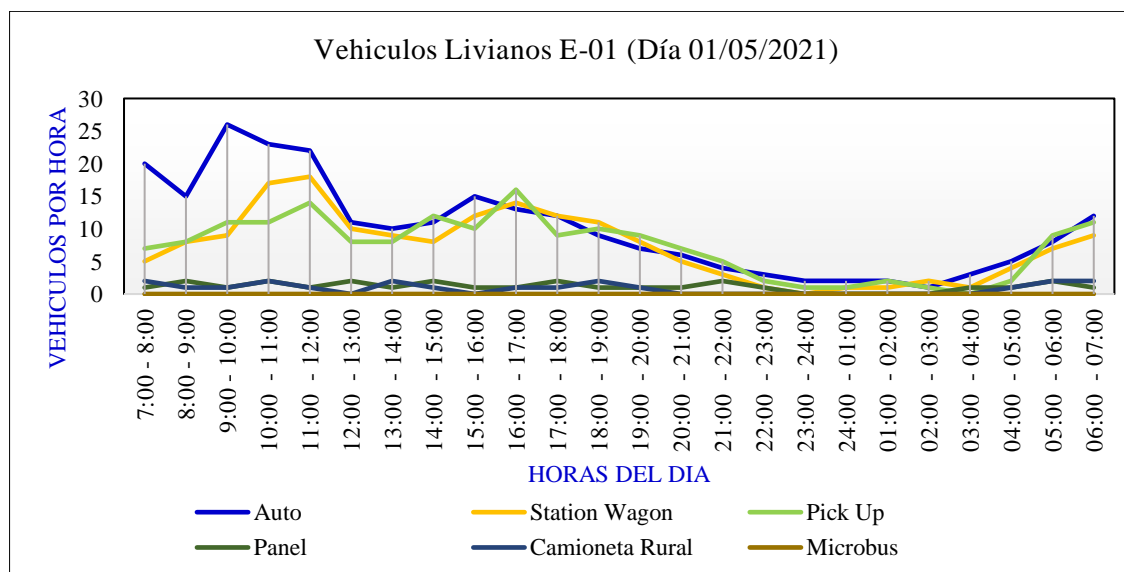
Hora	Auto	Station Wagon	Pick Up	Panel	Camioneta Rural	Microbús	Bus			Camión			Semi Traylor						Trayler		
							B2	B3-1	B4-1	C2	C3	C4	T2S1	T2S2	T2S3	T3S1	T3S2	T3S3	C2R2	C2R3	C3R2
Diagrama Vehicular																					
7:00 - 8:00	20	5	7	1	2	0	0	0	0	1	1	0	0	0	0	0	0	0	0	0	0
8:00 - 9:00	15	8	8	2	1	0	0	0	0	2	1	0	0	0	0	0	0	0	0	0	0
9:00 - 10:00	26	9	11	1	1	0	0	0	0	2	0	0	0	0	0	0	0	0	0	0	0
10:00 - 11:00	23	17	11	2	2	0	0	0	0	1	1	0	0	0	0	0	0	1	0	0	0
11:00 - 12:00	22	18	14	1	1	0	0	0	0	2	1	0	0	0	0	0	0	0	0	0	0
12:00 - 13:00	11	10	8	2	0	0	0	0	0	1	0	0	0	0	0	0	0	0	0	0	0
13:00 - 14:00	10	9	8	1	2	0	0	0	0	1	1	0	0	0	0	0	0	0	0	0	0
14:00 - 15:00	11	8	12	2	1	0	0	0	0	0	2	0	0	0	0	0	0	0	0	0	0
15:00 - 16:00	15	12	10	1	0	0	0	0	0	2	1	0	0	0	0	0	0	1	0	0	0
16:00 - 17:00	13	14	16	1	1	0	0	0	0	1	2	0	0	0	0	0	0	0	0	0	0
17:00 - 18:00	12	12	9	2	1	0	0	0	0	1	0	0	0	0	0	0	0	0	0	0	0
18:00 - 19:00	9	11	10	1	2	0	0	0	0	1	1	0	0	0	0	0	0	0	0	0	0
19:00 - 20:00	7	8	9	1	1	0	0	0	0	0	1	0	0	0	0	0	0	0	0	0	0
20:00 - 21:00	6	5	7	1	0	0	0	0	0	1	0	0	0	0	0	0	0	0	0	0	0
21:00 - 22:00	4	3	5	2	0	0	0	0	0	0	0	0	0	0	0	0	0	0	0	0	0
22:00 - 23:00	3	1	2	1	0	0	0	0	0	0	0	0	0	0	0	0	0	0	0	0	0
23:00 - 24:00	2	0	1	0	0	0	0	0	0	0	0	0	0	0	0	0	0	0	0	0	0
24:00 - 01:00	2	1	1	0	0	0	0	0	0	0	0	0	0	0	0	0	0	0	0	0	0
01:00 - 02:00	2	1	2	0	0	0	0	0	0	0	0	0	0	0	0	0	0	0	0	0	0
02:00 - 03:00	1	2	1	0	0	0	0	0	0	0	0	0	0	0	0	0	0	0	0	0	0
03:00 - 04:00	3	1	0	1	0	0	0	0	0	0	0	0	0	0	0	0	0	0	0	0	0
04:00 - 05:00	5	4	2	1	1	0	0	0	0	0	0	0	0	0	0	0	0	0	0	0	0
05:00 - 06:00	8	7	9	2	2	0	0	0	0	0	1	0	0	0	0	0	0	0	0	0	0
06:00 - 07:00	12	9	11	1	2	0	0	0	0	2	1	0	0	0	0	0	0	0	0	0	0
Parcial:	242	175	174	27	20	0	0	0	0	18	14	0	0	0	0	0	0	2	0	0	0
Desviado 10% :	24	18	17	3	2	0	0	0	0	2	1	0	0	0	0	0	0	0	0	0	0
Generado 10% :	24	18	17	3	2	0	0	0	0	2	1	0	0	0	0	0	0	0	0	0	0
Total	290	211	208	33	24	0	0	0	0	22	16	0	0	0	0	0	0	2	0	0	0

Hora	Auto	Station Wagon	Pick Up	Panel	Camioneta Rural	Microbús	Bus			Camión			Semi Trayler			Trayler						
							B2	B3-1	B4-1	C2	C3	C4	T2S1	T2S2	T2S3	T3S1	T3S2	T3S3	C2R2	C2R3	C3R2	
Diagrama Vehicular																						
Total Agrupado	Livianos			766			Buses			0	Camiones			38	Semi Trayler			2	Traylers			0
							Total															806

Fuente: Elaboración Propia.

A continuación, podemos apreciar en las figuras 20, 21 la variación horaria en la estación de conteo vehicular, tanto para vehículos livianos, así como para vehículos pesados, las cuales están de acuerdo a la Tabla 36.

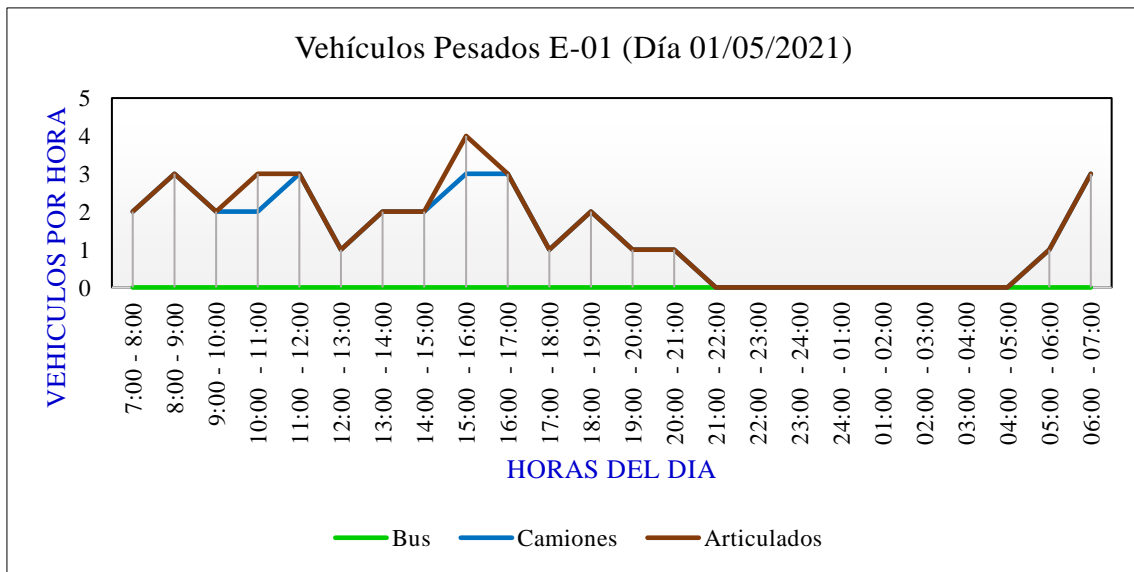
Figura 20: Variación Horaria, Hora Pico de Demanda Vehículos Livianos.



Fuente: Elaboración Propia.

Según la figura 20, podemos mencionar que la hora pico de demanda vehicular, está dada entre las 9:00am a 10:00am, la cual es originada generalmente por el auto, por otra parte, la que no incide mucho en la hora pico son el panel y la camioneta rural, debido a que la demanda vehicular es menor frente a los demás.

Figura 21: Variación Horaria, Hora Pico de Demanda Vehículos Pesados.



Fuente: Elaboración Propia.

Según la figura 21, se puede apreciar que la hora pico de demanda está comprendida entre las 15:00pm a 16:00pm en las que los componen el semi trayler y trayler, a la que llamamos en la presente investigación como articulados.

4.1.7. Resumen de conteo y clasificación vehicular del día Domingo 02 de mayo del 2021, en sentido Este a Oeste

Tabla 37: Resumen de Conteo Vehicular en la Estación de la Av. Pioneros con la Av. Fray Deunio.

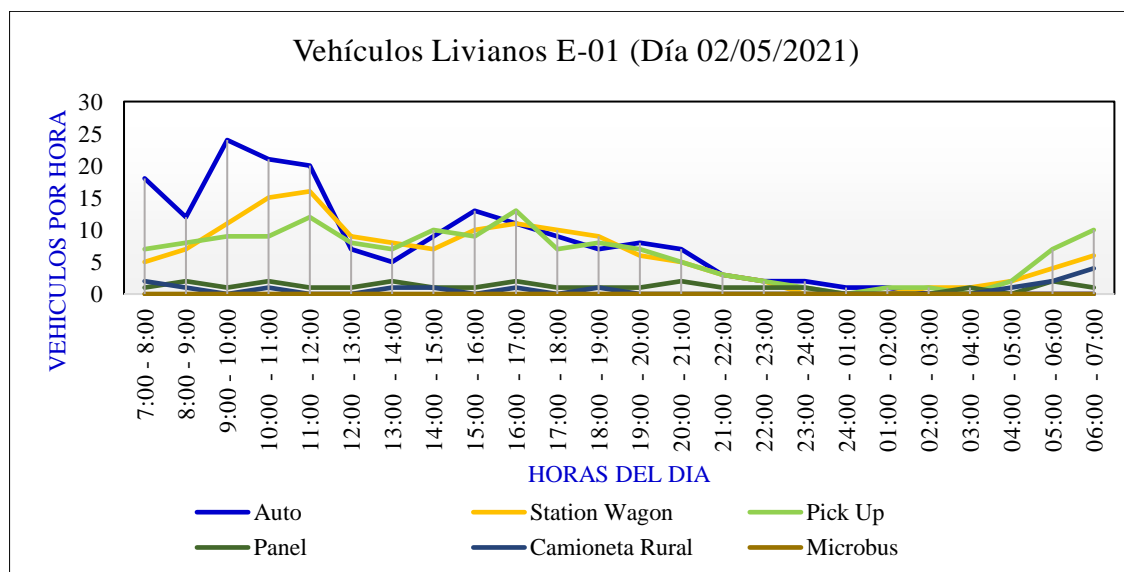
Hora	Auto	Station Wagon	Pick Up	Panel	Camioneta Rural	Microbús	Bus			Camión			Semi Trayler					Trayler			
							B2	B3-1	B4-1	C2	C3	C4	T2S1	T2S2	T2S3	T3S1	T3S2	T3S3	C2R2	C2R3	C3R2
Diagrama Vehicular																					
7:00 - 8:00	18	5	7	1	2	0	0	0	0	1	1	0	0	0	0	0	0	0	0	0	0
8:00 - 9:00	12	7	8	2	1	0	0	0	0	1	2	0	0	0	0	0	0	0	0	0	0
9:00 - 10:00	24	11	9	1	0	0	0	0	0	0	1	0	0	0	0	0	0	0	0	0	0
10:00 - 11:00	21	15	9	2	1	0	0	0	0	1	1	0	0	0	0	0	0	1	0	0	0
11:00 - 12:00	20	16	12	1	0	0	0	0	0	1	2	0	0	0	0	0	0	0	0	0	0
12:00 - 13:00	7	9	8	1	0	0	0	0	0	0	1	0	0	0	0	0	0	1	0	0	0
13:00 - 14:00	5	8	7	2	1	0	0	0	0	2	0	0	0	0	0	0	0	0	0	0	0
14:00 - 15:00	9	7	10	1	1	0	0	0	0	1	1	0	0	0	0	0	0	0	0	0	0
15:00 - 16:00	13	10	9	1	0	0	0	0	0	1	1	0	0	0	0	0	0	0	0	0	0
16:00 - 17:00	11	11	13	2	1	0	0	0	0	0	1	0	0	0	0	0	1	0	0	0	0
17:00 - 18:00	9	10	7	1	0	0	0	0	0	1	1	0	0	0	0	0	0	0	0	0	0
18:00 - 19:00	7	9	8	1	1	0	0	0	0	0	1	0	0	0	0	0	0	0	0	0	0
19:00 - 20:00	8	6	7	1	0	0	0	0	0	0	0	0	0	0	0	0	0	0	0	0	0
20:00 - 21:00	7	5	5	2	0	0	0	0	0	0	0	0	0	0	0	0	0	0	0	0	0
21:00 - 22:00	3	3	3	1	0	0	0	0	0	0	0	0	0	0	0	0	0	0	0	0	0
22:00 - 23:00	2	2	2	1	0	0	0	0	0	0	0	0	0	0	0	0	0	0	0	0	0
23:00 - 24:00	2	0	1	1	0	0	0	0	0	0	0	0	0	0	0	0	0	0	0	0	0
24:00 - 01:00	1	0	0	0	0	0	0	0	0	0	0	0	0	0	0	0	0	0	0	0	0
01:00 - 02:00	1	0	1	0	0	0	0	0	0	0	0	0	0	0	0	0	0	0	0	0	0
02:00 - 03:00	0	1	1	0	0	0	0	0	0	0	0	0	0	0	0	0	0	0	0	0	0
03:00 - 04:00	0	1	0	1	0	0	0	0	0	0	0	0	0	0	0	0	0	0	0	0	0
04:00 - 05:00	0	2	2	0	1	0	0	0	0	0	0	0	0	0	0	0	0	0	0	0	0
05:00 - 06:00	0	4	7	2	2	0	0	0	0	0	1	0	0	0	0	0	0	0	0	0	0
06:00 - 07:00	0	6	10	1	4	0	0	0	0	1	1	0	0	0	0	0	0	0	0	0	0
Parcial:	180	148	146	26	15	0	0	0	0	10	15	0	0	0	0	0	3	0	0	0	0
Desviado 10% :	18	15	15	3	2	0	0	0	0	1	2	0	0	0	0	0	0	0	0	0	0
Generado 10% :	18	15	15	3	2	0	0	0	0	1	2	0	0	0	0	0	0	0	0	0	0
Total	216	178	176	32	19	0	0	0	0	12	19	0	0	0	0	0	3	0	0	0	0

Hora	Auto	Station Wagon	Pick Up	Panel	Camioneta Rural	Microbús	Bus			Camión			Semi Trayler			Trayler														
							B2	B3-1	B4-1	C2	C3	C4	T2S1	T2S2	T2S3	T3S1	T3S2	T3S3	C2R2	C2R3	C3R2									
Diagrama Vehicular																														
Total Agrupado	Livianos			621			Buses			0			Camiones			31			Semi Trayler			3			Traylers			0		
							Total															655								

Fuente: Elaboración Propia.

A continuación, podemos apreciar en las figuras 22, 23 la variación horaria en la estación de conteo vehicular, tanto para vehículos livianos, así como para vehículos pesados, las cuales están de acuerdo a la Tabla 37.

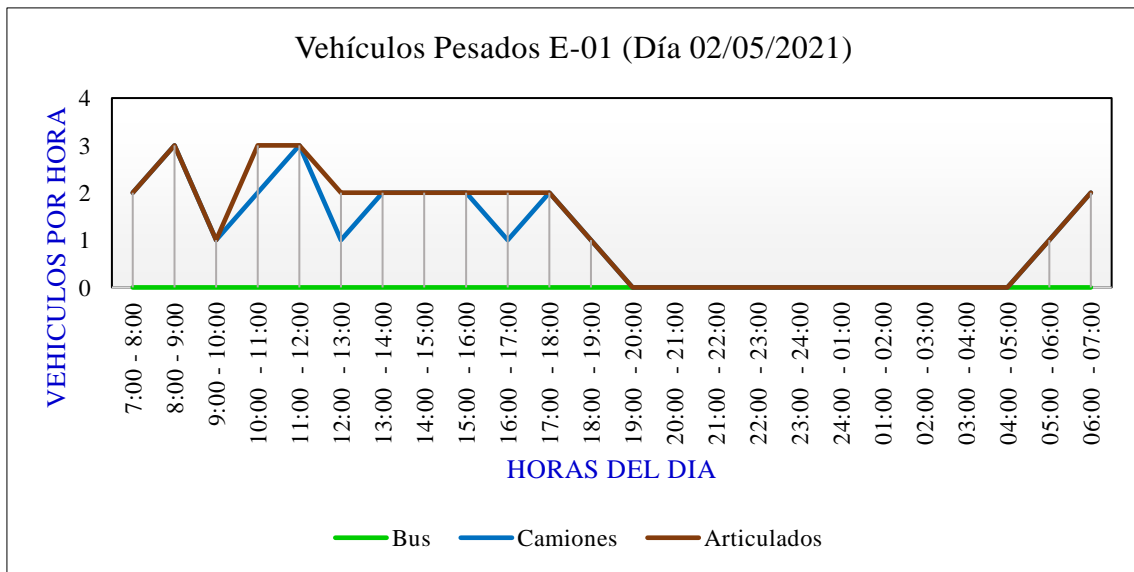
Figura 22: Variación Horaria, Hora Pico de Demanda Vehículos Livianos.



Fuente: Elaboración Propia.

Según la figura 21, podemos mencionar que la hora pico de demanda vehicular, está dada entre las 9:00am a 10:00am, la cual es originada generalmente por el auto, por otra parte, la que no incide mucho en la hora pico son el panel y la camioneta rural, debido a que la demanda vehicular es menor frente a los demás.

Figura 23: Variación Horaria, Hora Pico de Demanda Vehículos Pesados.



Fuente: Elaboración Propia.

Según la figura 23, se puede apreciar que la hora pico de demanda está comprendida entre las 10:00am a 12:00pm en las que los componen el camión, semi trailer y trailer, a diferencia que el bus no genera mucha incidencia.

4.2. Determinación de Número de repeticiones de Ejes Equivalentes.

La determinación del número de repeticiones de ejes equivalentes tiene como propósito determinar los factores destructivos del pavimento, es decir de la losa de concreto, esto debido a las cargas ocasionadas por los vehículos de tránsito liviano y pesado. Asimismo, estos factores sirven para efectos de diseño del pavimento rígido.

Por otra parte, para su cálculo se debe tener en cuenta los siguientes puntos: tipo de vehículo en tránsito por la vía, tráfico actual, tráfico desviado, tráfico generado, factor de corrección, índice medio diario, factor de vehículo pesado, factor direccional, factor de carril, factor presión de inflado de neumáticos, factor de crecimiento acumulado y periodo de diseño, de la misma forma en que se aplicará para su cálculo las tablas de guía AASHTO 93, mencionadas en el ítem 2.2.6 de la presente investigación.

Por consiguiente, veremos en las siguientes tablas el resumen de la determinación de ejes equivalentes.

Tabla 38: *Resumen de Datos de la Vía en Estudio.*

Estación de Conteo Vehicular:	Av. Piones intersección con la Av. Fray Deunio
Periodo de Diseño:	20 Años
Tasa de Crecimiento de Vehículos Livianos - MTC:	0.77%
Tasa de Crecimiento de Vehículos Pesados - MTC:	3.90%

Fuente: Elaboración Propia.

4.2.1. Determinación de Ejes Equivalentes del Conteo Vehicular.

En las siguientes tablas se podrán apreciar el resumen general del número de repeticiones, con la aplicación de las tablas 31, 32, 33, 34, 35, 36 y 37 con relación a los datos de la tabla 38 para su cálculo.

Tabla 39: Resumen de Ejes Equivalentes Día Lunes 26 de Abril.

Vehículo	Tráfico Actual	Tráfico Desviado	Tráfico Generado	Factor de Corrección	Índice Medio Diario	Factor Vehículo Pesado	Factor Direccional	Factor Carril	Factor Presión de Inflado de Neumáticos	Carril de Diseño EE	Factor de Crecimiento Acumulado	Días por año	Número de Repeticiones EE
Livianos	848.00	85.00	85.00	0.8670	883	0.001	0.50	1.00	1.00	0.44	21.53	365	3,457.72
B2	0.00	0.00	0.00	0.8670	0	4.608	0.50	1.00	1.00	0.00	21.53	365	0.00
B3-1	0.00	0.00	0.00	0.8670	0	3.616	0.50	1.00	1.00	0.00	21.53	365	0.00
B4-1	0.00	0.00	0.00	0.8670	0	4.888	0.50	1.00	1.00	0.00	21.53	365	0.00
C2	29.00	3.00	3.00	0.9510	33	4.608	0.50	1.00	1.00	76.03	29.47	365	817,820.50
C3	21.00	2.00	2.00	0.9510	24	4.731	0.50	1.00	1.00	56.77	29.47	365	610,649.34
C4	0.00	0.00	0.00	0.9510	0	4.958	0.50	1.00	1.00	0.00	29.47	365	0.00
T2S1	0.00	0.00	0.00	0.9510	0	7.942	0.50	1.00	1.00	0.00	29.47	365	0.00
T2S2	0.00	0.00	0.00	0.9510	0	8.066	0.50	1.00	1.00	0.00	29.47	365	0.00
T2S3	0.00	0.00	0.00	0.9510	0	8.773	0.50	1.00	1.00	0.00	29.47	365	0.00
T3S1	0.00	0.00	0.00	0.9510	0	8.066	0.50	1.00	1.00	0.00	29.47	365	0.00
T3S2	0.00	0.00	0.00	0.9510	0	8.189	0.50	1.00	1.00	0.00	29.47	365	0.00
T3S3	2.00	0.00	0.00	0.9510	2	8.896	0.50	1.00	1.00	8.90	29.47	365	95,733.30
C2R2	0.00	0.00	0.00	0.9510	0	11.277	0.50	1.00	1.00	0.00	29.47	365	0.00
C2R3	0.00	0.00	0.00	0.9510	0	11.400	0.50	1.00	1.00	0.00	29.47	365	0.00
C3R2	0.00	0.00	0.00	0.9510	0	11.400	0.50	1.00	1.00	0.00	29.47	365	0.00
Total de EE												1,527,660.86	

Fuente: Elaboración Propia.

En la tabla 39 se puede apreciar que el número de repeticiones obtenidos es de 1527660.86, esto debido a los vehículos livianos y pesados.

Tabla 40: Resumen de Ejes Equivalentes Día Martes 27 de Abril.

Vehículo	Tráfico Actual	Tráfico Desviado	Tráfico Generado	Factor de Corrección	Índice Medio Diario	Factor Vehículo Pesado	Factor Direccional	Factor Carril	Factor Presión de Inflado de Neumáticos	Carril de Diseño EE	Factor de Crecimiento Acumulado	Días por año	Número de Repeticiones EE
Livianos	685.00	69.00	69.00	0.8670	714	0.001	0.50	1.00	1.00	0.36	21.53	365	2,829.04
B2	0.00	0.00	0.00	0.8670	0	4.608	0.50	1.00	1.00	0.00	21.53	365	0.00
B3-1	0.00	0.00	0.00	0.8670	0	3.616	0.50	1.00	1.00	0.00	21.53	365	0.00
B4-1	0.00	0.00	0.00	0.8670	0	4.888	0.50	1.00	1.00	0.00	21.53	365	0.00
C2	17.00	2.00	2.00	0.9510	20	4.608	0.50	1.00	1.00	46.08	29.47	365	495,661.82
C3	19.00	2.00	2.00	0.9510	22	4.731	0.50	1.00	1.00	52.04	29.47	365	559,770.86
C4	0.00	0.00	0.00	0.9510	0	4.958	0.50	1.00	1.00	0.00	29.47	365	0.00
T2S1	0.00	0.00	0.00	0.9510	0	7.942	0.50	1.00	1.00	0.00	29.47	365	0.00
T2S2	0.00	0.00	0.00	0.9510	0	8.066	0.50	1.00	1.00	0.00	29.47	365	0.00
T2S3	0.00	0.00	0.00	0.9510	0	8.773	0.50	1.00	1.00	0.00	29.47	365	0.00
T3S1	0.00	0.00	0.00	0.9510	0	8.066	0.50	1.00	1.00	0.00	29.47	365	0.00
T3S2	0.00	0.00	0.00	0.9510	0	8.189	0.50	1.00	1.00	0.00	29.47	365	0.00
T3S3	1.00	0.00	0.00	0.9510	1	8.896	0.50	1.00	1.00	4.45	29.47	365	47,866.65
C2R2	0.00	0.00	0.00	0.9510	0	11.277	0.50	1.00	1.00	0.00	29.47	365	0.00
C2R3	0.00	0.00	0.00	0.9510	0	11.400	0.50	1.00	1.00	0.00	29.47	365	0.00
C3R2	0.00	0.00	0.00	0.9510	0	11.400	0.50	1.00	1.00	0.00	29.47	365	0.00
Total de EE												1,106,128.37	

Fuente: Elaboración Propia.

En la tabla 40 se puede apreciar que el número de repeticiones obtenidos es de 1106128.37, esto debido a los vehículos livianos y pesados.

Tabla 41: Resumen de Ejes Equivalentes Día Miércoles 28 de Abril.

Vehículo	Tráfico Actual	Tráfico Desviado	Tráfico Generado	Factor de Corrección	Índice Medio Diario	Factor Vehículo Pesado	Factor Direccional	Factor Carril	Factor Presión de Inflado de Neumáticos	Carril de Diseño EE	Factor de Crecimiento Acumulado	Días por año	Número de Repeticiones EE
Livianos	635.00	64.00	64.00	0.8670	662	0.001	0.50	1.00	1.00	0.33	21.53	365	2,593.29
B2	0.00	0.00	0.00	0.8670	0	4.608	0.50	1.00	1.00	0.00	21.53	365	0.00
B3-1	0.00	0.00	0.00	0.8670	0	3.616	0.50	1.00	1.00	0.00	21.53	365	0.00
B4-1	0.00	0.00	0.00	0.8670	0	4.888	0.50	1.00	1.00	0.00	21.53	365	0.00
C2	19.00	2.00	2.00	0.9510	22	4.608	0.50	1.00	1.00	50.69	29.47	365	545,249.52
C3	15.00	2.00	2.00	0.9510	18	4.731	0.50	1.00	1.00	42.58	29.47	365	458,013.90
C4	0.00	0.00	0.00	0.9510	0	4.958	0.50	1.00	1.00	0.00	29.47	365	0.00
T2S1	0.00	0.00	0.00	0.9510	0	7.942	0.50	1.00	1.00	0.00	29.47	365	0.00
T2S2	0.00	0.00	0.00	0.9510	0	8.066	0.50	1.00	1.00	0.00	29.47	365	0.00
T2S3	0.00	0.00	0.00	0.9510	0	8.773	0.50	1.00	1.00	0.00	29.47	365	0.00
T3S1	0.00	0.00	0.00	0.9510	0	8.066	0.50	1.00	1.00	0.00	29.47	365	0.00
T3S2	0.00	0.00	0.00	0.9510	0	8.189	0.50	1.00	1.00	0.00	29.47	365	0.00
T3S3	1.00	0.00	0.00	0.9510	1	8.896	0.50	1.00	1.00	4.45	29.47	365	47,866.65
C2R2	0.00	0.00	0.00	0.9510	0	11.277	0.50	1.00	1.00	0.00	29.47	365	0.00
C2R3	0.00	0.00	0.00	0.9510	0	11.400	0.50	1.00	1.00	0.00	29.47	365	0.00
C3R2	0.00	0.00	0.00	0.9510	0	11.400	0.50	1.00	1.00	0.00	29.47	365	0.00
Total de EE												1,053,723.36	

Fuente: Elaboración Propia.

En la tabla 41 se puede apreciar que el número de repeticiones obtenidos es de 1053723.36, esto debido a los vehículos livianos y pesados.

Tabla 42: Resumen de Ejes Equivalentes Día Jueves 29 de Abril.

Vehículo	Tráfico Actual	Tráfico Desviado	Tráfico Generado	Factor de Corrección	Índice Medio Diario	Factor Vehículo Pesado	Factor Direccional	Factor Carril	Factor Presión de Inflado de Neumáticos	Carril de Diseño EE	Factor de Crecimiento Acumulado	Días por año	Número de Repeticiones EE
Livianos	754.00	75.00	75.00	0.8670	784	0.001	0.50	1.00	1.00	0.39	21.53	365	3,064.80
B2	0.00	0.00	0.00	0.8670	0	4.608	0.50	1.00	1.00	0.00	21.53	365	0.00
B3-1	0.00	0.00	0.00	0.8670	0	3.616	0.50	1.00	1.00	0.00	21.53	365	0.00
B4-1	0.00	0.00	0.00	0.8670	0	4.888	0.50	1.00	1.00	0.00	21.53	365	0.00
C2	22.00	2.00	2.00	0.9510	25	4.608	0.50	1.00	1.00	57.60	29.47	365	619,577.28
C3	19.00	2.00	2.00	0.9510	22	4.731	0.50	1.00	1.00	52.04	29.47	365	559,770.86
C4	0.00	0.00	0.00	0.9510	0	4.958	0.50	1.00	1.00	0.00	29.47	365	0.00
T2S1	0.00	0.00	0.00	0.9510	0	7.942	0.50	1.00	1.00	0.00	29.47	365	0.00
T2S2	0.00	0.00	0.00	0.9510	0	8.066	0.50	1.00	1.00	0.00	29.47	365	0.00
T2S3	0.00	0.00	0.00	0.9510	0	8.773	0.50	1.00	1.00	0.00	29.47	365	0.00
T3S1	0.00	0.00	0.00	0.9510	0	8.066	0.50	1.00	1.00	0.00	29.47	365	0.00
T3S2	0.00	0.00	0.00	0.9510	0	8.189	0.50	1.00	1.00	0.00	29.47	365	0.00
T3S3	1.00	0.00	0.00	0.9510	1	8.896	0.50	1.00	1.00	4.45	29.47	365	47,866.65
C2R2	0.00	0.00	0.00	0.9510	0	11.277	0.50	1.00	1.00	0.00	29.47	365	0.00
C2R3	0.00	0.00	0.00	0.9510	0	11.400	0.50	1.00	1.00	0.00	29.47	365	0.00
C3R2	0.00	0.00	0.00	0.9510	0	11.400	0.50	1.00	1.00	0.00	29.47	365	0.00
Total de EE												1,230,279.59	

Fuente: Elaboración Propia.

En la tabla 42 se puede apreciar que el número de repeticiones obtenidos es de 1230279.59, esto debido a los vehículos livianos y pesados.

Tabla 43: Resumen de Ejes Equivalentes Día Viernes 30 de Abril.

Vehículo	Tráfico Actual	Tráfico Desviado	Tráfico Generado	Factor de Corrección	Índice Medio Diario	Factor Vehículo Pesado	Factor Direccional	Factor Carril	Factor Presión de Inflado de Neumáticos	Carril de Diseño EE	Factor de Crecimiento Acumulado	Días por año	Número de Repeticiones EE
Livianos	773.00	77.00	77.00	0.8670	804	0.001	0.50	1.00	1.00	0.40	21.53	365	3,143.38
B2	0.00	0.00	0.00	0.8670	0	4.608	0.50	1.00	1.00	0.00	21.53	365	0.00
B3-1	0.00	0.00	0.00	0.8670	0	3.616	0.50	1.00	1.00	0.00	21.53	365	0.00
B4-1	0.00	0.00	0.00	0.8670	0	4.888	0.50	1.00	1.00	0.00	21.53	365	0.00
C2	28.00	3.00	3.00	0.9510	32	4.608	0.50	1.00	1.00	73.73	29.47	365	793,080.43
C3	18.00	2.00	2.00	0.9510	21	4.731	0.50	1.00	1.00	49.68	29.47	365	534,385.40
C4	0.00	0.00	0.00	0.9510	0	4.958	0.50	1.00	1.00	0.00	29.47	365	0.00
T2S1	0.00	0.00	0.00	0.9510	0	7.942	0.50	1.00	1.00	0.00	29.47	365	0.00
T2S2	0.00	0.00	0.00	0.9510	0	8.066	0.50	1.00	1.00	0.00	29.47	365	0.00
T2S3	0.00	0.00	0.00	0.9510	0	8.773	0.50	1.00	1.00	0.00	29.47	365	0.00
T3S1	0.00	0.00	0.00	0.9510	0	8.066	0.50	1.00	1.00	0.00	29.47	365	0.00
T3S2	0.00	0.00	0.00	0.9510	0	8.189	0.50	1.00	1.00	0.00	29.47	365	0.00
T3S3	1.00	0.00	0.00	0.9510	1	8.896	0.50	1.00	1.00	4.45	29.47	365	47,866.65
C2R2	0.00	0.00	0.00	0.9510	0	11.277	0.50	1.00	1.00	0.00	29.47	365	0.00
C2R3	0.00	0.00	0.00	0.9510	0	11.400	0.50	1.00	1.00	0.00	29.47	365	0.00
C3R2	0.00	0.00	0.00	0.9510	0	11.400	0.50	1.00	1.00	0.00	29.47	365	0.00
Total de EE												1,378,475.86	

Fuente: Elaboración Propia.

En la tabla 43 se puede apreciar que el número de repeticiones obtenidos es de 1378475.86, esto debido a los vehículos livianos y pesados.

Tabla 44: Resumen de Ejes Equivalentes Día Sábado 01 de Mayo.

Vehículo	Tráfico Actual	Tráfico Desviado	Tráfico Generado	Factor de Corrección	Índice Medio Diario	Factor Vehículo Pesado	Factor Direccional	Factor Carril	Factor Presión de Inflado de Neumáticos	Carril de Diseño EE	Factor de Crecimiento Acumulado	Días por año	Número de Repeticiones EE
Livianos	638.00	64.00	64.00	0.8670	664	0.001	0.50	1.00	1.00	0.33	21.53	365	2,593.29
B2	0.00	0.00	0.00	0.8670	0	4.608	0.50	1.00	1.00	0.00	21.53	365	0.00
B3-1	0.00	0.00	0.00	0.8670	0	3.616	0.50	1.00	1.00	0.00	21.53	365	0.00
B4-1	0.00	0.00	0.00	0.8670	0	4.888	0.50	1.00	1.00	0.00	21.53	365	0.00
C2	18.00	2.00	2.00	0.9510	21	4.608	0.50	1.00	1.00	48.38	29.47	365	520,401.89
C3	14.00	1.00	1.00	0.9510	15	4.731	0.50	1.00	1.00	35.48	29.47	365	381,642.39
C4	0.00	0.00	0.00	0.9510	0	4.958	0.50	1.00	1.00	0.00	29.47	365	0.00
T2S1	0.00	0.00	0.00	0.9510	0	7.942	0.50	1.00	1.00	0.00	29.47	365	0.00
T2S2	0.00	0.00	0.00	0.9510	0	8.066	0.50	1.00	1.00	0.00	29.47	365	0.00
T2S3	0.00	0.00	0.00	0.9510	0	8.773	0.50	1.00	1.00	0.00	29.47	365	0.00
T3S1	0.00	0.00	0.00	0.9510	0	8.066	0.50	1.00	1.00	0.00	29.47	365	0.00
T3S2	0.00	0.00	0.00	0.9510	0	8.189	0.50	1.00	1.00	0.00	29.47	365	0.00
T3S3	2.00	0.00	0.00	0.9510	2	8.896	0.50	1.00	1.00	8.90	29.47	365	95,733.30
C2R2	0.00	0.00	0.00	0.9510	0	11.277	0.50	1.00	1.00	0.00	29.47	365	0.00
C2R3	0.00	0.00	0.00	0.9510	0	11.400	0.50	1.00	1.00	0.00	29.47	365	0.00
C3R2	0.00	0.00	0.00	0.9510	0	11.400	0.50	1.00	1.00	0.00	29.47	365	0.00
Total de EE												1,000,370.87	

Fuente: Elaboración Propia.

En la tabla 44 se puede apreciar que el número de repeticiones obtenidos es de 1000370.87, esto debido a los vehículos livianos y pesados.

Tabla 45: Resumen de Ejes Equivalentes Día Domingo 02 de Mayo.

Vehículo	Tráfico Actual	Tráfico Desviado	Tráfico Generado	Factor de Corrección	Índice Medio Diario	Factor Vehículo Pesado	Factor Direccional	Factor Carril	Factor Presión de Inflado de Neumáticos	Carril de Diseño EE	Factor de Crecimiento Acumulado	Días por año	Número de Repeticiones EE
Livianos	515.00	52.00	52.00	0.8670	537	0.001	0.50	1.00	1.00	0.27	21.53	365	2,121.78
B2	0.00	0.00	0.00	0.8670	0	4.608	0.50	1.00	1.00	0.00	21.53	365	0.00
B3-1	0.00	0.00	0.00	0.8670	0	3.616	0.50	1.00	1.00	0.00	21.53	365	0.00
B4-1	0.00	0.00	0.00	0.8670	0	4.888	0.50	1.00	1.00	0.00	21.53	365	0.00
C2	10.00	1.00	1.00	0.9510	11	4.608	0.50	1.00	1.00	25.34	29.47	365	272,570.98
C3	15.00	2.00	2.00	0.9510	18	4.731	0.50	1.00	1.00	42.58	29.47	365	458,013.90
C4	0.00	0.00	0.00	0.9510	0	4.958	0.50	1.00	1.00	0.00	29.47	365	0.00
T2S1	0.00	0.00	0.00	0.9510	0	7.942	0.50	1.00	1.00	0.00	29.47	365	0.00
T2S2	0.00	0.00	0.00	0.9510	0	8.066	0.50	1.00	1.00	0.00	29.47	365	0.00
T2S3	0.00	0.00	0.00	0.9510	0	8.773	0.50	1.00	1.00	0.00	29.47	365	0.00
T3S1	0.00	0.00	0.00	0.9510	0	8.066	0.50	1.00	1.00	0.00	29.47	365	0.00
T3S2	0.00	0.00	0.00	0.9510	0	8.189	0.50	1.00	1.00	0.00	29.47	365	0.00
T3S3	3.00	0.00	0.00	0.9510	3	8.896	0.50	1.00	1.00	13.34	29.47	365	143,492.38
C2R2	0.00	0.00	0.00	0.9510	0	11.277	0.50	1.00	1.00	0.00	29.47	365	0.00
C2R3	0.00	0.00	0.00	0.9510	0	11.400	0.50	1.00	1.00	0.00	29.47	365	0.00
C3R2	0.00	0.00	0.00	0.9510	0	11.400	0.50	1.00	1.00	0.00	29.47	365	0.00
Total de EE													876,199.04

Fuente: Elaboración Propia.

En la tabla 45 se puede apreciar que el número de repeticiones obtenidos es de 876,199.04, esto debido a los vehículos livianos y pesados.

En seguida, es necesario plantear el resumen general de la determinación de ejes equivalentes, tal como se podrá apreciar en la siguiente tabla y figura.

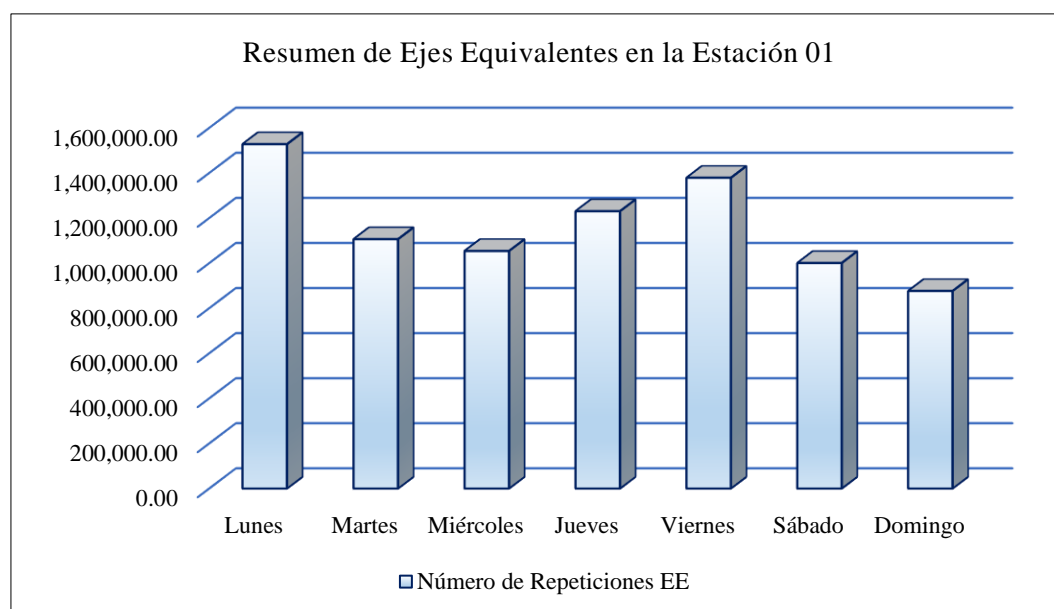
Tabla 46: *Resumen General de Ejes Equivalentes Obtenidos.*

Número	Día de la Semana	Día	Mes	Año	Número de Repeticiones EE
1	Lunes	26	04	2021	1,527,660.86
2	Martes	27	04	2021	1,106,128.37
3	Miércoles	28	04	2021	1,053,723.36
4	Jueves	29	04	2021	1,230,279.59
5	Viernes	30	04	2021	1,378,475.86
6	Sábado	01	05	2021	1,000,370.87
7	Domingo	02	05	2021	876,199.04

Fuente: Elaboración Propia.

Como se puede apreciar en la tabla 46, el día lunes origina generalmente el mayor número de repeticiones con un valor de 1,527,660,86 frente al día domingo que se obtiene el menor valor que es 876,199.04.

Figura 24: *Resumen de Ejes Equivalentes en la Estación de Conteo Vehicular.*



Fuente: Elaboración Propia.

A continuación, también se planteará el resumen final de tráfico semanal, para lo cual se podrá apreciar en la siguiente tabla y figura.

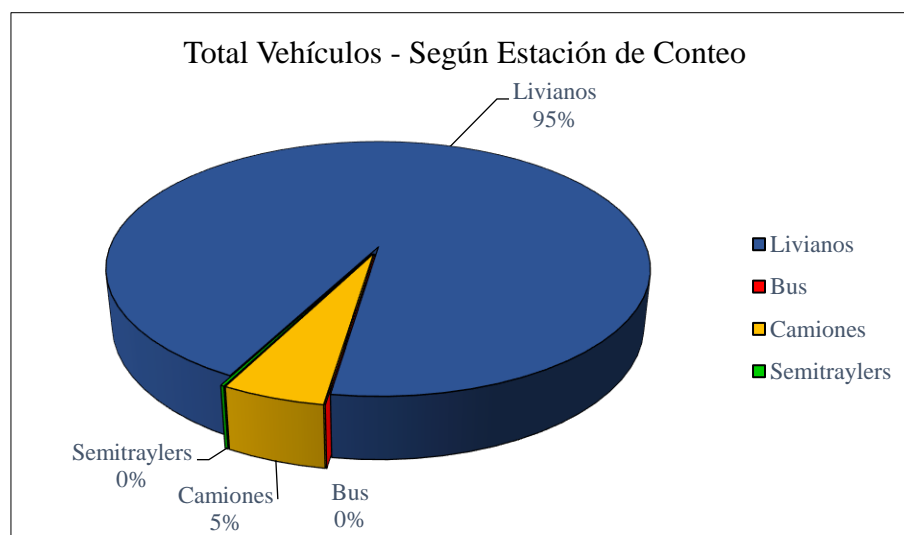
Tabla 47: *Resumen de Tráfico Semanal.*

Vehículo	Lunes	Martes	Miércoles	Jueves	Viernes	Sábado	Domingo	Total de Vehículos	Porcentaje
Livianos	1,018.00	823.00	763.00	904.00	927.00	766.00	619.00	5,820.00	94.62%
Bus	0.00	0.00	0.00	0.00	0.00	0.00	0.00	0.00	0.00%
Camiones	60.00	44.00	42.00	49.00	56.00	38.00	31.00	320.00	5.20%
Semitraylers	2.00	1.00	1.00	1.00	1.00	2.00	3.00	11.00	0.18%
Total	1,080.00	868.00	806.00	954.00	984.00	806.00	653.00	6,151.00	100.00%
Total	18%	14%	13%	16%	16%	13%	11%	100%	

Fuente: Elaboración Propia.

Según la tabla 47, podemos apreciar que los días lunes hay mayor tránsito vehicular con un 18% con respecto al total de vehículos transitados durante la semana, frente al día domingo que cuenta un 11% de tránsito vehicular frente al total de vehículos en tránsito en la vía de estudio.

Figura 25: *Resumen General de Tráfico Semanal Según Tipo de Vehículo.*



Fuente: Elaboración Propia.

Según la figura 25, podemos mencionar que en su mayoría transitan vehículos livianos, a diferencia que los que menos transita son los semi trailers.

4.3. Resistencia a la Compresión.

4.3.1. Resultados de Resistencia a Compresión de la Muestra Patrón a los 3, 7, 14 y 28 Días.

Se puede definir la resistencia a compresión simple del concreto, como una de las características principales referidas a las propiedades mecánicas que presenta como tal. Es decir, la capacidad de soporte que tiene el concreto, respecto a las cargas actuantes, las cuales tienen como representación general en nuestro país como $f'c$, y que están expresadas en kg/cm^2 .

El propósito de realizar este ensayo es determinar la calidad del concreto, es decir si ha sido factible el empleo de ciertos insumos, en cantidades óptimas o no.

Por tal razón se ha planteado como objetivo determinar el ensayo a compresión del concreto, haciendo el uso del método ASTM C39/C39M-20.

Asimismo, para ello se ha efectuado 3 especímenes cilíndricos de concreto para cada edad de ensayo, es decir se han ensayado a las siguientes edades: 3, 7, 14 y a los 28 días, haciendo un total de 12 especímenes de la muestra patrón o también llamada muestra estándar.

Los resultados en cuanto a la resistencia a compresión obtenidos para un diseño de mezcla $f'c=210kg/cm^2$, de la muestra patrón, se pueden apreciar en las siguientes tablas.

Tabla 48: Resistencia a Compresión a Distintas Edades del Concreto.

Muestra	Fecha de Moldeo	Fecha de Rotura	Edad (Días)	Diámetro Espécimen Promedio (mm)	Altura de Espécimen (mm)	Área de la Sección Transversal (mm ²)	Carga Máxima (kn)	Resistencia de Espécimen (mpa)	Resistencia de Espécimen (kg/cm ²)	Resistencia de Diseño (kg/cm ²)	% Resistencia	Tipo de Fractura
Z-1	20/05/2021	23/05/2021	3	101.165	205.20	8038.05	181.90	23.20	231.60	210	110%	Tipo 5
Z-2	20/05/2021	23/05/2021	3	101.180	204.70	8040.43	201.80	25.70	256.90	210	122%	Tipo 5
Z-3	20/05/2021	23/05/2021	3	103.190	204.80	8363.06	197.50	25.20	251.50	210	120%	Tipo 2
Z-4	20/05/2021	27/05/2021	7	102.430	204.40	8240.32	291.50	37.10	371.10	210	177%	Tipo 1
Z-5	20/05/2021	27/05/2021	7	102.295	205.00	8218.62	222.40	28.30	283.10	210	135%	Tipo 5
Z-6	20/05/2021	27/05/2021	7	101.065	204.40	8022.16	261.50	33.30	333.00	210	159%	Tipo 5
Z-7	20/05/2021	03/06/2021	14	100.190	205.30	7883.86	330.60	42.10	420.90	210	200%	Tipo 2
Z-8	20/05/2021	03/06/2021	14	100.195	205.10	7884.64	310.00	39.50	394.60	210	188%	Tipo 5
Z-9	20/05/2021	03/06/2021	14	100.190	203.80	7883.86	317.70	40.50	404.50	210	193%	Tipo 3
Z-10	20/05/2021	17/06/2021	28	101.250	204.90	8051.56	369.50	47.00	470.40	210	224%	Tipo 2
Z-11	20/05/2021	17/06/2021	28	101.220	204.00	8046.79	365.60	46.50	465.40	210	222%	Tipo 3
Z-12	20/05/2021	17/06/2021	28	101.490	204.60	8089.77	358.00	45.60	455.80	210	217%	Tipo 3

Fuente: Elaboración Propia.

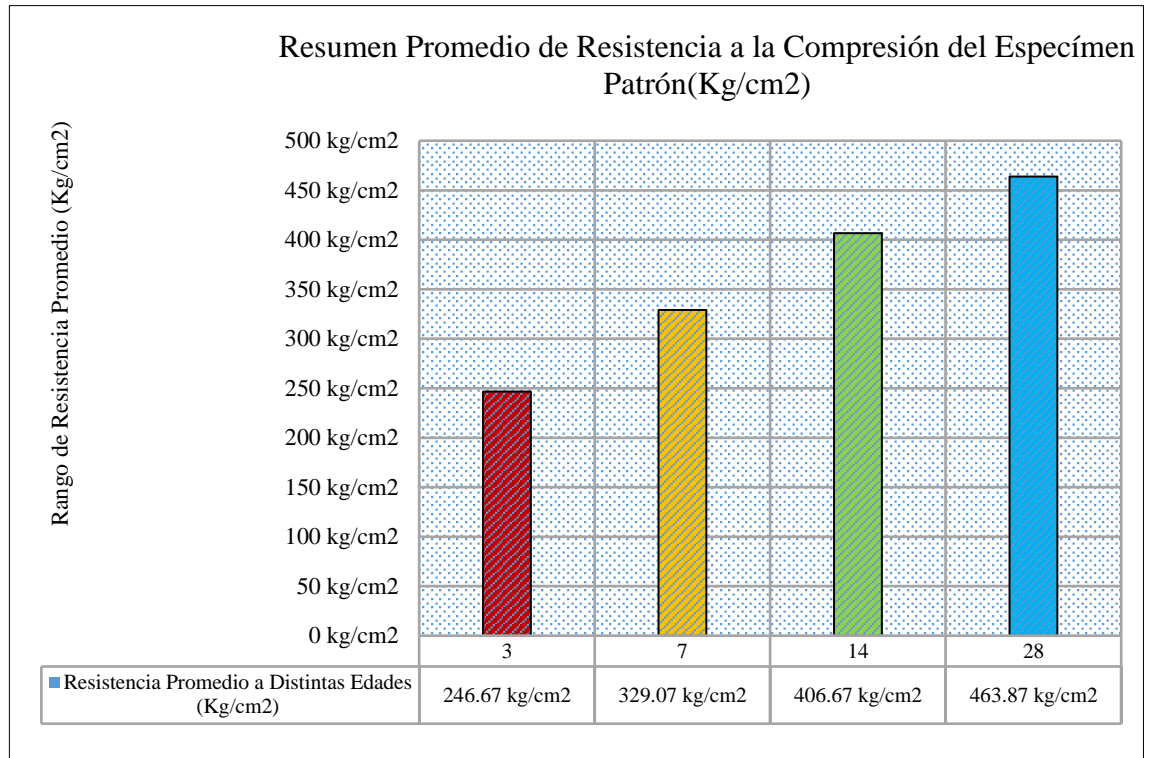
Tabla 49: Resumen de Resistencia a Compresión Promedio a Distintas Edades.

Muestra	Fecha de Moldeo	Fecha de Rotura	Edad (Día)	Resistencia Promedio a Distintas Edades (kg/cm ²)	% Resistencia a Compresión Obtenido
Z1, Z2, Z3	20/05/2021	23/05/2021	3	246.67 kg/cm ²	53.18%
Z4, Z5, Z6	20/05/2021	27/05/2021	7	329.07 kg/cm ²	70.94%
Z7, Z8, Z9	20/05/2021	03/06/2021	14	406.67 kg/cm ²	87.67%
Z10, Z11, Z12	20/05/2021	17/06/2021	28	463.87 kg/cm ²	100%

Fuente: Elaboración Propia.

A continuación, también se puede apreciar el resultado promedio de resistencia a compresión de la muestra patrón ensayada a las edades de 3, 7, 14 y 28 días, tal como se puede apreciar en la figura 26.

Figura 26: Resumen Promedio de Resistencia a Compresión.

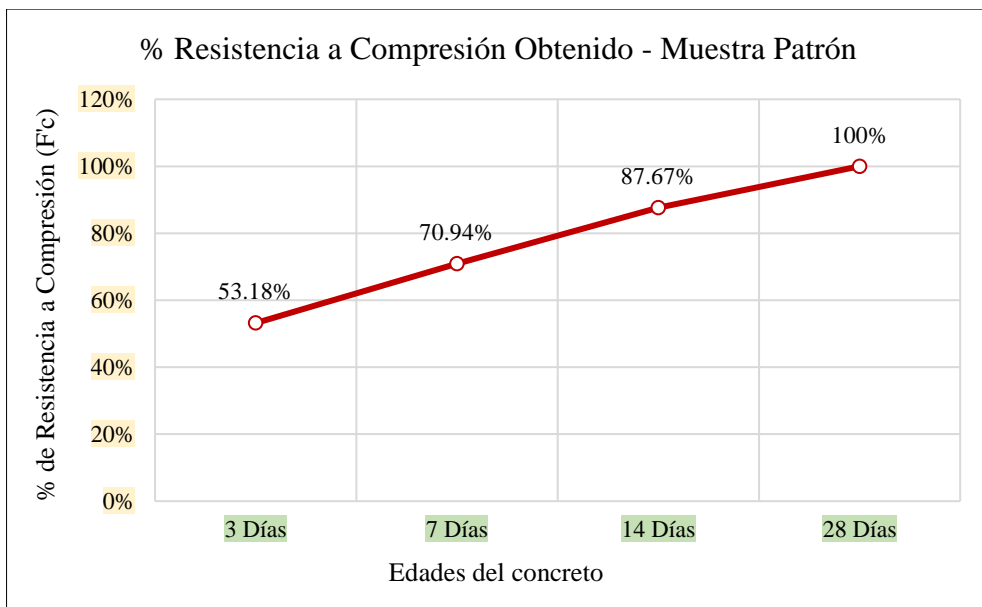


Fuente: Elaboración Propia.

Según la figura 26, se ha obtenido como resultado el promedio de las diversas variaciones de la resistencia a compresión, esto debido al incremento de resistencia con el paso del tiempo ensayado, es decir que han sido ensayadas para un diseño de mezcla de $f'c=210\text{kg/cm}^2$. Así alcanzando una $f'c=246.67\text{kg/cm}^2$ a 3 días de edad, una $f'c=329.07\text{kg/cm}^2$ a 7 días de edad, una $f'c=406.67\text{kg/cm}^2$ a 14 días de edad, y finalmente una $f'c=463.87\text{kg/cm}^2$ a 28 días de edad, logrando un incremento del 120.89% a la resistencia de diseño planteada.

Además, se puede observar en la tabla 49 que la muestra patrón de concreto a los 3 días del curado ha alcanzado un 53.18% de la resistencia final a compresión, a los 7 días ha alcanzado un 70.94% de la resistencia final, a los 14 días ha alcanzado un 87.67% de la resistencia final y finalmente a los 28 días ha logrado el 100% de su resistencia a compresión, debido a que días adelante aumenta ligeramente su resistencia.

Figura 27: *Porcentaje de Resistencia a Compresión Alcanzado.*



Fuente: Elaboración Propia.

Según la figura 27 podemos definir que la resistencia a compresión de la muestra patrón va en aumento debido al paso del tiempo ensayado, así como es necesario mencionar que días en adelante realizar este tipo de ensayos nos otorgará resistencias ligeramente mayores, debido a que el comportamiento del concreto es casi lineal a partir de este punto.

4.3.2. Resultados de Resistencia a Compresión de la Muestra Patrón + 0.5% de Fibra de Guadua Angustifolia a los 3, 7, 14 y 28 Días.

El propósito de realizar este ensayo es determinar la calidad del concreto al entrar en contacto con el 0.5% de fibra de guadua angustifolia.

En efecto se ha planteado como objetivo determinar el ensayo a compresión del concreto, haciendo el uso del método ASTM C39/C39M-20.

Asimismo, para ello se ha efectuado 3 especímenes cilíndricos de concreto con adición del 0.5% de fibra para cada edad de ensayo, es decir se han ensayado a las siguientes edades: 3, 7, 14 y a los 28 días, haciendo un total de 12 especímenes.

Los resultados en cuanto a la resistencia a compresión obtenidos para un diseño de mezcla $f'_c=210\text{kg/cm}^2$, de la muestra patrón con adición del 0.5% de fibra, se pueden apreciar en las siguientes tablas.

Tabla 50: Resistencia a Compresión a Distintas Edades del Concreto.

Muestra	Fecha de Moldeo	Fecha de Rotura	Edad (Días)	Diámetro Espécimen Promedio (mm)	Altura de Espécimen (mm)	Área de la Sección Transversal (mm ²)	Carga Máxima (kn)	Resistencia de Espécimen (mpa)	Resistencia de Espécimen (kg/cm ²)	Resistencia de Diseño (kg/cm ²)	% Resistencia	Tipo de Fractura
G-1	01/07/2021	04/07/2021	3	102.850	204.91	8308.04	132.76	16.90	169.00	210	80%	Tipo 5
G-2	01/07/2021	04/07/2021	3	102.260	203.96	8212.99	101.80	13.00	129.60	210	62%	Tipo 5
G-3	01/07/2021	04/07/2021	3	104.170	204.25	8522.66	147.44	18.80	187.70	210	89%	Tipo 5
G-4	01/07/2021	08/07/2021	7	101.690	205.67	8121.69	233.21	29.70	296.90	210	141%	Tipo 2
G-5	01/07/2021	08/07/2021	7	101.790	204.02	8137.67	225.84	28.80	287.50	210	137%	Tipo 5
G-6	01/07/2021	08/07/2021	7	102.030	206.34	8176.09	207.68	26.40	264.40	210	126%	Tipo 5
G-7	01/07/2021	15/07/2021	14	102.270	204.12	8214.60	294.31	37.50	374.70	210	178%	Tipo 3
G-8	01/07/2021	15/07/2021	14	103.480	204.38	8410.13	304.93	38.80	388.20	210	185%	Tipo 3
G-9	01/07/2021	15/07/2021	14	102.260	205.22	8212.99	296.24	37.70	377.10	210	180%	Tipo 3
G-10	01/07/2021	29/07/2021	28	102.030	202.48	8176.09	299.08	38.20	381.50	210	182%	Tipo 2
G-11	01/07/2021	29/07/2021	28	101.190	203.36	8042.02	287.38	36.60	365.90	210	174%	Tipo 2
G-12	01/07/2021	29/07/2021	28	101.170	202.76	8038.84	284.07	36.20	361.60	210	172%	Tipo 2

Fuente: Elaboración Propia.

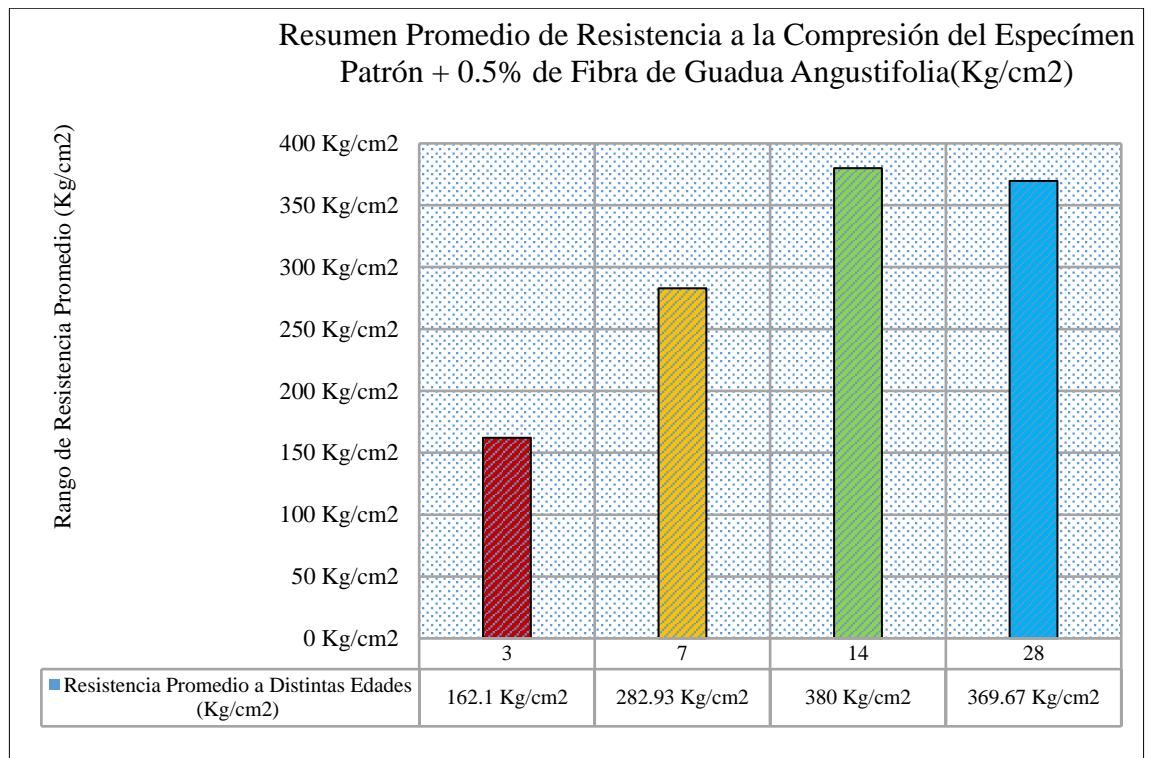
Tabla 51: Resumen de Resistencia a Compresión Promedio a Distintas Edades.

Muestra	Fecha de Moldeo	Fecha de Rotura	Edad (Día)	Resistencia Promedio a Distintas Edades (kg/cm ²)	% Resistencia a Compresión Obtenido
G1, G2, G3	01/07/2021	04/07/2021	3	162.10 kg/cm ²	43.85%
G4, G5, G6	01/07/2021	08/07/2021	7	282.93 kg/cm ²	76.54%
G7, G8, G9	01/07/2021	15/07/2021	14	380.00 kg/cm ²	102.79%
G10, G11, G12	01/07/2021	29/07/2021	28	369.67 kg/cm ²	100%

Fuente: Elaboración Propia.

A continuación, también se puede apreciar el resultado promedio de resistencia a compresión de la muestra patrón con adición de 0.5% de fibra ensayada a las edades de 3, 7, 14 y 28 días, tal como se puede apreciar en la figura 28.

Figura 28: Resumen Promedio de Resistencia a Compresión.

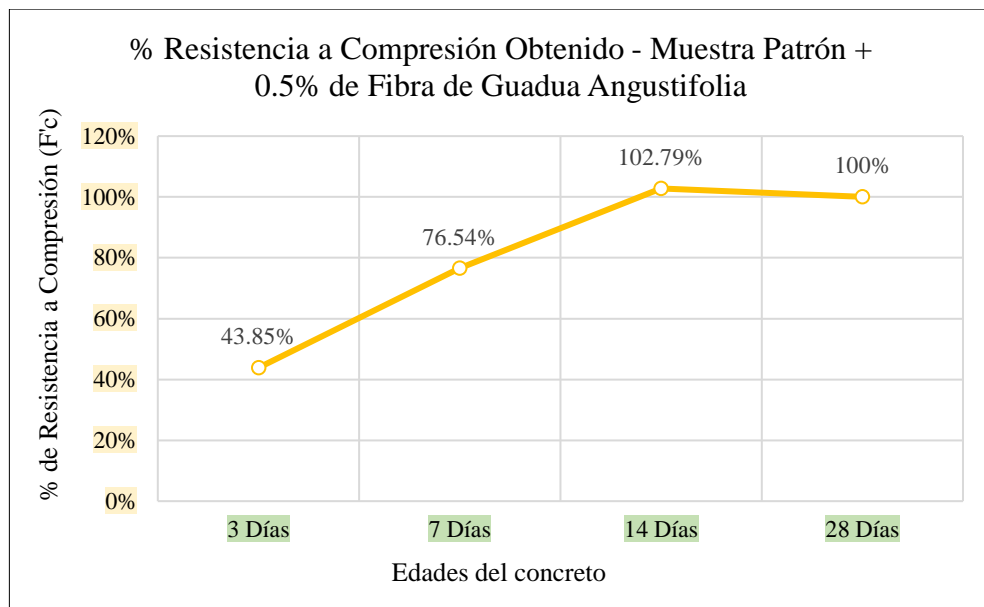


Fuente: Elaboración Propia.

Según la figura 28, se ha obtenido como resultado el promedio de las diversas variaciones de la resistencia a compresión, esto debido al incremento de resistencia con el paso del tiempo ensayado, es decir que han sido ensayadas para un diseño de mezcla de $f'c=210\text{kg.cm}^2$. Así alcanzando una $f'c=162.1\text{kg/cm}^2$ a 3 días de edad, una $f'c=282.93\text{kg/cm}^2$ a 7 días de edad, una $f'c=380\text{kg/cm}^2$ a 14 días de edad, y finalmente una $f'c=369.67\text{kg/cm}^2$ a 28 días de edad, logrando un incremento del 76.03% a la resistencia de diseño planteada.

Además, se puede observar en la tabla 51 que la muestra patrón de concreto con adición del 0.5% de fibra de guadua angustifolia a los 3 días del curado ha alcanzado un 43.85% de la resistencia final a compresión, a los 7 días ha alcanzado un 76.54% de la resistencia final, a los 14 días ha alcanzado un 102.79% de la resistencia final y finalmente a los 28 días ha logrado el 100% de su resistencia a compresión, debido a que días adelante aumenta ligeramente su resistencia.

Figura 29: *Porcentaje de Resistencia a Compresión Alcanzado.*



Fuente: Elaboración Propia.

Según la figura 29 podemos definir que la resistencia a compresión de la muestra patrón con adición del 0.5% de fibra de guadua angustifolia va en aumento debido al paso del tiempo ensayado, así como es necesario mencionar que días en adelante realizar este tipo de ensayos nos otorgará resistencias ligeramente mayores, debido a que el comportamiento del concreto es casi lineal a partir de este punto.

4.3.3. Resultados de Resistencia a Compresión de la Muestra Patrón + 1.0% de Fibra de Guadua Angustifolia a los 3, 7, 14 y 28 Días.

El propósito de realizar este ensayo es determinar la calidad del concreto al entrar en contacto con el 1.0% de fibra de guadua angustifolia.

En efecto se ha planteado como objetivo determinar el ensayo a compresión del concreto, haciendo el uso del método ASTM C39/C39M-20.

Asimismo, para ello se ha efectuado 3 especímenes cilíndricos de concreto con adición del 1.0% de fibra para cada edad de ensayo, es decir se han ensayado a las siguientes edades: 3, 7, 14 y a los 28 días, haciendo un total de 12 especímenes.

Los resultados en cuanto a la resistencia a compresión obtenidos para un diseño de mezcla $f'_c=210\text{kg/cm}^2$, de la muestra patrón con adición del 1.0% de fibra, se pueden apreciar en las siguientes tablas.

Tabla 52: Resistencia a Compresión a Distintas Edades del Concreto.

Muestra	Fecha de Moldeo	Fecha de Rotura	Edad (Días)	Diámetro Espécimen Promedio (mm)	Altura de Espécimen (mm)	Área de la Sección Transversal (mm ²)	Carga Máxima (kn)	Resistencia de Espécimen (mpa)	Resistencia de Espécimen (kg/cm ²)	Resistencia de Diseño (kg/cm ²)	% Resistencia	Tipo de Fractura
Z-1	30/06/2021	03/07/2021	3	101.660	206.11	8116.90	112.47	14.30	143.20	210	68%	Tipo 1
Z-2	30/06/2021	03/07/2021	3	102.950	205.51	8324.20	108.37	13.80	137.90	210	66%	Tipo 1
Z-3	30/06/2021	03/07/2021	3	103.800	205.19	8462.23	117.13	14.90	149.10	210	71%	Tipo 1
Z-4	30/06/2021	07/07/2021	7	101.240	205.96	8049.97	208.10	26.50	264.90	210	126%	Tipo 3
Z-5	30/06/2021	07/07/2021	7	102.960	204.58	8325.82	213.97	27.20	272.40	210	130%	Tipo 1
Z-6	30/06/2021	07/07/2021	7	101.570	204.66	8102.53	172.91	22.00	220.10	210	105%	Tipo 1
Z-7	30/06/2021	14/07/2021	14	103.180	204.37	8361.44	258.74	32.90	329.40	210	157%	Tipo 1
Z-8	30/06/2021	14/07/2021	14	102.100	205.89	8187.31	247.86	31.60	315.50	210	150%	Tipo 5
Z-9	30/06/2021	14/07/2021	14	102.530	204.81	8256.42	241.19	30.70	307.10	210	146%	Tipo 3
Z-10	30/06/2021	28/07/2021	28	101.630	203.18	8112.11	255.74	32.60	325.60	210	155%	Tipo 5
Z-11	30/06/2021	28/07/2021	28	102.190	202.26	8201.75	217.68	27.70	277.10	210	132%	Tipo 1
Z-12	30/06/2021	28/07/2021	28	102.170	202.33	8198.54	290.43	37.00	369.80	210	176%	Tipo 2

Fuente: Elaboración Propia.

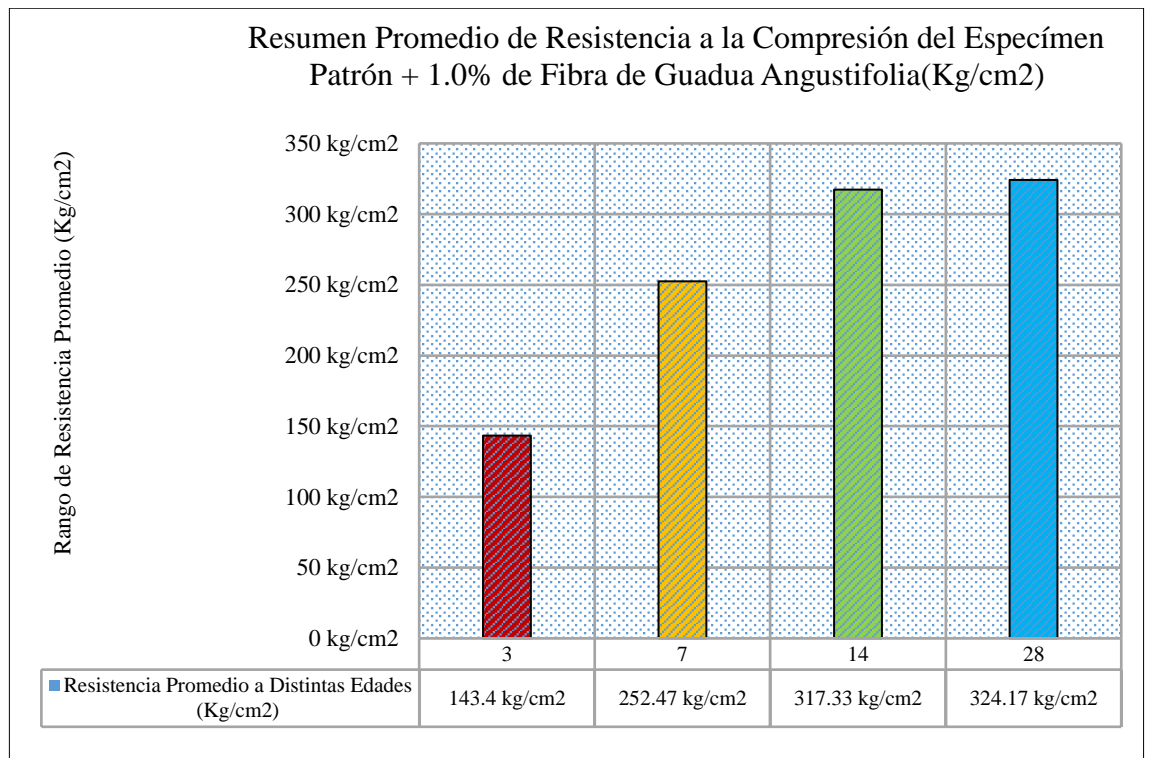
Tabla 53: Resumen de Resistencia a Compresión Promedio a Distintas Edades.

Muestra	Fecha de Moldeo	Fecha de Rotura	Edad (Día)	Resistencia Promedio a Distintas Edades (kg/cm ²)	% Resistencia a Compresión Obtenido
Z1, Z2, Z3	30/06/2021	03/07/2021	3	143.40 kg/cm ²	44.24%
Z4, Z5, Z6	30/06/2021	07/07/2021	7	252.47 kg/cm ²	77.88%
Z7, Z8, Z9	30/06/2021	14/07/2021	14	317.33 kg/cm ²	97.89%
Z10, Z11, Z12	30/06/2021	28/07/2021	28	324.17 kg/cm ²	100%

Fuente: Elaboración Propia.

A continuación, también se puede apreciar el resultado promedio de resistencia a compresión de la muestra patrón con adición de 1.0% de fibra ensayada a las edades de 3, 7, 14 y 28 días, tal como se puede apreciar en la figura 30.

Figura 30: Resumen Promedio de Resistencia a Compresión.

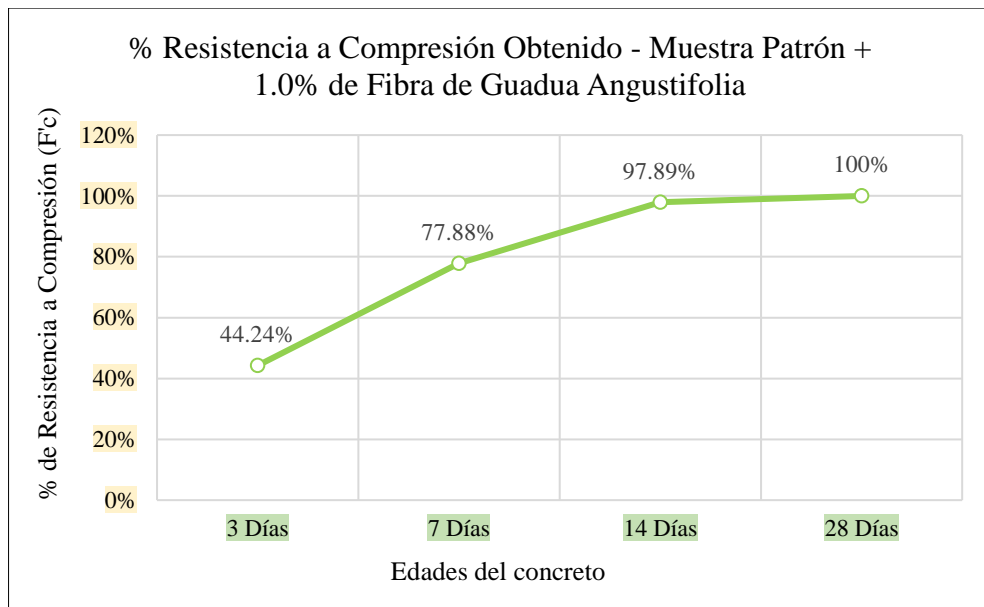


Fuente: Elaboración Propia.

Según la figura 30, se ha obtenido como resultado el promedio de las diversas variaciones de la resistencia a compresión, esto debido al incremento de resistencia con el paso del tiempo ensayado, es decir que han sido ensayadas para un diseño de mezcla de $f'c=210\text{kg.cm}^2$. Así alcanzando una $f'c=143.4\text{kg/cm}^2$ a 3 días de edad, una $f'c=252.47\text{kg/cm}^2$ a 7 días de edad, una $f'c=317.33\text{kg/cm}^2$ a 14 días de edad, y finalmente una $f'c=324.17\text{kg/cm}^2$ a 28 días de edad, logrando un incremento del 49.60% a la resistencia de diseño planteada.

Además, se puede observar en la tabla 53 que la muestra patrón de concreto con adición del 1.0% de fibra de guadua angustifolia a los 3 días del curado ha alcanzado un 44.24% de la resistencia final a compresión, a los 7 días ha alcanzado un 77.88% de la resistencia final, a los 14 días ha alcanzado un 97.89% de la resistencia final y finalmente a los 28 días ha logrado el 100% de su resistencia a compresión, debido a que días adelante aumenta ligeramente su resistencia.

Figura 31: *Porcentaje de Resistencia a Compresión Alcanzado.*



Fuente: Elaboración Propia.

Según la figura 31 podemos definir que la resistencia a compresión de la muestra patrón con adición del 1.0% de fibra de guadua angustifolia va en aumento debido al paso del tiempo ensayado, así como es necesario mencionar que días en adelante realizar este tipo de ensayos nos otorgará resistencias ligeramente mayores, debido a que el comportamiento del concreto es casi lineal a partir de este punto.

4.3.4. Resultados de Resistencia a Compresión de la Muestra Patrón + 1.5% de Fibra de Guadua Angustifolia a los 3, 7, 14 y 28 Días.

El propósito de realizar este ensayo es determinar la calidad del concreto al entrar en contacto con el 1.5% de fibra de guadua angustifolia.

En efecto se ha planteado como objetivo determinar el ensayo a compresión del concreto, haciendo el uso del método ASTM C39/C39M-20.

Asimismo, para ello se ha efectuado 3 especímenes cilíndricos de concreto con adición del 1.5% de fibra para cada edad de ensayo, es decir se han ensayado a las siguientes edades: 3, 7, 14 y a los 28 días, haciendo un total de 12 especímenes.

Los resultados en cuanto a la resistencia a compresión obtenidos para un diseño de mezcla $f'_c=210\text{kg/cm}^2$, de la muestra patrón con adición del 1.5% de fibra, se pueden apreciar en las siguientes tablas.

Tabla 54: Resistencia a Compresión a Distintas Edades del Concreto.

Muestra	Fecha de Moldeo	Fecha de Rotura	Edad (Días)	Diámetro Espécimen Promedio (mm)	Altura de Espécimen (mm)	Área de la Sección Transversal (mm ²)	Carga Máxima (kn)	Resistencia de Espécimen (mpa)	Resistencia de Espécimen (kg/cm ²)	Resistencia de Diseño (kg/cm ²)	% Resistencia	Tipo de Fractura
PP-1	24/06/2021	27/06/2021	3	99.750	204.89	7814.76	116.66	14.90	148.50	210	71%	Tipo 1
PP-2	24/06/2021	27/06/2021	3	100.520	205.27	7935.88	126.79	16.10	161.40	210	77%	Tipo 1
PP-3	24/06/2021	27/06/2021	3	99.660	205.73	7800.67	108.44	13.80	138.00	210	66%	Tipo 1
PP-4	24/06/2021	01/07/2021	7	100.460	204.33	7926.40	182.10	22.80	228.20	210	109%	Tipo 3
PP-5	24/06/2021	01/07/2021	7	99.890	206.32	7836.71	200.15	25.50	254.80	210	121%	Tipo 1
PP-6	24/06/2021	01/07/2021	7	99.470	206.33	7770.95	178.29	22.70	227.00	210	108%	Tipo 1
PP-7	24/06/2021	08/07/2021	14	103.220	203.62	8367.92	197.26	25.10	251.10	210	120%	Tipo 1
PP-8	24/06/2021	08/07/2021	14	102.600	204.56	8267.70	172.97	22.00	220.20	210	105%	Tipo 5
PP-9	24/06/2021	08/07/2021	14	102.130	204.25	8192.12	227.24	28.90	289.30	210	138%	Tipo 3
PP-10	24/06/2021	22/07/2021	28	102.660	204.18	8277.37	243.39	31.00	309.90	210	148%	Tipo 5
PP-11	24/06/2021	22/07/2021	28	102.820	205.68	8303.19	238.72	30.40	303.90	210	145%	Tipo 1
PP-12	24/06/2021	22/07/2021	28	102.190	205.00	8201.75	249.02	31.70	317.00	210	151%	Tipo 2

Fuente: Elaboración Propia.

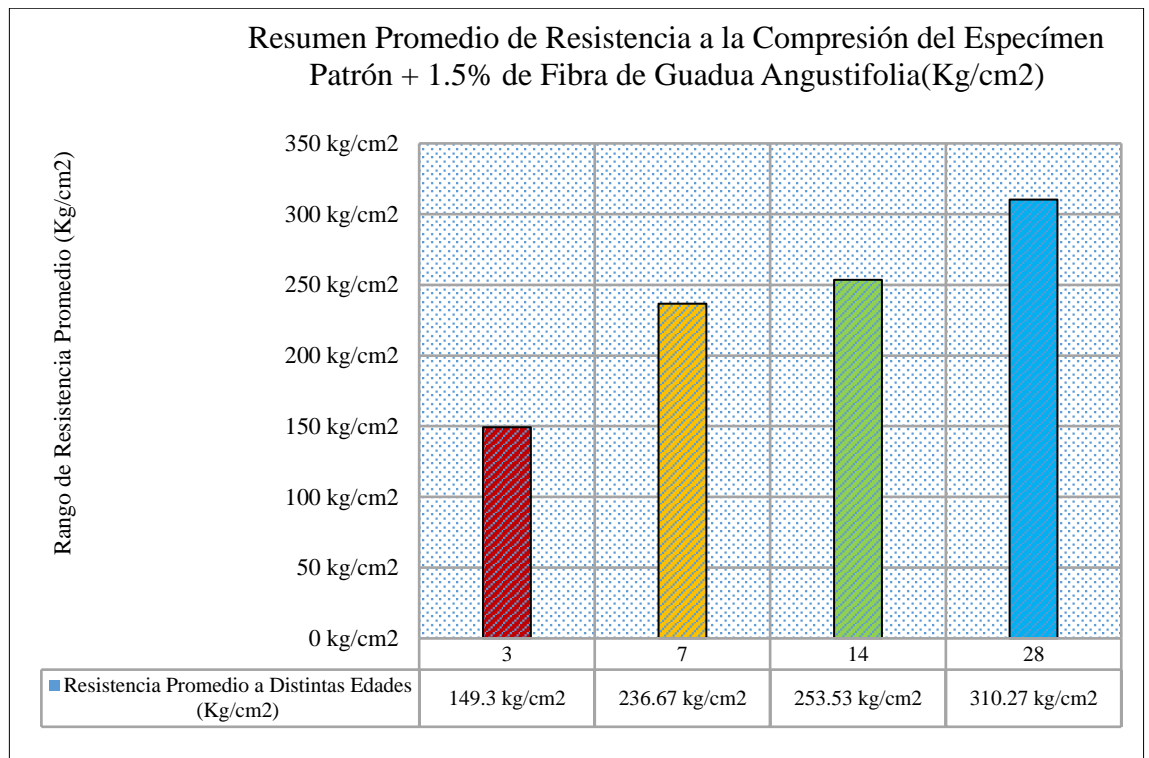
Tabla 55: Resumen de Resistencia a Compresión Promedio a Distintas Edades.

Muestra	Fecha de Moldeo	Fecha de Rotura	Edad (Día)	Resistencia Promedio a Distintas Edades (kg/cm ²)	% Resistencia a Compresión Obtenido
PP1, PP2, PP3	24/06/2021	27/06/2021	3	149.30 kg/cm ²	48.12%
PP4, PP5, PP6	24/06/2021	01/07/2021	7	236.67 kg/cm ²	76.28%
PP7, PP8, PP9	24/06/2021	08/07/2021	14	253.53 kg/cm ²	81.71%
PP10, PP11, PP12	24/06/2021	22/07/2021	28	310.27 kg/cm ²	100%

Fuente: Elaboración Propia.

A continuación, también se puede apreciar el resultado promedio de resistencia a compresión de la muestra patrón con adición de 1.5% de fibra ensayada a las edades de 3, 7, 14 y 28 días, tal como se puede apreciar en la figura 32.

Figura 32: Resumen Promedio de Resistencia a Compresión.

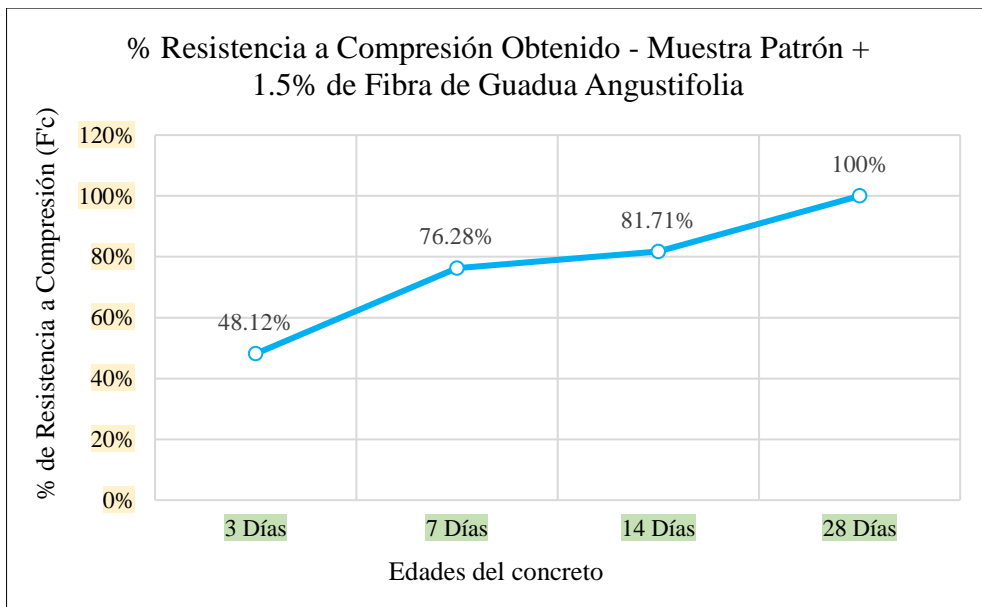


Fuente: Elaboración Propia.

Según la figura 32, se ha obtenido como resultado el promedio de las diversas variaciones de la resistencia a compresión, esto debido al incremento de resistencia con el paso del tiempo ensayado, es decir que han sido ensayadas para un diseño de mezcla de $f'c=210\text{kg.cm}^2$. Así alcanzando una $f'c=149.3\text{kg/cm}^2$ a 3 días de edad, una $f'c=236.67\text{kg/cm}^2$ a 7 días de edad, una $f'c=253.53\text{kg/cm}^2$ a 14 días de edad, y finalmente una $f'c=310.27\text{kg/cm}^2$ a 28 días de edad, logrando un incremento del 47.75% a la resistencia de diseño planteada.

Además, se puede observar en la tabla 55 que la muestra patrón de concreto con adición del 1.5% de fibra de guadua angustifolia a los 3 días del curado ha alcanzado un 48.12% de la resistencia final a compresión, a los 7 días ha alcanzado un 76.28% de la resistencia final, a los 14 días ha alcanzado un 81.71% de la resistencia final y finalmente a los 28 días ha logrado el 100% de su resistencia a compresión, debido a que días adelante aumenta ligeramente su resistencia.

Figura 33: *Porcentaje de Resistencia a Compresión Alcanzado.*



Fuente: Elaboración Propia.

Según la figura 33 podemos definir que la resistencia a compresión de la muestra patrón con adición del 1.5% de fibra de guadua angustifolia va en aumento debido al paso del tiempo ensayado, así como es necesario mencionar que días en adelante realizar este tipo de ensayos nos otorgará resistencias ligeramente mayores, debido a que el comportamiento del concreto es casi lineal a partir de este punto.

Según la tabla de datos y figuras analizados anteriormente se ha podido ver el cambio de la resistencia a compresión (f^c) de los diferentes especímenes, así como a diferentes edades, y ver la evolución de las resistencias sometidas a compresión, según la adición de fibras de guadua angustifolia. Por otra parte, nos obliga a realizar las comparaciones de la muestra patrón con respecto a la muestra patrón con adición de las fibras, debido a al cambio de edades, por ende, se pretende plantear en las siguientes tablas y figuras.

4.4. Análisis Comparativo de Resistencia a la Compresión de los Diferentes Especímenes de concreto.

Las presentes tablas y figuras que están dentro de este ítem, están sujetas a la comparación de resistencia a compresión del espécimen patrón con la de la muestra patrón con adición de la fibra de guadua angustifolia en proporciones del 0.5%, 1.0% y 1.5%.

Las cuales son un ente importante a tener en cuenta para así poder apreciar las diferencias entre estas. Asimismo, la comparación está en función a las edades 3, 7, 14 y 28 días de ensayo.

4.4.1. Resultados Comparativos de Resistencia a Compresión Obtenidas por las Muestras de Concretos Cilíndricas a la Edad de 3 Días.

Según la tabla 56 podemos afirmar que la muestra patrón presenta el mayor valor de f^c equivalente a 246.67kg/cm², seguido por la muestra patrón con adición del 0.5% de fibra, obteniendo un valor de $f^c=162.1$ kg/cm², en tercer lugar, ocupado por la muestra patrón con adición del 1.5% de fibra, adquiriendo un $f^c=149.3$ kg/cm² y finalmente

la muestra patrón con adición del 1.0% alcanzando un $f'c=143.4\text{kg/cm}^2$, la cual es menor frente a las otras proporciones antes mencionadas.

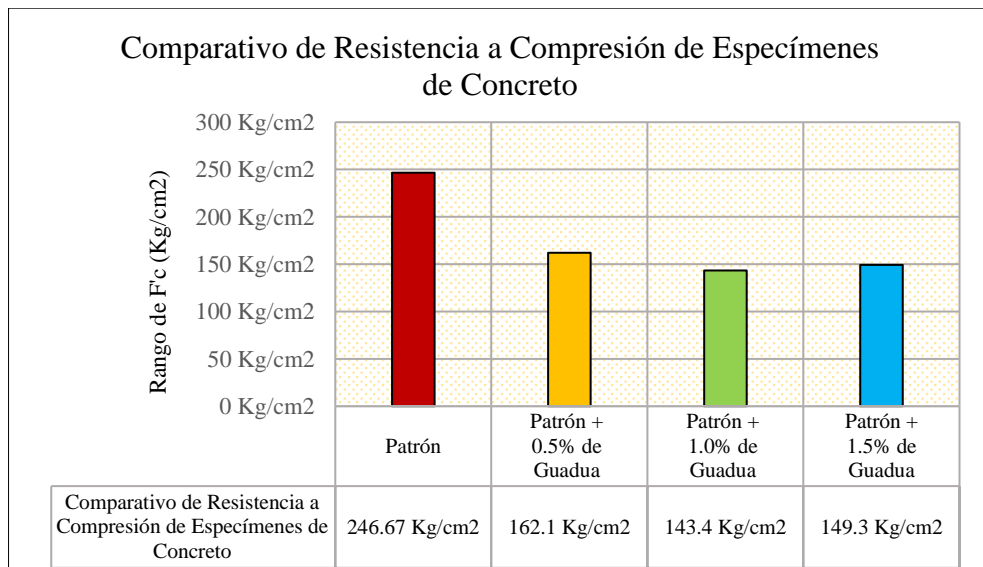
Tabla 56: *Comparativo de Resistencia a Compresión a 3 Días de Ensayo.*

Comparativo de Resistencia a Compresión de Especímenes de Concreto		
Muestra	Edad (Días)	Resistencia Promedio (kg/cm ²)
Patrón	3	246.67 kg/cm ²
Patrón + 0.5% de Guadua	3	162.1 kg/cm ²
Patrón + 1.0% de Guadua	3	143.4 kg/cm ²
Patrón + 1.5% de Guadua	3	149.3 kg/cm ²

Fuente: Elaboración Propia.

De este modo, podemos apreciar en la figura 34 las comparaciones de los resultados adquiridos a los 3 días de ensayo, las cuales fueron diseñadas para un $f'c=210\text{kg/cm}^2$.

Figura 34: *Comparación de Resistencia a Compresión de Testigos.*



Fuente: Elaboración Propia.

4.4.2. Resultados Comparativos de Resistencia a Compresión Obtenidas por las Muestras de Concretos Cilíndricas a la Edad de 7 Días.

Según la tabla 57 podemos afirmar que la muestra patrón presenta el mayor valor de $f'c$ equivalente a 329.07kg/cm^2 , seguido por la muestra

patrón con adición del 0.5% de fibra, obteniendo un valor de $f'c=282.93\text{kg/cm}^2$, en tercer lugar, ocupado por la muestra patrón con adición del 1.0% de fibra, adquiriendo un $f'c=252.47\text{kg/cm}^2$ y finalmente la muestra patrón con adición del 1.5% alcanzando un $f'c=236.67\text{kg/cm}^2$, la cual es menor frente a las otras proporciones ya mencionadas.

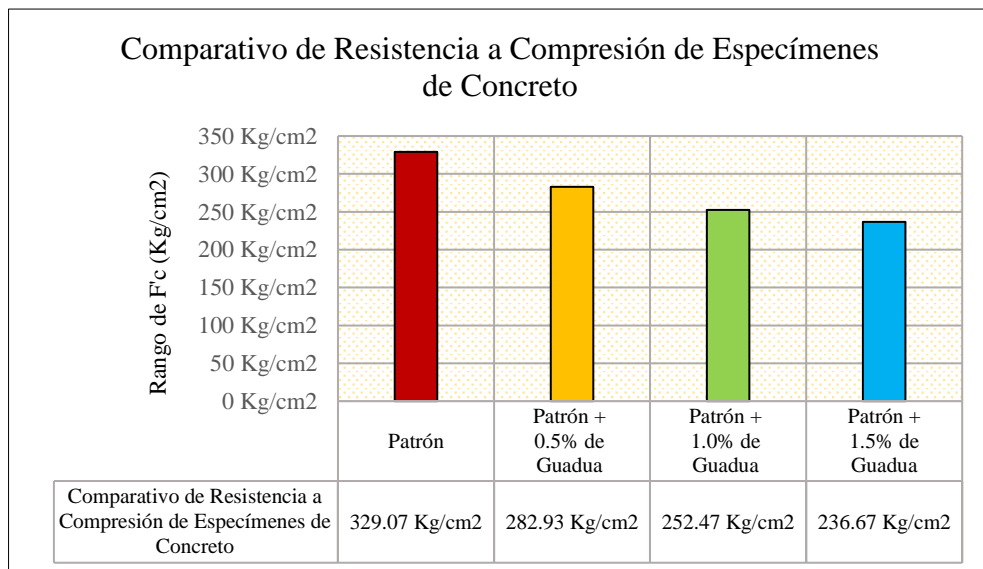
Tabla 57: *Comparativo de Resistencia a Compresión a 7 Días de Ensayo.*

Comparativo de Resistencia a Compresión de Especímenes de Concreto		
Muestra	Edad (Días)	Resistencia Promedio (kg/cm ²)
Patrón	7	329.07 kg/cm ²
Patrón + 0.5% de Guadua	7	282.93 kg/cm ²
Patrón + 1.0% de Guadua	7	252.47 kg/cm ²
Patrón + 1.5% de Guadua	7	236.67 kg/cm ²

Fuente: Elaboración Propia.

De este modo, podemos apreciar en la figura 35 las comparaciones de los resultados adquiridos a los 7 días de ensayo, las cuales fueron diseñadas para un $f'c=210\text{kg/cm}^2$.

Figura 35: *Comparación de Resistencia a Compresión de Testigos.*



Fuente: Elaboración Propia.

4.4.3. Resultados Comparativos de Resistencia a Compresión Obtenidas por las Muestras de Concretos Cilíndricas a la Edad de 14 Días.

Según la tabla 58 podemos afirmar que la muestra patrón presenta el mayor valor de $f'c$ equivalente a 406.67kg/cm², seguido por la muestra patrón con adición del 0.5% de fibra, obteniendo un valor de $f'c=380.00$ kg/cm², en tercer lugar, ocupado por la muestra patrón con adición del 1.0% de fibra, adquiriendo un $f'c=317.33$ kg/cm² y finalmente la muestra patrón con adición del 1.5% alcanzando un $f'c=253.33$ kg/cm², la cual es menor frente a las otras proporciones ya mencionadas.

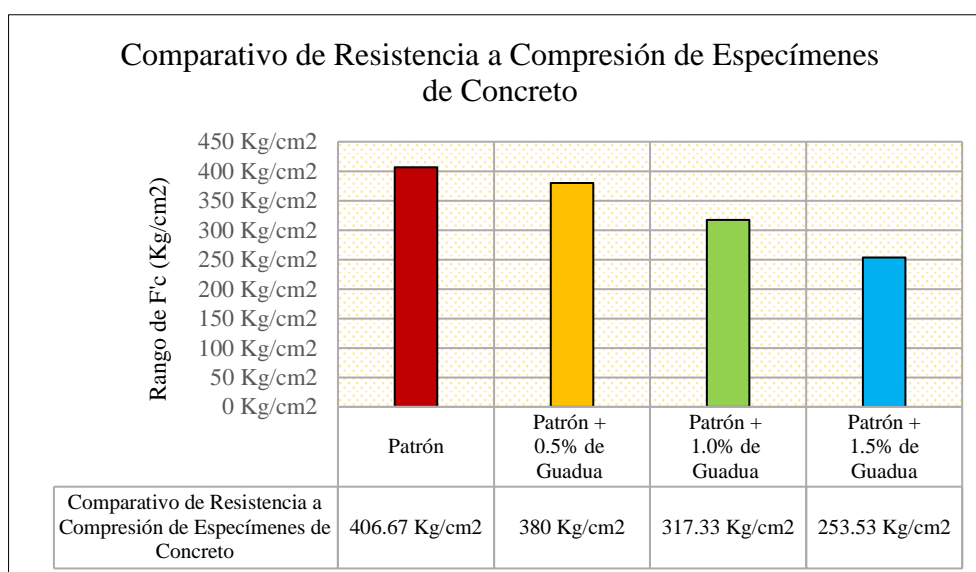
Tabla 58: *Comparativo de Resistencia a Compresión a 14 Días de Ensayo.*

Comparativo de Resistencia a Compresión de Especímenes de Concreto		
Muestra	Edad (Días)	Resistencia Promedio (kg/cm ²)
Patrón	14	406.67 kg/cm ²
Patrón + 0.5% de Guadua	14	380.00 kg/cm ²
Patrón + 1.0% de Guadua	14	317.33 kg/cm ²
Patrón + 1.5% de Guadua	14	253.33 kg/cm ²

Fuente: Elaboración Propia.

De este modo, podemos apreciar en la figura 36 las comparaciones de los resultados adquiridos a los 14 días de ensayo, las cuales fueron diseñadas para un $f'c=210$ kg/cm².

Figura 36: Comparación de Resistencia a Compresión de Testigos.



Fuente: Elaboración Propia.

4.4.4. Resultados Comparativos de Resistencia a Compresión Obtenidas por las Muestras de Concretos Cilíndricas a la Edad de 28 Días.

Según la tabla 59, la muestra patrón presenta el mayor valor de f^c equivalente a 463.87kg/cm², seguido por la muestra patrón con adición del 0.5% de fibra, obteniendo un valor de $f^c=369.67$ kg/cm², en tercer lugar, ocupado por la muestra patrón con adición del 1.0% de fibra, adquiriendo un $f^c=324.17$ kg/cm² y finalmente la muestra patrón con adición del 1.5% alcanzando un $f^c=310.27$ kg/cm², es decir la menor.

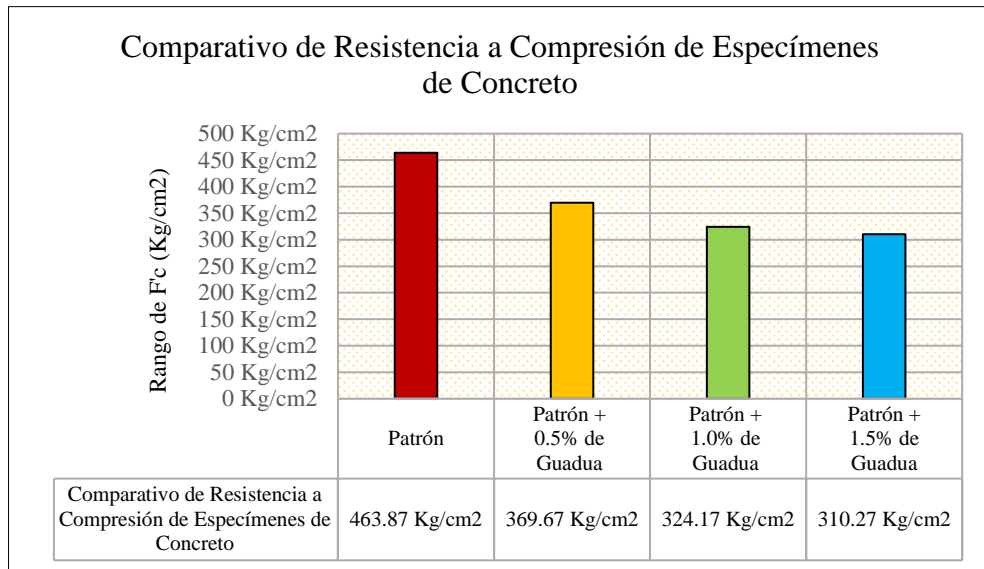
Tabla 59: Comparativo de Resistencia a Compresión a 28 Días de Ensayo.

Comparativo de Resistencia a Compresión de Especímenes de Concreto		
Muestra	Edad (Días)	Resistencia Promedio (kg/cm ²)
Patrón	28	463.87 kg/cm ²
Patrón + 0.5% de Guadua	28	369.67 kg/cm ²
Patrón + 1.0% de Guadua	28	324.17 kg/cm ²
Patrón + 1.5% de Guadua	28	310.27 kg/cm ²

Fuente: Elaboración Propia.

De este modo, podemos apreciar en la figura 37 las comparaciones de los resultados adquiridos a los 28 días de ensayo, las cuales fueron diseñadas para un $f'c=210\text{kg/cm}^2$.

Figura 37: Comparación de Resistencia a Compresión de Testigos.



Fuente: Elaboración Propia.

4.5. Análisis Comparativo de Valores de Resistencia a Compresión de los Diferentes Especímenes de Concreto.

Al igual que las tablas y figuras analizados anteriormente, es indispensable realizar la comparación de resultados en términos porcentuales, las cuales se han tomado como referencia que el $f'c$ adquirido a los 28 días fue de 463.87kg/cm^2 , la cual es equivalente al 100% obtenido como valor máximo según el ensayo realizado, esto con respecto a la muestra patrón.

4.5.1. Resultados Comparativos de Resistencia a Compresión de Muestras Cilíndricas de Concreto a la Edad de 3 Días, Expresadas en %.

En la tabla 60 se puede apreciar la descendencia de valores obtenidos a la edad de 3 días, las cuales se han obtenido en el siguiente orden: Muestra patrón con $f'c=53.18\%$, seguida por la Muestra Patrón con adición del 0.5% de Fibra logrando un $f'c=34.95\%$, en tercer lugar, la Muestra Patrón con adición del 1.5% de Fibra adquiriendo un $f'c=32.19\%$ y finalmente la Muestra Patrón con adición del 1.0% obteniendo un $f'c=30.91\%$, es decir la menor a las demás mencionadas.

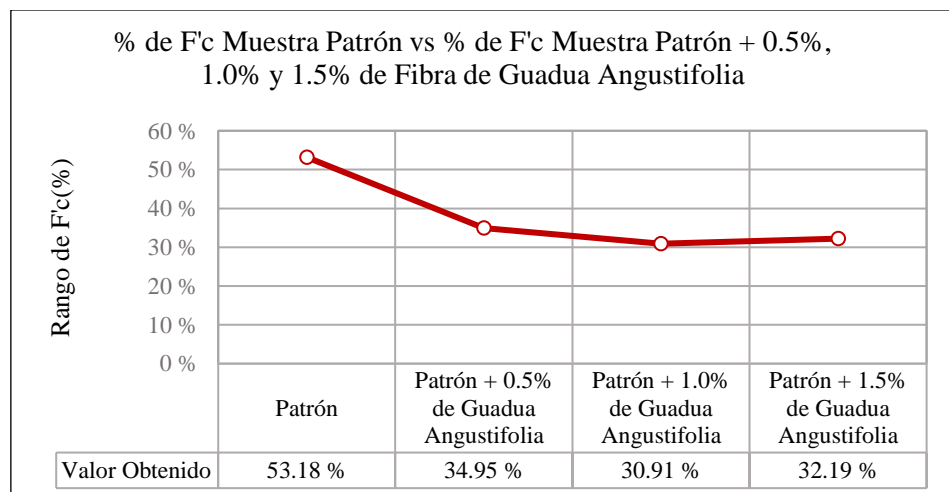
Tabla 60: *Valores Porcentuales de Resistencia a Compresión Edad 3 Días.*

% de Resistencia a Compresión de Especímenes de Concreto		
Muestra	Edad (Días)	$f'c$ Promedio (%)
Patrón	3	53.18 %
Patrón + 0.5% de Guadua Angustifolia	3	34.95 %
Patrón + 1.0% de Guadua Angustifolia	3	30.91 %
Patrón + 1.5% de Guadua Angustifolia	3	32.19 %

Fuente: Elaboración Propia.

Asimismo, es preciso analizar estos valores, tal como se puede apreciar en la siguiente figura, es decir el comportamiento descendente de la línea, según los valores de la tabla 60.

Figura 38: *Valor Adquirido de Resistencia a Compresión.*



Fuente: Elaboración Propia.

4.5.2. Resultados Comparativos de Resistencia a Compresión de Muestras Cilíndricas de Concreto a la Edad de 7 Días, Expresadas en %.

En la tabla 61 se puede apreciar la descendencia de valores obtenidos a la edad de 7 días, las cuales tienen el siguiente orden: Muestra patrón con $f'c=70.94\%$, seguida por la Muestra Patrón con adición del 0.5% de Fibra logrando un $f'c=60.99\%$, en tercer lugar, la Muestra Patrón con adición del 1.0% de Fibra adquiriendo un $f'c=54.43\%$ y finalmente la Muestra Patrón con adición del 1.5% obteniendo un $f'c=51.02\%$, es decir el menor.

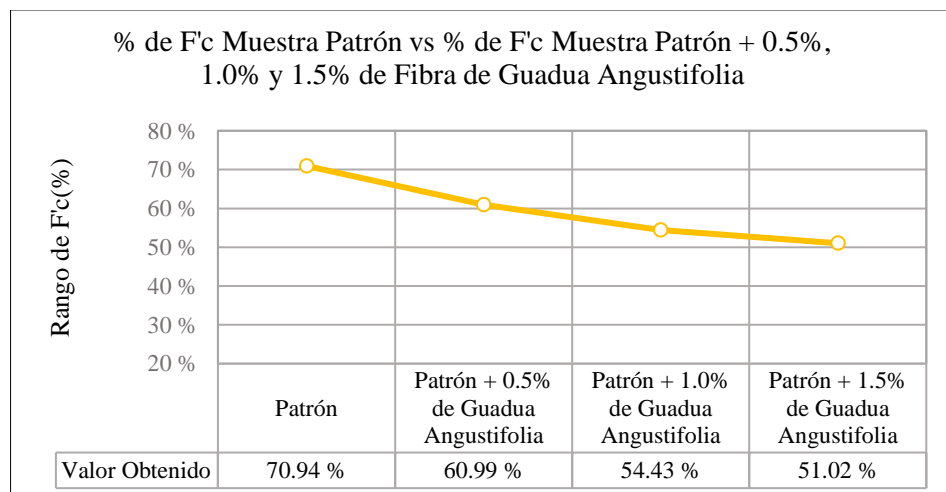
Tabla 61: Valores Porcentuales de Resistencia a Compresión Edad 7 Días.

% de Resistencia a Compresión de Especímenes de Concreto		
Muestra	Edad (Días)	$f'c$ Promedio (%)
Patrón	7	70.94 %
Patrón + 0.5% de Guadua Angustifolia	7	60.99 %
Patrón + 1.0% de Guadua Angustifolia	7	54.43 %
Patrón + 1.5% de Guadua Angustifolia	7	51.02 %

Fuente: Elaboración Propia.

Asimismo, analizaremos estos valores en la figura 39, es decir el comportamiento descendente de la línea, según los datos de la tabla 61.

Figura 39: Valor Adquirido de Resistencia a Compresión.



Fuente: Elaboración Propia.

4.5.3. Resultados Comparativos de Resistencia a Compresión de Muestras Cilíndricas de Concreto a la Edad de 14 Días, Expresadas en %.

En la tabla 62 se puede apreciar la descendencia de valores obtenidos a la edad de 14 días, las cuales tienen el siguiente orden: Muestra patrón con $f'c=87.67\%$, seguida por la Muestra Patrón con adición del 0.5% de Fibra logrando un $f'c=81.92\%$, en tercer lugar, la Muestra Patrón con adición del 1.0% de Fibra adquiriendo un $f'c=68.41\%$ y finalmente la Muestra Patrón con adición del 1.5% obteniendo un $f'c=54.66\%$, es decir el menor.

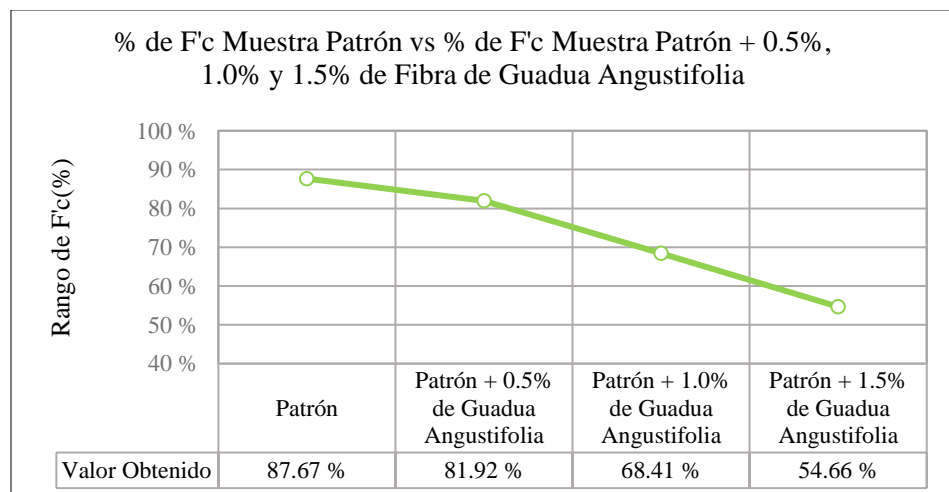
Tabla 62: *Valores Porcentuales de Resistencia a Compresión Edad 14 Días.*

% de Resistencia a Compresión de Especímenes de Concreto		
Muestra	Edad (Días)	$f'c$ Promedio (%)
Patrón	14	87.67 %
Patrón + 0.5% de Guadua Angustifolia	14	81.92 %
Patrón + 1.0% de Guadua Angustifolia	14	68.41 %
Patrón + 1.5% de Guadua Angustifolia	14	54.66 %

Fuente: Elaboración Propia.

Asimismo, analizaremos estos valores en la figura 40, es decir el comportamiento descendente de la línea, según los datos de la tabla 62.

Figura 40: *Valor Adquirido de Resistencia a Compresión.*



Fuente: Elaboración Propia.

4.5.4. Resultados Comparativos de Resistencia a Compresión de Muestras Cilíndricas de Concreto a la Edad de 28 Días, Expresadas en %.

En la tabla 63 se puede apreciar la descendencia de valores obtenidos a la edad de 28 días, las cuales tienen el siguiente orden: Muestra patrón con $f'c=100\%$, seguida por la Muestra Patrón con adición del 0.5% de Fibra logrando un $f'c=79.69\%$, en tercer lugar, la Muestra Patrón con adición del 1.0% de Fibra adquiriendo un $f'c=69.88\%$ y finalmente la Muestra Patrón con adición del 1.5% obteniendo un $f'c=66.89\%$, es decir el menor.

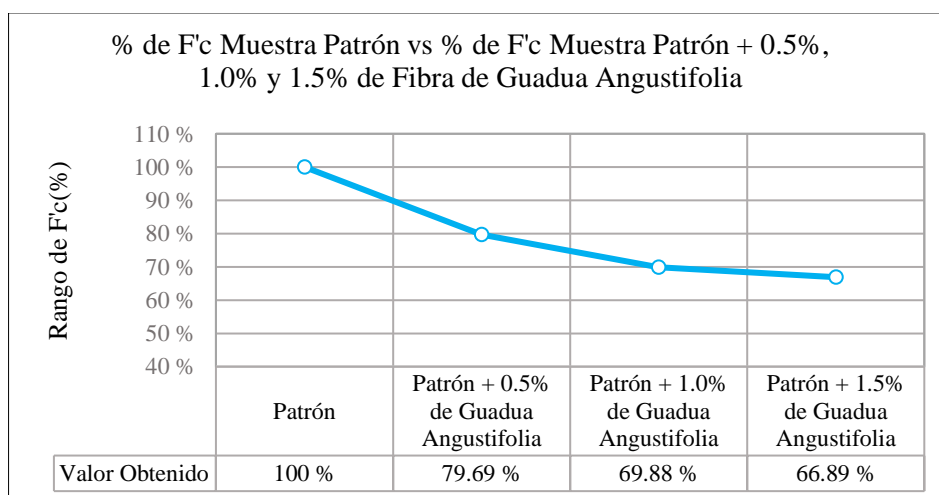
Tabla 63: Valores Porcentuales de Resistencia a Compresión Edad 28 Días.

% de Resistencia a Compresión de Especímenes de Concreto		
Muestra	Edad (Días)	$f'c$ Promedio (%)
Patrón	28	100.00 %
Patrón + 0.5% de Guadua Angustifolia	28	79.69 %
Patrón + 1.0% de Guadua Angustifolia	28	69.88 %
Patrón + 1.5% de Guadua Angustifolia	28	66.89 %

Fuente: Elaboración Propia.

Asimismo, analizaremos estos valores en la figura 41, es decir el comportamiento descendente de la línea, según los datos de la tabla 63.

Figura 41: Valor Adquirido de Resistencia a Compresión.



Fuente: Elaboración Propia.

4.5.5. Resumen General Promedio de Valores Adquiridos Durante los 3, 7, 14 Y 28 Días de Ensayo, Muestra Patrón vs Muestra Patrón + 0.5%, 1.0% y 1.5% de Fibras de Guadua Angustifolia.

En resumen, al igual que los datos expuestos precedentemente, es de suma importancia mostrar los valores obtenidos, es decir expresados la resistencia a compresión($f'c$), en kg/cm^2 y en términos de %, tanto en tabla y figura.

Tabla 64: *Resumen General de Resistencia a compresión Según Días de Ensayo.*

Resumen de Resistencia a Compresión de Especímenes de Concreto				
Muestra	Resistencia Promedio (kg/cm^2)			
	Edad			
	3 Días	7 Días	14 Días	28 Días
Patrón	246.7 kg/cm^2	329.1 kg/cm^2	406.7 kg/cm^2	463.9 kg/cm^2
Patrón + 0.5% de Guadua Angustifolia	162.1 kg/cm^2	282.9 kg/cm^2	380 kg/cm^2	369.7 kg/cm^2
Patrón + 1.0% de Guadua Angustifolia	143.4 kg/cm^2	252.5 kg/cm^2	317.3 kg/cm^2	324.2 kg/cm^2
Patrón + 1.5% de Guadua Angustifolia	149.3 kg/cm^2	236.7 kg/cm^2	253.5 kg/cm^2	310.3 kg/cm^2

Fuente: Elaboración Propia.

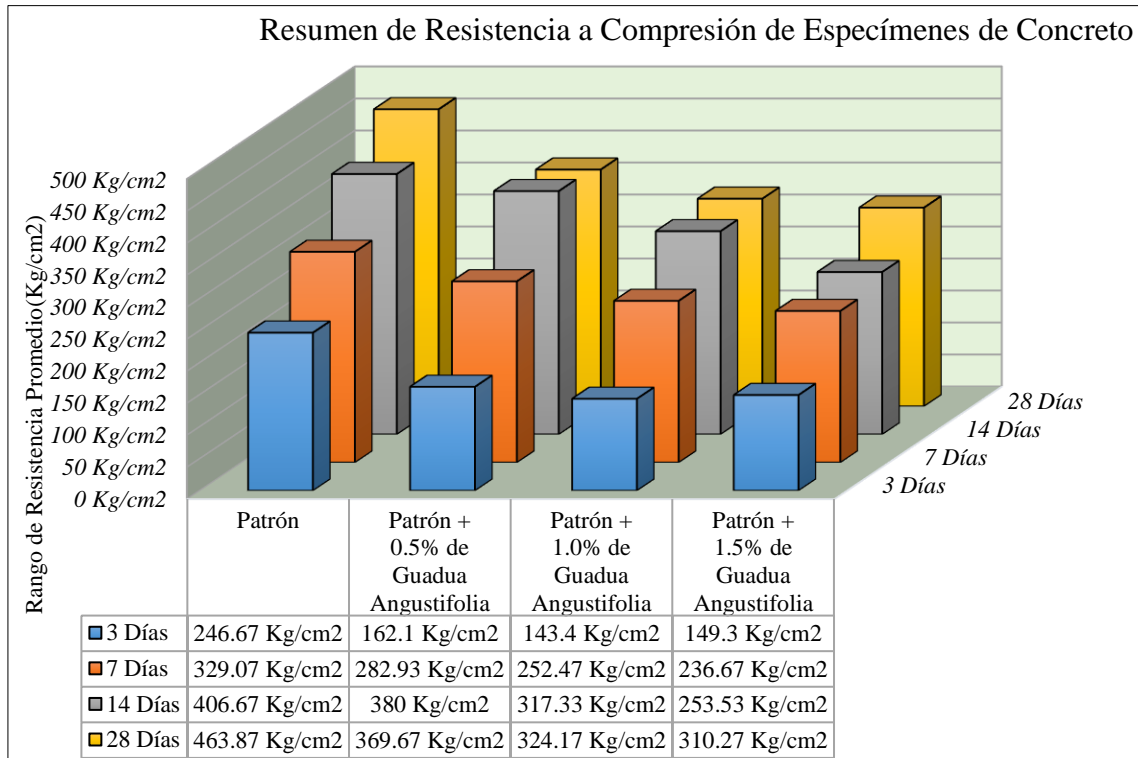
Según la tabla 64 podemos apreciar que la muestra patrón presenta la mayor resistencia a compresión, logrando un $f'c=463.9kg/cm^2$, esto a los 28 días, frente al menor valor alcanzado por la muestra patrón con adición del 1.5% de fibra de guadua angustifolia logrando un $f'c=310.3kg/cm^2$, esto también adoptado a los 28 días, las cuales ambas han sido diseñadas para un $f'c=210kg/cm^2$. Pero sin embargo podemos mencionar que también la muestra patrón con adición del 1.5% de fibra también supera la resistencia a compresión a la que fue diseñada.

Por otro lado, se tiene los valores alcanzados a la edad de 3 días de ensayo, las cuales tuvieron los siguientes valores: Muestra patrón con un $f'c=246.7kg/cm^2$, frente al menor valor alcanzado por la muestra patrón

con adición del 1.0% que presentó un $f'c=143.4\text{kg/cm}^2$, es decir la cual es inferior en su comportamiento con respecto a los demás especímenes.

Figura 42: Resumen General de valores de Resistencia a Compresión a Diferentes

Edades.



Fuente: Elaboración Propia.

En la figura anterior se puede apreciar claramente la evolución de resultados de los diferentes especímenes de concreto, es decir el comportamiento ascendente de la resistencia a compresión, debido al cambio de edades que han sido ensayadas.

También es oportuno evaluar los valores anteriores en términos de %, la cual estará detallada en la tabla 65, ya que así nos permitirá tener mayor conocimiento del incremento de resistencia que ha adquirido cada espécimen.

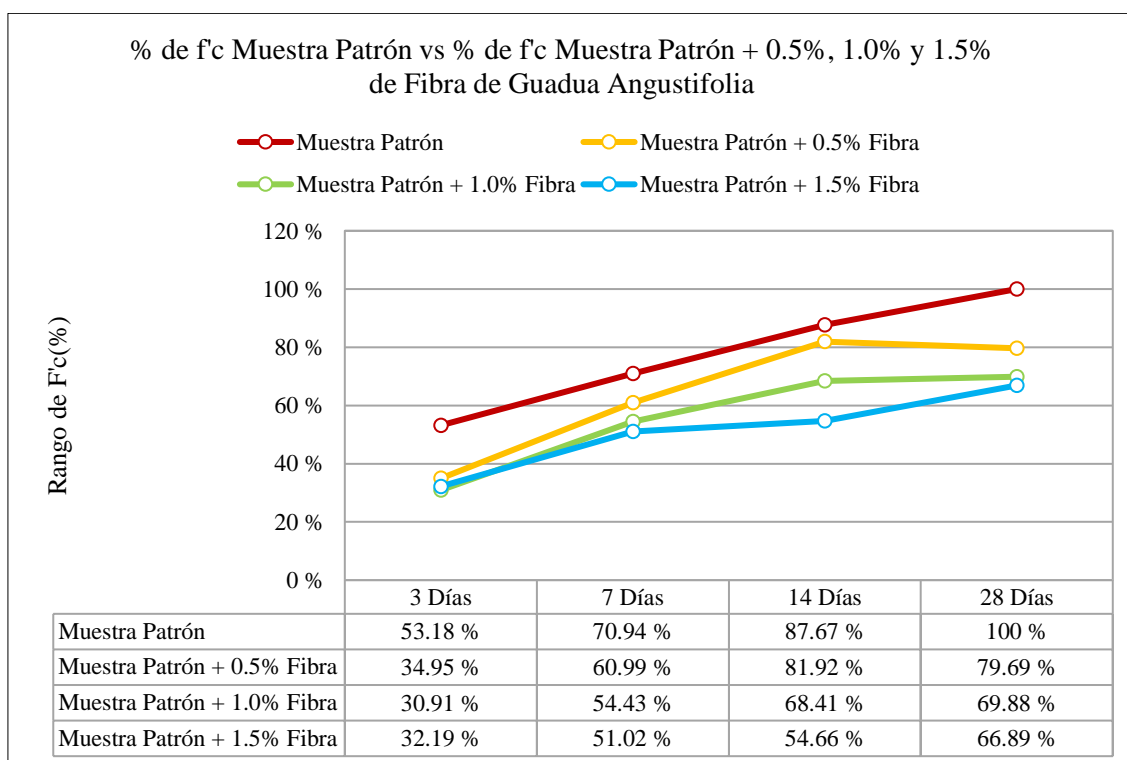
Tabla 65: Resumen General de Resistencia a compresión Según Días de Ensayo $f'c(\%)$.

Resumen de Resistencia a Compresión de Especímenes de Concreto				
Muestra	Resistencia Promedio (%)			
	Edad			
	3 Días	7 Días	14 Días	28 Días
Patrón	53.18 %	70.94 %	87.67 %	100 %
Patrón + 0.5% de Guadua Angustifolia	34.95 %	60.99 %	81.92 %	79.69 %
Patrón + 1.0% de Guadua Angustifolia	30.91 %	54.43 %	68.41 %	69.88 %
Patrón + 1.5% de Guadua Angustifolia	32.19 %	51.02 %	54.66 %	66.89 %

Fuente: Elaboración Propia.

Además, según la tabla 65 se puede definir, el valor mayor adquirido respecto a la resistencia a compresión $f'c$ (%), que fue a los 28 días ocupada por la muestra patrón mostrando un $f'c=100\%$, frente al menor valor menor alcanzado por la muestra patrón con adición del 1.0% de fibra de guadua angustifolia logrando un $f'c=66.89\%$, es decir presentando un valor inferior de 33.11% con respecto a la resistencia final.

Figura 43: Resumen General de Resistencia a Compresión $f'c(\%)$ a Diferentes Edades.



Fuente: Elaboración Propia.

En la figura anterior se puede observar el comportamiento de cada espécimen de concreto, es decir de la muestra patrón, así como el de la muestra patrón con adición del 0.5%, 1.0% y 1.5% de fibra de guadua angustifolia, así logrando identificar el mayor valor alcanzado por la muestra patrón que presenta un $f^c=100\%$, logrando superar a las demás. Asimismo, lográndose identificar el menor valor adquirido por la muestra patrón con adición del 1.0% obteniendo un $f^c=66.89\%$, ambas ensayadas a la edad de 28 días.

4.6. Análisis de Resultados de Ensayo a Flexotracción (Módulo de Rotura).

Este ensayo consiste en determinar la deformación producida respecto a una fuerza o carga actuante sobre la viga ensayada, esto debido a que principalmente la losa de concreto trabaja a flexión, es decir consiste en elaborar un espécimen de concreto con forma cúbica rectangular, la cual será ensayada a los 28 días después de la fecha de vaciado.

Por otra parte, este ensayo es expresada como el módulo de rotura, así como también tiene que ceñirse al método de ensayo del ASTM C 78, es decir cargada en los puntos tercios del espécimen de concreto.

Para el análisis de resultados de este tipo de ensayo se emplearán tablas y figuras que ayudarán apreciar el comportamiento del espécimen ensayado a la edad de 28 días, según como la norma lo indica.

Por consiguiente, se presentarán los resultados del ensayo a flexotracción, en los siguientes ítems.

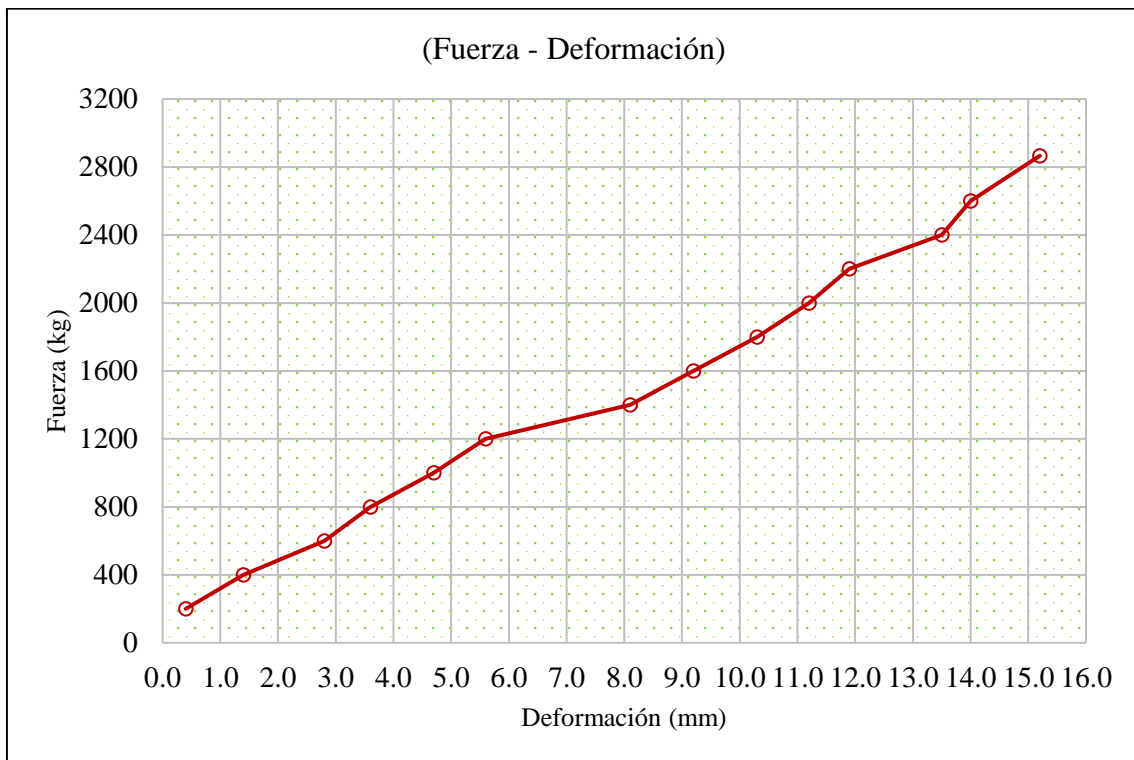
**4.6.1. Datos de Resistencia a Flexión del Concreto Endurecido ASTM C78,
de la Viga Patrón, Ensayada a los 28 Días.**

Tabla 66: *Datos Obtenidos de Resistencia a Flexión a la Edad de 28 Días.*

Fuerza (kg)	Deformación (mm)
200	0.40
400	1.40
600	2.80
800	3.60
1000	4.70
1200	5.60
1400	8.10
1600	9.20
1800	10.30
2000	11.20
2200	11.90
2400	13.50
2600	14.00
2866	15.20

Fuente: Elaboración Propia.

Figura 44: *Fuerza vs Deformación de Ensayo a Flexión.*



Fuente: Elaboración Propia.

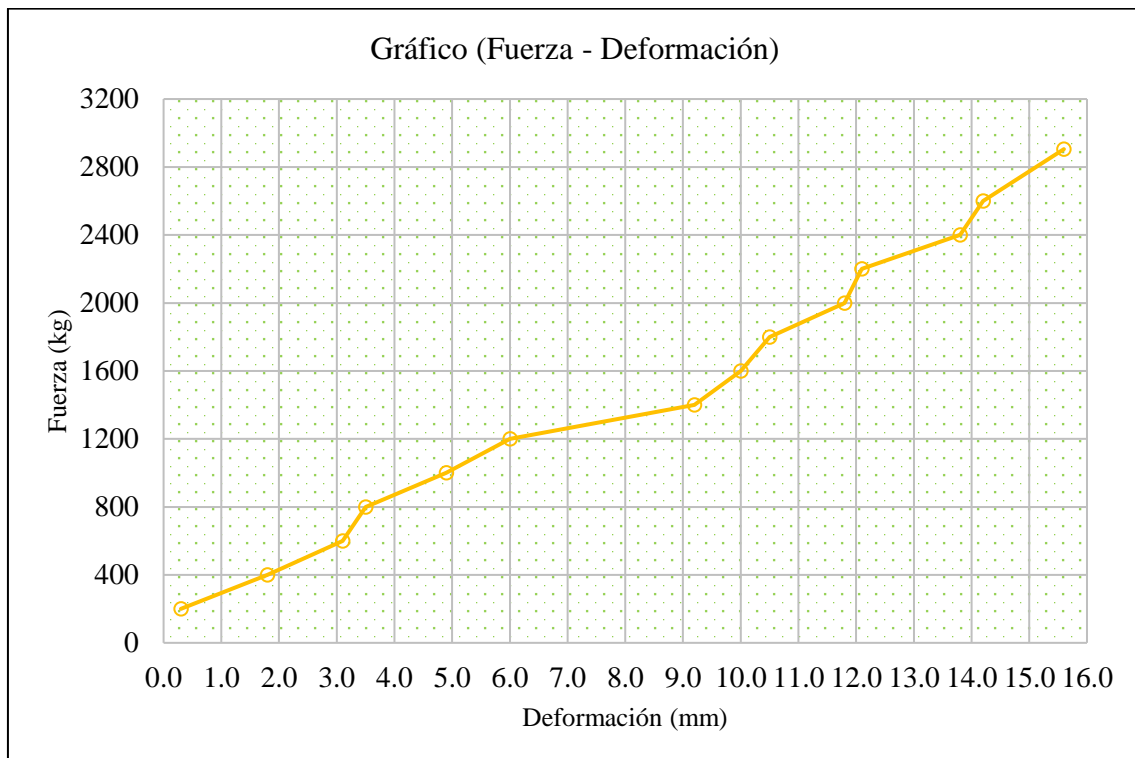
**4.6.2. Datos de Resistencia a Flexión del Concreto Endurecido ASTM C78,
de la Viga Patrón + 0.5% Fibra, Ensayada a los 28 Días.**

Tabla 67: Datos Obtenidos de Resistencia a Flexión a la Edad de 28 Días.

Fuerza (kg)	Deformación (mm)
200	0.30
400	1.80
600	3.10
800	3.50
1000	4.90
1200	6.00
1400	9.20
1600	10.00
1800	10.50
2000	11.80
2200	12.10
2400	13.80
2600	14.20
2905	15.60

Fuente: Elaboración Propia.

Figura 45: Fuerza vs Deformación de Ensayo a Flexión.



Fuente: Elaboración Propia.

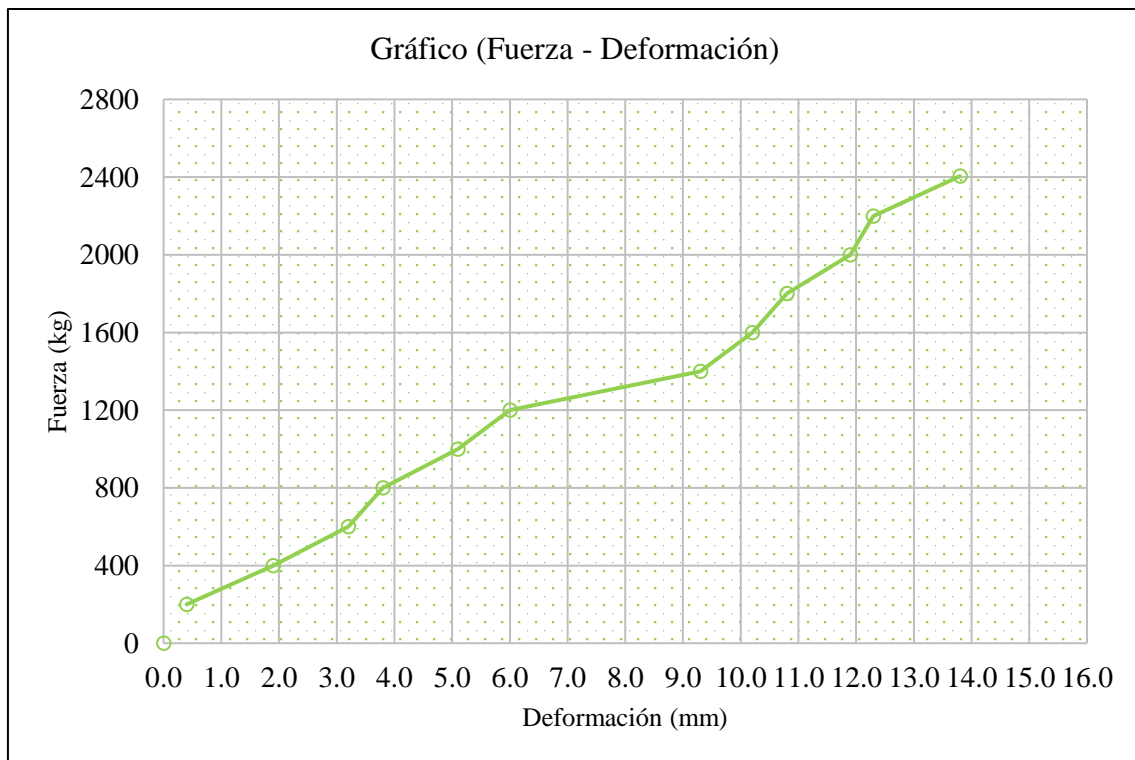
**4.6.3. Datos de Resistencia a Flexión del Concreto Endurecido ASTM C78,
de la Viga Patrón + 1.0% Fibra, Ensayada a los 28 Días.**

Tabla 68: *Datos Obtenidos de Resistencia a Flexión a la Edad de 28 Días.*

Fuerza (kg)	Deformación (mm)
200	0.40
400	1.90
600	3.20
800	3.80
1000	5.10
1200	6.00
1400	9.30
1600	10.20
1800	10.80
2000	11.90
2200	12.30
2405	13.80

Fuente: Elaboración Propia.

Figura 46: *Fuerza vs Deformación de Ensayo a Flexión.*



Fuente: Elaboración Propia.

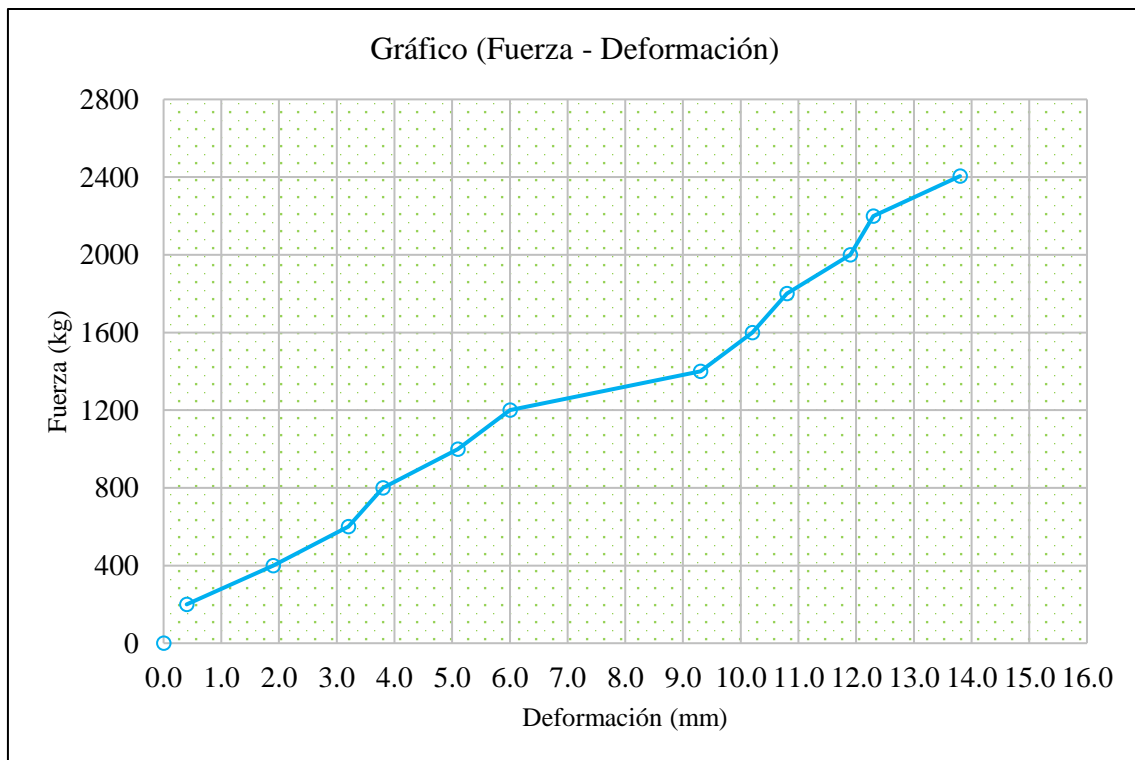
**4.6.4. Datos de Resistencia a Flexión del Concreto Endurecido ASTM C78,
de la Viga Patrón + 1.5% Fibra, Ensayada a los 28 Días.**

Tabla 69: Datos Obtenidos de Resistencia a Flexión a la Edad de 28 Días.

Fuerza (kg)	Deformación (mm)
200	0.70
400	2.40
600	4.80
800	6.30
1000	6.80
1200	8.00
1400	9.10
1600	10.00
1800	11.20
2086	12.10

Fuente: Elaboración Propia.

Figura 47: Fuerza vs Deformación de Ensayo a Flexión.



Fuente: Elaboración Propia.

4.6.5. Resumen Comparativo de Datos de Resistencia a Flexión del Concreto Endurecido ASTM C78, de la Viga Patrón vs Viga Patrón + 0.5%, 1.0% y 1.5% de Fibra, Ensayada a los 28 Días.

En este ítem se detallarán el resumen general de los resultados obtenidos correspondientes a la Resistencia a Flexión, las cuales se podrán apreciar en la tabla 70 y figura 48.

Tabla 70: *Resumen de Datos Obtenidos - Resistencia a Flexión.*

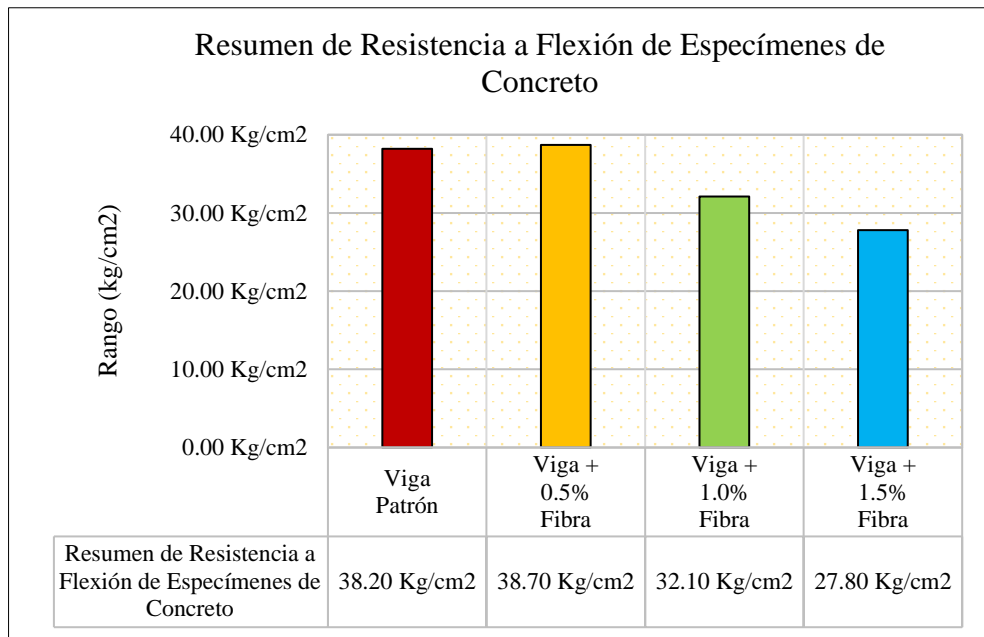
Resumen de Resistencia a Flexión de Especímenes de Concreto						
Identificación	Fecha de Vaciado	Fecha de Rotura	Edad (Día)	Ubicación de Falla	Luz Libre (cm)	Módulo de Rotura
Viga Patrón	08/09/2021	06/10/2021	28	Dentro del Tercio Medio	45.00	38.20 kg/cm ²
Viga + 0.5% Fibra	08/09/2021	06/10/2021	28	Dentro del Tercio Medio	45.00	38.70 kg/cm ²
Viga + 1.0% Fibra	08/09/2021	06/10/2021	28	Dentro del Tercio Medio	45.00	32.10 kg/cm ²
Viga + 1.5% Fibra	08/09/2021	06/10/2021	28	Dentro del Tercio Medio	45.00	27.80 kg/cm ²

Fuente: Elaboración Propia.

Según la tabla 70, se puede definir que la resistencia a Flexión (Módulo de Rotura) alcanzada y ensayada a los 28 días tiene la siguiente prelación: la viga patrón ha adquirido como módulo de rotura equivalente a 38.20kg/cm², la viga patrón + 0.5% ha logrado como módulo de rotura 38.70kg/cm², seguido por la viga patrón + 1.0% ha adquirido un módulo de rotura de 32.10kg/cm² y finalmente por la viga patrón + 1.5% que ha logrado un módulo de rotura correspondiente a 27.80kg/cm².

Asimismo, estos valores adoptados de los especímenes de concreto se podrán apreciar gráficamente para así observar el comportamiento lineal, de cual ha adoptado el mejor valor, frente a la otra de menor valor.

Figura 48: Fuerza vs Deformación de Ensayo a Flexión.



Fuente: Elaboración Propia.

Mediante la figura 48, podemos apreciar los valores adquiridos por los especímenes de concreto y mencionar que la viga patrón + 0.5% de fibra de guadua angustifolia adquiere el mayor valor que es equivalente a 38.70kg/cm², frente a la viga patrón + 1.5% de fibra de guadua angustifolia que alcanza un valor de 27.80kg/cm², es decir un 28.17% menor al espécimen antes descrito.

4.6.6. Comparativo de Datos de Resistencia a Flexión del Concreto Endurecido ASTM C78, de la Viga Patrón vs Viga Patrón + 0.5%, 1.0% y 1.5% de Fibra, Ensayada a los 28 Días, Expresados en %.

Al igual que el ítem 4.6.5, en este ítem también se pretenden plantear estos datos, pero si en términos porcentuales para facilitar el entendimiento que también han sido ensayadas a la edad de 28 días.

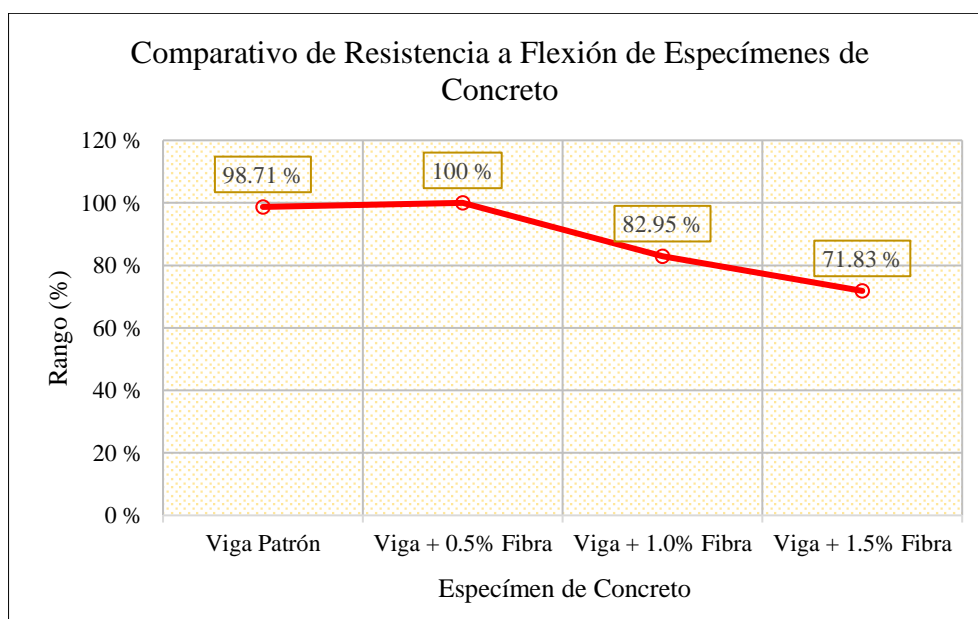
Tabla 71: Comparativo de Resultados de Resistencia a Flexión (%).

Resumen de Resistencia a Flexión de Especímenes de Concreto						
Identificación	Fecha de Vaciado	Fecha de Rotura	Edad (Día)	Ubicación de Falla	Luz Libre (cm)	Módulo de Rotura
Viga Patrón	08/09/2021	06/10/2021	28	Dentro del Tercio Medio	45.00	98.71%
Viga + 0.5% Fibra	08/09/2021	06/10/2021	28	Dentro del Tercio Medio	45.00	100.00%
Viga + 1.0% Fibra	08/09/2021	06/10/2021	28	Dentro del Tercio Medio	45.00	82.95%
Viga + 1.5% Fibra	08/09/2021	06/10/2021	28	Dentro del Tercio Medio	45.00	71.83%

Fuente: Elaboración Propia.

En la tabla 71 se puede apreciar quien posee la mayor resistencia a flexión (Módulo de rotura) es la viga patrón + 0.5% de fibra de guadua angustifolia, logrando alcanzar el 100%, mientras que la viga patrón + 1.5% adquiere el menor valor equivalente a 71.83%.

Figura 49: Fuerza vs Deformación de Ensayo a Flexión.



Fuente: Elaboración Propia.

En la figura 49 se puede apreciar el comportamiento lineal adquirido, por cada espécimen de concreto, por lo que podemos mencionar que la viga patrón + 0.5% de fibra posee el mejor resultado a este tipo de ensayo.

4.7. Análisis de Resultados de Módulo de Elasticidad.

Este análisis tiene el propósito de determinar un parámetro que generalmente nos sirven para el dimensionamiento de estructuras de índole que conciernen a estructuras de concreto armado (Manual de carreteras: suelos, geología, geotecnia y pavimentos, 2014, p. 269).

Asimismo, estos resultados se pueden predecir con los resultados de resistencia a compresión y resistencia a flexotracción, tal como el manual de carreteras lo indica. Para lo cual en este ítem se detallará los resultados concernientes a los resultados de módulo de elasticidad del concreto.

4.7.1. Resultados de Módulo de Elasticidad de la Muestra Patrón a las Edades de 3, 7, 14 y 28 Días.

El análisis del módulo de elasticidad tiene como base los resultados de la resistencia a compresión del concreto, las cuales han sido un parámetro importante para su empleo en el cálculo de la tabla 72.

Tabla 72: *Módulo de Elasticidad de Concreto Muestra Patrón.*

Módulo de Elasticidad del Concreto			
Estructura de Procedencia: Probetas de Concreto Cilíndricas			
Muestra	Edad (día)	Resistencia de Espécimen Promedio (kg/cm ²)	Módulo de Elasticidad del Concreto (kg/cm ²)
Z1, Z2, Z3	3	246.67 kg/cm ²	235585.97 kg/cm ²
Z4, Z5, Z6	7	329.07 kg/cm ²	272104.3 kg/cm ²
Z7, Z8, Z9	14	406.67 kg/cm ²	302490.91 kg/cm ²
Z10, Z11, Z12	28	463.87 kg/cm ²	323064.62 kg/cm ²

Fuente: Elaboración Propia.

Mediante la tabla 72, podemos apreciar que para un $f'c=246.67\text{kg/cm}^2$ se obtiene un Módulo de elasticidad equivalente a 235585.97kg/cm^2 , esto adquirido a los 3 días de ensayo, seguido por un $f'c=329.07\text{kg/cm}^2$ que

se obtiene un módulo de elasticidad de 272104.30kg/cm², esto a los 7 días de ensayo, en tercer lugar, para un $f'c=406.67\text{kg/cm}^2$ se tiene como módulo de elasticidad 302490.91kg/cm², esto alcanzado a los 14 días de ensayo y finalmente para un $f'c=463.87\text{kg/cm}^2$, se obtiene como resultado un módulo de elasticidad de 323064.62kg/cm².

4.7.2. Resultados de Módulo de Elasticidad de la Muestra Patrón + 0.5% de Fibra de Guadua Angustifolia a las Edades de 3, 7, 14 y 28 Días.

El análisis del módulo de elasticidad tiene como base los resultados de la resistencia a compresión del concreto, las cuales han sido un parámetro importante para su empleo en el cálculo de la tabla 73.

Tabla 73: *Módulo de Elasticidad de Concreto Muestra Patrón + 0.5% Fibra.*

Módulo de Elasticidad del Concreto			
Estructura de Procedencia: Probetas de Concreto Cilíndricas con Adición del 0.5% de Fibra de Guadua Angustifolia			
Muestra	Edad (día)	Resistencia de Espécimen Promedio (kg/cm ²)	Módulo de Elasticidad del Concreto (kg/cm ²)
G1, G2, G3	3	162.10 kg/cm ²	190977.75 kg/cm ²
G4, G5, G6	7	282.93 kg/cm ²	252307.85 kg/cm ²
G7, G8, G9	14	380.00 kg/cm ²	292403.83 kg/cm ²
G10, G11, G12	28	369.67 kg/cm ²	288402.06 kg/cm ²

Fuente: Elaboración Propia.

Mediante la tabla 73, podemos apreciar que para un $f'c=162.10\text{kg/cm}^2$ se obtiene un Módulo de elasticidad equivalente a 190977.75kg/cm², esto adquirido a los 3 días de ensayo, seguido por un $f'c=282.93\text{kg/cm}^2$ que se obtiene un módulo de elasticidad de 252307.85kg/cm², esto a los 7 días de ensayo, en tercer lugar, para un $f'c=380.00\text{kg/cm}^2$ se tiene como módulo de elasticidad 292403.83kg/cm², esto alcanzado a los 14 días de

ensayo y finalmente para un $f'c=369.67\text{kg/cm}^2$, se obtiene como resultado un módulo de elasticidad de 288402.06kg/cm^2 .

4.7.3. Resultados de Módulo de Elasticidad de la Muestra Patrón + 1.0% de Fibra de Guadua Angustifolia a las Edades de 3, 7, 14 y 28 Días.

El análisis del módulo de elasticidad tiene como base los resultados de la resistencia a compresión del concreto, las cuales han sido un parámetro importante para su empleo en el cálculo de la tabla 74.

Tabla 74: *Módulo de Elasticidad de Concreto Muestra Patrón + 1.0% Fibra.*

Módulo de Elasticidad del Concreto			
Estructura de Procedencia: Probetas de Concreto Cilíndricas con Adición del 1.0% de Fibra de Guadua Angustifolia			
Muestra	Edad (día)	Resistencia de Espécimen Promedio (kg/cm ²)	Módulo de Elasticidad del Concreto (kg/cm ²)
Z1, Z2, Z3	3	143.40 kg/cm ²	179624.61 kg/cm ²
Z4, Z5, Z6	7	252.47 kg/cm ²	238339.57 kg/cm ²
Z7, Z8, Z9	14	317.33 kg/cm ²	267206.38 kg/cm ²
Z10, Z11, Z12	28	324.17 kg/cm ²	270070.82 kg/cm ²

Fuente: Elaboración Propia.

Mediante la tabla 74, podemos apreciar que para un $f'c=143.40\text{kg/cm}^2$ se obtiene un Módulo de elasticidad equivalente a 179624.61kg/cm^2 , esto adquirido a los 3 días de ensayo, seguido por un $f'c=252.47\text{kg/cm}^2$ que se obtiene un módulo de elasticidad de 238339.57kg/cm^2 , esto a los 7 días de ensayo, en tercer lugar, para un $f'c=317.33\text{kg/cm}^2$ se tiene como módulo de elasticidad 267206.38kg/cm^2 , esto alcanzado a los 14 días de ensayo y finalmente para un $f'c=324.17\text{kg/cm}^2$, se obtiene como resultado un módulo de elasticidad de 270070.82kg/cm^2 .

4.7.4. Resultados de Módulo de Elasticidad de la Muestra Patrón + 1.5% de Fibra de Guadua Angustifolia a las Edades de 3, 7, 14 y 28 Días.

El análisis del módulo de elasticidad tiene como base los resultados de la resistencia a compresión del concreto, las cuales han sido un parámetro importante para su empleo en el cálculo de la tabla 75.

Tabla 75: *Módulo de Elasticidad de Concreto Muestra Patrón + 1.5% Fibra.*

Módulo de Elasticidad del Concreto			
Estructura de Procedencia: Probetas de Concreto Cilíndricas con Adición del 1.5% de Fibra de Guadua Angustifolia			
Muestra	Edad (día)	Resistencia de Espécimen Promedio (kg/cm ²)	Módulo de Elasticidad del Concreto (kg/cm ²)
PP1, PP2, PP3	3	149.30 kg/cm ²	183282.57 kg/cm ²
PP4, PP5, PP6	7	236.67 kg/cm ²	230761.24 kg/cm ²
PP7, PP8, PP9	14	253.53 kg/cm ²	238839.38 kg/cm ²
PP10, PP11, PP12	28	310.27 kg/cm ²	264217.24 kg/cm ²

Fuente: Elaboración Propia.

Mediante la tabla 75, podemos apreciar que para un $f'c=149.30\text{kg/cm}^2$ se obtiene un Módulo de elasticidad equivalente a 183282.57kg/cm^2 , esto adquirido a los 3 días de ensayo, seguido por un $f'c=236.67\text{kg/cm}^2$ que se obtiene un módulo de elasticidad de 230761.24kg/cm^2 , esto a los 7 días de ensayo, en tercer lugar, para un $f'c=253.53\text{kg/cm}^2$ se tiene como módulo de elasticidad 238839.38kg/cm^2 , esto alcanzado a los 14 días de ensayo y finalmente para un $f'c=310.27\text{kg/cm}^2$, se obtiene como resultado un módulo de elasticidad de 264217.24kg/cm^2 .

4.7.5. Resumen Comparativo de Módulo de Elasticidad de la Muestra Patrón vs Muestra Patrón + 0%, 0.5%, 1.0% y 1.5% de Fibra de Guadua Angustifolia a las Edades de 3, 7, 14 y 28 Días.

En este ítem se detallarán el resumen general de los diferentes resultados obtenidos respecto al módulo de elasticidad, las cuales han sido tomadas como base fundamental la resistencia a compresión para su cálculo.

Además, cabe mencionar que estos datos estarán detallados en función a los 3, 7, 14 y 28 días de ensayo de los especímenes de concreto.

Por otro lado, los análisis de estos resultados nos ayudarán a tener una mejor perspectiva sobre el comportamiento del módulo de elasticidad del concreto, así como con la adición en diferentes porcentajes de fibras, que anteriormente en esta investigación ya han sido mencionados, para lo cual estas serán detalladas en la tabla 76 y en la figura 50.

Tabla 76: *Resumen de Datos de Módulo de Elasticidad del Concreto.*

Resumen de Módulo de Elasticidad de Especímenes de Concreto				
Muestra	Módulo de Elasticidad (kg/cm ²)			
	Edad			
	3 Días	7 Días	14 Días	28 Días
Patrón	235585.97 kg/cm ²	272104.30 kg/cm ²	302490.91 kg/cm ²	323064.62 kg/cm ²
Patrón + 0.5% Fibra	190977.75 kg/cm ²	252307.85 kg/cm ²	292403.83 kg/cm ²	288402.06 kg/cm ²
Patrón + 1.0% Fibra	179624.61 kg/cm ²	238339.57 kg/cm ²	267206.38 kg/cm ²	270070.82 kg/cm ²
Patrón + 1.5% Fibra	183282.57 kg/cm ²	230761.24 kg/cm ²	238839.38 kg/cm ²	264217.24 kg/cm ²

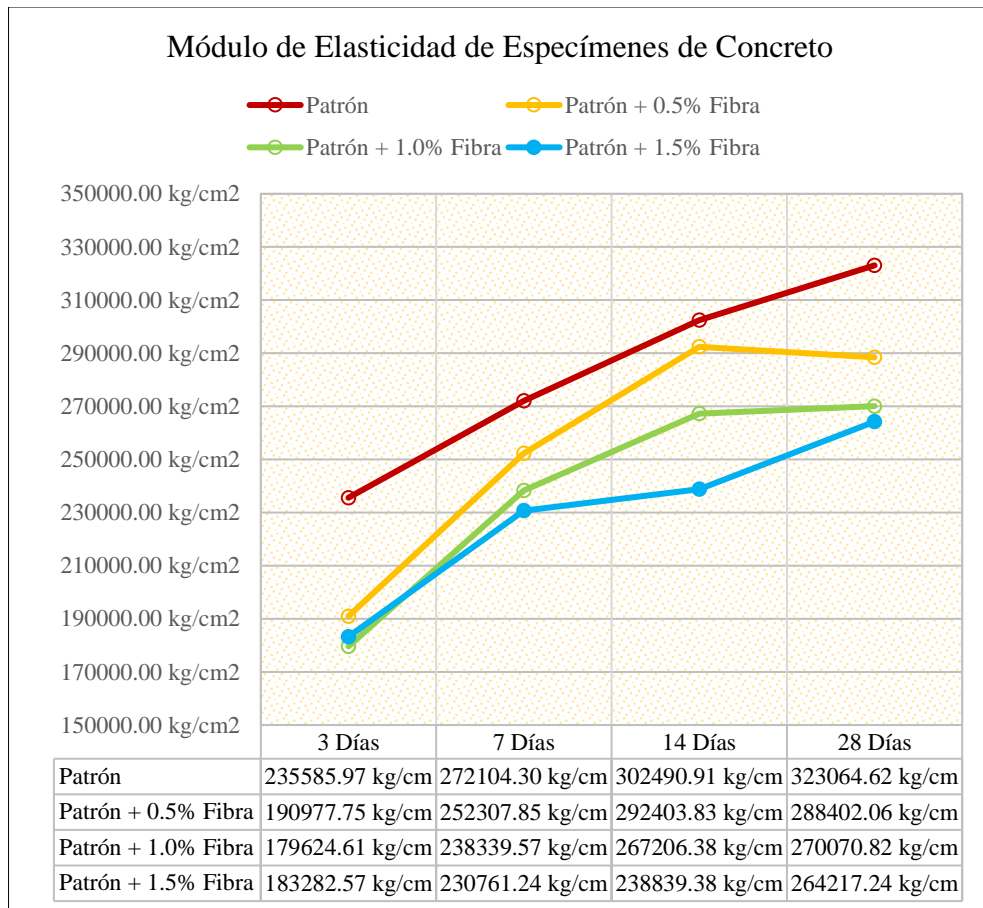
Fuente: Elaboración Propia.

Según la tabla 76, se puede definir que el mayor valor alcanzado correspondiente al módulo de elasticidad es a los 28 días, la cual es ocupada por la muestra patrón logrando un módulo de elasticidad de 323064.62kg/cm², mientras que el menor valor alcanzado fue por la muestra patrón + 1.5% de fibra de guadua angustifolia, logrando obtenerse un módulo de elasticidad equivalente a 264217.24kg/cm², la cual es inferior a los demás especímenes de concreto.

De la misma forma que la tabla 76, ahora se planteará en un gráfico el comportamiento lineal de cada espécimen de concreto debido al paso del

tiempo, esto con respecto a la resistencia a compresión, la cual fue la clave fundamental para el cálculo del módulo de elasticidad del concreto.

Figura 50: *Comparativo de Módulo de Elasticidad del concreto.*



Fuente: Elaboración Propia.

Mediante la figura 50, podemos ver la jerarquía de la línea de cada espécimen de concreto, lográndose apreciar que el que posee el mejor valor de módulo de elasticidad es la viga patrón, mientras la que no tiene mucha ascendencia es la muestra patrón + 1.5% de fibra, las cuales están sujetas a ser directamente proporcional a la resistencia a compresión del concreto, es decir si la resistencia a compresión sea mayor, entonces el módulo de elasticidad aumentará su valor y/o viceversa.

4.8. Contrastación de Hipótesis.

Hipótesis Específica 01:

H1: Al aplicar las fibras de guadua angustifolia se incrementa la resistencia a compresión del concreto.

H0: Al aplicar las fibras de guadua angustifolia no se incrementa la resistencia a compresión del concreto.

Prueba de normalidad:

	Adición de Guadua	Kolmogorov-Smirnov ^b			Shapiro-Wilk		
		Estadístico	gl	Sig.	Estadístico	gl	Sig.
Compresión a los 28 días	ADICION DE GUA DUA	,299	3	.	,914	3	,431

a. Compresión a los 28 días es constante cuando Adición de Guadua = MUESTRA PATRON. Se ha omitido.

b. Corrección de significación de Lilliefors

$P \text{ valor} = 0,431 > \alpha = 0,05 \implies$ La distribución es normal.

Prueba T Student:

	Adición de Guadua	N	Media	Desv. Desviación	Desv. Error promedio
Compresión a los 28 días	MUESTRA PATRON	1	463,8700	.	.
	ADICION DE GUA DUA	3	334,7033	31,06933	17,93789

		Prueba de Levene de igualdad de varianzas		prueba t para la igualdad de medias						
		F	Sig.	t	gl	Sig. (bilateral)	Diferencia de medias	Diferencia de error estándar	95% de intervalo de confianza de la diferencia	
									Inferior	Superior
Compresión a los 28 días	Se asumen varianzas iguales	.	.	3,600	2	,069	129,16667	35,87577	-25,19433	283,52766
	No se asumen varianzas iguales	129,16667	.	.	.

$0,069 > 0,05 \implies$ Si la probabilidad obtenida $P \text{ valor} > \alpha$, se acepta H0.

Hipótesis Específica 02:

H1: Aplicando las fibras de guadua angustifolia se incrementa la resistencia a flexotracción del concreto.

H0: Aplicando las fibras de guadua angustifolia no se incrementa la resistencia a flexotracción del concreto.

Prueba de normalidad:

Pruebas de normalidad^a

	Adición de Guadua	Kolmogorov-Smirnov ^b			Shapiro-Wilk		
		Estadístico	gl	Sig.	Estadístico	gl	Sig.
Modulo de rotura a los 28 días	ADICION DE GUA DUA	,222	3	.	,985	3	,768

a. Modulo de rotura a los 28 días es constante cuando Adición de Guadua = MUESTRA PATRON. Se ha omitido.

b. Corrección de significación de Lilliefors

P valor = 0,768 > $\alpha = 0,05$ =====> La distribución es normal.

Prueba T Student:

Prueba de muestras independientes

		Prueba de Levene de igualdad de varianzas		prueba t para la igualdad de medias						
		F	Sig.	t	gl	Sig. (bilateral)	Diferencia de medias	Diferencia de error estándar	95% de intervalo de confianza de la diferencia	
									Inferior	Superior
Modulo de rotura a los 28 días	Se asumen varianzas iguales	.	.	,841	2	,489	5,33333	6,33965	-21,94396	32,61063
	No se asumen varianzas iguales						5,33333			

0,489 > 0,05 =====> Si la probabilidad obtenida P valor > α , se acepta H0.

Hipótesis Específica 03:

H1: La utilización de fibras de guadua angustifolia mejora el módulo de elasticidad del concreto.

H0: La utilización de fibras de guadua angustifolia no mejora el módulo de elasticidad del concreto.

Prueba de normalidad:

Pruebas de normalidad^a

	Adición de Guadua	Kolmogorov-Smirnov ^b			Shapiro-Wilk		
		Estadístico	gl	Sig.	Estadístico	gl	Sig.
Modulo de elasticidad a los 28 días	ADICION DE GUA DUA	,296	3	.	,919	3	,447

a. Modulo de elasticidad a los 28 días es constante cuando Adición de Guadua = MUESTRA PATRON. Se ha omitido.

b. Corrección de significación de Lilliefors

P valor = 0,447 > $\alpha = 0,05$ =====> La distribución es normal

Prueba T Student:

Prueba de muestras independientes

		Prueba de Levene de igualdad de varianzas		prueba t para la igualdad de medias						
		F	Sig.	t	gl	Sig. (bilateral)	Diferencia de medias	Diferencia de error estándar	95% de intervalo de confianza de la diferencia	
									Inferior	Superior
Modulo de elasticidad a los 28 días	Se asumen varianzas iguales	.	.	3,352	2	,079	48834,58000	14569,40689	-13852,51833	111521,6783
	No se asumen varianzas iguales	48834,58000	.	.	.

$0,079 > 0,05 \implies$ Si la probabilidad obtenida P valor $> \alpha$, se acepta H_0 .

CAPITULO V

DISCUSIÓN DE RESULTADOS

Hipótesis General: La aplicación de fibras de guadua angustifolia mejora las propiedades mecánicas del concreto para el diseño de pavimentos rígidos.

Según los resultados, se ha demostrado que la aplicación de fibras de guadua angustifolia reduce las propiedades mecánicas del concreto para el diseño de pavimentos rígidos, esto debido a que la resistencia a compresión y el módulo de elasticidad del concreto obtenida por la muestra patrón ha sido mayor que la muestra patrón con adición del 0.5%, 1.0% y 1.5% de fibra de guadua angustifolia.

Hipótesis específica: Al aplicar las fibras de guadua angustifolia se incrementa la resistencia a compresión del concreto.

Mediante los resultados obtenidos, se ha logrado observar que al aplicar las fibras de guadua angustifolia se reduce la resistencia a compresión del concreto, por lo que la hipótesis descrita en esta investigación queda demostrada debido a la contrastación de hipótesis, puesto a que la resistencia a compresión del concreto alcanzada por la muestra patrón posee un mejor comportamiento frente a la muestra patrón con adición de la fibra de guadua angustifolia, pero si la aplicación de esta fibra en un 0.5% mejora la resistencia a la que ha sido diseñada, logrando obtenerse un valor a $f'c=369.7\text{kg/cm}^2$.

Por ejemplo, en cuanto a la resistencia a compresión del concreto, las cuales han sido ensayadas a los 28 días, se ha logrado obtener un $f'c=463.9\text{kg/cm}^2$, esto correspondiente a la muestra patrón, la cual representa el 100% de la resistencia final, seguido por un $f'c=369.7\text{kg/cm}^2$, representada por la muestra patrón + 0.5% de fibra de guadua angustifolia, la que representa el 79.69% de la resistencia final, en tercer lugar, se ha obtenido un $f'c=324.2\text{kg/cm}^2$, representada por la muestra patrón + 1.0% de fibra de guadua angustifolia, la que representa el 69.88% de la resistencia final y finalmente se obtuvo un $f'c=310.3\text{kg/cm}^2$, correspondiente a la muestra patrón + 1.5% de fibra de guadua angustifolia, la que representa el 66.89% de la resistencia final. Así lográndose apreciar la descendencia de la resistencia a compresión del concreto.

Hipótesis específica: Aplicando las fibras de guadua angustifolia se incrementa la resistencia a flexotracción del concreto.

Según la hipótesis planteada, aplicando las fibras de guadua angustifolia se incrementa la resistencia a flexotracción del concreto, queda demostrado, debido a que la resistencia a flexotracción (Módulo de rotura) posee un mejor resultado respecto a la viga patrón.

Por ejemplo, la resistencia a flexotracción del concreto descritas en este párrafo son los resultados obtenidos, esto ensayadas a la edad de 28 días, la cual fue en el siguiente orden, se logró obtener un módulo de rotura de 38.70kg/cm^2 , identificado por la viga patrón + 0.5% de fibra de guadua angustifolia, la que representa el 100%, seguido por un módulo de rotura de 38.20kg/cm^2 , correspondiente a la viga patrón, la que representa el 98.71%, en tercer lugar se obtuvo un módulo de rotura de 32.10kg/cm^2 , representada por la viga patrón + 1.0% de fibra de guadua angustifolia, que representa el 82.95% y finalmente se tuvo un módulo de rotura de 27.80kg/cm^2 , representada por la viga patrón + 1.5% de fibra de guadua angustifolia, que posee el 71.83% de la resistencia final.

Hipótesis específica: La utilización de fibras de guadua angustifolia mejora el módulo de elasticidad del concreto.

Según la hipótesis planteada, la utilización de fibras de guadua angustifolia no mejora el módulo de elasticidad del concreto, es demostrable por la contrastación de hipótesis, debido a que este parámetro es directamente proporcional a la resistencia a compresión del concreto, lográndose los siguientes resultados, esto a su vez evaluada los 28 días, por lo que la muestra patrón alcanzó un módulo de elasticidad de 323064.62kg/cm², seguido por la muestra patrón + 0.5% de fibra de guadua angustifolia que obtuvo un módulo de elasticidad de 288402.06kg/cm², en tercer lugar por la muestra patrón + 1.0% de fibra de guadua angustifolia logrando un módulo de elasticidad equivalente a 270070.82kg/cm², y finalmente por la muestra patrón + 1.5% de fibra de guadua angustifolia, que tuvo como módulo de elasticidad de 264217.24kg/cm², quedando demostrado la hipótesis según los resultados formulados en este párrafo.

De acuerdo a Daniel Fernando Vigoya (2019), en el estudio de su investigación “Estudio de la Resistencia mecánica del concreto reforzado con fibras de Guadua Angustifolia Kunt”, indica que la guadua angustifolia kunt, mejoró la resistencia a compresión del concreto a los 28 días en comparación con el concreto estándar en un 113.4%, sin embargo, en la presente investigación se ha logrado un decremento del 20.31% con respecto a la resistencia final, adoptada por la muestra patrón con adición del 0.5% de fibra de guadua angustifolia, seguido por un decremento de 30.12% respecto a la resistencia final, adoptada por la muestra patrón con adición del 1.0% de fibra de guadua angustifolia, y finalmente lográndose un decremento del 33.11% respecto a la resistencia final, adoptada por la muestra patrón + 1.5% de fibra de guadua angustifolia,

esto probablemente a que en esta investigación se haya usado fibras de menor tamaño, en comparación con lo de Fernando Vigoya que se ha usado tablillas acanaladas.

De acuerdo a Camilo Ernesto Conde Sepúlveda y Nilson Ricardo Bonilla Vargas (2019), en el estudio de su investigación “Evaluación del comportamiento físico-mecánico de un concreto hidráulico con adición de fibras de guadua angustifolia kunt”, indica que la adición en diferentes cantidades de fibras de guadua angustifolia kunt refleja la notoria reducción de resistencia a la flexión en los especímenes ensayados, sin embargo en la presente investigación se ha logrado incrementar la resistencia a flexión en 1.29%, esto adoptada por la viga patrón con adición del 0.5% de fibra de guadua angustifolia, respecto a la viga patrón ambas ensayadas a la edad de 28 días, esto debido a que se han usado fibras de las siguientes dimensiones 2mm x 2mm x 5cm.

CONCLUSIONES

1. Al analizarse, se concluyó que la aplicación de las fibras de guadua angustifolia reduce las propiedades mecánicas del concreto, tal como es la resistencia a compresión y el módulo de elasticidad, debido a que son directamente proporcionales, mientras que si se mejoró la resistencia a flexotracción.
2. Luego del análisis, se determinó que el resultado de la aplicación de fibras de guadua angustifolia en 0.5%, 1.0% y 1.5%, en el concreto patrón no incrementa la resistencia a compresión.
3. Respecto a la evaluación de resultados, se concluyó que la aplicación del 0.5% de fibras de guadua angustifolia mejoró la resistencia a flexotracción, logrando un ascenso del 1.29% de resistencia respecto al concreto estándar. Así como también logrando superar la resistencia estipulada en la tabla 30 de la norma de pavimentos urbanos, obteniendo un valor de 38.70kg/cm².
4. Por otra parte, se analizó los resultados obtenidos respecto al módulo de elasticidad del concreto, puesto que el mayor valor del módulo de elasticidad alcanzado fue por la muestra patrón mostrando un valor de 323064.62kg/cm², mientras que el menor valor obtenido fue por la muestra patrón con adición del 1.5% de fibra de guadua angustifolia, adquiriendo un valor de 264217.24kg/cm².

RECOMENDACIONES

1. En primera instancia no se recomienda usar porcentajes superiores al 0.5% de fibra de guadua angustifolia en el concreto, debido a que no ayuda a mejorar las propiedades físico mecánicas.
2. En segundo lugar, se recomienda la aplicación de fibras de guadua angustifolia en porcentajes iguales a 0.5%, para el diseño de pavimentos rígidos, puesto que mejora la resistencia a un $f^c=210\text{kg/cm}^2$.
3. En tercer lugar, es recomendable aplicar las fibras de guadua angustifolia en 0.5% en el concreto, para mejorar la resistencia a flexotracción para vías urbanas.
4. Por otra parte, no se recomienda la utilización de las fibras de guadua angustifolia, para mejorar el módulo de elasticidad del concreto, ya que esta es directamente proporcional a la resistencia a compresión.

REFERENCIAS BIBLIOGRÁFICAS

1. ALIAGA Sánchez, Elmer. Comportamiento estructural de una viga de concreto en flexión, sometida a una carga puntual en el centro de luz incorporando como refuerzo principal al Bambú y de una viga de concreto reforzada con acero, mediante ensayo experimental en laboratorio. Tesis (Ingeniero Civil). Lima – Perú: Universidad Nacional Federico Villareal, Facultad de Ingeniería Civil, 2021. 94 pp.
2. ARBELÁEZ, Anacilia. Morteros reforzados con fibras de bambú. Vol. 50. Medellín: [s.n.],1997.
3. BEJARANO Vigoya, Daniel. Estudio de la resistencia mecánica del concreto reforzado con fibras de guadua angustifolia kunt. Trabajo de grado (Ingeniero civil). Bogotá: Universidad católica de Colombia, Facultad de ingeniería, 2019. 79 pp.
4. CONDE Sepúlveda, Camilo y BONILLA Vargas Nilson. Evaluación del comportamiento físico - mecánico de un concreto hidráulico con adición de fibras de guadua angustifolia kunth. Monografía (Ingeniería Civil). Girardot – Cundinamarca: Universidad Piloto de Colombia, Facultad de Ingeniería, 2019. 63 pp.
5. FLORES Zuta, Palmira y ROJAS Torres, Jhordan. Evaluación del concreto $f'c = 175 \text{ kg/cm}^2$ reforzado con fibras de guadua angustifolia kunt, para mejorar su resistencia a la compresión. Moyobamba 2020-2021. Tesis (Ingeniero Civil). Moyobamba – Perú: Universidad Cesar Vallejo, Facultad de Ingeniería y Arquitectura, 2021. 86 pp.

6. GOMEZ, Sergio. Metodología de la investigación. México: Red tercer milenio, 2012. 88 pp.
ISBN: 9786077331490
7. HERNÁNDEZ, Roberto. Metodología de la investigación. 4ª ed. México: Mc Graw Hill, 2006. 850 pp.
ISBN: 9701057538
8. HERNÁNDEZ, Roberto. Metodología de la investigación. 6ª ed. México: Mc Graw Hill, 2014. 600 pp.
ISBN: 9781456223960
9. INSTITUTO de la construcción y gerencia. Manual de la construcción. Agenda técnica ICG. Décima tercera edición, (13): 66-73, 2014.
10. MARTINEZ Morales, John y POVEDA Jaramillo, Jessica. Evaluación de la utilización de las fibras de guadua como refuerzo del concreto para minimizar el proceso de fisuración. Trabajo de Grado (Tecnólogo en Construcciones Arquitectónicas). Bogotá – Colombia: Universidad la Gran Colombia, Facultad de Arquitectura, 2018. 119 pp.
11. METODOLOGÍA de la investigación cuantitativa – cualitativa y redacción de la tesis por Humberto Ñaupas [et al.]. 5ª. Bogotá: Ediciones de la U, 2018. 559 pp.
ISBN: 9789587628760
12. MINISTERIO de transportes y comunicaciones. Dirección general de caminos y ferrocarriles. Manual de carreteras. Rd. 10. Lima, 2014. 301 pp.

13. MINISTERIO de transportes y comunicaciones. Dirección general de caminos y ferrocarriles. Manual de ensayo de materiales. Rd. 018. Lima, 2016. 1268 pp.
14. MINISTERIO de vivienda, construcción y saneamiento. Dirección nacional de construcción. Norma técnica E.100 Bambú. Ds. 011. Lima, 2012. 58 pp.
15. MONTALVO Guevara, Marco. Pavimentos Rígidos reforzados con fibras de acero versus pavimentos tradicionales. Tesis (Ingeniero Civil). Lima: Pontificia Universidad Católica del Perú, Facultad de ciencias e ingeniería, 2015. 106 pp.
16. MUÑOZ, Carlos. Metodología de la investigación. México: Progreso S.A, 2015. [307] pp.
17. REFERENCIAS estilo 690 y 690-2. Lima: Universidad César Vallejo, 2017. 34 pp.
18. SALVATIERRA Vega, Bandy. Aplicación del bambú en el reforzamiento del concreto para medir el comportamiento estructural de una vivienda de 2 pisos en Cañete – 2019. Tesis (Ingeniero Civil). Lima – Perú: Universidad Cesar Vallejo, Facultad de Ingeniería, 2019. 137 pp.
19. VARGAS Vásquez, Wilder. Vigas de concreto reforzadas con bambú (*Guadua Angustifolia*) para construcciones rurales. Tesis (Ingeniero Agrícola). Lima – Perú: Universidad Nacional Agraria la Molina, Facultad de Ingeniería Agrícola, 2016. 220 pp.

ANEXOS

Anexo 01: Matriz de Consistencia.

MATRÍZ DE CONSISTENCIA

Título De La Investigación: Aplicación de Fibras de Guadua Angustifolia en el Diseño de Pavimentos Rígidos					
Problema	Objetivos	Marco teórico	Hipótesis	Variables	Metodología
<p>Problema General: ¿Cuál es el resultado de la aplicación de las fibras de guadua angustifolia en el diseño de pavimentos rígidos?</p> <p>Problemas Específicos: a) ¿Cuáles son los resultados de la aplicación de fibras de guadua angustifolia en la resistencia a compresión? b) ¿Qué resulta de la aplicación de las fibras de guadua Angustifolia en la resistencia a flexotracción? c) ¿Qué resultado se obtiene de la aplicación de fibras de guadua angustifolia en el módulo de elasticidad?</p>	<p>Objetivo General: Aplicar las fibras de guadua angustifolia en el diseño de pavimentos rígidos.</p> <p>Objetivos Específicos: a) Determinar los resultados de la aplicación de fibras de guadua angustifolia en la resistencia a compresión. b) Evaluar el resultado de la aplicación de las fibras de guadua angustifolia en la resistencia a flexotracción. c) Analizar el resultado de la aplicación de fibras de guadua angustifolia en el módulo de elasticidad.</p>	<p>Antecedentes Nacionales: a) Bandy Basilio Salvatierra Vega (2019), en el estudio de su investigación “Aplicación del bambú en el reforzamiento del concreto para medir el comportamiento estructural de una vivienda de 2 pisos en cañete - 2019” b) Wilder Roger Vargas Vásquez (2016), en el estudio de su investigación “Vigas de concreto reforzadas con bambú (Guadua Angustifolia) para construcciones rurales”</p> <p>Antecedentes Internacionales: a) Daniel Fernando Bejarano Vigoya (2019) en el estudio de su investigación “Estudio de la Resistencia mecánica del concreto reforzado con fibras de Guadua Angustifolia Kunt” b) Camilo Ernesto Conde Sepúlveda y Nilson Ricardo Bonilla Vargas (2019), en su trabajo de investigación “Evaluación del comportamiento físico – mecánico de Guadua Angustifolia Kunt”</p>	<p>Hipótesis General: La aplicación de fibras de guadua angustifolia mejora las propiedades mecánicas del concreto para el diseño de pavimentos rígidos.</p> <p>Hipótesis Específicas: a) Al aplicar las fibras de guadua angustifolia se incrementa la resistencia a compresión del concreto. b) Aplicando las fibras de guadua angustifolia se incrementa la resistencia a flexotracción del concreto. c) La utilización de fibras de guadua angustifolia mejora el módulo de elasticidad del concreto.</p>	<p>Variable Independiente (X): Guadua Angustifolia Es una de las especies de la planta del bambú, que se encuentra principalmente en la región tropical de las naciones andinas nativas, que posee propiedades físico mecánicas apropiadas para el caso de edificaciones sismorresistentes (Mvcs, 2012, p. 5).</p> <p>Dimensión: -Porcentaje (%)</p> <p>Variable Dependiente (Y): Diseño de Pavimento Rígido El pavimento rígido es considerado como una losa de concreto la cual, al ser resistente absorbe casi la totalidad de las cargas de tránsito, así proyectando cargas menores a las capas subyacentes y finalmente a la subrasante (Mtc: Manual de carreteras, 2013, p. 261).</p> <p>Dimensiones: - Resistencia a la compresión - Resistencia a la flexotracción - Módulo de elasticidad</p>	<p>Método de investigación: Método Científico</p> <p>Tipo de investigación: Tipo Aplicada</p> <p>Nivel de investigación: Nivel Explicativo</p> <p>Diseño de investigación: Diseño Causal Comparativo</p> <p>Población: Total, de población 60 ensayos a realizarse.</p> <p>Muestra: Método de muestreo Censal</p> <p>Técnicas e instrumentos: Observación Información bibliográfica Ficha de observación</p>

Anexo 02: Matriz de Operacionalización de Variables.

VARIABLE	DEFINICIÓN CONCEPTUAL	DIMENSIÓN	INDICADOR
Variable Independiente (X): Guadua Angustifolia	Es una de las especies de la planta del bambú, que se encuentra principalmente en la región tropical de las naciones andinas nativas, que posee propiedades físico mecánicas apropiadas para el caso de las edificaciones sismorresistentes. (Mvcs, 2012, p. 5).	Porcentaje (%)	0.0 %
			0.5%
			1.0%
			1.5%
Variable Dependiente (Y): Diseño de Pavimento Rígido	El pavimento rígido es considerado como una losa de concreto la cual, al ser resistente absorbe casi la totalidad de las cargas de tránsito, así proyectando cargas menores a las capas subyacentes y finalmente a la subrasante. (Mtc: Manual de carreteras, 2013, p. 261).	Resistencia a la compresión	Ensayo de rotura
		Resistencia a la flexotracción	Ensayo módulo de rotura
		Módulo de elasticidad	Cálculo de módulo de elasticidad

Anexo 03: Ensayos Realizados de Mecánica de Suelos.

LABORATORIO DE MECÁNICA DE SUELOS, CONCRETO Y PAVIMENTOS CENTAURO INGENIEROS

SERVICIOS DE:

- ENSAYOS PARA MECÁNICA DE SUELOS
- ENSAYOS EN AGREGADOS PARA CONCRETO Y ASFALTO
- ENSAYOS EN ROCAS
- ENSAYOS QUÍMICOS EN SUELOS Y AGUA
- ENSAYOS DPT, DPL, DPHS
- ESTUDIOS Y ENSAYOS GEOFÍSICOS
- PERFORACIONES Y EXTRACCIÓN DIAMANTINAS
- ESTUDIOS GEOTÉCNICOS
- CONTROL DE CALIDAD EN SUELOS CONCRETO Y ASFALTO
- EXTRACCIÓN Y TRASLADO DE MUESTRAS INSTU



Inscrito en el Registro de Marcas y Servicio de INDECOPI con CERTIFICADO N° 00114425 con Resolución N° 007184-2019-/DSD-INDECOPI

LABORATORIO DE SUELOS CONCRETO Y PAVIMENTOS CENTAURO INGENIEROS

EXPEDIENTE N° : 956-2021-AS
 PETICIONARIO : ANDERSON JHORDENIO HUAMÁN PÉREZ
 ATENCIÓN : ANDERSON JHORDENIO HUAMÁN PÉREZ
 PROYECTO : "APLICACIÓN DE FIBRAS DE GUADUA AGUSTIFOLIA EN EL DISEÑO DE PAVIMENTOS RÍGIDOS"
 UBICACIÓN : MEJORAMIENTO DE VÍAS URBANAS EN LA AV. PIONEROS; ENTRE LOS TRAMOS AV. PERÚ, JR. MARÍA ARGUEDAS
 FECHA DE RECEPCIÓN : 29 DE ABRIL DEL 2021
 FECHA DE EMISIÓN : 12 DE MAYO DEL 2021

DATOS DE LA MUESTRA

CÓDIGO DE TRABAJO : P-071-2021 CALICATA : M-3
 UBICACIÓN : AV. PIONEROS - CHANCHAMAYO, CON COORDENADAS DE E: 561256,9325 N:8775923.55

ENSAYO PROCTOR METODO C - MTC E 115								
Nro de capas:	5.00	Altura de caída del pisón (cm):	45.72	Peso del pisón (Kg):	4.54	Volumen del molde (cm ³):	2,106	
Esejía de Compactación modificada (kg-cm/cm ³):	27.6	Número de golpes/capa:	56.00	Gravedad Especifica S/(tamaño):	2.67			
Masa del suelo húmedo + molde (g)	7742.00		8018.00		8081.00		7781.00	
Masa del molde (g)	3278.00		3278.00		3278.00		3278.00	
Peso suelo húmedo compactado (g)	4464		4740		4803		4503	
Peso volumétrico húmedo (g/cm ³)	2.120		2.251		2.281		2.138	
Recipiente N°	K15	K-10	TM-01	L-18	K-32	K-31	K-15	K-7
Masa del suelo húmedo + tara (g)	702.00	779.20	744.00	800.70	836.00	823.10	695.00	739.00
Masa del suelo seco + tara (g)	674	747	701.8	753.4	787.2	751.2	623.46	666.5
Masa del Recipiente (g)	84.80	82.50	86.20	98.20	89.30	90.40	91.10	84.00
Masa del agua (g)	28.00	32.20	42.20	47.30	68.80	71.90	71.54	72.50
Masa del suelo seco (g)	589.20	664.50	615.60	655.20	677.90	660.00	532.36	572.50
Contenido de agua (%)	4.75	4.85	6.86	7.22	10.15	10.88	13.44	12.66
Promedio de contenido de agua (%)	4.80		7.04		10.51		13.05	
Densidad húmeda del espécimen compactado (g/cm ³)	2.023		2.103		2.064		1.891	
Humedad Saturación (%)	5.00		7.00		12.00		17.00	
Peso Volumétrico Saturación	2.593		2.267		1.969		1.676	

DENSIDAD SECA MÁXIMA CORREGIDA : 2.110 g/cm³
 CONTENIDO DE AGUA : 8.40 %

PREPARACIÓN DE LA MUESTRA		
TAMIZ	PARCIAL RETENIDO %	PASA (%)
3"	0.00	100.00
2"	0.00	100.00
3/4"	17.39	82.61
3/8"	14.84	67.77
Nº4	14.44	53.33
<Nº4	53.33	0.00



OBSERVACION : Muestra remitida por el peticionario.

* Los datos proporcionados por el Peticionario son los siguientes: peticionario, atención, nombre del proyecto, ubicación.

HC-AS-607 VER.01 REV.00 FECHA: 2020/03/13

EL PRESENTE DOCUMENTO NO DEBERÁ REPRODUCIRSE SIN AUTORIZACIÓN ESCRITA DEL LABORATORIO, SALVO QUE LA REPRODUCCIÓN SEA EN SU TOTALIDAD

[Handwritten Signature]
 GERENCIA TÉCNICA
 ING. Víctor Peña Dueña
 INGENIERO CIVIL
 CIP 70489

Email: grupocentauroingenieros@gmail.com Web: <http://centauroingenieros.com/> Facebook: [centauro ingenieros](https://www.facebook.com/centauroingenieros)
 Av. Mariscal Castilla N° 3950 - El Tambo - Huancayo - Junín (Frente a la 1ra Puerta de la U.N.C.P.) Telf. 064 - 253727 Cel. 992875860 - 964483588 - 964866015

Para verificar la autenticidad del informe puede comunicarse a: grupocentauroingenieros@gmail.com

LABORATORIO DE MECÁNICA DE SUELOS, CONCRETO Y PAVIMENTOS CENTAURO INGENIEROS

SERVICIOS DE:

- ENSAYOS PARA MECÁNICA DE SUELOS
- ENSAYOS EN AGREGADOS PARA CONCRETO Y ASFALTO
- ENSAYOS EN ROCAS
- ENSAYOS QUÍMICOS EN SUELOS Y AGUA
- ENSAYOS SPT, DPL, DPHS
- ESTUDIOS Y ENSAYOS GEOFÍSICOS
- PERFORACIONES Y EXTRACCIÓN DIAMANTINAS
- ESTUDIOS GEOTÉCNICOS
- CONTROL DE CALIDAD EN SUELOS CONCRETO Y ASFALTO
- EXTRACCIÓN Y TRASLADO DE MUESTRAS INSITU



Inscrito en el Registro de Marcas y Servicio de INDECOPI con CERTIFICADO N° 00114425 con Resolución N° 007184-2019-/DSD-INDECOPI

LABORATORIO DE SUELOS CONCRETO Y PAVIMENTOS CENTAURO INGENIEROS

EXPEDIENTE N° : 957-2021-AS
 PETICIONARIO : ANDERSON JHORDENIO HUAMÁN PÉREZ
 ATENCIÓN : ANDERSON JHORDENIO HUAMÁN PÉREZ
 PROYECTO : "APLICACIÓN DE FIBRAS DE GUADUA ANGUSTIFOLIA EN EL DISEÑO DE PAVIMENTOS RÍGIDOS"
 UBICACIÓN : MEJORAMIENTO DE VÍAS URBANAS EN LA AV. PIONEROS; ENTRE LOS TRAMOS AV. PERÚ, JR. MARÍA ARGUEDAS
 FECHA DE RECEPCIÓN : 29 DE ABRIL DEL 2021
 FECHA DE EMISIÓN : 12 DE MAYO DEL 2021

DATOS DE LA MUESTRA

CÓDIGO DE ORDEN DE TRABAJO : P-071-2021 CALICATA : M-3
 CANTERA : AV. PIONEROS - CHANCHAMAYO, CON COORDENADAS DE E: 561256.9325 N:8775923.55

CBR - MTC E 132

ENSAYO PRELIMINAR PROCTOR MODIFICADO					
Contenido de agua	%	4.799	7.037	10.515	13.051
Peso volumetrico seco	g/cm ³	2.023	2.103	2.064	1.891

ETAPA DE COMPACTACIÓN			
IDENTIFICACION DEL MOLDE	MOLDE I	MOLDE II	MOLDE III
NUMERO DE CAPAS	5.00	5.00	5.00
GOLPES POR CAPA	12.00	26.00	55.00

MUESTRA	SIN SATURAR	SATURADO	SIN SATURAR	SATURADO	SIN SATURAR	SATURADO
Masa del molde + suelo humedo	8401	8541	9399	9784	9455	9785
Masa del molde	3943.0	3943.0	4423.0	4423.0	3941.0	3941.0
Masa del suelo humedo	4458.0	4598.0	4976.0	5361.0	5515.0	5844.0
Volumen del molde	2316.0	2316.0	2316.0	2316.0	2316.0	2316.0
Densidad humeda	1.925	1.985	2.149	2.315	2.381	2.523
% de humedad	8.40	8.40	8.40	8.40	8.40	8.40
Densidad seca	1.776	1.831	1.892	2.136	2.197	2.328
Tara N°	T20-07	TM-39	H-12	TM-55	F-1	L-25
Tara + suelo humedo	582.6	790.3	589.2	592.4	585.1	724.0
Tara + suelo seco	542.0	696.3	551	519.3	545	624.4
Masa del agua	40.6	94.0	38.2	73.1	40.1	99.6
Masa de la tara	57.0	87.3	95.5	83.6	68	97.7
Masa del suelo seco	485.0	609.0	455.5	435.7	477.0	526.7
% de humedad	8.37	15.44	8.39	16.78	8.41	18.91

CBR AL 100% DE LA M.D.S. : 34.13 %
 CBR AL 95% DE LA M.D.S. : 25.98 %
 MDS : 2.11 GR/CM3
 OCH : 8.40 % CH

OBSERVACION : Muestra remitida por el peticionario.

* Los datos proporcionados por el Peticionario son los siguientes: peticionario, atención, nombre del proyecto, ubicación, procedencia de la muestra.

HC-AS-008 VERSIÓN.01 REV.00 FECHA: 2020/03/13

(Firma manuscrita)
GERENCIA TECNICA
 ING. VICTOR CARLOS DUEÑAS
 INGENIERO CIVIL
 CIP 10488

LABORATORIO DE MECÁNICA DE SUELOS, CONCRETO Y PAVIMENTOS CENTAURO INGENIEROS

SERVICIOS DE:

- ENSAYOS PARA MECÁNICA DE SUELOS
- ENSAYOS EN AGREGADOS PARA CONCRETO Y ASFALTO
- ENSAYOS EN ROCAS
- ENSAYOS CÁMBOOS EN SUELOS Y AGUA
- ENSAYOS SPT, DPL, DPMS

- ESTUDIOS Y ENSAYOS GEOFÍSICOS
- PERFORACIONES Y EXTRACCIÓN DIAMANTINAS
- ESTUDIOS GEOTÉCNICOS
- CONTROL DE CALIDAD EN SUELOS CONCRETO Y ASFALTO
- EXTRACCIÓN Y TRASLADO DE MUESTRAS IN SITU



Inscrito en el Registro de Marcas y Servicio de INDECOPI con CERTIFICADO N° 00114425 con Resolución N° 007184-2019-/DSD-INDECOPI

LABORATORIO DE SUELOS CONCRETO Y PAVIMENTOS CENTAURO INGENIEROS

EXPEDIENTE N° : 957-2021-AS
 PETICIONARIO : ANDERSON JHORDENIO HUAMÁN PÉREZ
 ATENCIÓN : ANDERSON JHORDENIO HUAMÁN PÉREZ
 PROYECTO : "APLICACIÓN DE FIBRAS DE GUADUA ANGUSTIFOLIA EN EL DISEÑO DE PAVIMENTOS RÍGIDOS"
 UBICACIÓN : MEJORAMIENTO DE VÍAS URBANAS EN LA AV. PIONEROS; ENTRE LOS TRAMOS AV. PERÚ, JR. MARÍA ARGUEDAS
 FECHA DE RECEPCIÓN : 29 DE ABRIL DEL 2021
 FECHA DE EMISIÓN : 12 DE MAYO DEL 2021

UBICACIÓN : AV. PIONEROS - CHANCHAMAYO, CON COORDENADAS DE E: 561256.9325 N:8775923.55

ESPECIMEN I (12)		
KN	LBS	LBS/PUL 2
0,598	134.43	44.81
1,329	298.76	99.59
1,810	406.89	135.63
2,155	484.44	151.48
2,453	551.43	183.81
2,761	620.67	206.89
3,280	738.60	243.26
4,658	1,047.12	349.04
4,904	1,102.42	367.47
5,694	1,280.01	426.67

C.H.	DENS. SECA
4.80	2.023
7.04	2.103
10.51	2.064
13.05	1.891



Nº GOLPES	% CBR (0.1")	% CBR (0.2")	D.S.
12.00	16.1	20.1	1.776
26.00	25.6	29.7	1.982
55.00	34.1	38.8	2.197



MDS	2.11
95%MDS	2.005

	2.54 mm (0.1")	5.08 mm (0.2")
CBR AL 100%	34.1	38.75
CBR AL 95%	26.0	31.98

ESPECIMEN II (55)		
KN	LBS	LBS/PUL 2
1,306	293.50	97.83
2,442	548.91	182.97
3,520	791.26	263.75
4,555	1,023.90	341.30
5,635	1,266.79	422.26
6,667	1,498.79	499.60
8,184	1,839.76	581.26
11,957	2,687.89	895.96
14,606	3,283.52	1,094.51
17,227	3,872.67	1,290.89

HC-AS-008 VERSIÓN.01 REV.00 FECHA: 2020/03/13

(Handwritten signature)
INGENIERIA GENERAL DE SUELOS Y PAVIMENTOS
GENEALIA TÉCNICA
ING. VICTOR DELA ORO
INGENIERO CIVIL
CIP. 70463

Email: grupocentauroingenieros@gmail.com Web: <http://centauroingenieros.com/> Facebook: [centauroingenieros](https://www.facebook.com/centauroingenieros)
 Av. Mariscal Castilla N° 3950 - El Tambo - Huancayo - Junin (Frente a la 1ra Puerta de la U.N.C.P.) Telf. 064 - 253727 Cel. 992675860 - 964483588 - 964986015

Para verificar la autenticidad del informe puede comunicarse a: grupocentauroingenieros@gmail.com

LABORATORIO DE MECÁNICA DE SUELOS, CONCRETO Y PAVIMENTOS CENTAURO INGENIEROS

SERVICIOS DE:

- ENSAYOS PARA MECÁNICA DE SUELOS
- ENSAYOS EN AGREGADOS PARA CONCRETO Y ASFALTO
- ENSAYOS EN ROCAS
- ENSAYOS QUÍMICOS EN SUELOS Y AGUA
- ENSAYOS SPT, DPL, DPHS
- ESTUDIOS Y ENSAYOS GEOFÍSICOS
- PERFORACIONES Y EXTRACCIÓN DIAMANTINAS
- ESTUDIOS GEOTÉCNICOS
- CONTROL DE CALIDAD EN SUELOS CONCRETO Y ASFALTO
- EXTRACCIÓN Y TRASLADO DE MUESTRAS IN SITU



Inscrito en el Registro de Marcas y Servicio de INDECOPI con CERTIFICADO N° 00114425 con Resolución N° 007184-2019-/D5D-INDECOPI

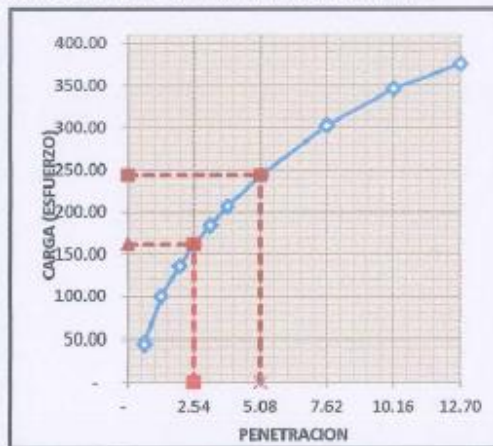
LABORATORIO DE SUELOS CONCRETO Y PAVIMENTOS CENTAURO INGENIEROS

EXPEDIENTE N° : 957-2021-AS
 PETICIONARIO : ANDERSON JHORDENIO HUAMÁN PÉREZ
 ATENCION : ANDERSON JHORDENIO HUAMÁN PÉREZ
 PROYECTO : "APLICACIÓN DE FIBRAS DE GUADUA ANGUSTIFOLIA EN EL DISEÑO DE PAVIMENTOS RÍGIDOS"
 UBICACIÓN : MEJORAMIENTO DE VÍAS URBANAS EN LA AV. PIONEROS; ENTRE LOS TRAMOS AV. PERÚ, JR. MARÍA ARGUEDAS
 FECHA DE RECEPCIÓN : 29 DE ABRIL DEL 2021
 FECHA DE EMISIÓN : 12 DE MAYO DEL 2021

UBICACIÓN : AV. PIONEROS - CHANCHAMAYO, CON COORDENADAS DE E: 561256.9325 N:8775923.55

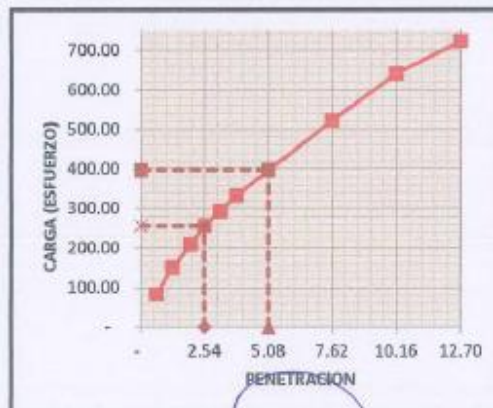
PENETRACION

	KN	LB	AREA	ESFUERZO	P. EN PULG
13 GOLPES	0.598	134.4	3.00	44.81	0.63
	1.329	298.8	3.00	99.99	1.27
	1.810	406.9	3.00	135.63	1.99
	2.155	484.4	3.00	161.48	2.71
	2.453	551.4	3.00	183.81	3.17
	2.761	620.7	3.00	206.89	3.81
	3.250	730.6	3.00	243.53	4.00
	4.658	1047.1	3.00	302.56	7.62
	4.904	1102.4	3.00	345.87	10.16
	5.694	1280.0	3.00	375.26	12.70



PENETRACION

	KN	LB	AREA	ESFUERZO	P. EN PULG
26 GOLPES	1.110	249.8	3.00	83.21	0.63
	2.134	479.7	3.00	150.12	1.27
	2.856	642.0	3.00	208.45	1.99
	3.416	767.8	3.00	252.55	2.71
	3.896	875.9	3.00	291.97	3.17
	4.421	993.8	3.00	331.26	3.81
	5.290	1189.3	3.00	396.43	4.00
	6.970	1566.9	3.00	522.29	7.62
	8.554	1923.0	3.00	641.01	10.16
	9.887	2222.6	3.00	722.15	12.70



HC-A5-005 VERSIÓN.01 REV.00 FECHA: 2020/03/13


INGENIERO CIVIL CENTAURO INGENIEROS S.A.
GERENCIA TÉCNICA
ING. VICTOR PEÑA DUENAS
INGENIERO CIVIL
CIP. 70489

Email: grupocentauroingenieros@gmail.com Web: <http://centauroingenieros.com/> Facebook: [centauroingenieros](https://www.facebook.com/centauroingenieros)
 Av. Mariscal Castilla N° 3950 - El Tambo - Huancayo - Junín (Frente a la 1ra Puerta de la U.N.C.P.) Telf. 064 - 253727 Cel. 902875860 - 964483588 - 964968015

Para verificar la autenticidad del Informe puede comunicarse a: grupocentauroingenieros@gmail.com

LABORATORIO DE MECÁNICA DE SUELOS, CONCRETO Y PAVIMENTOS CENTAURO INGENIEROS

SERVICIOS DE:

- ENSAYOS PARA MECÁNICA DE SUELOS
- ENSAYOS EN ADREGADOS PARA CONCRETO Y ASFALTO
- ENSAYOS EN ROCAS
- ENSAYOS QUÍMICOS EN SUELOS Y AGUA
- ENSAYOS SPT, DPL, DPHS
- ESTUDIOS Y ENSAYOS GEOFÍSICOS
- PERFORACIONES Y EXTRACCIÓN DIAMANTINAS
- ESTUDIOS GEOTÉCNICOS
- CONTROL DE CALIDAD EN SUELOS CONCRETO Y ASFALTO
- EXTRACCIÓN Y TRASLADO DE MUESTRAS INSITU



Inscrito en el Registro de Marcas y Servicio de INDECOPI con CERTIFICADO N° 00114425 con Resolución N° 007184-2019-/DSD-INDECOPI

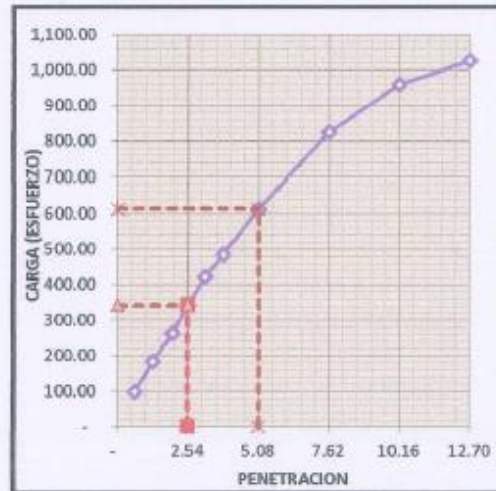
LABORATORIO DE SUELOS CONCRETO Y PAVIMENTOS CENTAURO INGENIEROS

EXPEDIENTE N° : 957-2021-AS
 PETICIONARIO : ANDERSON JHORDENIO HUAMÁN PÉREZ
 ATENCION : ANDERSON JHORDENIO HUAMÁN PÉREZ
 PROYECTO : "APLICACIÓN DE FIBRAS DE GUADUA ANGUSTIFOLIA EN EL DISEÑO DE PAVIMENTOS RÍGIDOS"
 UBICACIÓN : MEJORAMIENTO DE VÍAS URBANAS EN LA AV. PIONEROS; ENTRE LOS TRAMOS AV. PERÚ, JR. MARÍA ARGUEDAS
 FECHA DE RECEPCIÓN : 29 DE ABRIL DEL 2021
 FECHA DE EMISIÓN : 12 DE MAYO DEL 2021

UBICACIÓN : AV. PIONEROS - CHANCHAMAYO, CON COORDENADAS DE E: 561256.9325 N:8775923.55

PENETRACION

NO. GOLPES	KN	LB	AREA	ESFUERZO	P. EN PULG.
1	1.306	293.5	3.00	97.83	0.63
2	2.442	548.9	3.00	182.97	1.27
3	3.570	791.3	3.00	263.75	1.99
4	4.555	1022.9	3.00	341.30	2.70
5	5.635	1266.8	3.00	422.26	3.17
6	6.667	1498.8	3.00	485.26	3.81
7	8.184	1835.0	3.00	611.25	4.60
8	11.957	2687.9	3.00	825.34	7.62
9	14.606	3283.5	3.00	958.34	10.16
10	17.227	3872.7	3.00	1,026.35	12.70



INGENIERO DE INGENIERIA CIVIL
GERENCIA TÉCNICA
Ing. Víctor Feta Dueñas
INGENIERO CIVIL
CIP° 70489

LABORATORIO DE MECÁNICA DE SUELOS, CONCRETO Y PAVIMENTOS CENTAURO INGENIEROS

SERVICIOS DE:

- ENSAYOS PARA MECÁNICA DE SUELOS
- ENSAYOS EN AGREGADOS PARA CONCRETO Y ASFALTO
- ENSAYOS EN ROCAS
- ENSAYOS QUÍMICOS EN SUELOS Y AGUA
- ENSAYOS SPT, DPL, DPHS

- ESTUDIOS Y ENSAYOS GEOFÍSICOS
- PERFORACIONES Y EXTRACCIÓN DIAMANTINAS
- ESTUDIOS GEOTÉCNICOS
- CONTROL DE CALIDAD EN SUELOS CONCRETO Y ASFALTO
- EXTRACCIÓN Y TRASLADO DE MUESTRAS INSITU

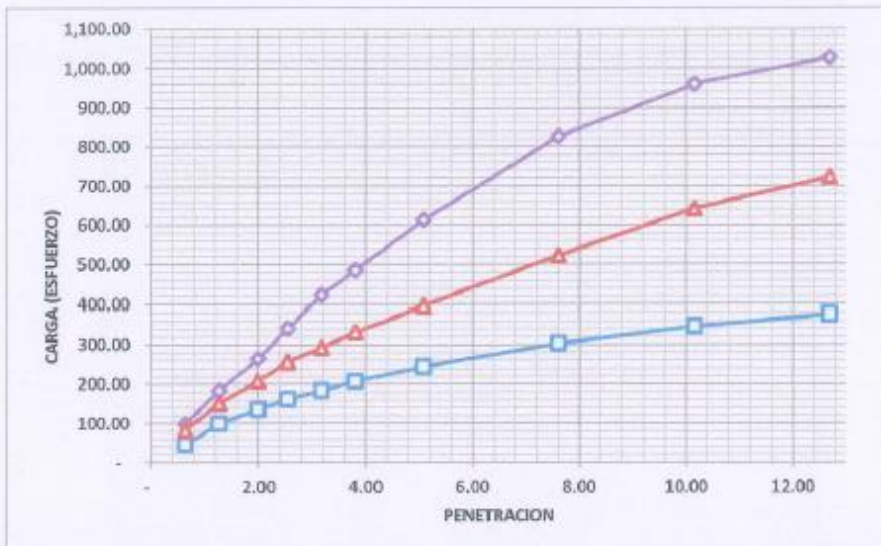


Inscrito en el Registro de Marcas y Servicio de INDECOPI con CERTIFICADO N° 00114425 con Resolución N° 007184-2019-/DSD-INDECOPI

LABORATORIO DE SUELOS CONCRETO Y PAVIMENTOS CENTAURO INGENIEROS

EXPEDIENTE N° : 957-2021-AS
PETICIONARIO : ANDERSON JHORDENIO HUAMÁN PÉREZ
ATENCIÓN : ANDERSON JHORDENIO HUAMÁN PÉREZ
PROYECTO : "APLICACIÓN DE FIBRAS DE GUADUA ANGUSTIFOLIA EN EL DISEÑO DE PAVIMENTOS RÍGIDOS"
UBICACIÓN : MEJORAMIENTO DE VÍAS URBANAS EN LA AV. PIONEROS; ENTRE LOS TRAMOS AV. PERÚ, JR. MARÍA ARGUEDAS
FECHA DE RECEPCIÓN : 29 DE ABRIL DEL 2021
FECHA DE EMISIÓN : 12 DE MAYO DEL 2021

UBICACIÓN : AV. PIONEROS - CHANCHAMAYO, CON COORDENADAS DE E: 561256.9325 N:8775923.55



HC-AS-008 VERSIÓN.01 REV.00 FECHA: 2020/03/13

INGENIEROS CIVILES CENTAURO INGENIEROS S.A.
GERENCIA TÉCNICA
Ing. Víctor Peña Queña
INGENIERO CIVIL
C.I.P. 70488

Email: grupocentauroingenieros@gmail.com Web: <http://centauroingenieros.com/> Facebook: [centauro ingenieros](https://www.facebook.com/centauroingenieros)
Av. Mariscal Castilla N° 3950 - El Tambo - Huancayo - Junín (Frente a la 1ra Puerta de la U.N.C.P.) Telf. 064 - 253727 Cel. 992875860 - 994483588 - 994966015

Para verificar la autenticidad del informe puede comunicarse a: grupocentauroingenieros@gmail.com

LABORATORIO DE MECÁNICA DE SUELOS, CONCRETO Y PAVIMENTOS CENTAURO INGENIEROS

SERVICIOS DE:

- ENSAYOS PARA MECÁNICA DE SUELOS
- ENSAYOS EN AGREGADOS PARA CONCRETO Y ASFALTO
- ENSAYOS EN ROCAS
- ENSAYOS QUÍMICOS EN SUELOS Y AGUA
- ENSAYOS SPT, DPL, DPHS

- ESTUDIOS Y ENSAYOS GEOFÍSICOS
- PERFORACIONES Y EXTRACCIÓN DIAMANTINAS
- ESTUDIOS GEOTÉCNICOS
- CONTROL DE CALIDAD EN SUELOS CONCRETO Y ASFALTO
- EXTRACCIÓN Y TRASLADO DE MUESTRAS INSITU

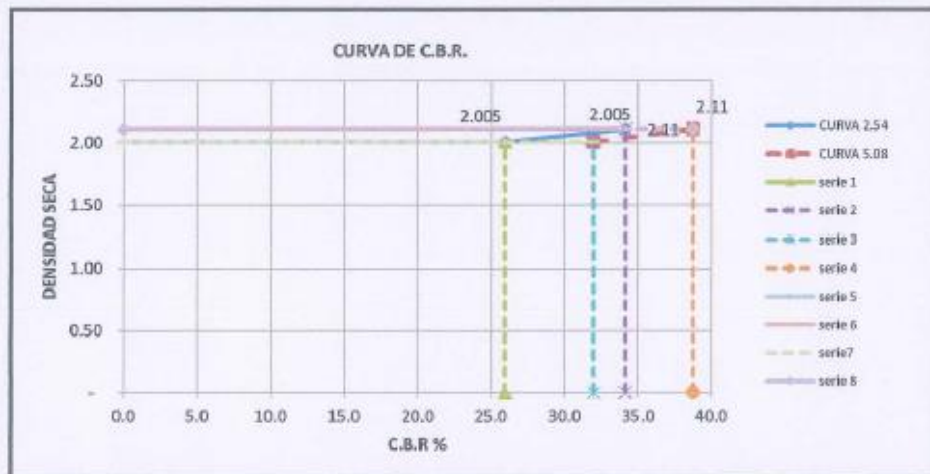


Inscrito en el Registro de Marcas y Servicio de INDECOPI con CERTIFICADO N° 00114425 con Resolución N° 007184-2019-/DSD-INDECOPI

LABORATORIO DE SUELOS CONCRETO Y PAVIMENTOS CENTAURO INGENIEROS

EXPEDIENTE N° : 957-2021-AS
PETICIONARIO : ANDERSON JHORDENIO HUAMÁN PÉREZ
ATENCION : ANDERSON JHORDENIO HUAMÁN PÉREZ
PROYECTO : "APLICACIÓN DE FIBRAS DE GUADUA ANGUSTIFOLIA EN EL DISEÑO DE PAVIMENTOS RÍGIDOS"
UBICACIÓN : MEJORAMIENTO DE VÍAS URBANAS EN LA AV. PIONEROS; ENTRE LOS TRAMOS AV. PERÚ, JR. MARÍA ARGUEDAS
FECHA DE RECEPCIÓN : 29 DE ABRIL DEL 2021
FECHA DE EMISIÓN : 12 DE MAYO DEL 2021

CANTERA : AV. PIONEROS - CHANCHAMAYO, CON COORDENADAS DE E: 561256,9325 N:8775923,55



INGENIERO CARLES ZUÑIGA ZUMEROS S.A.
GENEALIA TÉCNICA
Ing Victor Peña Queña
INGENIERO CIVIL
CIP 70489

Email: grupocentauroingenieros@gmail.com Web: <http://centauroingenieros.com/> Facebook: [centauroingenieros](https://www.facebook.com/centauroingenieros)
Av. Mariscal Castilla N° 3050 - El Tambo - Huancayo - Junin (Frente a la 1ra Puerta de la U.N.C.P.) Telf. 064 - 253727 Cel. 992875860 - 964483588 - 964060015

Para verificar la autenticidad del informe puede comunicarse a: grupocentauroingenieros@gmail.com

LABORATORIO DE MECÁNICA DE SUELOS, CONCRETO Y PAVIMENTOS CENTAURO INGENIEROS

SERVICIOS DE:

- ENSAYOS PARA MECÁNICA DE SUELOS
- ENSAYOS EN AGREGADOS PARA CONCRETO Y ASFALTO
- ENSAYOS EN ROCAS
- ENSAYOS QUÍMICOS EN SUELOS Y AGUA
- ENSAYOS SPT, DPL, DPHS
- ESTUDIOS Y ENSAYOS GEOFÍSICOS
- PERFORACIONES Y EXTRACCIÓN DIAMANTINAS
- ESTUDIOS GEOTÉCNICOS
- CONTROL DE CALIDAD EN SUELOS CONCRETO Y ASFALTO
- EXTRACCIÓN Y TRASLADO DE MUESTRAS IN SITU



Inscrito en el Registro de Marcas y Servicio de INDECOPI con CERTIFICADO N° 00114425 con Resolución N° 007184-2019-/DSD-INDECOPI

LABORATORIO DE SUELOS CONCRETO Y PAVIMENTOS CENTAURO INGENIEROS

INFORME

EXPEDIENTE N° : 957-2021-AS
 PETICIONARIO : ANDERSON JHORDENIO HUAMÁN PÉREZ
 ATENCIÓN : ANDERSON JHORDENIO HUAMÁN PÉREZ
 PROYECTO : "APLICACIÓN DE FIBRAS DE GUADUA ANGUSTIFOLIA EN EL DISEÑO DE PAVIMENTOS RÍGIDOS"
 UBICACIÓN : MEJORAMIENTO DE VÍAS URBANAS EN LA AV. PIONEROS; ENTRE LOS TRAMOS AV. PERÚ, JR. MARÍA ARGUEDAS
 FECHA DE RECEPCIÓN : 29 DE ABRIL DEL 2021
 FECHA DE EMISIÓN : 12 DE MAYO DEL 2021

**ENSAYO PARA LA DETERMINACION DEL VALOR RELATIVO DE SOPORTE CBR
MTC E 132**

Pag. 01 de 02

DATOS DE LA MUESTRA

UBICACIÓN : AV. PIONEROS - CHANCHAMAYO, CON
 COORDENADAS DE E: 561256.9325 N: 8775923.55 CALICATA : M-3

ENSAYO DE PROCTOR MODIFICADO

Maxime Densidad Seca	2.110 g/cm ³
Optimo Contenido de Humedad	8.40 %

ENSAYO DE CBR

Especimen	Numero de Golpes	CBR %	Densidad Seca (g/cm ³)	Fenetración (pulg.)	% M.D.S.	CBR % - (2.54 mm - 0.1")	CBR % - (5.08 mm - 0.2")
3	55.00	34.1	2.197	0.10	100.00	34.1	38.8
2	26.00	25.6	1.982	0.10	95.00	26.0	32.0
1	12.00	16.1	1.776				

	ESPECIMEN N° 3	ESPECIMEN N° 2	ESPECIMEN N° 1
Energía de compactación (kg* cm/cm ³)	27.7	12.2	6.1
Densidad seca (g/cm ³)	2.20	1.98	1.76
Masa de sobrecarga (kg)	4.53	4.53	4.53
Embebido en agua (días)	4	4	4

EXPANSION

HORAS	55 GOLPES		26 GOLPES		12 GOLPES	
	Lectura (mm.)	Expansión %	Lectura (mm.)	Expansión %	Lectura (mm.)	Expansión %
00:00:00	0.000	0.000	0.000	0.000	0.000	0.000
96:00:00	0.120	0.094	0.160	0.126	0.324	0.255

OBSERVACIÓN : Muestra extraídas en campo, por el Peticionario.

HC-AS-008 VERSIÓN 01 REV.00 FECHA: 2020/03/13

EL PRESENTE DOCUMENTO NO DEBERÁ REPRODUCIRSE SIN AUTORIZACIÓN ESCRITA DEL LABORATORIO, SALVO QUE LA REPRODUCCIÓN SEA EN SU TOTALIDAD


**INGENIEROS EN CIENCIAS DE LOS MATERIALES -
 GERENCIA TÉCNICA**
Victor Peña Dueñas
 INGENIERO CIVIL
 CIP: 70489



LABORATORIO DE MECÁNICA DE SUELOS, CONCRETO Y PAVIMENTOS CENTAURO INGENIEROS

- SERVICIOS DE:**
- ENSAYOS PARA MECÁNICA DE SUELOS
 - ENSAYOS EN AGREGADOS PARA CONCRETO Y ASFALTO
 - ENSAYOS EN ROCAS
 - ENSAYOS QUÍMICOS EN SUELOS Y AGUA
 - ENSAYOS SPT, DPL, DPHS

- ESTUDIOS Y ENSAYOS GEOTÉCNICOS
- PERFORACIONES Y EXTRACCIÓN DIAMANTINAS
- ESTUDIOS GEOTÉCNICOS
- CONTROL DE CALIDAD EN SUELOS CONCRETO Y ASFALTO
- EXTRACCIÓN Y TRIPLADO DE MUESTRAS IN SITU

Inscrito en el Registro de Marcas y Servicio de INDECOPI con CERTIFICADO Nº 00114425 con Resolución Nº 007184-2019-/DSD-INDECOPI

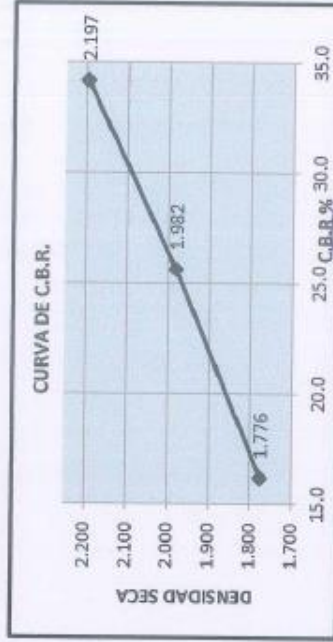
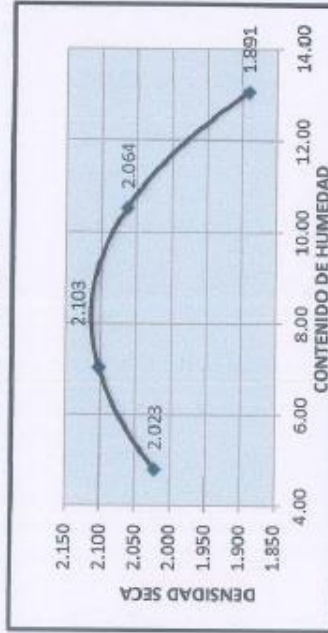
LABORATORIO DE SUELOS CONCRETO Y PAVIMENTO CENTAURO INGENIEROS

EXPEDIENTE N° : 957-2021-AS
 PETICIONARIO : ANDERSON JHORDENICO HUAMÁN PÉREZ
 PROYECTO : "APLICACIÓN DE FIBRAS DE GUADUA ANGUSTIFOLIA EN EL DISEÑO DE PAVIMENTOS RÍGIDOS"
 UBICACIÓN : MEJORAMIENTO DE VÍAS URBANAS EN LA AV. PIONEROS, ENTRE LOS TRAMOS AV. PERÚ, JR. MARÍA ARGÜEJAS
 FECHA DE RECEPCIÓN : 29 DE ABRIL DEL 2021
 FECHA DE EMISIÓN : 12 DE MAYO DEL 2021

ENSAYO PARA LA DETERMINACIÓN DEL VALOR RELATIVO DE SOPORTE CBR MTC E 132

DATOS DE LA MUESTRA
 UBICACIÓN : AV. PIONEROS - CHANCHAMAYO, CON COORDENADAS DE E:
 561256.9325 N:3775923.55

CALICATA : M-3



OBSERVACION: Muestra extraída en campo, por el peticionario.

HIC-AS-008 VERSIÓN:01 REV:00 FECHA: 2020/03/13

EL PRESENTE DOCUMENTO NO DEBERÁ REPRODUCIRSE SIN AUTORIZACIÓN ESCRITA DEL LABORATORIO, SALVO QUE LA REPRODUCCIÓN SEA EN SU TOTALIDAD

(Firma manuscrita)
 INGENIERO RESPONSABLE DEL
 LABORATORIO TÉCNICO
 Ing. VICTOR WALTER
 AGUIRRE GALI
 AGUIRRE GALI

Email: grupocentauroringenieros@gmail.com Web: <http://centauroringenieros.com/> Facebook: [centauro ingenieros](https://www.facebook.com/centauroingenieros)
 Av. Mariscal Castilla N° 3950 - El Tambo - Huancayo - Junín (Frente a la 1ra Puerta de la U.N.C.P.) Telf. 064 - 353727 Cel. 992875860 - 964483588 - 964986015
 Para verificar la autenticidad del informe puede comunicarse a: grupocentauroringenieros@gmail.com

Anexo 04: Diseño de Mezcla $F'c=210\text{kg/cm}^2$ Muestra Patrón

LABORATORIO DE MECÁNICA DE SUELOS, CONCRETO Y PAVIMENTOS CENTAURO INGENIEROS

SERVICIOS DE:

- ENSAYOS PARA MECÁNICA DE SUELOS
- ENSAYOS EN AGREGADOS PARA CONCRETO Y ASFALTO
- ENSAYOS EN ROCAS
- ENSAYOS QUÍMICOS EN SUELOS Y AGUA
- ENSAYOS SPT, DPL, DPHS
- ESTUDIOS Y ENSAYOS GEOFÍSICOS
- PERFORACIONES Y EXTRACCIÓN DIAMANTINAS
- ESTUDIOS GEOTÉCNICOS
- CONTROL DE CALIDAD EN SUELOS CONCRETO Y ASFALTO
- EXTRACCIÓN Y TRASLADO DE MUESTRAS IN SITU



Inscrito en el Registro de Marcas y Servicio de INDECOPI con CERTIFICADO N° 00114425 con Resolución N° 007184-2019-/DSD-INDECOPI

**LABORATORIO DE ENSAYO DE MATERIALES DE CENTAURO INGENIEROS
LABORATORIO DE AGREGADOS Y CONCRETO
INFORME**

EXPEDIENTE N° : 570-2021-AC
 PETICIONARIO : ANDERSON JHORDENIO HUAMÁN PÉREZ
 ATENCION : ANDERSON JHORDENIO HUAMÁN PÉREZ
 OBRA : "APLICACIÓN DE FIBRAS DE GUADUA ANGUSTIFOLIA EN EL DISEÑO DE PAVIMENTOS RÍGIDOS"
 UBICACIÓN : MEJORAMIENTO DE VÍAS URBANAS EN LA AV. PIONEROS; ENTRE LOS TRAMOS AV. PERÚ, JR. MARÍA ARGUEDAS
 FECHA DE RECEPCIÓN : 29 DE ABRIL DEL 2021
 FECHA DE EMISIÓN : 18 DE MAYO DEL 2021

DISEÑO DE MEZCLA TEÓRICO - MÓDULO DE FINEZA

CÓDIGO DE ORDEN DE TRABAJO: P-071-2021

1. CARACTERÍSTICAS DE LOS MATERIALES

CEMENTO	
TIPO	I
PROCEDENCIA	CEMENTO ANDINO
PESO ESPECÍFICO	3.12
AGUA	
TIPO	AGUA POTABLE
PESO ESPECÍFICO	1 000 kg/m3
AGREGADOS	

	FINO	GRUESO
PERFIL		ANGULAR
PESO UNITARIO SUELTO (kg/m3)	1590.63	1437.78
PESO UNITARIO COMPACTADO	1741.25	1652.64
PESO ESPECÍFICO SECO	2.50	2.68
MÓDULO DE FINEZA	2.86	7.82
TMN	No. 4	3/4 in.
PORCENTAJE DE ABSORCIÓN	1.26%	0.67%
CONTENIDO DE HUMEDAD	2.63%	0.07%

2. CARACTERÍSTICAS DEL CONCRETO

RESISTENCIA A COMPRESIÓN	210 kg/cm2
CONSISTENCIA	Plástico

3. DETERMINACIÓN DE LA RESISTENCIA PROMEDIO

Dosificación cuando no se cuenta con experiencia en obra o mezclas de prueba

f'cr ESPECIFICADO	f'cr (Kg/cm2)	f'cr	f'cr
210	f'c + 8,5 MPa	295	295

Fuente: RNE, NORMA E.060, CAPÍTULO 5 - 5.4

4. SELECCIÓN DEL TMN

TMN	3/4 in.
-----	---------

6. CONTENIDO DE AGUA

Asentamiento	3" - 4"
TMN	3/4 in.

Volumen unitario de Agua	200
--------------------------	-----

8. RELACION AGUA / CEMENTO

Resistencia promedio	295
R A/C	0.56

5. ASENTAMIENTO

De acuerdo a Tabla 01 3" a 4"

7. CONTENIDO DE AIRE TOTAL

TMN	3/4 in.
Contenido de aire atrapado	2.0%

9. CONTENIDO DE CEMENTO

$$Fact.cemento = \frac{Vol.Unid.Agua}{a/c}$$

GERENCIA TÉCNICA

Ing. Victor Peña Dueñas
INGENIERO CIVIL
C.P. 71344

Email: grupocentauroingenieros@gmail.com Web: <http://centauroingenieros.com/> Facebook: [centauro ingenieros](https://www.facebook.com/centauroingenieros)
 Av. Mariscal Castilla N° 3950 - El Tambo - Huancayo - Junín (Frente a la 1ra Puerta de la U.N.C.P.) Telf. 064 - 253727 Cel. 992875860 - 964483588 - 964966015

Para verificar la autenticidad del informe puede comunicarse a: grupocentauroingenieros@gmail.com

LABORATORIO DE MECÁNICA DE SUELOS, CONCRETO Y PAVIMENTOS CENTAURO INGENIEROS

SERVICIOS DE:

- ENSAYOS PARA MECÁNICA DE SUELOS
- ENSAYOS EN AGREGADOS PARA CONCRETO Y ASFALTO
- ENSAYOS EN ROCAS
- ENSAYOS QUÍMICOS EN SUELOS Y AGUA
- ENSAYOS SPT, DPL, DPHS
- ESTUDIOS Y ENSAYOS GEOFÍSICOS
- PERFORACIONES Y EXTRACCIÓN DIAMANTINAS
- ESTUDIOS GEOTÉCNICOS
- CONTROL DE CALIDAD EN SUELOS CONCRETO Y ASFALTO
- EXTRACCIÓN Y TRASLADO DE MUESTRAS IN SITU



Inscrito en el Registro de Marcas y Servicio de INDECOPI con CERTIFICADO N° 00114425 con Resolución N° 007184-2019-/DSD-INDECOPI

**LABORATORIO DE ENSAYO DE MATERIALES DE CENTAURO INGENIEROS
LABORATORIO DE AGREGADOS Y CONCRETO
INFORME**

EXPEDIENTE N° : 570-2021-AC
 PETICIONARIO : ANDERSON JHORDENIO HUAMÁN PÉREZ
 ATENCION : ANDERSON JHORDENIO HUAMÁN PÉREZ
 OBRA : "APLICACIÓN DE FIBRAS DE GUADUA ANGUSTIFOLIA EN EL DISEÑO DE PAVIMENTOS RÍGIDOS"
 UBICACIÓN : MEJORAMIENTO DE VÍAS URBANAS EN LA AV. PIONEROS; ENTRE LOS TRAMOS AV. PERÚ, JR. MARÍA ARGUEDAS
 FECHA DE RECEPCIÓN : 29 DE ABRIL DEL 2021
 FECHA DE EMISIÓN : 18 DE MAYO DEL 2021

10. CALCULO DEL VOLUMEN ABSOLUTO DE LA PASTA	
CEMENTO	0.11509 m3
AGUA	0.2000 m3
AIRE	0.0200 m3
TOTAL	0.33509 m3

Factor cemento	359
Factor cemento en bolsas	8.45
11. VOLUMEN DEL AGREGADO TOTAL	

12. CALCULO DE MÓDULO DE FINEZA

* Tabla 04 - Módulo de fineza de la combinación de agregados

Factor cemento en sacos	8.45
TMN	3/4 in.
Módulo de fineza	5.15

AGREGADO	1 - Vol. Abs. Past.	VOLUMEN AGREGADO	0.665	m3
13. CALCULO DE PORCENTAJE DE AGREG. FINO				

$r_f = \frac{mg - m}{mg - mf}$	
m	5.15
mg	7.82
mf	2.86
r_f	53.94%

14. CALCULO DE VOLUMEN DE AGREGADOS

AGREGADO FINO	0.359 m3
AGREGADO GRUESO	0.306 m3

15. CALCULO DE PESOS DE LOS AGREGADOS

AGREGADO FINO	897 kg/m3
AGREGADO GRUESO	820 kg/m3

16. DISEÑO EN ESTADO SECO

CEMENTO	359.07 Kg/m3
AGUA	200.00 Lt/m3
AGREGADO FINO	896.97 Kg/m3
AGREGADO GRUESO	820.44 Kg/m3

17. CORRECCION DE DISEÑO POR HUMEDAD

AGREGADO FINO HUMEDO	909.27 Kg/m3
AGREGADO GRUESO HUMEDO	821.03 Kg/m3

HUMEDAD SUPERFICIAL DEL AGREGADO

AGREGADO FINO	1.37%
AGREGADO GRUESO	-0.60%

APORTE DE HUMEDAD

AGREGADO FINO	12.30
AGREGADO GRUESO	-4.89

APORTE DE HUMEDAD DEL AGREGADO

	7.41
AGUA EFECTIVA	192.59

18. DISEÑO DE MEZCLA FINAL

CEMENTO	359.07 kg/m3
AGUA EFECTIVA	192.59 lt
AGREGADO FINO HUMEDO	909.27 kg/m3
AGREGADO GRUESO HUMEDO	815.55 kg/m3
CONCRETO	2276.48

INGENIERIA TÉCNICA
Ing. Victor Peña Dubó
 INGENIERO CIVIL
 C.O.B. N° 10117

Email: grupocentauroingenieros@gmail.com Web: <http://centauroingenieros.com/> Facebook: [centauro ingenieros](https://www.facebook.com/centauroingenieros)
 Av. Mariscal Castilla N° 3950 - El Tambo - Huancayo - Junin (Frente a la 1ra Puerta de la U.N.C.P.) Telf. 064 - 253727 Cel. 992875860 - 964483588 - 964966015

Para verificar la autenticidad del informe puede comunicarse a: grupocentauroingenieros@gmail.com

LABORATORIO DE MECÁNICA DE SUELOS, CONCRETO Y PAVIMENTOS CENTAURO INGENIEROS

SERVICIOS DE:

- ENSAYOS PARA MECÁNICA DE SUELOS
- ENSAYOS EN AGREGADOS PARA CONCRETO Y ASFALTO
- ENSAYOS EN ROCAS
- ENSAYOS QUÍMICOS EN SUELOS Y AGUA
- ENSAYOS SPT, DPL, DPHB
- ESTUDIOS Y ENSAYOS GEOFÍSICOS
- PERFORACIONES Y EXTRACCIÓN DIAMANTINAS
- ESTUDIOS GEOTÉCNICOS
- CONTROL DE CALIDAD EN SUELOS CONCRETO Y ASFALTO
- EXTRACCIÓN Y TRASLADO DE MUESTRAS IN SITU



Inscrito en el Registro de Marcas y Servicio de INDECOPI con CERTIFICADO N° 00114425 con Resolución N° 007184-2019-/DSD-INDECOPI

**LABORATORIO DE ENSAYO DE MATERIALES DE CENTAURO INGENIEROS
LABORATORIO DE AGREGADOS Y CONCRETO
INFORME**

EXPEDIENTE N° : 570-2021-AC
 PETICIONARIO : ANDERSON JHORDENIO HUAMÁN PÉREZ
 ATENCION : ANDERSON JHORDENIO HUAMÁN PÉREZ
 OBRA : "APLICACIÓN DE FIBRAS DE GUADUA ANGUSTIFOLIA EN EL DISEÑO DE PAVIMENTOS RÍGIDOS"
 UBICACIÓN : MEJORAMIENTO DE VÍAS URBANAS EN LA AV. PIONEROS; ENTRE LOS TRAMOS AV. PERÚ, JR. MARÍA ARGUEDAS
 FECHA DE RECEPCIÓN : 29 DE ABRIL DEL 2021
 FECHA DE EMISIÓN : 18 DE MAYO DEL 2021

DOSIFICACIÓN AL PREPARAR CONCRETO EN MOLDE CONOCIDO

VOLUMEN	0.1
CEMENTO	35.907
AGUA EFECTIVA	19.259
AGREGADO FINO HUMEDO	90.927
AGREGADO GRUESO HUMEDO	81.555
CONCRETO	227.648

VOLUMEN DEL CONCRETO MEZCLADO

CEMENTO	359.07	
AGUA	192.59	
AGREGADO FINO	909.27	
AGREGADO GRUESO	815.55	
PESO ESPECIFICO	2276.48	
R A/c		0.54

PROPORCION EN VOLUMEN

CEMENTO	1	42.5 kg/saco
AGUA	22.80	22.80 kg/saco
AGREGADO FINO	2.53	107.62 kg/saco
AGREGADO GRUESO	2.27	96.53 kg/saco

	FINO	GRUESO
PESO UNITARIO SUELTO	1590.63	1437.78

PESO POR PIE3

CEMENTO	42.50 Kg/pie3
AGUA	22.80 Lt/pie3
AGREGADO FINO	45.06 Kg/pie3
AGREGADO GRUESO	40.73 Kg/pie3

19. PROPORCION EN PESO

MATERIALES SIN CORREGIR

CEMENTO	A.F.	A.G	AGUA
359	897	820	200
359	359	359	8.4
1.00	2.50	2.28	23.67


GERENCIA TÉCNICA
 Ing. Victor Peña Dueña
 INGENIERO CIVIL
 CIP. 30459

Email: grupocentauroingenieros@gmail.com Web: <http://centauroingenieros.com/> Facebook: [centauro ingenieros](https://www.facebook.com/centauroingenieros)
 Av. Mariscal Castilla N° 3950 - El Tambo - Huancayo - Junín (Frente a la 1ra Puerta de la U.N.C.P.) Telf. 064 - 253727 Cel. 992875860 - 954483588 - 954968015

Para verificar la autenticidad del informe puede comunicarse a: grupocentauroingenieros@gmail.com

LABORATORIO DE MECÁNICA DE SUELOS, CONCRETO Y PAVIMENTOS CENTAURO INGENIEROS

SERVICIOS DE:

- ENSAYOS PARA MECÁNICA DE SUELOS
- ENSAYOS EN AGREGADOS PARA CONCRETO Y ASFALTO
- ENSAYOS EN ROCAS
- ENSAYOS QUÍMICOS EN SUELOS Y AGUA
- ENSAYOS SPT, DPL, DPHS
- ESTUDIOS Y ENSAYOS GEOFÍSICOS
- PERFORACIONES Y EXTRACCIÓN DIAMANTINAS
- ESTUDIOS GEOTÉCNICOS
- CONTROL DE CALIDAD EN SUELOS CONCRETO Y ASFALTO
- EXTRACCIÓN Y TRASLADO DE MUESTRAS IN SITU



Inscrito en el Registro de Marcas y Servicio de INDECOPI con CERTIFICADO N° 00114425 con Resolución N° 007184-2019-/DSD-INDECOPI

**LABORATORIO DE ENSAYO DE MATERIALES DE CENTAURO INGENIEROS
LABORATORIO DE AGREGADOS Y CONCRETO
INFORME**

EXPEDIENTE N° : 570-2021-AC
 PETICIONARIO : ANDERSON JHORDENIO HUAMÁN PÉREZ
 ATENCIÓN : ANDERSON JHORDENIO HUAMÁN PÉREZ
 OBRA : "APLICACIÓN DE FIBRAS DE GUADUA ANGUSTIFOLIA EN EL DISEÑO DE PAVIMENTOS RÍGIDOS"
 UBICACIÓN : MEJORAMIENTO DE VÍAS URBANAS EN LA AV. PIONEROS; ENTRE LOS TRAMOS AV. PERÚ, JR. MARÍA ARGUEDAS
 FECHA DE RECEPCIÓN : 29 DE ABRIL DEL 2021
 FECHA DE EMISIÓN : 18 DE MAYO DEL 2021

MATERIALES CORREGIDOS

CEMENTO	A.F.	A.G	AGUA
359	909	816	193
359	359	359	8.4
1.00	2.53	2.27	22.80

* RELACION AGUA CEMENTO DE DISEÑO : 0.56
 * RELACION AGUA CEMENTO EFECTIVA (OBRA) : 0.54

20. PROPORCION EN VOLUMEN

CEMENTO	A.F.	A.G	AGUA
42.5	107.6	96.5	22.8
42.5	45.1	40.7	1.0
1.00	2.39	2.37	22.80

21. PESOS POR TANDA DE UNA BOLSA DE CEMENTO

CEMENTO	42.50 Kg/bolsa
AGUA	22.80 Lt/bolsa
AGREGADO FINO HUMEDO	107.62 Kg/bolsa
AGREGADO GRUESO HUMEDO	96.53 Kg/bolsa

OFICINA GENERAL DE INGENIERIA
OPINION TECNICA
 Ing. Victor Peña Dueña
 INGENIERO CIVIL
 CIP 71489

LABORATORIO DE MECÁNICA DE SUELOS, CONCRETO Y PAVIMENTOS CENTAURO INGENIEROS

SERVICIOS DE:

- ENSAYOS PARA MECÁNICA DE SUELOS
- ENSAYOS EN AGREGADOS PARA CONCRETO Y ASFALTO
- ENSAYOS EN ROCAS
- ENSAYOS QUÍMICOS EN SUELOS Y AGUA
- ENSAYOS SPT, DPL, DPHS
- ESTUDIOS Y ENSAYOS GEOFÍSICOS
- PERFORACIONES Y EXTRACCIÓN DIAMANTINAS
- ESTUDIOS GEOTÉCNICOS
- CONTROL DE CALIDAD EN SUELOS CONCRETO Y ASFALTO
- EXTRACCIÓN Y TRASLADO DE MUESTRAS IN SITU



Inscrito en el Registro de Marcas y Servicio de INDECOPI con CERTIFICADO N° 00114425 con Resolución N° 007184-2019-/DSD-INDECOPI

**LABORATORIO DE ENSAYO DE MATERIALES DE CENTAURO INGENIEROS
LABORATORIO DE AGREGADOS Y CONCRETO
INFORME**

EXPEDIENTE N° : 570-2021-AC
 PETICIONARIO : ANDERSON JHORDENIO HUAMÁN PÉREZ
 ATENCION : ANDERSON JHORDENIO HUAMÁN PÉREZ
 PROYECTO : "APLICACIÓN DE FIBRAS DE GUADUA ANGUSTIFOLIA EN EL DISEÑO DE PAVIMENTOS RÍGIDOS"
 UBICACIÓN : MEJORAMIENTO DE VÍAS URBANAS EN LA AV. PIONEROS; ENTRE LOS TRAMOS AV. PERÚ, JR. MARÍA ARGUEDAS
 FECHA DE RECEPCIÓN : 29 DE ABRIL DEL 2021
 FECHA DE EMISIÓN : 18 DE MAYO DEL 2021

PROPIEDADES FÍSICAS DE LOS AGREGADOS

CÓDIGO DE TRABAJO: P-071-2021

A. GRAVEDAD ESPECÍFICA Y ABSORCIÓN DE AGREGADO FINO

Tipo de agregado: AGREGADO FINO Norma: MTC E 205
 Procedencia: CANTERA DE KIMIRI - CHANCHAMAYO, CON COORDENADAS N: 8780738.86 E: 485286.17 Muestra: M-1

DESCRIPCIÓN	CANTIDAD
PESO DE LA FIOLA	351.45
PESO DE LA ARENA SUPERFICIALMENTE SECA + PESO DE LA FIOLA	651.45
PESO DE LA ARENA SUPERFICIALMENTE SECA + PESO DE LA FIOLA + PESO DEL AGUA	963.02
PESO DEL AGUA	309.57
PESO DE LA ARENA SECA	493.80
VOLUMEN DE LA FIOLA	500.00
PESO ESPECÍFICO DE LA MASA	2.59
PESO ESPECÍFICO DE MASA SATURADA SUPERFICIALMENTE SECO	2.63
PESO ESPECÍFICO APARENTE	2.68
PORCENTAJE DE ABSORCIÓN	1.28%

PROPIEDADES FÍSICAS DE LOS AGREGADOS

A. PESO ESPECÍFICO Y ABSORCIÓN DE AGREGADO GRUESO

Tipo de agregado: AGREGADO GRUESO Norma: MTC E 206
 Procedencia: CANTERA DE KIMIRI - CHANCHAMAYO, CON COORDENADAS N: 8780738.86 E: 485286.17 Muestra: M-2

DESCRIPCIÓN	CANTIDAD
PESO DE LA MUESTRA SATURADA SUPERFICIALMENTE SECA	8598.5
PESO DE LA MUESTRA SATURADA SUPERFICIALMENTE SECA DENTRO DEL AGUA + CANASTILLA	6536.5
PESO DE LA CANASTILLA DENTRO DEL AGUA	1126.5
PESO DE LA MUESTRA SATURADA DENTRO DEL AGUA	5410
PESO DE LA MUESTRA SECA	8541.5
PESO ESPECÍFICO DE MASA	2.68
PESO ESPECÍFICO DE MASA SATURADA SUPERFICIALMENTE SECO	2.70
PESO ESPECÍFICO APARENTE	2.73
PORCENTAJE DE ABSORCIÓN	0.67%

PROMEDIO DE PESO ESPECÍFICO Y ABSORCIÓN DEL AGREGADO GRUESO

ENSAYO	M-6	M-8	PROMEDIO
PESO ESPECÍFICO DE MASA	2.68	2.68	2.68
PESO ESPECÍFICO DE MASA SATURADA SUPERFICIALMENTE SECO	2.70	2.70	2.70
PESO ESPECÍFICO APARENTE	2.73	2.73	2.73
PORCENTAJE DE ABSORCIÓN	0.67%	0.67%	0.67%

HC-AC-004 REV.01 FECHA: 2019/10/31

OBSERVACION : Muestra recibida por el Peticionario.
 *EN OBRA CORREGIR POR HUMEDAD.

*EL PRESENTE DOCUMENTO NO DEBERÁ REPRODUCIRSE SIN AUTORIZACIÓN ESCRITA DEL LABORATORIO, SALVO QUE LA REPRODUCCIÓN SEA EN SU TOTALIDAD

LOS RESULTADOS DE LOS ENSAYOS NO DEBEN SER UTILIZADOS COMO UNA CERTIFICACIÓN DE CONFORMIDAD CON NORMAS DE PRODUCTOS O COMO CERTIFICADO DEL SISTEMA DE CALIDAD DE LA ENTIDAD QUE LO PRODUCE. LOS RESULTADOS CORRESPONDEN A LOS ENSAYOS REALIZADOS SOBRE LAS MUESTRAS PROPORCIONADAS POR EL CUENTE AL LABORATORIO DE MECÁNICA DE SUELOS, CONCRETO Y PAVIMENTOS.

(Firma manuscrita)
**INGENIEROS DE SUELOS, CONCRETO Y PAVIMENTOS S.A.
 GERENCIA TÉCNICA**
Ing. Víctor Peña Dueñas
 INGENIERO CIVIL
 C.R. 70482

Email: grupocentauroringenieros@gmail.com Web: <http://centauroringenieros.com/> Facebook: [centauroringenieros](https://www.facebook.com/centauroringenieros)
 Av. Mariscal Castilla N° 3950 - El Tambo - Huancayo - Junín (Frente a la 1ra Puerta de la U.N.C.P.) Telf. 064 - 253727 Cel. 992875860 - 964483588 - 964966015

Para verificar la autenticidad del informe puede comunicarse a: grupocentauroringenieros@gmail.com

LABORATORIO DE MECÁNICA DE SUELOS, CONCRETO Y PAVIMENTOS CENTAURO INGENIEROS

SERVICIOS DE:

- ENSAYOS PARA MECÁNICA DE SUELOS
- ENSAYOS EN AGREGADOS PARA CONCRETO Y ASFALTO
- ENSAYOS EN ROCAS
- ENSAYOS QUÍMICOS EN SUELOS Y AGUA
- ENSAYOS SPT, DPL, DPHS
- ESTUDIOS Y ENSAYOS GEOFÍSICOS
- PERFORACIONES Y EXTRACCIÓN DIAMANTINAS
- ESTUDIOS GEOTÉCNICOS
- CONTROL DE CALIDAD EN SUELOS CONCRETO Y ASFALTO
- EXTRACCIÓN Y TRASLADO DE MUESTRAS IN SITU



Inscrito en el Registro de Marcas y Servicio de INDECOPI con CERTIFICADO N° 00114425 con Resolución N° 007184-2019-/DSD-INDECOPI

**LABORATORIO DE ENSAYO DE MATERIALES DE CENTAURO INGENIEROS
LABORATORIO DE AGREGADOS Y CONCRETO
INFORME**

EXPEDIENTE N° : 570-2021-AC
 PETICIONARIO : ANDERSON JHORDENIO HUAMÁN PÉREZ
 ATENCION : ANDERSON JHORDENIO HUAMÁN PÉREZ
 PROYECTO : "APLICACIÓN DE FIBRAS DE GUADUA ANJUSTIFOUA EN EL DISEÑO DE PAVIMENTOS RÍGIDOS"
 UBICACIÓN : MEJORAMIENTO DE VÍAS URBANAS EN LA AV. PIONEROS; ENTRE LOS TRAMOS AV. PERÚ, JR. MARÍA ARGUEDAS
 FECHA DE RECEPCIÓN : 29 DE ABRIL DEL 2021
 FECHA DE EMISIÓN : 18 DE MAYO DEL 2021

PROPIEDADES FÍSICAS DE LOS AGREGADOS

CÓDIGO DE TRABAJO: P-071-2021

A. GRAVEDAD ESPECÍFICA Y ABSORCIÓN DE AGREGADO FINO

Tipo de agregado: AGREGADO FINO Norma: MTC E 205

Procedencia: CANTERA DE KIMIRI - CHANCHAMAYO, CON COORDENADAS N: 8780738.86 E: 455285.17 Muestra: M-1

DESCRIPCIÓN	CANTIDAD
PESO DE LA FIOLA	151.84
PESO DE LA ARENA SUPERFICIALMENTE SECA + PESO DE LA FIOLA	660
PESO DE LA ARENA SUPERFICIALMENTE SECA + PESO DE LA FIOLA + PESO DEL AGUA	961.01
PESO DEL AGUA	295.01
PESO DE LA ARENA SECA	493.79
VOLUMEN DE LA FIOLA	500.00
PESO ESPECÍFICO DE LA MASA	2.41
PESO ESPECÍFICO DE MASA SATURADA SUPERFICIALMENTE SECO	2.44
PESO ESPECÍFICO APARENTE	2.48
PORCENTAJE DE ABSORCIÓN	1.26%

PROPIEDADES FÍSICAS DE LOS AGREGADOS

A. PESO ESPECÍFICO Y ABSORCIÓN DE AGREGADO GRUESO

Tipo de agregado: AGREGADO GRUESO Norma: MTC E 206

Procedencia: CANTERA DE KIMIRI - CHANCHAMAYO, CON COORDENADAS N: 8780738.86 E: 455285.17 Muestra: M-2

DESCRIPCIÓN	CANTIDAD
PESO DE LA MUESTRA SATURADA SUPERFICIALMENTE SECA	8598.4
PESO DE LA MUESTRA SATURADA SUPERFICIALMENTE SECA DENTRO DEL AGUA + CANASTILLA	6936.4
PESO DE LA CANASTILLA DENTRO DEL AGUA	1126.4
PESO DE LA MUESTRA SATURADA DENTRO DEL AGUA	5410
PESO DE LA MUESTRA SECA	8541.3
PESO ESPECÍFICO DE MASA	2.68
PESO ESPECÍFICO DE MASA SATURADA SUPERFICIALMENTE SECO	2.70
PESO ESPECÍFICO APARENTE	2.73
PORCENTAJE DE ABSORCIÓN	0.67%

PROMEDIO DE GRAVEDAD ESPECÍFICO Y ABSORCIÓN DEL AGREGADO FINO

ENSAYO	M-1	M-2	PROMEDIO
PESO ESPECÍFICO DE MASA	2.59	2.41	2.50
PESO ESPECÍFICO DE MASA SATURADA SUPERFICIALMENTE SECO	2.63	2.44	2.53
PESO ESPECÍFICO APARENTE	2.68	2.48	2.58
PORCENTAJE DE ABSORCIÓN	1.26%	1.26%	1.26%

HC-AC-004 REV.01 FECHA: 2018/10/31

OBSERVACION : Muestra remitida por el Peticionario.

*EN OBRA CORRIGIR POR HUMEDAD.

*EL PRESENTE DOCUMENTO NO DEBERÁ REPRODUCIRSE SIN AUTORIZACIÓN ESCRITA DEL LABORATORIO, SALVO QUE LA REPRODUCCIÓN SEA EN SU TOTALIDAD

LOS RESULTADOS DE LOS ENSAYOS NO DEBEN SER UTILIZADOS COMO UNA CERTIFICACIÓN DE CONFORMIDAD CON NORMAS DE PRODUCTOS O COMO CERTIFICADO DEL SISTEMA DE CALIDAD DE LA ENTIDAD QUE LO PRODUCE. LOS RESULTADOS CORRESPONDEN A LOS ENSAYOS REALIZADOS SOBRE LAS MUESTRAS PROPORCIONADAS POR EL CUENTE AL LABORATORIO DE MECÁNICA DE SUELOS, CONCRETO Y PAVIMENTOS.

INGENIERO EN PAVIMENTOS
GERENCIA TÉCNICA
 Ing. Víctor Peña Dueñas
 INGENIERO CIVIL
 SPT-1048

Email: grupocentauroingenieros@gmail.com Web: <http://centauroingenieros.com/> Facebook: [centauro ingenieros](https://www.facebook.com/centauroingenieros)
 Av. Mariscal Castilla N° 3050 - El Tambo - Huancayo - Junín (Frente a la 1ra Puerta de la U.N.C.P.) Telf. 064 - 253727 Cel. 992875860 - 964483588 - 964966015

Para verificar la autenticidad del informe puede comunicarse a: grupocentauroingenieros@gmail.com

LABORATORIO DE MECÁNICA DE SUELOS, CONCRETO Y PAVIMENTOS CENTAURO INGENIEROS

SERVICIOS DE:

- ENSAYOS PARA MECÁNICA DE SUELOS
- ENSAYOS EN AGREGADOS PARA CONCRETO Y ASFALTO
- ENSAYOS EN ROCAS
- ENSAYOS QUÍMICOS EN SUELOS Y AGUA
- ENSAYOS SPT, DPL, DFHS
- ESTUDIOS Y ENSAYOS GEOFÍSICOS
- PERFORACIONES Y EXTRACCIÓN DIAMANTINAS
- ESTUDIOS GEOTÉCNICOS
- CONTROL DE CALIDAD EN SUELOS CONCRETO Y ASFALTO
- EXTRACCIÓN Y TRASLADO DE MUESTRAS INSITU



Inscrito en el Registro de Marcas y Servicio de INDECOPI con CERTIFICADO N° 00114425 con Resolución N° 007184-2019-/DSD-INDECOPI

**LABORATORIO DE ENSAYO DE MATERIALES DE CENTAURO INGENIEROS
LABORATORIO DE AGREGADOS Y CONCRETO
INFORME**

EXPEDIENTE N° : 570-2021-AC
 PETICIONARIO : ANDERSON JHORDENIO HUAMÁN PÉREZ
 ATENCION : ANDERSON JHORDENIO HUAMÁN PÉREZ
 OBRA : "APLICACIÓN DE FIBRAS DE GUADUA ANGUSTIFOLIA EN EL DISEÑO DE PAVIMENTOS RÍGIDOS"
 UBICACIÓN : MEJORAMIENTO DE VÍAS URBANAS EN LA AV. PIONEROS, ENTRE LOS TRAMOS AV. PERÚ, JR. MARÍA ARGUEDAS
 FECHA DE RECEPCIÓN : 29 DE ABRIL DEL 2021
 FECHA DE EMISIÓN : 28 DE MAYO DEL 2021

PROPIEDADES FÍSICAS DE LOS AGREGADOS

A.- ENSAYO : PESO UNITARIO DEL AGREGADO GRUESO (ASTM C29/29M)

Tipo de agregado: AGREGADO GRUESO Muestra: M-2

Procedencia: CANTERA DE KIMIRI - CHANCHAMAYO, CON COORDENADAS N: 8780738.86 E: 465289.17

I. PESO UNITARIO SUELTO

DESCRIPCIÓN	M-1	M-2	M-3
PESO DE LA MUESTRA SUELTA + RECIPIENTE (kg)	18.819	18.894	18.758
PESO DE RECIPIENTE (kg)	10.836	10.836	10.836
PESO DE LA MUESTRA SUELTA (kg)	7.983	8.058	7.922
FACTOR DE CALIBRACIÓN DEL RECIPIENTE	180	180	180
PESO APARENTE SUELTO (kg/m ³)	1437	1450	1426
PESO UNITARIO PROMEDIO	1438		

II. PESO APARENTE COMPACTADO

DESCRIPCIÓN	M-1	M-2	M-3
PESO DE LA MUESTRA COMPACTADA+ RECIPIENTE (kg)	20.08	19.973	19.999
PESO DE RECIPIENTE (kg)	10.836	10.836	10.836
PESO DE LA MUESTRA COMPACTADA (kg)	9.244	9.137	9.163
FACTOR DE CALIBRACIÓN DEL RECIPIENTE	180	180	180
PESO APARENTE COMPACTADO (kg/cm ³)	1654	1645	1649
PESO UNITARIO PROMEDIO	1653		

B.- ENSAYO : C.H. DEL AGREGADO GRUESO (NORMA C-566)

PESO DE LA MUESTRA HUMEDA (kg)	5.841
PESO DE LA MUESTRA SECADA AL HORNO (kg)	5.837
TARA	0.248
CONTENIDO DE AGUA (kg)	0.004
CONTENIDO DE HUMEDAD (%)	0.07%

RESULTADOS FINALES	CANTIDAD	UNIDAD
PESO UNITARIO SUELTO SECO	1438	kg/m ³
PESO UNITARIO COMPACTADO SECO	1653	kg/m ³
CONTENIDO DE HUMEDAD	0.07%	

HC-AC-004 REV.05 FECHA: 2019/10/31

OBSERVACION : Muestra remitidas por el Peticionario.

* EN OBRA CORREGIR POR HUMEDAD.

* EL PRESENTE DOCUMENTO NO DEBERÁ REPRODUCIRSE SIN AUTORIZACIÓN ESCRITA DEL LABORATORIO, SALVO QUE LA REPRODUCCIÓN SEA EN SU TOTALIDAD

LOS RESULTADOS DE LOS ENSAYOS NO DEBEN SER UTILIZADOS COMO UNA CERTIFICACIÓN DE CONFORMIDAD CON NORMAS DE PRODUCTOS O COMO CERTIFICADO DEL SISTEMA DE CALIDAD DE LA ENTIDAD QUE LO PRODUCE. LOS RESULTADOS CORRESPONDEN A LOS ENSAYOS REALIZADOS SOBRE LAS MUESTRAS PROPORCIONADAS POR EL CLIENTE AL LABORATORIO DE MECÁNICA DE SUELOS, CONCRETO Y PAVIMENTOS.

INGENIEROS GENERALES ORGANISMO TECNICO SAC
GERENCIA TÉCNICA
 Ing. Víctor Peña Dubois
 INGENIERO CIVIL
 CIR. 70499

Email: grupocentauroingenieros@gmail.com Web: <http://centauroingenieros.com/> Facebook: [centauro ingenieros](https://www.facebook.com/centauroingenieros)
 Av. Mariscal Castilla N° 3950 - El Tambo - Huancayo - Junín (Frente a la 1ra Puerta de la U.N.C.P.) Telf. 064 - 253727 Cel. 902875860 - 964483588 - 964968015

Para verificar la autenticidad del informe puede comunicarse a: grupocentauroingenieros@gmail.com

LABORATORIO DE MECÁNICA DE SUELOS, CONCRETO Y PAVIMENTOS CENTAURO INGENIEROS

SERVICIOS DE:

- ENSAYOS PARA MECÁNICA DE SUELOS
- ENSAYOS EN AGREGADOS PARA CONCRETO Y ASFALTO
- ENSAYOS EN ROCAS
- ENSAYOS QUÍMICOS EN SUELOS Y AGUA
- ENSAYOS SPT, DPL, DPHS
- ESTUDIOS Y ENSAYOS GEOFÍSICOS
- PERFORACIONES Y EXTRACCIÓN DIAMANTINAS
- ESTUDIOS GEOTÉCNICOS
- CONTROL DE CALIDAD EN SUELOS CONCRETO Y ASFALTO
- EXTRACCIÓN Y TRASLADO DE MUESTRAS IN SITU



Inscrito en el Registro de Marcas y Servicio de INDECOPI con CERTIFICADO N° 00114425 con Resolución N° 007184-2019-/DSD-INDECOPI

**LABORATORIO DE ENSAYO DE MATERIALES DE CENTAURO INGENIEROS
LABORATORIO DE AGREGADOS Y CONCRETO
INFORME**

EXPEDIENTE N° : 570-2021-AC
 PETICIONARIO : ANDERSON JHORDENIO HUAMÁN PÉREZ
 ATENCION : ANDERSON JHORDENIO HUAMÁN PÉREZ
 OBRA : "APLICACIÓN DE FIBRAS DE GUADUA ANGUSTIFOLIA EN EL DISEÑO DE PAVIMENTOS RÍGIDOS"
 UBICACIÓN : MEJORAMIENTO DE VÍAS URBANAS EN LA AV. PIONEROS; ENTRE LOS TRAMOS AV. PERÚ, JR. MARÍA ARGUEDAS
 FECHA DE RECEPCIÓN : 29 DE ABRIL DEL 2021
 FECHA DE EMISIÓN : 18 DE MAYO DEL 2021

PROPIEDADES FÍSICAS DE LOS AGREGADOS

A.- ENSAYO : PESO UNITARIO DEL AGREGADO FINO (NORMA ASTM C29/20M)

Tipo de agregado: AGREGADO FINO Muestra: M-1
 Procedencia: CANTERA DE KIMIRI - CHANCHAMAYO, CON COORDENADAS N: 8780738.85 E: 465289.17
 I. PESO APARENTE SUELTO

DESCRIPCIÓN	M-1	M-2	M-3
PESO DE LA MUESTRA SUELTA + RECIPIENTE (kg)	6.184	6.272	6.068
PESO DE RECIPIENTE (kg)	1.63	1.63	1.63
PESO DE LA MUESTRA SUELTA (kg)	4.554	4.642	4.438
FACTOR DE CALIBRACIÓN DEL RECIPIENTE	350	350	350
PESO APARENTE SUELTO (kg/cm³)	1594	1625	1553
PESO UNITARIO PROMEDIO	1591		

II. PESO APARENTE COMPACTADO

DESCRIPCIÓN	M-1	M-2	M-3
PESO DE LA MUESTRA COMPACTADA+ RECIPIENTE (kg)	6.623	6.592	6.600
PESO DE RECIPIENTE (kg)	1.63	1.63	1.63
PESO DE LA MUESTRA COMPACTADA (kg)	4.993	4.962	4.970
FACTOR DE CALIBRACIÓN DEL RECIPIENTE	350	350	350
PESO APARENTE COMPACTADO (kg/cm³)	1748	1737	1740
PESO UNITARIO PROMEDIO	1741		

B.- ENSAYO : C.H. TOTAL DEL AGREGADO FINO (NORMA C-56B)

PESO DE LA MUESTRA HUMEDA (kg)	1.3706
PESO DE LA MUESTRA SECADA AL HORNO (kg)	1.3378
TARA	0.0838
CONTENIDO DE AGUA (kg)	0.0328
CONTENIDO DE HUMEDAD (%)	2.63%

RESULTADOS FINALES	CANTIDAD	UNIDAD
PESO UNITARIO SUELTO SECO	1591	kg/m ³
PESO UNITARIO COMPACTADO SECO	1741	kg/m ³
CONTENIDO DE HUMEDAD	2.63%	

HC-AC-004 REV.05 FECHA: 2019/10/31

OBSERVACION : Muestra remitidas por el Peticionario.

*EN OBRA CORREGIR POR HUMEDAD.

*EL PRESENTE DOCUMENTO NO DEBERÁ REPRODUCIRSE SIN AUTORIZACIÓN ESCRITA DEL LABORATORIO, SALVO QUE LA REPRODUCCIÓN SEA EN SU TOTALIDAD

LOS RESULTADOS DE LOS ENSAYOS NO DEBEN SER UTILIZADOS COMO UNA CERTIFICACIÓN DE CONFORMIDAD CON NORMAS DE PRODUCTOS O COMO CERTIFICADO DEL SISTEMA DE CALIDAD DE LA ENTIDAD QUE LO PRODUCE. LOS RESULTADOS CORRESPONDEN A LOS ENSAYOS REALIZADOS SOBRE LAS MUESTRAS PROPORCIONADAS POR EL CLIENTE AL LABORATORIO DE MECÁNICA DE SUELOS, CONCRETO Y PAVIMENTOS.

PROFESIONES REGULADAS CERTIFICADO INGENIEROS SAC
GERENCIA TÉCNICA
 Ing. Víctor Peña Duazo
 INGENIERO CIVIL
 CIP: 70450

Email: grupocentauroingenieros@gmail.com Web: <http://centauroingenieros.com/> Facebook: [centauroingenieros](https://www.facebook.com/centauroingenieros)
 Av. Mariscal Castilla N° 3950 - El Tambo - Huancayo - Junín (Frente a la 1ra Puerta de la U.N.C.P.) Telf. 064 - 253727 Cel. 992675860 - 964483588 - 964966015

Para verificar la autenticidad del informe puede comunicarse a: grupocentauroingenieros@gmail.com

LABORATORIO DE MECÁNICA DE SUELOS, CONCRETO Y PAVIMENTOS



CENTAURO INGENIEROS
LABORATORIO DE ENSAYO ACREDITADO POR EL ORGANISMO
PERUANO DE ACREDITACION INACAL - DA CON REGISTRO Nº LE-141



Informe de ensayo con valor oficial

Boletín N° LC - 141

Inscrito en el Registro de Marcas y Servicio de INDECOPI con CERTIFICADO Nº 00114425 con Resolución Nº 007184-2019-/DSD-INDECOPI

LABORATORIO DE ENSAYO DE MATERIALES DE CENTAURO INGENIEROS
LABORATORIO DE AGREGADOS Y CONCRETO
INFORME

EXPEDIENTE Nº : 571-2021-AC
PETICIONARIO : ANDERSON JHORDENIO HUAMÁN PÉREZ
ATENCIÓN : ANDERSON JHORDENIO HUAMÁN PÉREZ
PROYECTO : "APLICACIÓN DE FIBRAS DE GUADUA ANGUSTIFOLIA EN EL DISEÑO DE PAVIMENTOS RÍGIDOS"
UBICACIÓN : MEJORAMIENTO DE VÍAS URBANAS EN LA AV. PIONEROS, ENTRE LOS TRAMOS AV. PERÚ, AL MARÍA ARGUEDAS
FECHA DE RECEPCIÓN : 26 DE ABRIL DEL 2021
FECHA DE EMISIÓN : 18 DE MAYO DEL 2021

PROPIEDADES FÍSICAS DE LOS AGREGADOS

MÉTODO: ASTM C136 / C136M - IN STANDARD TEST METHOD FOR SIEVE ANALYSIS OF FINE AND COARSE AGGREGATES

AGREGADO GRUESO

CÓDIGO DE TRABAJO: P-071-2021

Procedencia de la muestra: CANTERA DE KIMIRI - CHANCHAMAYO, CON COORDENADAS N: 8780738.86 E: 465289.17

Página 1 de 1

Tipo de muestra: ALTERADA

Muestra: M-2

Tamaño máximo Nóminal:

3/4 in.

Masa+ Tara (g) :	5631
Tara (g) :	324
Masa (g) :	5307

CUMPLE MASA
RETENIDA COMO
MÍNIMA

TAMIZ	ABERTURA DE TAMIZ (mm)	PESO RETENIDO (g)	% RETENIDO	% RETENIDO ACUMULADO	% QUE PASA
5 in.	125	-	-	-	100.0
4 in.	100	-	-	-	100.0
3 1/2 in.	90	-	-	-	100.0
3 in.	75	-	-	-	100.0
2 1/2 in.	63	-	-	-	100.0
2 in.	50	-	-	-	100.0
1 1/2 in.	37.5	-	-	-	100.0
1 in.	25	-	-	-	100.0
3/4 in.	19	4,356.0	82.1	82.1	17.9
1/2 in.	12.5	947.7	17.9	99.9	0.1
3/8 in.	9.5	-	-	99.9	0.1
No. 4	4.75	-	-	99.9	0.1
No. 8	2.36	0.3	0.0	99.9	0.1
No. 16	1.18	0.2	0.0	99.9	0.1
No. 30	0.6	0.1	0.0	99.9	0.1
No. 50	0.3	0.3	0.0	100.0	0.0
No. 100	0.15	0.5	0.0	100.0	0.0
No. 200	0.075	1.0	0.0	100.0	0.0
Fondo		0.9	0.0	100.0	-
TOTAL		5,307.00	100.00	MÓDULO	7.8

HC-AC-031 VER.01 REV.00 FECHA: 2020/11/20

NOTA:

Fecha de ensayo : 2021-05-04
Temperatura Ambiente : 21,8 °C
Humedad relativa : 39 %
Área donde realizó el ensayo : Suabe 8 y Concreto

OBSERVACION: Muestreo e identificación realizados por el Peticionario.

*Las datos proporcionados por el cliente son los siguientes: Peticionario, Atención, Nombre del proyecto, Ubicación.

*EL PRESENTE DOCUMENTO NO DEBERÁ REPRODUCIRSE SIN AUTORIZACIÓN ESCRITA DEL LABORATORIO, SALVO QUE LA REPRODUCCIÓN SEA EN SU TOTALIDAD.

*LOS RESULTADOS DE LOS ENSAYOS NO DEBERN SER UTILIZADOS COMO UNA CERTIFICACIÓN DE CONFORMIDAD CON NORMAS DE PRODUCTOS O COMO CERTIFICADO DEL SISTEMA DE CALIDAD DE LA ENTIDAD QUE LO PRODUCE. LOS RESULTADOS CORRESPONDEN A LOS ENSAYOS REALIZADOS SOBRE LAS MUESTRAS PROPORCIONADAS POR EL CLIENTE AL LABORATORIO DE MECÁNICA DE SUELOS, CONCRETO Y PAVIMENTOS.

Fin de página
MISIONES: 11425 CERTIFICADO N° 00114425 SAC
GERENCIA TÉCNICA
Ing. Víctor Peña Dueña
INGENIERO CIVIL
C.P. 70485

Email: grupocentauroingenieros@gmail.com Web: <http://centauroingenieros.com/> Facebook: [centauroingenieros](https://www.facebook.com/centauroingenieros)
Av. Mariscal Castilla N° 3950 - El Tambo - Huancayo - Junín (Frente a la 1ra Puerta de la U.N.C.P.) Telf. 064 - 253727 Cel. 992875860 - 964483588 - 964968015

Para verificar la autenticidad del informe puede comunicarse a: grupocentauroingenieros@gmail.com

LABORATORIO DE MECÁNICA DE SUELOS, CONCRETO Y PAVIMENTOS



CENTAURO INGENIEROS
LABORATORIO DE ENSAYO ACREDITADO POR EL ORGANISMO
PERUANO DE ACREDITACION INACAL - DA CON REGISTRO Nº LE-141



Informe de ensayo con valor oficial

Registro N° LE-141

Inscrito en el Registro de Marcas y Servicio de INDECOPI con CERTIFICADO Nº 00114425 con Resolución Nº 007184-2019-/DSD-INDECOPI

LABORATORIO DE ENSAYO DE MATERIALES DE CENTAURO INGENIEROS
LABORATORIO DE AGREGADOS Y CONCRETO
INFORME

EXPEDIENTE N° : 1571-2021-AC
PETICIONARIO : ANDERSON JHORDENIO HUAMAN PÉREZ
ATENCIÓN : ANDERSON JHORDENIO HUAMAN PÉREZ
PROYECTO : "APLICACIÓN DE FIBRAS DE GUADUA ANGUSTIFOLIA EN EL DISEÑO DE PAVIMENTOS RÍGIDOS"
UBICACIÓN : MEJORAMIENTO DE VÍAS URBANAS EN LA AV. PIONEROS, ENTRE LOS TRAMOS AV. PERÚ, JL. MANA ANQUEDES
FECHA DE RECEPCIÓN : 28 DE ABRIL DEL 2021
FECHA DE EMISIÓN : 18 DE MAYO DEL 2021

PROPIEDADES FÍSICAS DE LOS AGREGADOS

MÉTODO: ASTM C136 / C136M - STANDARD TEST METHOD FOR SIEVE ANALYSIS OF FINE AND COARSE AGGREGATES

AGREGADO FINO

CÓDIGO DE TRABAJO: P-071-2021

Procedencia de la muestra: CANTERA DE KIMIRI - CHANCHAMAYO, CON COORDENADAS N: 8780738.86 E: 455289.17

Tipo de muestra: ALTERADA

Muestra: M-1

Página 1 de 1

Tamaño máximo nominal:

No. 4

Masa+ Tara (g) :	1166
Tara (g) :	89.4
Masa (g) :	1076.6

CUMPLE MASA
RETENIDA COMO
MÍNIMA

TAMIZ	ABERTURA DE TAMIZ (mm)	PESO RETENIDO (g)	% RETENIDO	% RETENIDO ACUMULADO	% QUE PASA
5 in.	125	-	-	-	100.0
4 in.	100	-	-	-	100.0
3 1/2 in.	90	-	-	-	100.0
3 in.	75	-	-	-	100.0
2 1/2 in.	63	-	-	-	100.0
2 in.	50	-	-	-	100.0
1 1/2 in.	37.5	-	-	-	100.0
1 in.	25	-	-	-	100.0
3/4 in.	19	-	-	-	100.0
1/2 in.	12.5	-	-	-	100.0
3/8 in.	9.5	17.0	1.6	1.6	98.4
No. 4	4.75	55.0	5.1	6.7	93.3
No. 8	2.36	40.9	3.8	10.5	89.5
No. 16	1.18	185.0	17.2	27.7	72.3
No. 30	0.6	362.3	33.6	61.3	38.7
No. 50	0.3	251.9	23.4	84.7	15.3
No. 100	0.15	116.8	10.9	95.6	4.4
No. 200	0.075	30.2	2.8	98.4	1.6
Fondo		17.5	1.6	100.0	-
TOTAL		1,076.60	100.00	MÓDULO	2.9

HC-AC-031 VER.01 REV.00 FECHA: 2020/11/20

NOTA:

Fecha de ensayo : 2021-05-04

Temperatura Ambiente : 21.4 °C

Humedad relativa : 44 %

Área donde realizó el ensayo : Suelos II y Concreto

OBSERVACIÓN: Muestra e identificación realizadas por el Peticionario.

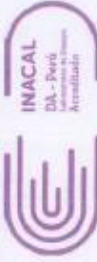
*Los datos proporcionados por el cliente son los siguientes: Peticionario, Atención, Nombre del proyecto, Ubicación.

*EL PRESENTE DOCUMENTO NO DEBERÁ REPRODUCIRSE SIN AUTORIZACIÓN ESCRITA DEL LABORATORIO, SALVO QUE LA REPRODUCCIÓN SEA EN SU TOTALIDAD.

*LOS RESULTADOS DE LOS ENSAYOS NO DEBEN SER UTILIZADOS COMO UNA CERTIFICACIÓN DE CONFORMIDAD CON NORMAS DE PRODUCTOS O COMO CERTIFICADO DEL SISTEMA DE CALIDAD DE LA ENTIDAD QUE LO PRODUCE. LOS RESULTADOS CORRESPONDEN A LOS ENSAYOS REALIZADOS SOBRE LAS MUESTRAS PROPORCIONADAS POR EL CLIENTE AL LABORATORIO DE MECÁNICA DE SUELOS, CONCRETO Y PAVIMENTO.

Hoja de página
INGENIEROS DE CALIDAD DE LA CASA S.A.
GERENCIA TÉCNICA
Ing. Víctor Peña Dueñas
INGENIERO CIVIL
CIP 71489

Email: grupocentauroingenieros@gmail.com Web: <http://centauroingenieros.com/> Facebook: [centauro ingenieros](https://www.facebook.com/centauroingenieros)
Av. Mariscal Castilla N° 3950 - El Tambo - Huancayo - Junín (Frente a la 1ra Puerta de la U.N.C.P.) Telf. 064 - 253727 Cel. 992875880 - 964483588 - 964966015
Para verificar la autenticidad del informe puede comunicarse a: grupocentauroingenieros@gmail.com



LABORATORIO DE ENSAYO ACREDITADO POR EL ORGANISMO PERUANO DE ACREDITACION INACAL - DA CON REGISTRO Nº LE-341



Informe de ensayo con valor oficial
Inscrito en el Registro de Marcas y Servicio de INDECOPI con CERTIFICADO Nº 00114425 con Resolución Nº 007184-2019-/OSD-INDECOPI

Resolución Nº 141

LABORATORIO DE ENSAYO DE MATERIALES CENTAURO INGENIEROS
LABORATORIO DE BARRIDOS Y CONCRETO

EXPEDIENTE Nº : 649-2021-JC
 PETICIONARIO : BUCHI ANDRISON JORDENDO HUAMAN PÉREZ
 ATENCIÓN : BUCHI ANDRISON JORDENDO HUAMAN PÉREZ
 PROYECTO : "APLICACIÓN DE FIBRAS DE GUADUA ANGIUSTIFOLIA EN EL DISEÑO DE PAVIMENTOS RIGIDOS"
 UBICACIÓN : MEJORAMIENTO DE VÍAS URBANAS EN LA AV. PINEROS, ENTRE LOS TRAMOS AV. PERÚ, JR. MAXIA ARQUEDES - DISTRITO Y PROVINCIA DE CHANCHAMAYO - JUNÍN.
 FECHA DE RECEPCIÓN : 21 DE MAYO DEL 2021.
 FECHA DE EMISIÓN : 26 DE MAYO DEL 2021.

FORMA DE ENSAYO (Nº de es):

METODO: Resistencia a la compresión de Especificación Colámbia de Concreto.
METODO: ASTM C39 (3988-30) Standard Test Method for Compressive Strength of Cylindrical Concrete Specimens.

MUESTRA	CODIGO DE TRABAJO	ESTRUCTURA DE PROCEDENCIA	TIPO DE MUESTRA	FECHA DE MUESTRO	FECHA DE BATAJA	ESADO	DIAMETRO EFECTIVO PROMEDIO (mm)	ALTIMO DE EMPUJEN (mm)	AREA DE LA SECCION TRANSVERSAL (mm ²)	CARGA MÁXIMA (kN)	RESISTENCIA DE EMPUJEN (MPa)	RESISTENCIA DE EMPUJEN (kg/cm ²)	RESISTENCIA DE DISEÑO (MPa)	% RESIL FRACTURA	TIPO DE FRACTURA	DISPOSICION
Z-1	E-009-2021	ELABORACIÓN DE ESPECIMEN EN EL LABORATORIO	PROBETA DE CONCRETO CILINDRICA	20/05/2021	20/05/2021	3	101,65	255,2	8330,0	381,6	381,6	381,6	210	120%	TRPO S	NO
Z-2	E-009-2021	ELABORACIÓN DE ESPECIMEN EN EL LABORATORIO	PROBETA DE CONCRETO CILINDRICA	20/05/2021	20/05/2021	3	50,82	351,7	6660,4	201,9	201,9	201,9	210	122%	TRPO S	NO
Z-3	E-009-2021	ELABORACIÓN DE ESPECIMEN EN EL LABORATORIO	PROBETA DE CONCRETO CILINDRICA	20/05/2021	20/05/2021	3	99,59	254,8	8985,3	377,5	377,5	377,5	210	120%	TRPO B	NO

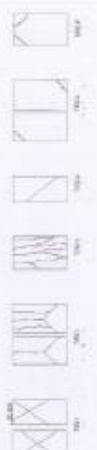
IPUDS PLAN (091)

TPO 1 : Cajas con altura bien domada, en ambas bases, mesa de Zorra de goma en cada lado.
 TPO 2 : Cajas con altura bien domada, en ambas bases, mesa de Zorra de goma en un lado.
 TPO 3 : Cajas con altura bien domada, en ambas bases, mesa de Zorra de goma en el otro lado.
 TPO 4 : Pruebas diagonales en gomas en las bases.
 TPO 5 : Pruebas de labas en las bases (gomas a febrero) con una comunicación con las bases de eslabados.
 TPO 6 : Zorra al tipo 3 junto al control del labado en actitudes.

Controlado	
Cap	
AN	X

NOTA ILUSTRATIVA: UNA MUESTRA DE CONCRETO DE ACUERDO AL REGLAMENTO NACIONAL DE CONSTRUCCION LA CONSTITUYEN DOS PRUEBAS, PARA CADA BATAJA Y CANTIDAD DE CONCRETO

BATAJA DE EMPUJEN : 3001-06-25
 TEMPERATURA AMBIENTE : 15,7°C
 HUMEDAD RELATIVA : 55%
 AREA DONDE SE REALIZÓ EL ENSAYO : AREA DE ENSAYOS ESPECIALES
 OBSERVACIONES: INTERESTADO REALIZADO POR EL PERSONAL DE LABORATORIO.
 * LOS DATOS PROPORCIONADOS POR EL PETICIONARIO SON LOS OBTENIDOS DEL PROYECTO, ATENCION, HOMER DEL PROYECTO, UBICACION, RESISTENCIA DE DISEÑO.
 * LOS DATOS PROPORCIONADOS POR EL PETICIONARIO SON LOS OBTENIDOS DEL PROYECTO, ATENCION, HOMER DEL PROYECTO, UBICACION, RESISTENCIA DE DISEÑO.
 * LOS RESULTADOS DE LOS ENSAYOS NO DEBEN SER UTILIZADOS COMO UNA CERTIFICACION DE CONFORMIDAD CON NORMAS DE PRODUCTO O COMO CERTIFICACION DEL SISTEMA DE CALIDAD DE LA EMPRESA QUE LO PRODUCE. LOS RESULTADOS CORRESPONDEN A LOS ENSAYOS REALIZADOS SOBRE LAS MUESTRAS PROPORCIONADAS POR EL CUENTE AL LABORATORIO DE MECANICA DE SUELOS, CONCRETO Y PAVIMENTOS.
 RE-AJ-001. REV.03. FECHA: 20/04/2019



Fin de Pagina





LABORATORIO DE ENSAYO DE MATERIALES CEN TAURO INGENIEROS
LABORATORIO DE ASRIEGADOS Y CONCRETO
INFORME

EXPEDIENTE N°: 735-2021-AC
PETICIONARIO: BACH. ANDERSON HENDERSON HUAMAN PEREZ
ATENCIÓN: BACH. ANDERSON HENDERSON HUAMAN PEREZ
PROYECTO: "APLICACIÓN DE FIBRAS DE QUIMIA AUSTRIACA EN EL DISEÑO DE PAVIMENTOS RIGIDOS"
UBICACIÓN: MEDIANTE DE VÍAS URBANAS EN LA AV. HIDROELECTRICA ENTRE LOS TRAMOS AV. PERU, 30, HIGÜERA ARGUENAS - DISTRITO Y PROVINCIA DE CHIMBOTE - JUNIN.
FECHA DE RECEPCIÓN: 21 DE MAYO DEL 2021
FECHA DE EMISIÓN: 01 DE JUNIO DEL 2021

INFORME DE ENSAYO (PÁG. 01 DE 04)

MUESTRA	CÓDIGO DE TRABAJO	ESTRUCTURA DE PROVEDENCIA	TIPO DE MUESTRA	FECHA DE MOLDEO	FECHA DE ROTURA	EDAD	DIÁMETRO SUPERIOR PROMEDIADO (mm)	ALTIMA DE ESPESOR PROMEDIADO (mm)	ÁREA DE LA SECCIÓN TRANSVERSAL (mm²)	CARGA MÁXIMA (N)	RESISTENCIA DE ESPESOR (N/mm²)	RESISTENCIA DE COMPRESIÓN (N/mm²)	TIPO DE FRACTURA	DEFECTOS		
2-4	E-495-S01	ELABORACIÓN DE ESPESIMEN EN EL LABORATORIO	PROBETA DE CONCRETO CILINDRICAL	20/05/2021	27/05/2021	7	302.43	204.4	61863.3	281.0	37.3	373.3	230	137%	TIPO 5	NO
3-5	E-494-S01	ELABORACIÓN DE ESPESIMEN EN EL LABORATORIO	PROBETA DE CONCRETO CILINDRICAL	20/05/2021	27/05/2021	7	302.206	206.0	61316.0	323.4	38.8	383.1	230	133%	TIPO 5	NO
2-6	E-495-S01	ELABORACIÓN DE ESPESIMEN EN EL LABORATORIO	PROBETA DE CONCRETO CILINDRICAL	20/05/2021	27/05/2021	7	302.085	204.4	61222.2	282.3	35.1	333.0	230	135%	TIPO 5	NO



NOTA ILUSTRATIVA: UNA MUESTRA DE CONCRETO DE ACUERDO AL REGLAMENTO NACIONAL DE CONSTRUCCIÓN LA COMITEN EN DOS PROBETAS, PARA CADA EDAD Y CALIDAD DE CONCRETO

TIPO 1: Concreto adherido bien formado, en ambas bases, menos de 25mm de grietas en capa.
TIPO 2: Concreto adherido sobre una base, desplazamiento de grietas verticales o trazo de las capas, como se han definido en la tabla.
TIPO 3: Concreto adherido sobre una base, desplazamiento de grietas verticales o trazo de las capas, como se han definido en la tabla.
TIPO 4: Fractura diagonal en grietas en las bases, grietas con marcos para difracción del tipo 1.
TIPO 5: Fractura de tipo 5 pero el terminal de cilindro se dobló o dobló.
OTROS: Concreto
Cap: Concreto
AV: Adhesivos de resina

FECHA DE ENSAYO: 2021-05-27
TEMPERATURA AMBIENTE: 15.7°C
ÁREA LABORAL: 61222.2 mm²
ÁREA LABORAL DE ENSAYO: 61222.2 mm²
OPERACIONES REALIZADAS POR EL PERSONAL DEL LABORATORIO: OPERACIONES REALIZADAS POR EL PERSONAL DEL LABORATORIO.
EL PRESENTE DOCUMENTO NO DEBE REPRODUCIRSE SIN AUTORIZACIÓN ESCRITA DEL LABORATORIO, SALVO QUE LA REPRODUCCIÓN SEA SU TOTALIDAD.
LOS RESULTADOS DE LOS ENSAYOS NO DEBE SER UTILIZADOS COMO UNA CERTIFICACIÓN DE CONFORMIDAD CON NORMAS DE PRODUCTOS O COMO CERTIFICACIÓN DEL SISTEMA DE CALIDAD DE LA EMPRESA QUE LO PRODUCE. LOS RESULTADOS CORRESPONDEN A LOS ENSAYOS REALIZADOS SOBRE LAS MUESTRAS FOTOCOPIADAS POR EL CLIENTE AL LABORATORIO DE MECÁNICA DE SUELOS, CONCRETO Y PAVIMENTOS.

ING. ANDERSON HENDERSON HUAMAN PEREZ
LABORATORIO DE MECÁNICA DE SUELOS, CONCRETO Y PAVIMENTOS
CEN TAURO INGENIEROS
AV. HIGÜERA ARGUENAS 30, JUNIN
Tel: 064-253727 Col: 9922875860 - 964483588 - 964960015
www.centauroingenieros.com
Facebook: centauroingenieros

Email: grupocentauroingenieros@gmail.com **Web: http://centauroingenieros.com/** **Facebook: centauroingenieros**
Av. Maticiscal Castilla Nº 39.50 - El Tambo - Huancayo - Junin (Frente a la 1ra Puerla de la U.N.C.P.) **Tel: 064 - 253727 Col: 9922875860 - 964483588 - 964960015**
Para verificar la autenticidad del informe puede comunicarse a: grupocentauroingenieros@gmail.com

LABORATORIO DE MECÁNICA DE SUELOS, CONCRETO Y PAVIMENTOS CENTAURO INGENIEROS



LABORATORIO DE ENSAYO ACREDITADO POR EL ORGANISMO PERUANO DE ACREDITACION INACAL - DA CON REGISTRO Nº LE-141

Informe de ensayo con valor oficial

Inscrito en el Registro de Marcas y Servicio de INDECOP con CERTIFICADO Nº 00114425 con Resolución Nº 007184-2019-/DSD-INDECOP1



DISEÑO N° LE - 141

LABORATORIO DE ENSAYO DE MATERIALES CENTAURO INGENIEROS LABORATORIO DE ACEROS, MADERA Y CONCRETO

EXPEDIENTE N°
PETICIONARIO
ATENCIÓN
PROYECTO
UBICACIÓN
FECHA DE RECEPCIÓN
FECHA DE EMISIÓN

: 750-2021-4C
: BNCH, ANDERSON ANDRÉS HUAMÁN PÉREZ
: BNCH, ANDERSON ANDRÉS HUAMÁN PÉREZ
: "APLICACIÓN DE FIBRAS DE GUADUA ANGUSTIFOLIA EN EL DISEÑO DE PAVIMENTOS RÍGIDOS"
: MEJORAMIENTO DE VÍAS URBANAS EN LA AV. PIONEROS, ENTRE LOS TRAMOS N° PERÚ, JR. MARÍA ARGUEDAS - DISTRITO Y PROVINCIA DE CHIRICHAWAYO - JUNÍN.
: 21 DE MAYO DEL 2021
: 04 DE JUNIO DEL 2021

INFORME DE ENSAYO PÁGULAS DE 601

OBJETO:
Resistencia a la Compresión de Especificaciones Obligatorias de Concreto.

MÉTODO:
ASTM C39/C39M-20c: Standard Test Method for Compressive Strength of Cylindrical Concrete Specimens.

MUESTRA	CÓDIGO DE TRABAJO	ESTRUCTURA DE PROCEDENCIA	TIPO DE MUESTRA	FECHA DE MUESTRO	FECHA DE BOTARLA	EDADE	DIAMETRO DE LA COLUMNA (mm)	ALTIMETRO DE EFECTIVO PROFUNDIDAD (mm)	ÁREA DE LA TRANSVERSAL (mm²)	CARGA MÁXIMA ESPECIAL (kN)	RESISTENCIA ESPECIAL (MPa)	RESISTENCIA DE DISEÑO (MPa)	RESISTENCIA DE DISEÑO (MPa)	% INCL.	TIPO DE MUESTRA	DEFECTOS
Z-7	E-096-2021	ELABORACIÓN DE ESPECÍMEN EN EL LABORATORIO	PROBETAS DE CONCRETO CILINDRICAS	20/05/2021	3/06/2021	14	300,10	205,3	7881,0	332,6	41,1	40,9	21,0	200%	TIPO 2	NO
Z-8	E-096-2021	ELABORACIÓN DE ESPECÍMEN EN EL LABORATORIO	PROBETAS DE CONCRETO CILINDRICAS	20/05/2021	3/06/2021	14	300,28	205,1	7884,0	330,0	39,5	39,4	21,0	188%	TIPO 1	NO
Z-8	E-096-2021	ELABORACIÓN DE ESPECÍMEN EN EL LABORATORIO	PROBETAS DE CONCRETO CILINDRICAS	20/05/2021	3/06/2021	14	300,10	205,8	7883,0	317,7	40,0	40,5	21,0	195%	TIPO 3	NO

TIPO DE MUESTRA:

- TIPO 1 : Como receptáculos en el terreno, en unida bases, y eno de 20cm de grueso, en raspa.
- TIPO 2 : Como receptáculos en el terreno, en unida bases, y eno de 20cm de grueso, ventilado a nivel de la cota, con o sin deflección en la base.
- TIPO 3 : Como receptáculos en el terreno, en unida bases, y eno de 20cm de grueso, ventilado a nivel de la cota, con o sin deflección en la base.
- TIPO 4 : Fractura diagonal en probetas a las bases, probetas con trazo para diferenciar del tipo 1.
- TIPO 5 : Fractura diagonal en las bases (superior e inferior) con un consumo de la probeta con la capa de endurecimiento.
- TIPO 6 : Similar al tipo 5 pero al nivel de la cota de la probeta.

CT	<input type="checkbox"/>
CP	<input type="checkbox"/>
CC	<input type="checkbox"/>
CCP	<input type="checkbox"/>
CCP	<input type="checkbox"/>
AN	<input checked="" type="checkbox"/>

NOTA ALTERNATIVA: UNA MUESTRA DE CONCRETO DE ACUERDO AL REGLAMENTO NACIONAL DE CONSTRUCCIÓN LA CONSTITUYENDO PROBETAS, PARA CADA EDAD Y CALIDAD DE CONCRETO

FECHA DE ENSAYO:

TEMPERATURA AMBIENTE : 20,2°C-23
TEMPERATURA AMBIENTE : 15,7°C
HUMEDAD RELATIVA : 54%

RESUMEN DE RESULTADOS DEL ENSAYO : AREA DE PRUEBAS ESPECIALES

RESUMEN DE RESULTADOS DEL ENSAYO : AREA DE PRUEBAS ESPECIALES

RESUMEN DE RESULTADOS DEL ENSAYO : AREA DE PRUEBAS ESPECIALES

RESUMEN DE RESULTADOS DEL ENSAYO : AREA DE PRUEBAS ESPECIALES

RESUMEN DE RESULTADOS DEL ENSAYO : AREA DE PRUEBAS ESPECIALES



Gerencia Técnica
Ingeniero Pablo Dueñas
CIP 20489

Página 1 de 1

Email: grupocentauroringenieros@gmail.com Web: <http://centauroringenieros.com/> Facebook: centauroringenieros
Av. Mariscal Castilla N° 3600 - El Tambo - Huancayo - Junín (Frente a la 1ra Puerta de la U.N.C.P.) Telf. 064 - 253727 Cel. 992875860 - 964463588 - 964666015
Para verificar la autenticidad del informe puede comunicarse a: grupocentauroringenieros@gmail.com



Informe de ensayo con valor oficial
 Inscrito en el Registro de Marcas y Servicio de INDECOPI con Resolución Nº 00114425 con Resolución Nº 007184-2019-/DSD-INDECOPI

LABORATORIO DE ENSAYO DE MATERIALES CENTAURO INGENIEROS
LABORATORIO DE ABRIGADOS Y CONCRETO EMPORME

LABORATORIO DE ENSAYO DE MATERIALES CENTAURO INGENIEROS
 LABORATORIO DE ABRIGADOS Y CONCRETO EMPORME

EXPEDIENTE N°
 PETICIONARIO
 ATENCIÓN
 PROYECTO
 UBICACIÓN
 FECHA DE RECEPCIÓN
 FECHA DE EMISIÓN

1 958-2021-AC
 1 BACH. ANDERSON JHORDENIO HUAMÁN PÉREZ
 1 BACH. ANDERSON JHORDENIO HUAMÁN PÉREZ
 1 "APLICACIÓN DE FIBRAS DE GLADOLINA ARGENTIFOLIA EN EL DISEÑO DE PAVIMENTOS RÍGIDOS"
 1 MEJORAMIENTO DE VÍAS URBANAS EN LA AV. PRIMEROS, ENTRE LOS TRABOS AV. PERÚ, JR. MARÍA ARGUEDAS - DISTRITO Y PROVINCIA DE CHANCHAMAYO - JUNÍN.

1 21 DE MAYO DEL 2021
 1 10 DE JUNIO DEL 2021

INFORME DE ENSAYO (pág. 01 de 01)

ENSAYO: Resistencia a la Compresión de Especificación Cilíndrica de Concreto.
MÉTODO: ASTM C39/C39M-20: Standard Test Method for Compressive Strength of Cylindrical Concrete Specimens.

MUESTRA	CÓDIGO DE TIEMPO	ESTRUCTURA DE PROCEDENCIA	TIPO DE MUESTRA	FECHA DE MUESTREO	FECHA DE ROTURA	EDAD	DIÁMETRO ESPESOR PROCEDIDO (mm)	ALTIMETRO ESPESOR PROCEDIDO (mm)	ÁREA DE LA SECCIÓN TRANSVERSAL (mm²)	CARGA MÁXIMA (kN)	RESISTENCIA DE ESPESOR (MPa)	RESISTENCIA DE ESPESOR (kgf/cm²)	RESISTENCIA DE DISEÑO (kgf/cm²)	% RESIS.	TIPO DE FRACTURA	DEFECTOS
2-10	2-005-2021	ELABORACIÓN DE ESPESORES EN EL LABORATORIO	PROBETAS DE CONCRETO CILINDRICAS	20/05/2021	27/06/2021	28	104.20	344.9	8953.0	305.5	47.0	470.4	210	24.9%	TIPO 2	NO
2-11	2-105-2021	ELABORACIÓN DE ESPESORES EN EL LABORATORIO	PROBETAS DE CONCRETO CILINDRICAS	20/05/2021	27/06/2021	28	104.27	344.0	8946.8	305.6	46.5	466.4	220%	22.2%	TIPO 3	NO
2-12	2-005-2021	ELABORACIÓN DE ESPESORES EN EL LABORATORIO	PROBETAS DE CONCRETO CILINDRICAS	20/05/2021	27/06/2021	28	104.48	344.5	8955.9	333.0	45.6	455.8	230	21.7%	TIPO 3	NO

TIPO DE FRACTURA:

- TIPO 1 : Corrosión o carbonatación más severa, en ambas bases, menos de 25mm de profundidad en cada base.
- TIPO 2 : Corrosión (formado sobre una base, desplazamiento de gránulos verticales a través de las juntas, como no bien definido en la lista base).
- TIPO 3 : Grietas verticales continuas en ambas bases.
- TIPO 4 : Fractura diagonal sin grietas en las bases, galbes con martillo para diferenciar del tipo 1.
- TIPO 5 : Fracturas de las bases en las bases (superior o inferior) ocurriendo comúnmente con las bases de elaboración.
- TIPO 6 : Similar al tipo 5 pero al tornarse del cilindro al ser ensayado.
- CI : Corrosión
- CF : Carbonatación
- CA : Alrededor de la superficie
- AM : Alrededor de la superficie

NOTA ALTERNATIVA: UNA MUESTRA DE CONCRETO DE ACUERDO AL REQUERIMIENTO MÁXIMO DE CONSTRUCCIÓN LA CONSTRUCCIÓN EN LOS PROYECTOS PARA CON EDIFICIO Y CALIDAD DE CONCRETO	
FECHA DE ENSAYO	: 2021-06-17
TEMPERATURA AMBIENTE	: 14.5°C
HUMEDAD RELATIVA	: 49%
ÁREA DONDE SE REALIZÓ EL ENSAYO	: ÁREA DE ENSAYOS ESPECIALES

OBSERVACIONES: MUESTRO REALIZADO POR EL LABORATORIO
 LOS DATOS PROPORCIONADOS POR EL PETICIONARIO SON LOS SUJERIDOS, PERIODISMO, ATENCIÓN, NOMBRE DEL PROYECTO, UBICACIÓN, ASISTENCIA DE DISEÑO.
 LOS RESULTADOS DE ESTE ENSAYO SON UNOS INDICADORES DE CALIDAD DE CONCRETO, NO SON UNOS INDICADORES DE CALIDAD DE CONCRETO, POR LO TANTO, SE DEBE REALIZAR UN ANÁLISIS DE CALIDAD DE CONCRETO EN EL SITIO DE LA OBRA.
 LAS MUESTRAS DE CONCRETO DEBEN SER MUESTREADAS DE ACUERDO A LA NORMA EN UN MOMENTO DE LA CONSTRUCCIÓN DEL CONCRETO, COMO SE MUESTRA EN EL DISEÑO DE LA OBRA.
 LAS MUESTRAS DE CONCRETO DEBEN SER MUESTREADAS DE ACUERDO A LA NORMA EN UN MOMENTO DE LA CONSTRUCCIÓN DEL CONCRETO, COMO SE MUESTRA EN EL DISEÑO DE LA OBRA.
 INACAL-DA-141 FEB/21 FEB/21



LABORATORIO CENTAURO INGENIEROS
RESISTENCIA A LA COMPRESIÓN DE CONCRETO
 Ing. Víctor Poma Huamán
 Director General

Página 01 de 01

**Anexo 05: Diseño de Mezcla $F'c=210\text{kg/cm}^2$ Muestra Patrón + 0.5% de Fibra de
Guadua Angustifolia**

LABORATORIO DE MECÁNICA DE SUELOS, CONCRETO Y PAVIMENTOS CENTAURO INGENIEROS

SERVICIOS DE:

- ENSAYOS PARA MECÁNICA DE SUELOS
- ENSAYOS EN AGREGADOS PARA CONCRETO Y ASFALTO
- ENSAYOS EN ROCAS
- ENSAYOS QUÍMICOS EN SUELOS Y AGUA
- ENSAYOS SPT, DPL, DPHS
- ESTUDIOS Y ENSAYOS GEOFÍSICOS
- PERFORACIONES Y EXTRACCIÓN DIAMANTINAS
- ESTUDIOS GEOTÉCNICOS
- CONTROL DE CALIDAD EN SUELOS CONCRETO Y ASFALTO
- EXTRACCIÓN Y TRASLADO DE MUESTRAS IN SITU



Inscrito en el Registro de Marcas y Servicio de INDECOPI con CERTIFICADO N° 00114425 con Resolución N° 007184-2019-/DSD-INDECOPI

**LABORATORIO DE ENSAYO DE MATERIALES DE CENTAURO INGENIEROS
LABORATORIO DE AGREGADOS Y CONCRETO
INFORME**

EXPEDIENTE N° : 1225-2021-AC
 PETICIONARIO : ANDERSON JHORDENIO HUAMÁN PÉREZ
 ATENCION : ANDERSON JHORDENIO HUAMÁN PÉREZ
 OBRA : "APLICACIÓN DE FIBRAS DE GUADUA ANGUSTIFOLIA EN EL DISEÑO DE PAVIMENTOS RÍGIDOS"
 UBICACIÓN : MEJORAMIENTO DE VÍAS URBANAS EN LA AV. PIONEROS; ENTRE LOS TRAMOS AV. PERÚ, JR. MARÍA ARGUEDAS
 FECHA DE RECEPCIÓN : 29 DE ABRIL DEL 2021
 FECHA DE EMISIÓN : 31 DE JULIO DEL 2021

DISEÑO DE MEZCLA PRACTICO - CORREGIDO POR ADITIVO - MODULO DE FINEZA
 ADITIVO USADO: FIBRAS DE GUADUA ANGUSTIFOLIA EN 0,5%

CÓDIGO DE ORDEN DE TRABAJO: P-071-2021

1. CARACTERÍSTICAS DE LOS MATERIALES

CEMENTO

TIPO : I
 PROCEDENCIA : CEMENTO ANDINO
 PESO ESPECÍFICO : 3.12

AGUA

TIPO : AGUA POTABLE
 PESO ESPECÍFICO : 1 000 kg/m3

AGREGADOS

	FINO	GRUESO
PERFIL		ANGULAR
PESO UNITARIO SUELTO (kg/m3)	1590.63	1437.78
PESO UNITARIO COMPACTADO	1741.25	1652.64
PESO ESPECÍFICO SECO	2.50	2.68
MÓDULO DE FINEZA	2.86	7.82
TMN	No. 4	3/4 in.
PORCENTAJE DE ABSORCIÓN	1.26%	0.67%
CONTENIDO DE HUMEDAD	2.63%	0.07%

2. CARACTERÍSTICAS DEL CONCRETO

RESISTENCIA A COMPRESIÓN : 210 Kg/cm2
 CONSISTENCIA : Plástico

3. DETERMINACIÓN DE LA RESISTENCIA PROMEDIO

Dosificación cuando no se cuenta con experiencia en obra o mezclas de prueba

f'cr ESPECIFICADO	f'cr (Kg/cm2)	f'cr
210	f'c + 8,5 MPa	295

De acuerdo a lo especificado por el peticionario

f'cr	295
------	-----

Fuente: RNE, NORMA E.060, CAPÍTULO 5 - 5.4

4. SELECCIÓN DEL TMN

TMN : 3/4 in.

6. CONTENIDO DE AGUA

Asentamiento	3" - 4"
TMN	3/4 in.
Volumen unitario de Agua	200

8. RELACIÓN AGUA / CEMENTO

Resistencia promedio	295
R A/C	0.56

5. ASENTAMIENTO

De acuerdo a Tabla 01 : 3" a 4"

CORRECCION DE ADITIVO : 3" a 4"

7. CONTENIDO DE AIRE TOTAL

TMN	3/4 in.
Contenido de aire atrapado	2.0%

9. CONTENIDO DE CEMENTO

Fact.cemento	Vol Unit. Agua
	a/c

[Handwritten signature and stamp]
 INGENIERO CIVIL
 ING. VICTOR PEREZ DUEÑAS
 INGENIERO CIVIL
 CIP 70438

Email: grupocentauroingenieros@gmail.com Web: <http://centauroingenieros.com/> Facebook: [centauroingenieros](https://www.facebook.com/centauroingenieros)
 Av. Mariscal Castilla N° 3950 - El Tambo - Huancayo - Junín (Frente a la 1ra Puerta de la U.N.C.P.) Telf. 064 - 253727 Cel. 992875860 - 964483588 - 964966015

Para verificar la autenticidad del informe puede comunicarse a: grupocentauroingenieros@gmail.com

LABORATORIO DE MECÁNICA DE SUELOS, CONCRETO Y PAVIMENTOS CENTAURO INGENIEROS

SERVICIOS DE:

- ENSAYOS PARA MECÁNICA DE SUELOS
- ENSAYOS EN AGREGADOS PARA CONCRETO Y ASFALTO
- ENSAYOS EN ROCAS
- ENSAYOS QUÍMICOS EN SUELOS Y AGUA
- ENSAYOS SPT, OPL, DPHS
- ESTUDIOS Y ENSAYOS GEOFÍSICOS
- PERFORACIONES Y EXTRACCIÓN DIAMANTINAS
- ESTUDIOS GEOTÉCNICOS
- CONTROL DE CALIDAD EN SUELOS CONCRETO Y ASFALTO
- EXTRACCIÓN Y TRASLADO DE MUESTRAS INSITU



Inscrito en el Registro de Marcas y Servicio de INDECOPI con CERTIFICADO N° 00114425 con Resolución N° 007184-2019-/DSD-INDECOPI

LABORATORIO DE ENSAYO DE MATERIALES DE CENTAURO INGENIEROS
LABORATORIO DE AGREGADOS Y CONCRETO
INFORME

EXPEDIENTE N° : 1225-2021-AC
 PETICIONARIO : ANDERSON JHORDENIO HUAMÁN PÉREZ
 ATENCION : ANDERSON JHORDENIO HUAMÁN PÉREZ
 OBRA : "APLICACIÓN DE FIBRAS DE GUADUA ANGUSTIFOLIA EN EL DISEÑO DE PAVIMENTOS RÍGIDOS"
 UBICACIÓN : MEJORAMIENTO DE VÍAS URBANAS EN LA AV. PIONEROS; ENTRE LOS TRAMOS AV. PERÚ, JR. MARÍA ARGUEDAS
 FECHA DE RECEPCIÓN : 29 DE ABRIL DEL 2021
 FECHA DE EMISIÓN : 31 DE JULIO DEL 2021

10. CALCULO DEL VOLUMEN ABSOLUTO DE LA PASTA	
CEMENTO	0.11509 m3
AGUA	0.2000 m3
AIRE	0.0200 m3
TOTAL	0.33509 m3

Factor cemento	359
Factor cemento en bolsas	8.45
11. VOLUMEN DEL AGREGADO TOTAL	

12. CALCULO DE MODULO DE FINEZA
 * Tabla 04 - Módulo de fineza de la combinación de agregados

Factor cemento en sacos	8.45
TMN	3/4 in.
Módulo de fineza	5.15

AGREGADO	1 - Vol. Abs. Past.	0.665 m3
VOLUMEN AGREGADO		
13. CALCULO DE PORCENTAJE DE AGREG. FINO		

$$rf = \frac{mg - mf}{mg - mf}$$

m	5.15
mg	7.82
mf	2.86
rf	53.94%

14. CALCULO DE VOLUMEN DE AGREGADOS

AGREGADO FINO	0.359 m3
AGREGADO GRUESO	0.306 m3

15. CALCULO DE PESOS DE LOS AGREGADOS

AGREGADO FINO	897 kg/m3
AGREGADO GRUESO	820 kg/m3

16. DISEÑO EN ESTADO SECO

CEMENTO	359.07 Kg/m3
AGUA	200.00 Lt/m3
AGREGADO FINO	896.97 Kg/m3
AGREGADO GRUESO	820.44 Kg/m3

17. CORRECCION DE DISEÑO POR HUMEDAD

AGREGADO FINO HUMEDO	909.27 Kg/m3
AGREGADO GRUESO HUMEDO	821.03 Kg/m3

HUMEDAD SUPERFICIAL DEL AGREGADO

AGREGADO FINO	1.37%
AGREGADO GRUESO	-0.60%

APORTE DE HUMEDAD

AGREGADO FINO	12.30
AGREGADO GRUESO	-4.89

APORTE DE HUMEDAD DEL AGREGADO	7.41
AGUA EFECTIVA	192.59

18. DISEÑO DE MEZCLA FINAL

CEMENTO	359.07 kg/m3
AGUA EFECTIVA	192.59 lt
AGREGADO FINO HUMEDO	909.27 kg/m3
AGREGADO GRUESO HUMEDO	815.55 kg/m3
CONCRETO	2276.48

[Handwritten Signature]
 INGENIERO EN CIENCIAS TÉCNICAS
 Víctor Efraim Durán
 Ingeniero Civil
 CIP 70399

Email: grupocentauroingenieros@gmail.com Web: http://centauroingenieros.com/ Facebook: centauroingenieros
 Av. Mariscal Castilla N° 3950 - El Tambo - Huancayo - Junin (Frente a la 1ra Puerta de la U.N.C.P.) Telf. 064 - 253727 Cel. 992875880 - 964483588 - 964986015

Para verificar la autenticidad del informe puede comunicarse a: grupocentauroingenieros@gmail.com

LABORATORIO DE MECÁNICA DE SUELOS, CONCRETO Y PAVIMENTOS CENTAURO INGENIEROS

SERVICIOS DE:

- ENSAYOS PARA MECÁNICA DE SUELOS
- ENSAYOS EN AGREGADOS PARA CONCRETO Y ASFALTO
- ENSAYOS EN ROCAS
- ENSAYOS QUÍMICOS EN SUELOS Y AGUA
- ENSAYOS SPT, DPL, DPHS
- ESTUDIOS Y ENSAYOS GEOFÍSICOS
- PERFORACIONES Y EXTRACCIÓN DIAMANTINAS
- ESTUDIOS GEOTÉCNICOS
- CONTROL DE CALIDAD EN SUELOS CONCRETO Y ASFALTO
- EXTRACCIÓN Y TRASLADO DE MUESTRAS INSITU



Inscrito en el Registro de Marcas y Servicio de INDECOPI con CERTIFICADO N° 00114425 con Resolución N° 007184-2019-/DSD-INDECOPI

**LABORATORIO DE ENSAYO DE MATERIALES DE CENTAURO INGENIEROS
LABORATORIO DE AGREGADOS Y CONCRETO
INFORME**

EXPEDIENTE N° : 1225-2021-AC
 PETICIONARIO : ANDERSON JHORDENIO HUAMÁN PÉREZ
 ATENCION : ANDERSON JHORDENIO HUAMÁN PÉREZ
 OBRA : "APLICACIÓN DE FIBRAS DE GUADUA ANGUSTIFOLIA EN EL DISEÑO DE PAVIMENTOS RÍGIDOS"
 UBICACIÓN : MEJORAMIENTO DE VÍAS URBANAS EN LA AV. PIONEROS; ENTRE LOS TRAMOS AV. PERÚ, JR. MARÍA ARGUEDAS
 FECHA DE RECEPCIÓN : 29 DE ABRIL DEL 2021
 FECHA DE EMISIÓN : 31 DE JULIO DEL 2021

DOSIFICACIÓN AL PREPARAR CONCRETO EN MOLDE CONOCIDO

VOLUMEN	0.1
CEMENTO	35.907
AGUA EFECTIVA	19.259
AGREGADO FINO HUMEDO	90.927
AGREGADO GRUESO HUMEDO	81.555
CONCRETO	227.648

VOLUMEN DEL CONCRETO MEZCLADO

CEMENTO	359.07
AGUA	192.59
AGREGADO FINO	909.27
AGREGADO GRUESO	815.55
PESO ESPECIFICO	2276.48
R A/C	0.54

PROPORCIÓN EN VOLUMEN

CEMENTO	1	42.5 kg/saco
AGUA	22.80	22.80 kg/saco
AGREGADO FINO	2.53	107.62 kg/saco
AGREGADO GRUESO	2.27	96.53 kg/saco

	FINO	GRUESO
PESO UNITARIO SUELTO	1590.63	1437.78

PESO POR PIE3

CEMENTO	42.50 Kg/pie3
AGUA	22.80 Lt/pie3
AGREGADO FINO	45.06 Kg/pie3
AGREGADO GRUESO	40.73 Kg/pie3

19. PROPORCIÓN EN PESO

MATERIALES SIN CORREGIR

CEMENTO	A.F.	A.G	AGUA
359	897	820	200
359	359	359	8.4
1.00	2.50	2.28	23.67

MATERIALES CORREGIDOS

CEMENTO	A.F.	A.G	AGUA
359	909	816	193
359	359	359	8.4
1.00	2.53	2.27	22.80

GERENCIA TÉCNICA
Ing. Víctor Pez
CIE-7088

Email: grupocentauroingenieros@gmail.com Web: <http://centauroingenieros.com/> Facebook: [centauro ingenieros](https://www.facebook.com/centauroingenieros)
 Av. Mariscal Castilla N° 3850 - El Tambo - Huancayo - Junín (Frente a la 1ra Puerta de la U.N.C.P.) Telf. 064 - 253727 Cel. 992875860 - 964483588 - 964986015

Para verificar la autenticidad del informe puede comunicarse a: grupocentauroingenieros@gmail.com

LABORATORIO DE MECÁNICA DE SUELOS, CONCRETO Y PAVIMENTOS CENTAURO INGENIEROS

SERVICIOS DE:

- ENSAYOS PARA MECÁNICA DE SUELOS
- ENSAYOS EN AGREGADOS PARA CONCRETO Y ASFALTO
- ENSAYOS EN ROCAS
- ENSAYOS QUÍMICOS EN SUELOS Y AGUA
- ENSAYOS SPT, DPL, DPHS
- ESTUDIOS Y ENSAYOS GEOFÍSICOS
- PERFORACIONES Y EXTRACCIÓN DIAMANTINAS
- ESTUDIOS GEOTÉCNICOS
- CONTROL DE CALIDAD EN SUELOS CONCRETO Y ASFALTO
- EXTRACCIÓN Y TRASLADO DE MUESTRAS INSITU



Inscrito en el Registro de Marcas y Servicio de INDECOPI con CERTIFICADO N° 00114425 con Resolución N° 007184-2019-/DSD-INDECOPI

**LABORATORIO DE ENSAYO DE MATERIALES DE CENTAURO INGENIEROS
LABORATORIO DE AGREGADOS Y CONCRETO
INFORME**

EXPEDIENTE N° : 1225-2021-AC
 PETICIONARIO : ANDERSON JHORDENIO HUAMÁN PÉREZ
 ATENCION : ANDERSON JHORDENIO HUAMÁN PÉREZ
 OBRA : "APLICACIÓN DE FIBRAS DE GUADUA ANGUSTIFOLIA EN EL DISEÑO DE PAVIMENTOS RÍGIDOS"
 UBICACIÓN : MEJORAMIENTO DE VÍAS URBANAS EN LA AV. PIONEROS; ENTRE LOS TRAMOS AV. PERÚ, JR. MARÍA ARGUEDAS
 FECHA DE RECEPCIÓN : 29 DE ABRIL DEL 2021
 FECHA DE EMISIÓN : 31 DE JULIO DEL 2021

* RELACION AGUA CEMENTO DE DISEÑO 0.56
 * RELACION AGUA CEMENTO EFECTIVA (OBRA) 0.54

20. PROPORCION EN VOLUMEN

CEMENTO	A.F.	A.G	AGUA
42.5	107.6	96.5	22.8
42.5	45.1	40.7	1.0
1.00	2.39	2.37	22.80

21. PESOS POR TANDA DE UNA BOLSA DE CEMENTO

CEMENTO	42.50 Kg/bolsa
AGUA	22.80 Lt/bolsa
AGREGADO FINO HUMEDO	107.62 Kg/bolsa
AGREGADO GRUESO HUMEDO	96.53 Kg/bolsa

CORRECCION POR ADITIVO USANDO 0,5% DE FIBRA DE GUADUA ANGUSTIFOLIA

CEMENTO	359.07 kg/m3
AGUA EFECTIVA	192.59 lt
AGREGADO FINO HUMEDO	909.27 kg/m3
AGREGADO GRUESO HUMEDO	815.55 kg/m3
FIBRA DE GUADUA ANGUSTIFOLIA	4.00 kg/m3
CONCRETO	2280.48

DOSIFICACION AL PREPARAR CONCRETO EN MOLDE CONOCIDO

VOLUMEN	0.1
CEMENTO	35.907
AGUA EFECTIVA	19.259
AGREGADO FINO HUMEDO	90.927
AGREGADO GRUESO HUMEDO	81.555
FIBRA DE GUADUA ANGUSTIFOLIA	0.400
CONCRETO	227.648

2.VOLUMEN DEL CONCRETO MEZCLADO

CEMENTO	359.07
AGUA	192.59
AGREGADO FINO	909.27
AGREGADO GRUESO	815.55
FIBRA DE GUADUA ANGUSTIFOLIA	4.00
PESO ESPECIFICO	2280.48
R A/C	0.54

Email: grupocentauroingenieros@gmail.com Web: <http://centauroingenieros.com/> Facebook: centauro ingenieros
 Av. Mariscal Castilla N° 3950 - El Tambo - Huancayo - Junin (Frente a la 1ra Puerta de la U.N.C.P.) Telf. 064 - 253727 Cel. 992875880 - 964483588 - 994966015

Para verificar la autenticidad del informe puede comunicarse a: grupocentauroingenieros@gmail.com

LABORATORIO DE MECÁNICA DE SUELOS, CONCRETO Y PAVIMENTOS CENTAURO INGENIEROS

SERVICIOS DE:

- ENSAYOS PARA MECÁNICA DE SUELOS
- ENSAYOS EN AGREGADOS PARA CONCRETO Y ASFALTO
- ENSAYOS EN ROCAS
- ENSAYOS QUÍMICOS EN SUELOS Y AGUA
- ENSAYOS SPT, DPL, DPHB
- ESTUDIOS Y ENSAYOS GEOFÍSICOS
- PERFORACIONES Y EXTRACCIÓN DE MANTINAS
- ESTUDIOS GEOTÉCNICOS
- CONTROL DE CALIDAD EN SUELOS CONCRETO Y ASFALTO
- EXTRACCIÓN Y TRIPLADO DE MUESTRAS INRTU



Inscrito en el Registro de Marcas y Servicio de INDECOPI con CERTIFICADO N° 00114425 con Resolución N° 007194-2019-/DSD-INDECOPI

**LABORATORIO DE ENSAYO DE MATERIALES DE CENTAURO INGENIEROS
LABORATORIO DE AGREGADOS Y CONCRETO
INFORME**

EXPEDIENTE N° : 1225-2021-AC
 PETICIONARIO : ANDERSON JHORDENIO HUAMÁN PÉREZ
 ATENCIÓN : ANDERSON JHORDENIO HUAMÁN PÉREZ
 OBRA : "APLICACIÓN DE FIBRAS DE GUADUA ANGUSTIFOLIA EN EL DISEÑO DE PAVIMENTOS RÍGIDOS"
 UBICACIÓN : MEJORAMIENTO DE VÍAS URBANAS EN LA AV. PIONEROS; ENTRE LOS TRAMOS AV. PERÚ, JR. MARÍA ARGUEDAS
 FECHA DE RECEPCIÓN : 29 DE ABRIL DEL 2021
 FECHA DE EMISIÓN : 31 DE JULIO DEL 2021

3. PROPORCIÓN EN VOLUMEN

CEMENTO	1	42.5	kg/saco
AGUA	22.80	22.80	kg/saco
AGREGADO FINO	2.53	107.62	kg/saco
AGREGADO GRUESO	2.27	96.53	kg/saco
FIBRA DE GUADUA ANGUSTIFOLIA	0.011	0.47	kg/saco
	FINO	GRUESO	
PESO UNITARIO SUELTO	1590.63	1437.78	

4. PESO POR PIE³

CEMENTO	42.50	Kg/pie ³
AGUA	22.80	Lt/pie ³
AGREGADO FINO	45.06	Kg/pie ³
AGREGADO GRUESO	40.73	Kg/pie ³
FIBRA DE GUADUA ANGUSTIFOLIA	0.47	Kg/pie ³

5. PROPORCIÓN EN PESO

CEMENTO	A.F.	A.G	AGUA	FIBRA DE GUADUA ANGUSTIFOLIA
359	909	816	193	4.00
359	359	359	11	11
1.00	2.53	2.27	17.32	0.36

* RELACION AGUA CEMENTO DE DISEÑO : 0.42
 * RELACION AGUA CEMENTO EFECTIVA (OBRA) : 0.54

6. PROPORCIÓN EN VOLUMEN

CEMENTO	A.F.	A.G	AGUA	FIBRA DE GUADUA ANGUSTIFOLIA
42.5	107.6	96.5	22.8	0.47
42.5	45.1	40.7	1.0	1
1.00	2.39	2.37	22.80	0.47

7. PESOS POR TANDA DE UNA BOLSA DE CEMENTO

CEMENTO	42.50	Kg/bolsa
AGUA	17.32	Lt/bolsa
AGREGADO FINO HUMEDO	107.62	Kg/bolsa
AGREGADO GRUESO HUMEDO	96.53	Kg/bolsa
FIBRA DE GUADUA ANGUSTIFOLIA	0.47	Kg/bolsa

HC-AC-004 REV.05 FECHA: 2019/10/31

Email: grupocentauroingenieros@gmail.com Web: <http://centauroingenieros.com/> Facebook: [centauro ingenieros](https://www.facebook.com/centauroingenieros)
 Av. Mariscal Castilla N° 3950 - El Tambo - Huancayo - Junín (Frente a la 1ra Puerta de la U.N.C.P.) Telf. 064 - 253727 Cel. 992875860 - 954483588 - 954960015

Para verificar la autenticidad del informe puede comunicarse a: grupocentauroingenieros@gmail.com



EXPERIENTE N°
PETICIONARIO
ATENCIÓN
PROYECTO
UBICACIÓN
FECHA DE RECEPCIÓN
FECHA DE EMISIÓN

1 586-2021-AC
 1 BACH. ANDERSON JHORDERMO HUMÁN PÉREZ
 1 BACH. ANDERSON JHORDERMO HUMÁN PÉREZ
 1 APLICACIÓN DE FIBRAS DE GRADUACIÓN ANTI-RETIRADA EN EL DISEÑO DE PAVIMENTOS RÍGIDOS*
 1 AV. PIONEEROS, ENTRE LOS TIEMPOS AV. - PERÚ, JR. RAMA ARGUEDAS - DISTRITO Y PROVINCIA DE CHANCHAMAYO - JUNÍN.
 1 01 DE JULIO DEL 2021
 1 05 DE JULIO DEL 2021

LABORATORIO DE ENSAYO DE MATERIALES CENTAURO INGENIEROS
LABORATORIO DE AGREGADOS Y CONCRETO
INFORME

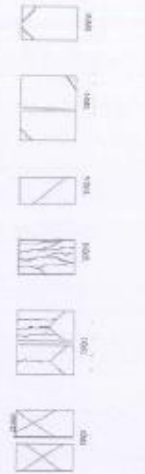
IMPORTE DE ENSAYO (MIL. S/ DE S/)

OBJECOS:
 Resistencia a la Compresión de Especificaciones Cúbicas de Concreto.

MÉTODO:
 ASTM C39/C39M-20 Standard Test Method for Compressive Strength of Cylindrical Concrete Specimens.

PRUEBA	CÓDIGO DE TRABAJO	ESTRUCTURA DE PROCEDENCIA	TIPO DE MUESTRA	FECHA DE MOLDEO	FECHA DE ROTURA	EDAD	DIÁMETRO PROMEDIO (mm)	ALTEZA DE ESPESOR PROMEDIO (mm)	ÁREA DE SECCIÓN TRANSVERSAL (mm²)	CARGA MÁXIMA (kN)	RESISTENCIA DE ESPECIMEN (MPa)	RESISTENCIA DE SUELO (kg/cm²)	N. RES.	TIPO DE FRACTURA	DEFECTOS	
G-1	E-139-2021	ELABORACIÓN DE ESPECIMEN EN EL LABORATORIO CON ADICIÓN DE 0.5 %	PRUEBAS DE COMPRESIÓN CILÍNDRICAS	1/07/2021	4/07/2021	3	102.85	304.91	8997.29	132.76	16.9	169.0	210	80%	TIPO 5	NO
G-2	E-139-2021	ELABORACIÓN DE ESPECIMEN EN EL LABORATORIO CON ADICIÓN DE 0.5 %	PRUEBAS DE COMPRESIÓN CILÍNDRICAS	1/07/2021	4/07/2021	3	102.29	302.26	8312.89	351.80	33.2	128.8	230	62%	TIPO 5	NO
G-3	E-139-2021	ELABORACIÓN DE ESPECIMEN EN EL LABORATORIO CON ADICIÓN DE 0.5 %	PRUEBAS DE COMPRESIÓN CILÍNDRICAS	1/07/2021	4/07/2021	3	104.17	304.33	8533.86	147.44	14.4	161.7	230	80%	TIPO 3	NO

- TIPO DE FRACTURA:**
- TIPO 1 : Carga aplicada lentamente hasta fractura, en sentido basal, menor de 25mm de grietas, en otros.
 - TIPO 2 : Carga lentamente sobre una base, desarrollo de grietas verticales a partir de la carga, caso en las definidas en la foto base.
 - TIPO 3 : Grietas verticales, con grietas en sentido basal.
 - TIPO 4 : Fractura diagonal de grietas en los bordes, del tipo con trazo de grietas de tipo 3.
 - TIPO 5 : Grietas de tipo 5, en las bases superiores inferiores o en ambos, con grietas en las caras de entablado.
 - TIPO 6 : Similar al tipo 5 pero el tipo de grietas del tipo de rotación.
 - CP : Cargas
 - CA : Cargas
 - AN : Actividad del ensayo



NOTA ILUSTRATIVA: UNA MUESTRA DE CONCRETO DE ACUERDO AL REGLAMENTO NACIONAL DE CONSTRUCCIÓN Y A GUSTO DE LOS PROYECTANTES, PARA CARGA EN EDIFICIOS Y CALZADO DE CONCRETO.

CONDICIONES DE ENSAYO:
 TEMPERATURA AMBIENTE : 20.5 ± 0.4 °C
 HUMEDAD RELATIVA : 58%
 AREA CORTE DE LOS CILINDROS DE ENSAYO : 3181 cm²
 CONDICIONES MEDIDAS REALIZADAS POR EL PERSONAL DEL LABORATORIO.
 * LOS DATOS PROPORCIONADOS POR EL PETICIONARIO SON LOS RESULTADOS DE LOS ENSAYOS REALIZADOS EN EL LABORATORIO, SIN LA PRESENCIA DE LA AUTORIDAD NACIONAL DE EVALUACIÓN Y CALIFICACIÓN DE PERSONAS Y ORGANIZACIONES.
 LOS RESULTADOS DE LOS ENSAYOS NO DEBERÁN SER UTILIZADOS COMO UNA CERTIFICACIÓN DE CONFORMIDAD CON NORMAS DE PRODUCTOS O COMO CERTIFICADO DEL SISTEMA DE CALIDAD DE LA EMPRESA QUE LO REALIZÓ, LOS RESULTADOS CORRESPONDEN A LOS RESULTADOS DE LOS ENSAYOS REALIZADOS EN EL LABORATORIO DE MECÁNICA DE SUELOS, CONCRETO Y PAVIMENTOS.
 HC-AC-027 REV.03 - FECHA: 2021/04/28

PRESENCIA TÉCNICA
 ING. VICTOR HERRERA DUEÑAS
 INGENIERO CIVIL
 CIP: 70689

Email: grupocentauroringenieros@gmail.com Web: <http://centauroringenieros.com/> Facebook: [centauroringenieros](https://www.facebook.com/centauroringenieros)
 Av. Mariscal Castilla N° 3950 - El Tumbao - Huancayo - Junín (Frente a la tra Puerta de la U.N.C.P.) Telf. 064 - 263727 Cel. 992675860 - 964463586 - 964966015
 Para verificar la autenticidad del informe puede comunicarse a: grupocentauroringenieros@gmail.com

LABORATORIO DE MECÁNICA DE SUELOS, CONCRETO Y PAVIMENTOS CENTAURO INGENIEROS

LABORATORIO DE ENSAYO ACREDITADO POR EL ORGANISMO PERUANO DE ACREDITACION INACAL - DA CON REGISTRO Nº LE-341



Informe de ensayo con valor oficial

Inscrito en el Registro de Marcas y Servicio de INDECOPI con CERTIFICADO Nº 00114425 con Resolución Nº 007184-2019-/DSD-INDECOPI

Formulario B.T.C. - 141

EXPEDIENTE N°
PETICIONARIO
ATENCIÓN
PROYECTO
UBICACIÓN
FECHA DE RECEPCIÓN
FECHA DE EMISIÓN

: 1037-2021-AC
: BACH, ANDERSON RIVERDINO HUAMAN PÉREZ
: BACH, ANDERSON RIVERDINO HUAMAN PÉREZ
: "APLICACIÓN DE PISOS DE GUADUA ANGUSTIFOLIA EN EL DISEÑO DE PAVIMENTOS RÍGIDOS"
: AV. PROMERIS; ENTRE LOS TRANCHOS AV. PERÚ, JR. MARÍA ARGUEDAS - DISTRITO Y PROVINCIA DE CHANCHAMAYO - J.M.I.R.
: 01 DE JULIO DEL 2021
: 09 DE JULIO DEL 2021

LABORATORIO DE ENSAYO DE MATERIALES CENTAURO INGENIEROS
LABORATORIO DE ASBRGADOS Y CONCRETO
INFORME

TÍTULO DE ENSAYO (M.C., SI SE APLICA)

MÉTODOS:
Estadística e In Compresión de Especímenes Cilíndricos de Concreto.

MÉTODOS:
ASTM C39/C39M-20; Standard Test Method for Compressive Strength of Cylindrical Concrete Specimens.

MUESTRA	CÓDIGO DE TRABAJO	ESTRUCTURA DE PROCEDENCIA	TIPO DE MUESTRA	FECHA DE MOLDEO	FECHA DE ROTURA	EDAD ROTURA	DIÁMETRO ESPESOR PROMEDIO (mm)	ALTIMETRO ESPESOR PROMEDIO (mm)	ÁREA DE LA SECCIÓN TRANSVERSAL (mm ²)	CARGA MÁXIMA (kN)	RESISTENCIA DE ESPESOR (MPa)	RESISTENCIA DE ESPESOR (kg/cm ²)	RESISTENCIA DE DISEÑO (kg/cm ²)	% RESIS.	TIPO DE ROTURA	DEFECTOS
G-4	F-199-2021	ELABORACIÓN DE ESPESOR EN EL LABORATORIO CON ADICIÓN DE 0.5 %	PROBETAS DE CONCRETO CILINDRICAS	1/07/2021	8/07/2021	7	101.89	205.67	8326.89	233.23	28.7	280.9	231	141%	TIPO 2	NO
G-5	F-199-2021	ELABORACIÓN DE ESPESOR EN EL LABORATORIO CON ADICIÓN DE 0.5 %	PROBETAS DE CONCRETO CILINDRICAS	1/07/2021	8/07/2021	7	101.79	204.22	8338.87	225.44	28.8	287.5	210	137%	TIPO 3	NO
G-6	E-199-2021	ELABORACIÓN DE ESPESOR EN EL LABORATORIO CON ADICIÓN DE 0.5 %	PROBETAS DE CONCRETO CILINDRICAS	1/07/2021	8/07/2021	7	100.09	206.34	8176.69	207.68	26.4	264.4	210	128%	TIPO 3	NO

TIPO DE ROTURA:

- TPO 1 : Concreto normalmente bien formado, en varias bases, menos de 25mm de grietas en caras.
- TPO 2 : Concreto bien formado sobre otra base, desplazamiento de grietas verticales a través de las caras, como no bien formado en la cara base.
- TPO 3 : Grietas verticales columnares en ambas bases.
- TPO 4 : Grietas verticales columnares en una de las bases.
- TPO 5 : Grietas verticales columnares en ambas bases, con marcos para deformación (véase 1).
- TPO 6 : Grietas verticales columnares en una de las bases, con marcos para deformación (véase 1).
- TPO 7 : Grietas verticales columnares en una de las bases, con marcos para deformación (véase 1).
- TPO 8 : Grietas verticales columnares en una de las bases, con marcos para deformación (véase 1).

CT	Coronado
CP	Caja Miedo
CA	Caja Miedo
AM	Abrucadura de resquepe

NOTA: LA MUESTRA, UNA MUESTRA DE CONCRETO DE ADHERO AL REGLAMENTO NACIONAL DE CONSTRUCCIÓN LA CONSTITUYEN DOS PROBETAS PARA CADA EDAD Y CALIDAD DE CONCRETO

CONDICIONES DE ENSAYO:
TEMPERATURA AMBIENTE : 20.0 ± 0.2 °C
HUMEDAD RELATIVA : 38%
ÁREA DONDE SE REALIZÓ EL ENSAYO : ÁREA DE ENSAYOS ESPECIALES

OBSERVACIONES: MUESTRO REALIZADO POR EL PERSONAL DE LABORATORIO.

* LOS DATOS PROPORCIONADOS POR EL PETICIONARIO SON LOS SIGUIENTES: PETICIONARIO, ATENCIÓN, NOMBRE DEL PROYECTO, UBICACIÓN, RESISTENCIA DE DISEÑO.

ES: PRESENTE DOCUMENTO NO DEBEA ROTACIONARSE SIN AUTORIZACIÓN ESCRITA DEL LABORATORIO, YA QUE LA REPRODUCCIÓN SEA EN SU TOTALIDAD

LOS RESULTADOS DE LOS ENSAYOS NO DEBEN SER UTILIZADOS COMO UNA CONTRIBUCIÓN DE COMPROMISO CON NORMAS DE PRODUCTOS O COMO CERTIFICADO DEL SISTEMA DE CALIDAD DE LA ENTIDAD QUE LO PRODUCE. LOS RESULTADOS CORRESPONDEN A LOS ENSAYOS REALIZADOS SOBRE LAS MUESTRAS PROPORCIONADAS POR EL CLIENTE AL LABORATORIO DE MECÁNICA DE SUELOS, CONCRETO Y PAVIMENTOS.

AL-AL-017 REV.01. FECHA: 2021/04/29

Firma y Sello

[Firma manuscrita]
INGENIERO EN MECÁNICA DE SUELOS, CONCRETO Y PAVIMENTOS
CENTAURO INGENIEROS
CIP: 700919

Email: grupocentauroringenieros@gmail.com Web: <http://centauroringenieros.com/> Facebook: [centauro ingenieros](https://www.facebook.com/centauroingenieros)
Av. Mariscal Castilla N° 3950 - El Tambo - Huancayo - Junín (Frente a la Tra Puerta de la U.N.C.P.) Tel: 064 - 253727 Cel: 992872860 - 964483588 - 9644966015
Para verificar la autenticidad del informe puede comunicarse a: grupocentauroringenieros@gmail.com



Informe de ensayo con valor oficial

Inscrito en el Registro de Marcas y Servicio de INDECOPI con CERTIFICADO Nº 00114425 con Resolución Nº 007184-2019-/DSD-INDECOPI

**LABORATORIO DE ENSAYO DE MATERIALES CENTAURO INGENIEROS
LABORATORIO DE AGREGADOS Y CONCRETO**

EXPEDIENTE Nº : 1074-2021-AC
PETICIONARIO : BACH, ANDERSON JHORDENIO HUAMAN PÉREZ
ATENCIÓN : BACH, ANDERSON JHORDENIO HUAMAN PÉREZ
PROYECTO : "APLICACIÓN DE FIBRAS DE GUASHA ANGIOTILIA EN EL DISEÑO DE PAVIMENTOS RÍGIDOS"
UBICACIÓN : AV. FONSESOS, ENTRE LOS TRAMOS AV. PERÚ, JI. MARÍA ANGELES - DISTRITO Y PROVINCIA DE CUMBAHAYO - JUNÍN.
FECHA DE RECEPCIÓN : 01 DE JULIO DEL 2021
FECHA DE EMISIÓN : 15 DE JULIO DEL 2021

LABORATORIO DE ENSAYO DE MATERIALES CENTAURO INGENIEROS
LABORATORIO DE AGREGADOS Y CONCRETO

INFORME DE ENSAYO (PÁG. 21 DE 80)

ENSAYO: Resistencia a la Compresión de Especímenes Cilíndricos de Concreto. **MÉTODO:** ASTM C493C (M-20) Standard Test Method for Compressive Strength of Cylindrical Concrete Specimens.

MUESTRA	CÓDIGO DE TRABAJO	ESTRUCTURA DE PROCEDENCIA	TIPO DE MUESTRA	FECHA DE MOLDEO	FECHA DE ENFERIA	EDAD	DIÁMETRO ESPESIMEN PROHIBIDO (mm)	ACTIVA DE ESPESIMEN (mm)	ÁREA DE LA SECCIÓN TRANSVERSAL (mm²)	CARGA MÁXIMA (kN)	RESISTENCIA DE ESPESIMEN (kg/cm²)	RESISTENCIA DE ESPESIMEN (MPa)	RESISTENCIA DE ESPESIMEN (kg/cm²)	Nº RESIS	TIPO DE FRACTURA	DEFECTOS	
G-7	E-139-2021	ELABORACIÓN DE ESPESIMEN EN EL LABORATORIO CON ADICIÓN DE 0.5%	PROBETAS DE CONCRETO CILINDRICAS	3/07/2021	15/07/2021	14	103.27	204.12	8133.20	2943.1	374.7	37.5	374.7	210	178%	TIPO 3	NO
G-8	E-139-2021	ELABORACIÓN DE ESPESIMEN EN EL LABORATORIO CON ADICIÓN DE 0.5%	PROBETAS DE CONCRETO CILINDRICAS	3/07/2021	15/07/2021	14	101.48	204.38	8410.13	264.89	368.2	36.8	368.2	210	165%	TIPO 3	NO
G-9	E-139-2021	ELABORACIÓN DE ESPESIMEN EN EL LABORATORIO CON ADICIÓN DE 0.5%	PROBETAS DE CONCRETO CILINDRICAS	3/07/2021	15/07/2021	14	102.36	206.23	8313.19	296.24	377.1	37.7	377.1	310	160%	TIPO 3	NO

TIPO DE FRACTURA:

TIPO 1 : Concreto totalmente bien formado, en ambas bases, marca de 25mm de grisáceo en ambos.
TIPO 2 : Concreto bien formado sobre una base, desplazamiento de grietas verticales a través de las capas, como no bien del todo en la otra base.
TIPO 3 : Grietas diagonales que se extienden a través de la muestra.
TIPO 4 : Rotura a lo largo de la línea de separación con un ángulo de 45º.
TIPO 5 : Rotura a lo largo de la línea de separación con un ángulo de 45º.
TIPO 6 : Rotura a lo largo de la línea de separación con un ángulo de 45º.
TIPO 7 : Rotura a lo largo de la línea de separación con un ángulo de 45º.
TIPO 8 : Rotura a lo largo de la línea de separación con un ángulo de 45º.
TIPO 9 : Rotura a lo largo de la línea de separación con un ángulo de 45º.
TIPO 10 : Rotura a lo largo de la línea de separación con un ángulo de 45º.
TIPO 11 : Rotura a lo largo de la línea de separación con un ángulo de 45º.
TIPO 12 : Rotura a lo largo de la línea de separación con un ángulo de 45º.
TIPO 13 : Rotura a lo largo de la línea de separación con un ángulo de 45º.
TIPO 14 : Rotura a lo largo de la línea de separación con un ángulo de 45º.
TIPO 15 : Rotura a lo largo de la línea de separación con un ángulo de 45º.
TIPO 16 : Rotura a lo largo de la línea de separación con un ángulo de 45º.
TIPO 17 : Rotura a lo largo de la línea de separación con un ángulo de 45º.
TIPO 18 : Rotura a lo largo de la línea de separación con un ángulo de 45º.
TIPO 19 : Rotura a lo largo de la línea de separación con un ángulo de 45º.
TIPO 20 : Rotura a lo largo de la línea de separación con un ángulo de 45º.
TIPO 21 : Rotura a lo largo de la línea de separación con un ángulo de 45º.
TIPO 22 : Rotura a lo largo de la línea de separación con un ángulo de 45º.
TIPO 23 : Rotura a lo largo de la línea de separación con un ángulo de 45º.
TIPO 24 : Rotura a lo largo de la línea de separación con un ángulo de 45º.
TIPO 25 : Rotura a lo largo de la línea de separación con un ángulo de 45º.
TIPO 26 : Rotura a lo largo de la línea de separación con un ángulo de 45º.
TIPO 27 : Rotura a lo largo de la línea de separación con un ángulo de 45º.
TIPO 28 : Rotura a lo largo de la línea de separación con un ángulo de 45º.
TIPO 29 : Rotura a lo largo de la línea de separación con un ángulo de 45º.
TIPO 30 : Rotura a lo largo de la línea de separación con un ángulo de 45º.
TIPO 31 : Rotura a lo largo de la línea de separación con un ángulo de 45º.
TIPO 32 : Rotura a lo largo de la línea de separación con un ángulo de 45º.
TIPO 33 : Rotura a lo largo de la línea de separación con un ángulo de 45º.
TIPO 34 : Rotura a lo largo de la línea de separación con un ángulo de 45º.
TIPO 35 : Rotura a lo largo de la línea de separación con un ángulo de 45º.
TIPO 36 : Rotura a lo largo de la línea de separación con un ángulo de 45º.
TIPO 37 : Rotura a lo largo de la línea de separación con un ángulo de 45º.
TIPO 38 : Rotura a lo largo de la línea de separación con un ángulo de 45º.
TIPO 39 : Rotura a lo largo de la línea de separación con un ángulo de 45º.
TIPO 40 : Rotura a lo largo de la línea de separación con un ángulo de 45º.
TIPO 41 : Rotura a lo largo de la línea de separación con un ángulo de 45º.
TIPO 42 : Rotura a lo largo de la línea de separación con un ángulo de 45º.
TIPO 43 : Rotura a lo largo de la línea de separación con un ángulo de 45º.
TIPO 44 : Rotura a lo largo de la línea de separación con un ángulo de 45º.
TIPO 45 : Rotura a lo largo de la línea de separación con un ángulo de 45º.
TIPO 46 : Rotura a lo largo de la línea de separación con un ángulo de 45º.
TIPO 47 : Rotura a lo largo de la línea de separación con un ángulo de 45º.
TIPO 48 : Rotura a lo largo de la línea de separación con un ángulo de 45º.
TIPO 49 : Rotura a lo largo de la línea de separación con un ángulo de 45º.
TIPO 50 : Rotura a lo largo de la línea de separación con un ángulo de 45º.
TIPO 51 : Rotura a lo largo de la línea de separación con un ángulo de 45º.
TIPO 52 : Rotura a lo largo de la línea de separación con un ángulo de 45º.
TIPO 53 : Rotura a lo largo de la línea de separación con un ángulo de 45º.
TIPO 54 : Rotura a lo largo de la línea de separación con un ángulo de 45º.
TIPO 55 : Rotura a lo largo de la línea de separación con un ángulo de 45º.
TIPO 56 : Rotura a lo largo de la línea de separación con un ángulo de 45º.
TIPO 57 : Rotura a lo largo de la línea de separación con un ángulo de 45º.
TIPO 58 : Rotura a lo largo de la línea de separación con un ángulo de 45º.
TIPO 59 : Rotura a lo largo de la línea de separación con un ángulo de 45º.
TIPO 60 : Rotura a lo largo de la línea de separación con un ángulo de 45º.
TIPO 61 : Rotura a lo largo de la línea de separación con un ángulo de 45º.
TIPO 62 : Rotura a lo largo de la línea de separación con un ángulo de 45º.
TIPO 63 : Rotura a lo largo de la línea de separación con un ángulo de 45º.
TIPO 64 : Rotura a lo largo de la línea de separación con un ángulo de 45º.
TIPO 65 : Rotura a lo largo de la línea de separación con un ángulo de 45º.
TIPO 66 : Rotura a lo largo de la línea de separación con un ángulo de 45º.
TIPO 67 : Rotura a lo largo de la línea de separación con un ángulo de 45º.
TIPO 68 : Rotura a lo largo de la línea de separación con un ángulo de 45º.
TIPO 69 : Rotura a lo largo de la línea de separación con un ángulo de 45º.
TIPO 70 : Rotura a lo largo de la línea de separación con un ángulo de 45º.
TIPO 71 : Rotura a lo largo de la línea de separación con un ángulo de 45º.
TIPO 72 : Rotura a lo largo de la línea de separación con un ángulo de 45º.
TIPO 73 : Rotura a lo largo de la línea de separación con un ángulo de 45º.
TIPO 74 : Rotura a lo largo de la línea de separación con un ángulo de 45º.
TIPO 75 : Rotura a lo largo de la línea de separación con un ángulo de 45º.
TIPO 76 : Rotura a lo largo de la línea de separación con un ángulo de 45º.
TIPO 77 : Rotura a lo largo de la línea de separación con un ángulo de 45º.
TIPO 78 : Rotura a lo largo de la línea de separación con un ángulo de 45º.
TIPO 79 : Rotura a lo largo de la línea de separación con un ángulo de 45º.
TIPO 80 : Rotura a lo largo de la línea de separación con un ángulo de 45º.
TIPO 81 : Rotura a lo largo de la línea de separación con un ángulo de 45º.
TIPO 82 : Rotura a lo largo de la línea de separación con un ángulo de 45º.
TIPO 83 : Rotura a lo largo de la línea de separación con un ángulo de 45º.
TIPO 84 : Rotura a lo largo de la línea de separación con un ángulo de 45º.
TIPO 85 : Rotura a lo largo de la línea de separación con un ángulo de 45º.
TIPO 86 : Rotura a lo largo de la línea de separación con un ángulo de 45º.
TIPO 87 : Rotura a lo largo de la línea de separación con un ángulo de 45º.
TIPO 88 : Rotura a lo largo de la línea de separación con un ángulo de 45º.
TIPO 89 : Rotura a lo largo de la línea de separación con un ángulo de 45º.
TIPO 90 : Rotura a lo largo de la línea de separación con un ángulo de 45º.
TIPO 91 : Rotura a lo largo de la línea de separación con un ángulo de 45º.
TIPO 92 : Rotura a lo largo de la línea de separación con un ángulo de 45º.
TIPO 93 : Rotura a lo largo de la línea de separación con un ángulo de 45º.
TIPO 94 : Rotura a lo largo de la línea de separación con un ángulo de 45º.
TIPO 95 : Rotura a lo largo de la línea de separación con un ángulo de 45º.
TIPO 96 : Rotura a lo largo de la línea de separación con un ángulo de 45º.
TIPO 97 : Rotura a lo largo de la línea de separación con un ángulo de 45º.
TIPO 98 : Rotura a lo largo de la línea de separación con un ángulo de 45º.
TIPO 99 : Rotura a lo largo de la línea de separación con un ángulo de 45º.
TIPO 100 : Rotura a lo largo de la línea de separación con un ángulo de 45º.

CI	Concreto
CP	Capacido
CAE	Cemento
AR	Agregado de resaca

NOTA ILUSTRATIVA: UNA MUESTRA DE CONCRETO DE ACUERDO AL REGLAMENTO NACIONAL DE CONSTRUCCION LA CONSTITUYEN DOS PROBETAS, PARA CADA EDAD Y CALIDAD DE CONCRETO

FECHA DE ENSAYO : 03/07/2021
TEMPERATURA AMBIENTE : -15.9°C
HUMEDAD RELATIVA : 68%
ÁREA DONDE SE REALIZÓ EL ENSAYO : ÁREA DE ENSAYOS ESPECIALES
OBSERVACIONES: MUESTRO REALIZADO POR EL PERSONAL DE LABORATORIO.
* LOS DATOS PROPORCIONADOS POR EL Peticionario SON LOS SEGUENTES: METODOLOGÍA, ATENCIÓN, NOMBRE DEL PROYECTO, UBICACIÓN, RESISTENCIA DE ESPESIMEN.
EL PRESENTE DOCUMENTO NO DEBE SER REPRODUCIDO SIN AUTORIZACIÓN ESCRITA DEL LABORATORIO, SALVO QUE LA REPRODUCCIÓN SEA EN SU TOTALIDAD.
LOS RESULTADOS DE LOS ENSAYOS NO DEBERÁN SER UTILIZADOS COMO UNA CERTIFICACIÓN DE CONFORMIDAD CON NORMAS DE PRODUCTOS O COMO CERTIFICADO DEL SISTEMA DE CALIDAD DE LA ENTIDAD QUE LE PROPORCIONA LOS RESULTADOS CORRESPONDIENTES A LOS ENSAYOS REALIZADOS SOBRE LAS MUESTRAS PROPORCIONADAS POR EL CLIENTE AL LABORATORIO DE MECÁNICA DE SUELOS, CONCRETO Y PAVIMENTOS.
IN-AC-017 REV.01. FECHA: 2011/04/05

LABORATORIO DE MECÁNICA DE SUELOS, CONCRETO Y PAVIMENTOS CENTAURO INGENIEROS
CALLE VICTORIA REGINA, 208
DISTRITO VICTORIA REGINA, JUNÍN

Email: grupocentauroringenieros@gmail.com Web: <http://centauroringenieros.com/> Facebook: [centauroingenieros](https://www.facebook.com/centauroingenieros/)
Av. Mariscal Castilla Nº 3950 - El Tambo - Huancayo - Junín (Frente a la 1ra Puerta de la U.N.C.P.) Telf. 054 - 253727 Cel. 992875980 - 964483588 - 964968015
Para verificar la autenticidad del informe puede comunicarse a: grupocentauroringenieros@gmail.com

Informe de ensayo con valor oficial
Inscrito en el Registro de Marcas y Servicio de INDECOPI con CERTIFICADO Nº 00114425 con Resolución Nº 007184-2019-/OSD-INDECOPI

EXPEDIENTE N°
PETICIONARIO
ATENCIÓN
PROYECTO
UBICACIÓN
FECHA DE RECEPCIÓN
FECHA DE EMISIÓN

: 1224-2021-AC
: BACH. ANDERSON JHORDENHO HUAMAN PÉREZ
: BACH. ANDERSON JHORDENHO HUAMAN PÉREZ
: *APLICACIÓN DE FIBRAS DE GUADUA ARGUSTIOLA EN EL DISEÑO DE PAVIMENTOS RÍGIDOS*

LABORATORIO DE ENSAYO DE MATERIALES CENTAURO INGENIEROS
LABORATORIO DE AGRIEGADOS Y CONCRETO
INFORME

: AV. PIQUEROS, ENTRE LOS TRAMOS AV. PÉREZ, JR. MARÍA ARGUEDAS - DISTRITO Y PROVINCIA DE CHANCHAMAYO - JUNÍN.
: 01 DE JULIO DEL 2021
: 30 DE JULIO DEL 2021

INFORME DE ENSAYO (PÁGS. 46 DE 01)

OBJETO:
Resistencia a la Compresión de Especificaciones Cilindros de Concreto.

MÉTODO:
ASTM C496/496M-20 Standard Test Method for Compressive Strength of Cylindrical Concrete Specimens.

MUESTRA	CÓDIGO DE TRABAJO	ESTRUCTURA DE PROBABILIDAD	TIPO DE MUESTRA	FECHA DE MOLDEO	FECHA DE ROTURA	EDAD	DIÁMETRO ESPECÍMEN PROMEDIO (mm)	ALTIMETRO ESPECÍMEN (mm)	ÁREA DE LA SECCIÓN TRANSVERSAL (mm²)	CARGA MÁXIMA (kN)	RESISTENCIA DE ESPECÍMEN (MPa)	RESISTENCIA RESISTENCIAL (MPa/cm²)	RESISTENCIA DE COMPRESIÓN (MPa/cm²)	% HUSO	TIPO DE FRACTURA	DEFECTOS
G-10	E-155-2021	ELABORACIÓN DE ESPECÍMEN EN EL LABORATORIO CON ADICIÓN DE 0.5%	PROYECTOS DE CONCRETO CILINDRICAS	3/07/2021	29/07/2021	2d	100.02	302.45	8176.09	293.06	35.2	348.5	210	352%	TIPO 1	NO
G-11	E-155-2021	ELABORACIÓN DE ESPECÍMEN EN EL LABORATORIO CON ADICIÓN DE 0.5%	PROYECTOS DE CONCRETO CILINDRICAS	3/07/2021	29/07/2021	3d	101.19	303.96	8041.32	307.38	30.6	365.5	210	174%	TIPO 2	NO
G-12	E-155-2021	ELABORACIÓN DE ESPECÍMEN EN EL LABORATORIO CON ADICIÓN DE 0.5%	PROYECTOS DE CONCRETO CILINDRICAS	3/07/2021	29/07/2021	28	101.17	303.76	8038.84	384.87	38.2	369.8	230	172%	TIPO 2	NO

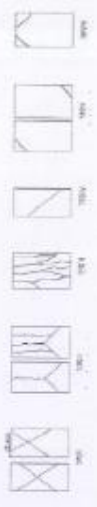
TIPO DE FRACTURA:

- TIPO 1 : Concreto totalmente bien formado, en ambas bases, sin huecos, sin fisuras ni grietas en cepsa.
- TIPO 2 : Concreto totalmente bien formado, en ambas bases, depósito de gránulos verticales a través de la cepsa, como no bien delimitado en la otra base.
- TIPO 3 : Fisuras verticales con un depósito de gránulos en la base superior o inferior.
- TIPO 4 : Fisuras diagonales sin grietas en las bases, gélulas con muestra para el ensayo de tipo 1.
- TIPO 5 : Fisuras de las bases (superior o inferior) ocurren simultáneamente con las cepsas de embudo.
- TIPO 6 : Similar al tipo 5 pero al terminar del cepsa se ven fisuras.

C1	
C2	
C3	
AR	X

NOTA ILUSTRATIVA: VERA MUESTRA DE CONCRETO DE ACUERDO AL REGLAMENTO NACIONAL DE CONSTRUCCIÓN LA CONSTITUYENDO PROYECTOS, PARA CALIDAD Y CANTIDAD DE CONCRETO

DATE:
FECHA DE ENSAYO : 2021-07-30
TEMPERATURA AMBIENTE : 14.8°C
HUMEDAD RELATIVA : 42%
ÁREA DONDE SE REALIZÓ EL ENSAYO : ÁREA DE ENSAYOS ESPECIALES
CORRECCIONES: MUESTRO REALIZADO POR EL PERSONAL DE LABORATORIO.
* LOS DATOS PRESENTACIONALES POR EL RETORNO SON LOS RESULTADOS PERTENECIENTES AL PROYECTO, UBICACIÓN, RESISTENCIA DE DISEÑO.
* EL PRESENTE DOCUMENTO NO DEBERÁ REPRODUCIRSE SIN AUTORIZACIÓN ESCRITA DEL LABORATORIO, SALVO QUE LA REPRODUCCIÓN SEA EN SU TOTALIDAD
* EL PRESENTE DOCUMENTO NO DEBERÁ SER UTILIZADO COMO UNA CERTIFICACIÓN DE CONFORMACIÓN CON NORMAS DE PRODUCTOS O COMO CERTIFICADO DEL SISTEMA DE CALIDAD DE LA ENTIDAD QUE LO PRODUCE. LOS RESULTADOS CORRESPONDEN A LOS MUESTROS REALIZADOS SOBRE LAS MUESTRAS REPRESENTATIVAS DEL CLIENTE AL LABORATORIO DE MECÁNICA DE SUELOS, CONCRETO Y PAVIMENTOS.
HC-AC-010 REV.01 FECHA: 2021-04-05



(Handwritten signature)
CENTAURO INGENIEROS
LABORATORIO DE ENSAYO ACREDITADO
INACAL DA - Perú
Rta de Página

**Anexo 06: Diseño de Mezcla $F'c=210\text{kg/cm}^2$ Muestra Patrón + 1.0% de Fibra de
Guadua Angustifolia**

LABORATORIO DE MECÁNICA DE SUELOS, CONCRETO Y PAVIMENTOS CENTAURO INGENIEROS

SERVICIOS DE:

- ENSAYOS PARA MECÁNICA DE SUELOS
- ENSAYOS EN AGREGADOS PARA CONCRETO Y ASFALTO
- ENSAYOS EN ROCAS
- ENSAYOS QUÍMICOS EN SUELOS Y AGUA
- ENSAYOS SPT, DPL, DPHS

- ESTUDIOS Y ENSAYOS GEOFÍSICOS
- PERFORACIONES Y EXTRACCIÓN DIAMANTINAS
- ESTUDIOS GEOTÉCNICOS
- CONTROL DE CALIDAD EN SUELOS CONCRETO Y ASFALTO
- EXTRACCIÓN Y TRASLADO DE MUESTRAS IN SITU



Inscrito en el Registro de Marcas y Servicio de INDECOPI con CERTIFICADO N° 00114425 con Resolución N° 007184-2019-/DSD-INDECOPI

**LABORATORIO DE ENSAYO DE MATERIALES DE CENTAURO INGENIEROS
LABORATORIO DE AGREGADOS Y CONCRETO
INFORME**

EXPEDIENTE N° : 1226-2021-AC
 PETICIONARIO : ANDERSON JHORDENIO HUAMÁN PÉREZ
 ATENCIÓN : ANDERSON JHORDENIO HUAMÁN PÉREZ
 OBRA : "APLICACIÓN DE FIBRAS DE GUADUA ANGUSTIFOLIA EN EL DISEÑO DE PAVIMENTOS RÍGIDOS"
 UBICACIÓN : MEJORAMIENTO DE VÍAS URBANAS EN LA AV. PIONEROS; ENTRE LOS TRAMOS AV. PERÚ, JR. MARÍA ARGUEDAS
 FECHA DE RECEPCIÓN : 29 DE ABRIL DEL 2021
 FECHA DE EMISIÓN : 31 DE JULIO DEL 2021

DISEÑO DE MEZCLA PRÁCTICO - CORREGIDO POR ADITIVO - MÓDULO DE FINEZA
 ADITIVO USADO: FIBRAS DE GUADUA ANGUSTIFOLIA EN 1%

CÓDIGO DE ORDEN DE TRABAJO: P-071-2021

1. CARACTERÍSTICAS DE LOS MATERIALES

CEMENTO	
TIPO	I
PROCEDENCIA	CEMENTO ANDINO
PESO ESPECÍFICO	3.12
AGUA	
TIPO	AGUA POTABLE
PESO ESPECÍFICO	1 000 kg/m ³
AGREGADOS	

	FINO	GRUESO
PERFIL		ANGULAR
PESO UNITARIO SUELTO (kg/m ³)	1590.63	1437.78
PESO UNITARIO COMPACTADO	1741.25	1652.64
PESO ESPECÍFICO SECO	2.50	2.68
MÓDULO DE FINEZA	2.86	7.82
TMN	No. 4	3/4 in.
PORCENTAJE DE ABSORCIÓN	1.26%	0.67%
CONTENIDO DE HUMEDAD	2.63%	0.07%

2. CARACTERÍSTICAS DEL CONCRETO

RESISTENCIA A COMPRESIÓN	210 Kg/cm ²
CONSISTENCIA	Plástico

3. DETERMINACION DE LA RESISTENCIA PROMEDIO

Dosificación cuando no se cuenta con experiencia en obra o mezclas de prueba

f _{cr} ESPECIFICADO	f _{cr} (Kg/cm ²)	f _{cr}
210	f _{cr} + 8,5 MPa	295

De acuerdo a lo especificado por el peticionario

f _{cr}	295
-----------------	-----

Fuente: RNE, NORMA E.060, CAPÍTULO 5 - 5.4

4. SELECCIÓN DEL TMN

TMN	3/4 in.
-----	---------

6. CONTENIDO DE AGUA

Asentamiento	3" - 4"
TMN	3/4 in.
Volumen unitario de Agua	200

8. RELACION AGUA / CEMENTO

Resistencia promedio	295
R A/C	0.56

5. ASENTAMIENTO

De acuerdo a Tabla 01

	3" a 4"
CORRECCION DE ADITIVO	3" a 4"

7. CONTENIDO DE AIRE TOTAL

TMN	3/4 in.
Contenido de aire atrapado	2.0%

9. CONTENIDO DE CEMENTO

Fact cemento = $\frac{Vol Unit. Agua}{a/c}$

Victor Hugo Duran
 INGENIERO EN MECÁNICA DE SUELOS Y PAVIMENTOS
 CENTRO DE INVESTIGACIONES Y DESARROLLO TECNOLÓGICO
 INSTITUTO TECNOLÓGICO DE CALIDAD
 VICERRECTORÍA DE INVESTIGACIONES Y DESARROLLO TECNOLÓGICO
 INSTITUTO TECNOLÓGICO DE CALIDAD

Email: grupocentauroingenieros@gmail.com Web: <http://centauroingenieros.com/> Facebook: [centauro ingenieros](https://www.facebook.com/centauroingenieros)
 Av. Mariscal Castilla N° 3950 - El Tambo - Huancayo - Junín (Frente a la 1ra Puerta de la U.N.C.P.) Telf. 064 - 253727 Cel. 992875800 - 964483588 - 964868015

Para verificar la autenticidad del informe puede comunicarse a: grupocentauroingenieros@gmail.com

LABORATORIO DE MECÁNICA DE SUELOS, CONCRETO Y PAVIMENTOS CENTAURO INGENIEROS

SERVICIOS DE:

- ENSAYOS PARA MECÁNICA DE SUELOS
- ENSAYOS EN AGREGADOS PARA CONCRETO Y ASFALTO
- ENSAYOS EN ROCAS
- ENSAYOS QUÍMICOS EN SUELOS Y AGUA
- ENSAYOS SPT, DPL, DPHS

- ESTUDIOS Y ENSAYOS GEOPÍSICOS
- PERFORACIONES Y EXTRACCIÓN DIAMANTINAS
- ESTUDIOS GEOTÉCNICOS
- CONTROL DE CALIDAD EN SUELOS CONCRETO Y ASFALTO
- EXTRACCIÓN Y TRASLADO DE MUESTRAS INBITU



Inscrito en el Registro de Marcas y Servicio de INDECOPI con CERTIFICADO N° 00114425 con Resolución N° 007184-2019-/DSD-INDECOPI

LABORATORIO DE ENSAYO DE MATERIALES DE CENTAURO INGENIEROS
LABORATORIO DE AGREGADOS Y CONCRETO
INFORME

EXPEDIENTE N° : 1226-2021-AC
 PETICIONARIO : ANDERSON JHORDENIO HUAMÁN PÉREZ
 ATENCION : ANDERSON JHORDENIO HUAMÁN PÉREZ
 OBRA : "APLICACIÓN DE FIBRAS DE GUADUA ANGUSTIFOLIA EN EL DISEÑO DE PAVIMENTOS RÍGIDOS"
 UBICACIÓN : MEJORAMIENTO DE VÍAS URBANAS EN LA AV. PIONEROS; ENTRE LOS TRAMOS AV. PERÚ, JIL. MARÍA ARGUEDAS
 FECHA DE RECEPCIÓN : 29 DE ABRIL DEL 2021
 FECHA DE EMISIÓN : 31 DE JULIO DEL 2021

10. CÁLCULO DEL VOLUMEN ABSOLUTO DE LA PASTA	
CEMENTO	0.11509 m ³
AGUA	0.2000 m ³
AIRE	0.0200 m ³
TOTAL	0.33509 m³

Factor cemento	359
Factor cemento en bolsas	8.45
11. VOLUMEN DEL AGREGADO TOTAL	

12. CÁLCULO DE MÓDULO DE FINEZA
* Tabla 04 - Módulo de fineza de la combinación de agregados

Factor cemento en sacos	8.45
TMN	3/4 in.
Módulo de fineza	5.15

AGREGADO	1 - Vol. Abs. Past.
VOLUMEN AGREGADO	0.665 m ³
13. CÁLCULO DE PORCENTAJE DE AGREG. FINO	
$r_f = \frac{mg - m}{mg - mf}$	
m	5.15
mg	7.82
mf	2.86
rf	53.94%

14. CÁLCULO DE VOLUMEN DE AGREGADOS	
AGREGADO FINO	0.359 m ³
AGREGADO GRUESO	0.306 m ³

15. CÁLCULO DE PESOS DE LOS AGREGADOS	
AGREGADO FINO	897 kg/m ³
AGREGADO GRUESO	820 kg/m ³

16. DISEÑO EN ESTADO SECO	
CEMENTO	359.07 Kg/m ³
AGUA	200.00 Lt/m ³
AGREGADO FINO	896.97 Kg/m ³
AGREGADO GRUESO	820.44 Kg/m ³

17. CORRECCION DE DISEÑO POR HUMEDAD	
AGREGADO FINO HUMEDO	909.27 Kg/m ³
AGREGADO GRUESO HUMEDO	821.03 Kg/m ³

HUMEDAD SUPERFICIAL DEL AGREGADO	
AGREGADO FINO	1.37%
AGREGADO GRUESO	-0.60%
APORTE DE HUMEDAD	
AGREGADO FINO	12.30
AGREGADO GRUESO	-4.89
APORTE DE HUMEDAD DEL AGREGADO	7.41
AGUA EFECTIVA	192.59

18. DISEÑO DE MEZCLA FINAL	
CEMENTO	359.07 kg/m ³
AGUA EFECTIVA	192.59 lt
AGREGADO FINO HUMEDO	909.27 kg/m ³
AGREGADO GRUESO HUMEDO	815.55 kg/m ³
CONCRETO	2276.48

Email: grupocentauroingenieros@gmail.com Web: http://centauroingenieros.com/ Facebook: centauro ingenieros
 Av. Mariscal Castilla N° 3950 - El Tambo - Huancayo - Junín (Frente a la 1ra Puerta de la U.N.C.P.) Telf. 064 - 253727 Cel. 992875860 - 964483588 - 964966015

Para verificar la autenticidad del Informe puede comunicarse a: grupocentauroingenieros@gmail.com

LABORATORIO DE MECÁNICA DE SUELOS, CONCRETO Y PAVIMENTOS CENTAURO INGENIEROS

SERVICIOS DE:

- ENSAYOS PARA MECÁNICA DE SUELOS
- ENSAYOS EN AGREGADOS PARA CONCRETO Y ASFALTO
- ENSAYOS EN RCCAS
- ENSAYOS QUÍMICOS EN SUELOS Y AGUA
- ENSAYOS SPT, DPL, DPHS
- ESTUDIOS Y ENSAYOS GEOTÉCNICOS
- PERFORACIONES Y EXTRACCIÓN DIAMANTINAS
- ESTUDIOS GEOTÉCNICOS
- CONTROL DE CALIDAD EN SUELOS CONCRETO Y ASFALTO
- EXTRACCIÓN Y TRASLADO DE MUESTRAS IN SITU



Inscrito en el Registro de Marcas y Servicio de INDECOPI con CERTIFICADO N° 00114425 con Resolución N° 007184-2019-/DSD-INDECOPI

**LABORATORIO DE ENSAYO DE MATERIALES DE CENTAURO INGENIEROS
LABORATORIO DE AGREGADOS Y CONCRETO
INFORME**

EXPEDIENTE N° : 1226-2021-AC
 PETICIONARIO : ANDERSON JHORDENIO HUAMÁN PÉREZ
 ATENCION : ANDERSON JHORDENIO HUAMÁN PÉREZ
 OBRA : *APLICACIÓN DE FIBRAS DE GUADUA ANGUSTIFOLIA EN EL DISEÑO DE PAVIMENTOS RÍGIDOS*
 UBICACIÓN : MEJORAMIENTO DE VÍAS URBANAS EN LA AV. PIONEROS; ENTRE LOS TRAMOS AV. PERÚ, JR. MARÍA ARGUEDAS
 FECHA DE RECEPCIÓN : 29 DE ABRIL DEL 2021
 FECHA DE EMISIÓN : 31 DE JULIO DEL 2021

DOSIMIFICACIÓN AL PREPARAR CONCRETO EN MOLDE CONOCIDO

VOLUMEN	0.1
CEMENTO	35.907
AGUA EFECTIVA	19.259
AGREGADO FINO HUMEDO	90.927
AGREGADO GRUESO HUMEDO	81.555
CONCRETO	227.648

VOLUMEN DEL CONCRETO MEZCLADO

CEMENTO	359.07
AGUA	192.59
AGREGADO FINO	909.27
AGREGADO GRUESO	815.55
PESO ESPECIFICO	2276.48
R A/C	0.54

PROPORCIÓN EN VOLUMEN

CEMENTO	1	42.5 kg/saco
AGUA	22.80	22.80 kg/saco
AGREGADO FINO	2.53	107.62 kg/saco
AGREGADO GRUESO	2.27	96.53 kg/saco

	FINO	GRUESO
PESO UNITARIO SUELTO	1590.63	1437.78

PESO POR PIE3

CEMENTO	42.50 Kg/ple3
AGUA	22.80 lt/ple3
AGREGADO FINO	45.06 Kg/ple3
AGREGADO GRUESO	40.73 Kg/ple3

19. PROPORCIÓN EN PESO

MATERIALES SIN CORREGIR

CEMENTO	A.F.	A.G	AGUA
359	897	820	200
359	359	359	8.4
1.00	2.50	2.28	23.67

MATERIALES CORREGIDOS

CEMENTO	A.F.	A.G	AGUA
359	909	816	193
359	359	359	8.4
1.00	2.53	2.27	22.80

Email: grupocentauroingenieros@gmail.com Web: <http://centauroingenieros.com/> Facebook: [centauro ingenieros](https://www.facebook.com/centauroingenieros)
 Av. Mariscal Castilla N° 3950 - El Tambo - Huancayo - Junín (Frente a la 1ra Puerta de la U.N.C.P.) Telf. 064 - 253727 Cel. 992875860 - 964483568 - 994966015

Para verificar la autenticidad del informe puede comunicarse a: grupocentauroingenieros@gmail.com

LABORATORIO DE MECÁNICA DE SUELOS, CONCRETO Y PAVIMENTOS CENTAURO INGENIEROS

SERVICIOS DE:

- ENSAYOS PARA MECÁNICA DE SUELOS
- ENSAYOS EN AGREGADOS PARA CONCRETO Y ASFALTO
- ENSAYOS EN ROCAS
- ENSAYOS QUÍMICOS EN SUELOS Y AGUA
- ENSAYOS SPT, DFL, DPHS
- ESTUDIOS Y ENSAYOS GEOFÍSICOS
- PERFORACIONES Y EXTRACCIÓN DIAMANTINAS
- ESTUDIOS GEOTÉCNICOS
- CONTROL DE CALIDAD EN SUELOS CONCRETO Y ASFALTO
- EXTRACCIÓN Y TRASLADO DE MUESTRAS IN SITU



Inscrito en el Registro de Marcas y Servicio de INDECOPI con CERTIFICADO N° 00114425 con Resolución N° 007184-2019-/DSD-INDECOPI

**LABORATORIO DE ENSAYO DE MATERIALES DE CENTAURO INGENIEROS
LABORATORIO DE AGREGADOS Y CONCRETO
INFORME**

EXPEDIENTE N° : 1226-2021-AC
 PETICIONARIO : ANDERSON JHORDENIO HUAMÁN PÉREZ
 ATENCION : ANDERSON JHORDENIO HUAMÁN PÉREZ
 OBRA : "APLICACIÓN DE FIBRAS DE GUADUA ANGUSTIFOLIA EN EL DISEÑO DE PAVIMENTOS RÍGIDOS"
 UBICACIÓN : MEJORAMIENTO DE VÍAS URBANAS EN LA AV. PIONEROS; ENTRE LOS TRAMOS AV. PERÚ, JR. MARÍA ARGUEDAS
 FECHA DE RECEPCIÓN : 29 DE ABRIL DEL 2021
 FECHA DE EMISIÓN : 31 DE JULIO DEL 2021

* RELACION AGUA CEMENTO DE DISEÑO : 0.56
 * RELACION AGUA CEMENTO EFECTIVA (OBRA) : 0.54

20. PROPORCIÓN EN VOLUMEN

CEMENTO	A.F.	A.G	AGUA
42.5	107.6	96.5	22.8
42.5	45.1	40.7	1.0
1.00	2.39	2.37	22.80

21. PESOS POR TANDA DE UNA BOLSA DE CEMENTO

CEMENTO	42.50 Kg/bolsa
AGUA	22.80 Lt/bolsa
AGREGADO FINO HUMEDO	107.62 Kg/bolsa
AGREGADO GRUESO HUMEDO	96.53 Kg/bolsa

CORRECCIÓN POR ADITIVO USANDO 1% DE FIBRA DE GUADUA ANGUSTIFOLIA

CEMENTO	359.07 kg/m3
AGUA EFECTIVA	192.59 lt
AGREGADO FINO HUMEDO	909.27 kg/m3
AGREGADO GRUESO HUMEDO	815.55 kg/m3
FIBRA DE GUADUA ANGUSTIFOLIA	8.10 kg/m3
CONCRETO	2284.58

DOSIIFICACIÓN AL PREPARAR CONCRETO EN MOLDE CONOCIDO

VOLUMEN	0.1
CEMENTO	35.907
AGUA EFECTIVA	19.259
AGREGADO FINO HUMEDO	90.927
AGREGADO GRUESO HUMEDO	81.555
FIBRA DE GUADUA ANGUSTIFOLIA	0.810
CONCRETO	227.648

2. VOLUMEN DEL CONCRETO MEZCLADO

CEMENTO	359.07
AGUA	192.59
AGREGADO FINO	909.27
AGREGADO GRUESO	815.55
FIBRA DE GUADUA ANGUSTIFOLIA	8.10
PESO ESPECIFICO	2284.58
R A/C	0.54

LABORATORIO DE MECÁNICA DE SUELOS, CONCRETO Y PAVIMENTOS CENTAURO INGENIEROS

SERVICIOS DE:

- ENSAYOS PARA MECÁNICA DE SUELOS
- ENSAYOS EN AGREGADOS PARA CONCRETO Y ASFALTO
- ENSAYOS EN ROCAS
- ENSAYOS QUÍMICOS EN SUELOS Y AGUA
- ENSAYOS SPT, DPL, DPHS
- ESTUDIOS Y ENSAYOS GEOFÍSICOS
- PERFORACIONES Y EXTRACCIÓN DIAMANTINAS
- ESTUDIOS GEOTÉCNICOS
- CONTROL DE CALIDAD EN SUELOS CONCRETO Y ASFALTO
- EXTRACCIÓN Y TRASLADO DE MUESTRAS INSITU



Inscrito en el Registro de Marcas y Servicio de INDECOPI con CERTIFICADO N° 00114425 con Resolución N° 007184-2019-/DSD-INDECOPI

**LABORATORIO DE ENSAYO DE MATERIALES DE CENTAURO INGENIEROS
LABORATORIO DE AGREGADOS Y CONCRETO
INFORME**

EXPEDIENTE N° : 1226-2021-AC
 PETICIONARIO : ANDERSON JHORDENIO HUAMÁN PÉREZ
 ATENCION : ANDERSON JHORDENIO HUAMÁN PÉREZ
 OBRA : "APLICACIÓN DE FIBRAS DE GUADUA ANGUSTIFOLIA EN EL DISEÑO DE PAVIMENTOS RÍGIDOS"
 UBICACIÓN : MEJORAMIENTO DE VÍAS URBANAS EN LA AV. PIONEROS; ENTRE LOS TRAMOS AV. PERÚ, JR. MARÍA ARGUEDAS
 FECHA DE RECEPCIÓN : 29 DE ABRIL DEL 2021
 FECHA DE EMISIÓN : 31 DE JULIO DEL 2021

3. PROPORCION EN VOLUMEN

CEMENTO	1	42.5	kg/saco
AGUA	22.80	22.80	kg/saco
AGREGADO FINO	2.53	107.62	kg/saco
AGREGADO GRUESO	2.27	96.53	kg/saco
FIBRA DE GUADUA ANGUSTIFOLIA	0.023	0.96	kg/saco
	FINO	GRUESO	
PESO UNITARIO SUELTO	1590.63	1437.78	

4. PESO POR PIE³

CEMENTO	42.50	Kg/pie ³
AGUA	22.80	Lt/pie ³
AGREGADO FINO	45.06	Kg/pie ³
AGREGADO GRUESO	40.73	Kg/pie ³
FIBRA DE GUADUA ANGUSTIFOLIA	0.96	Kg/pie ³

5. PROPORCION EN PESO

CEMENTO	A.F.	A.G	AGUA	FIBRA DE GUADUA ANGUSTIFOLIA
359	909	816	193	8.10
359	359	359	11	11
1.00	2.53	2.27	17.32	0.73

* RELACION AGUA CEMENTO DE DISEÑO : 0.42
 * RELACION AGUA CEMENTO EFECTIVA (OBRA) : 0.54

6. PROPORCION EN VOLUMEN

CEMENTO	A.F.	A.G	AGUA	FIBRA DE GUADUA ANGUSTIFOLIA
42.5	107.6	96.5	22.8	0.96
42.5	45.1	40.7	1.0	1
1.00	2.39	2.37	22.80	0.96

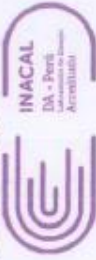
7. PESOS POR TANDA DE UNA BOLSA DE CEMENTO

CEMENTO	42.50	Kg/bolsa
AGUA	17.32	Lt/bolsa
AGREGADO FINO HUMEDO	107.62	Kg/bolsa
AGREGADO GRUESO HUMEDO	96.53	Kg/bolsa
FIBRA DE GUADUA ANGUSTIFOLIA	0.96	Kg/bolsa

HC-AC-004 REV.05 FECHA: 2019/10/31

Email: grupocentauroingenieros@gmail.com Web: <http://centauroingenieros.com/> Facebook: [centauro ingenieros](https://www.facebook.com/centauroingenieros)
 Av. Mariscal Castilla N° 3950 - El Tambo - Huancayo - Junín (Frente a la 1ra Puerta de la U.N.C.P.) Telf. 064 - 253727 Cel. 982875880 - 964483588 - 964966015

Para verificar la autenticidad del informe puede comunicarse a: grupocentauroingenieros@gmail.com



Bolivia ILE - 141

Informe de ensayo con valor oficial
 Inscrito en el Registro de Marcas y Servicio de INDECOPI con Resolución Nº 007184-2019-/OSD-INDECOPI

LABORATORIO DE ENSAYO DE MATERIALES CENTAURO INGENIEROS
 INFORME
 LABORATORIO DE ASIGRADOS Y CONCRETO

EXPEDIENTE N° : 1033-2021-AC
PECIONARIO : SACH, ANDERSON JHORDERO HUAMAN PÉREZ
ATENCIÓN : SACH, ANDERSON JHORDERO HUAMAN PÉREZ
PROYECTO : *APLICACIÓN DE FIBRAS DE GUARDA MARGISTIPOLDA EN EL DISEÑO DE PAVIMENTOS SÚGIDOS*
UBICACIÓN : AV. PIONEROS, ENTRE LOS TRAMOS AV. PERÚ, J.R. MARGA ANQUEGUAÑAS - DISTRITO Y PROVINCIA DE CHANCHAMAYO - JUNÍN.
FECHA DE RECEPCIÓN : 01 DE JULIO DEL 2021
FECHA DE EMISIÓN : 08 DE JULIO DEL 2021

INFORME DE ENSAYO (PÁG. 01 DE 02)

REQUIS:
 Referencia a la Compañía de Especialistas Clásificadas de Concreto.

MÉTODO:
 ASTM C293/C293M-20, Estándar Test Method for Compressive Strength of Cylindrical Concrete Specimens.

AMUESTRA	COORDENADA DE TRAZADO	ESTRUCTURA DE PROCEDENCIA	TIPO DE MUESTRA	FECHA DE MUESTRO	FECHA DE BOTOMIA	EDAD	DIÁMETRO ESPESOR PROYECTADO (mm)	ALTIMA DE ESPESOR (mm)	ÁREA DE LA SECCIÓN TRANSVERSAL (mm ²)	CARGA MÁXIMA (kN)	RESISTENCIA DE ESPESOR (MPa)	RESISTENCIA DE ESPESOR (kg/cm ²)	RESISTENCIA DE DISEÑO (kg/cm ²)	N.º DE PUNTS	TIPO DE FRACTURA	DEFECTOS
2-1	E-157-2021	ELABORACIÓN DE ESPESOR EN EL LABORATORIO CON ADICIÓN DE 1% OLIVINICAS	PROYECTOS DE CONCRETO CILINDRICAS	30/06/2021	3/07/2021	3	301.00	205.11	8013.90	312.47	14.3	143.2	210	80%	TPO 1	NO
2-2	E-157-2021	ELABORACIÓN DE ESPESOR EN EL LABORATORIO CON ADICIÓN DE 1%	PROYECTOS DE CONCRETO CILINDRICAS	30/06/2021	3/07/2021	3	301.00	205.11	8013.90	354.37	15.8	157.9	210	80%	TPO 1	NO
2-3	E-157-2021	ELABORACIÓN DE ESPESOR EN EL LABORATORIO CON ADICIÓN DE 1%	PROYECTOS DE CONCRETO CILINDRICAS	30/06/2021	3/07/2021	3	302.80	203.19	8462.23	337.13	16.9	169.1	210	71%	TPO 1	NO

TIPO DE FRACTURA:

- TPO 1 : Como se ilustra en el tipo 1, en ambos bases, menos de 25mm de grietas en capas.
- TPO 2 : Como se ilustra en el tipo 2, desplazamiento de grietas verticales a través de las capas, como se ilustra en el tipo 1.
- TPO 3 : Grietas verticales colaterales en ambas bases.
- TPO 4 : Fractura diagonal en grietas en las bases, girar con respecto al eje del cilindro.
- TPO 5 : Fractura de tipo 4 en las bases superior e inferior, ocurren comúnmente con las capas de entosados.
- TPO 6 : Fractura de tipo 3 pero el tamaño del cilindro es aumentado.
- CS : Controlado
- CP : Controlado
- AN : Otro método de inspección



NOTA ILUSTRATIVA: UNA MUESTRA DE CONCRETO DE ACUERDO AL REGLAMENTO NACIONAL DE CONSTRUCCIÓN LA CONSTITUYEN DOS PROYECTAS, PARA CADA EDAD Y CALIDAD DE CONCRETO

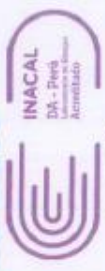
DATOS:
 FECHA DE ENSAYO : 2021-07-08
 TEMPERATURA AMBIENTE : 17.5°C
 HUMEDAD RELATIVA : 20%
 AREA DONDE SE REALIZÓ EL ENSAYO : AREA DE ENSAYOS ESPECIALES
 *LOS DATOS PROPORCIONADOS POR EL ESTABLECIMIENTO SIN AUTORIZACION ESCRITA DEL LABORATORIO, SALVO QUE LA REPRODUCCION SEA EN SU TOTALIDAD.
 *LOS DATOS PROPORCIONADOS POR EL ESTABLECIMIENTO SIN AUTORIZACION ESCRITA DEL LABORATORIO, SALVO QUE LA REPRODUCCION SEA EN SU TOTALIDAD.
 LOS RESULTADOS DE LOS ENSAYOS NO DEBEN SER UTILIZADOS COMO UNA CERTIFICACION DE COMPAÑIA CON NORMAS DE PROYECTOS O COMO CERTIFICADO DEL SISTEMA DE CALIDAD DE LA ENTIDAD QUE LO PRODUCE. LOS RESULTADOS CORRESPONDEN A LOS ENSAYOS REALIZADOS SOBRE LAS MUESTRAS PROPORCIONADAS POR EL CLIENTE AL LABORATORIO DE MECÁNICA DE SUELOS, CONCRETO Y PAVIMENTOS.
 HC-AC-127 REV.03 TECN: 2021/04/25

INGENIERO CIVIL EN SISTEMAS DE CONSTRUCCION
 AREA DE CALIDAD
 M. Sc. Ing. Juan Carlos Andía Arias
 Responsable de Calidad

Email: grupocentauroringenieros@gmail.com Web: <http://centauroringenieros.com/> Facebook: [centauro Ingenieros](https://www.facebook.com/centauroingenieros)
 Av. Mariscal Castilla Nº 3950 - El Tambo - Huancayo - Junín (Frente a la 1ra Puerta de la U.N.C.P.) Telf. 064 - 253727 Cel. 992873960 - 964483588 - 964966015
 Para verificar la autenticidad del informe puede comunicarse a: grupocentauroringenieros@gmail.com

LABORATORIO DE MECÁNICA DE SUELOS, CONCRETO Y PAVIMENTOS CENTAURO INGENIEROS

LABORATORIO DE ENSAYO ACREDITADO POR EL ORGANISMO PERUANO DE ACREDITACION INACAL - DA CON REGISTRO Nº LE-141



Informe de ensayo con valor oficial
Inscrito en el Registro de Marcas y Servicio de INDECOPI con CERTIFICADO Nº 0011.4425 con Resolución Nº 007184-2019-/DSD-INDECOPI

LABORATORIO DE ENSAYO DE MATERIALES CENTAURO INGENIEROS
LABORATORIO DE ASFALTADOS Y CONCRETO

EXPEDIENTE N° : 1034-2021-AC
 PETICIONARIO : BACH. ANDRÉS ORIBERTO HUAMÁN PÉREZ
 ATRIBUCIÓN : BACH. ANDRÉS ORIBERTO HUAMÁN PÉREZ
 PROYECTO : "APLICACIÓN DE FIBRAS DE GLUCINA ACUSTIFOLIA EN EL DISEÑO DE PAVIMENTOS RÍGIDOS"
 UBICACIÓN : AV. PLOMEROS, ENTRE LOS TRIANOS AV. (REB.), 30. HANGA ANGLEADAS - DISTRITO Y PROVINCIA DE CHANCHAMAYO - JUNÍN.
 FECHA DE RECEPCIÓN : 01 DE JULIO DEL 2021
 FECHA DE EMISIÓN : 08 DE JULIO DEL 2021

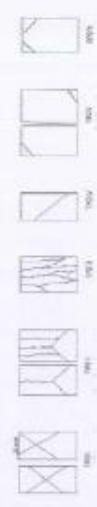
INFORME DE ENSAYO (Máx. 01 de 04)

ENSAYO: Resistencia a la Compresión de Especificación (Estandar de Concreto).
MÉTODO: ASTM C39/C39M-20: Standard Test Method for Compressive Strength of Cylindrical Concrete Specimens.

MOUESTRA	CÓDIGO DE TRABAJO	ESTRUCTURA DE PROBABILIDAD	TIPO DE MUESTRA	FECHA DE MUESTRO	FECHA DE ROTURA	EDAD	DIÁMETRO PROMEDIO (mm)	ALTIMETRO PROMEDIO (mm)	ÁREA DE LA SECCIÓN TRANSVERSAL (mm²)	COEFAICIÓN DE VARIACIÓN (10%)	RESISTENCIA (MPa)	RESISTENCIA (MPa/cm²)	RESISTENCIA DE DISEÑO (MPa/cm²)	% RESIL	TIPO DE FRACTURA	DEFECTOS
2-4	E-157-2021	ELABORACIÓN DE ESPECIMEN EN EL LABORATORIO CON ADICIÓN DE 1% FIBRAS	PROBETAS DE CONCRETO CILINDRICAS	30/04/2021	7/07/2021	7	101.24	305.96	8093.17	26.3	264.9	210	210	126%	TIPO 1	NO
2-5	E-157-2021	ELABORACIÓN DE ESPECIMEN EN EL LABORATORIO CON ADICIÓN DE 1% FIBRAS	PROBETAS DE CONCRETO CILINDRICAS	30/04/2021	7/07/2021	7	100.96	204.58	8325.82	23.97	272.4	210	210	130%	TIPO 1	NO
2-6	E-157-2021	ELABORACIÓN DE ESPECIMEN EN EL LABORATORIO CON ADICIÓN DE 1% FIBRAS	PROBETAS DE CONCRETO CILINDRICAS	30/04/2021	7/07/2021	7	101.57	304.46	8302.59	17.21	238.1	210	210	120%	TIPO 1	NO

TIPO DE FRACTURA:

- TIPO 1 : Concreto comprimido sin fisuras, se ven las fibras, se ven de 25mm de diámetro en el centro.
- TIPO 2 : Concreto comprimido con una base, se ven las fibras, se ven de 25mm de diámetro en el centro.
- TIPO 3 : Se ven las fibras comprimidas en una base, se ven las fibras, se ven de 25mm de diámetro en el centro.
- TIPO 4 : Fractura diagonal sin grietas en la base, gubiar con martillo para diferenciar del tipo 1.
- TIPO 5 : Fractura en la base, superior o inferior, gubiar con martillo para diferenciar del tipo 1.
- TIPO 6 : Fractura en la base, superior o inferior, gubiar con martillo para diferenciar del tipo 1.
- CI : Concreto
- CA : Agregado
- CM : Mortero
- AN : Armadura de acero



1	2	3
---	---	---

NOTA ILUSTRATIVA: UNA MUESTRA DE CONCRETO DE ACUERDO AL REGLAMENTO NACIONAL DE CONSTRUCCIÓN PARA CALIFICADO Y CALIDAD DE CONCRETO

DATOS:

FECHA DE ENSAYO : 2021-07-07
 TEMPERATURA AMBIENTE : 15.4°C
 HUMEDAD RELATIVA : 58%

ÁREA DONDE SE REALIZÓ EL ENSAYO : ÁREA DE ENSAYO ESPECIALES

OBSERVACIONES: MUESTRO REALIZADO POR EL PERSONAL DE LABORATORIO. EL RESULTADO DE LOS ENSAYOS SE ENVIARÁ AL CLIENTE EN UN PLAZO DE 7 DÍAS. LOS RESULTADOS DE LOS ENSAYOS NO DEBEN SER UTILIZADOS COMO UN CERTIFICADO DE CONFORMIDAD CON NORMAS DE PROYECTOS O COMO CERTIFICADO DEL SISTEMA DE CALIDAD DE LA ENTIDAD QUE LO PRODUCE. LOS RESULTADOS CORRESPONDEN A LOS ENSAYOS REALIZADOS SOBRE LAS MUESTRAS PREPARADAS POR EL CLIENTE AL LABORATORIO DE MECÁNICA DE SUELOS, CONCRETO Y PAVIMENTOS.

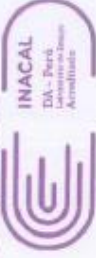
HC-AC-017 REV.02, FECHA: 2021/04/02

INGENIERO ORIBERTO HUAMÁN PÉREZ S.A.S.
 Ing. Orisberto Huamán Pérez
 Ing. Ing. Juan José Amador Arias

Email: grupocentauroringenieros@gmail.com Web: <http://centauroingenieros.com/> Facebook: [centauro Ingenieros](https://www.facebook.com/centauroingenieros)
 Av. Mariscal Castilla N° 3950 - El Tambo - Huancayo - Junín (Frente a la 1ra Puerta de la U.N.C.P.) Tel: 064 - 253727 Cel: 992875980 - 964463358 - 964988015
 Para verificar la autenticidad del informe puede comunicarse a: grupocentauroringenieros@gmail.com

LABORATORIO DE MECÁNICA DE SUELOS, CONCRETO Y PAVIMENTOS CENTAURO INGENIEROS

LABORATORIO DE ENSAYO ACREDITADO POR EL ORGANISMO PERUANO DE ACREDITACION INACAL - DA CON REGISTRO Nº LE-141



Inscrito en el Registro de Marcas y Servicio de INDECOPI con CERTIFICADO Nº 00114425 con Resolución Nº 007184-2019-/DSD-INDECOPI



LABORATORIO DE ENSAYO DE MATERIALES CENTAURO INGENIEROS
LABORATORIO DE AGREGADOS Y CONCRETO
TIPOFORME

EXPEDIENTE N° : 1-070-2021-AC
PETICIONARIO : BACH. ANDERSON ZHOEDENDO HUAMAN PÉREZ
ATENCIÓN : BACH. ANDERSON ZHOEDENDO HUAMAN PÉREZ
PROYECTO : "PULVICACIÓN DE PISAS DE GRANULA ANGUSTIFOLIA EN EL DISEÑO DE PAVIMENTOS RÍGIDOS"
UBICACIÓN : AV. PIONEROS, ENTRE LOS TIANGOS AV. PERÚ, DR. RAMÍA ARGUEDAS - DISTRITO Y PROVINCIA DE CHAMCHAWAYO - JUNÍN.
FECHA DE RECEPCIÓN : 01 DE JULIO DEL 2021
FECHA DE EMISIÓN : 14 DE JULIO DEL 2021

FORMA DE ENSAYO (PÁG. 01 DE 02)

ENSAYO: Resistencia a la Compresión de Especificaciones Cúbicas de Concreto. METODO: ASTM C109/C109M-20 Standard Test Method for Compressive Strength of Cylindrical Concrete Specimens.

MOUESTRA	CODIGO DE TRABAJO	ESTRUCTURA DE PROVEDENCIA	TIPO DE MUESTRA	FECHA DE MUESTRO	FECHA DE ADITIVA	EDAD	DIÁMETRO ESPESOR PROMEDIO (mm)	ALTIMETRO ESPESOR PROMEDIO (mm)	ÁREA DE LA SECCIÓN TRANSVERSAL (mm ²)	CARGA MÁXIMA (kN)	RESISTENCIA DE ESPESOR PROMEDIO (MPa)	RESISTENCIA DE ESPESOR (MPa/cm ²)	ESQUEMA DE DISEÑO (Figura)	N.º DE MESA	TIPO DE FRACTURA	DEFECTOS
Z-7	E-107-2021	ELABORACIÓN DE ESPESOR EN EL LABORATORIO CON ADICIÓN DE 1.1%	PROBETA DE CONCRETO CILINDRICA	30/06/2021	14/07/2021	34	103.18	204.87	8960.69	258.24	32.0	328.4	330	157%	TIPO 1	NO
Z-8	E-107-2021	ELABORACIÓN DE ESPESOR EN EL LABORATORIO CON ADICIÓN DE 1.1%	PROBETA DE CONCRETO CILINDRICA	30/06/2021	14/07/2021	34	102.10	206.89	8197.31	247.86	31.6	315.5	330	150%	TIPO 5	NO
Z-9	E-107-2021	ELABORACIÓN DE ESPESOR EN EL LABORATORIO CON ADICIÓN DE 1.1%	PROBETA DE CONCRETO CILINDRICA	30/06/2021	14/07/2021	34	103.63	204.83	8255.63	341.19	30.7	307.1	330	148%	TIPO 3	NO

NOTAS Y OBSERVACIONES:

- TPO 1 : Concreto razonablemente bien compactado, en ambas bases, metro de 25mm de grueso en capas.
- TPO 2 : Como bien homogeneizado sobre otros bloques, desplazamiento de grutas verticales a través de las vejas, como no bien definido en la otra base.
- TPO 3 : Bloques verticales compactados en ambas bases.
- TPO 4 : Presión lateral del grutas en las bases, girar con cuidado para el filtrado de tipo 3.
- TPO 5 : Bloques de grutas en las bases ligeramente deformados con unido con la capa de estomado.
- TPO 6 : Bloques de tipo 1 pero el filtrado de tipo 3 no se usó.
- CT : Control.
- CP : Captado.
- CAQ : Control de Calidad.
- AN : Alteración Bas de Respuesta.

NOTA ILUSTRATIVA: UNA MUESTRA DE CONCRETO DE ACERUDO AL REGLAMENTO NACIONAL DE CONSTRUCCIÓN LA CONSTITUYEN DOS PROBAS, PARA CADA EDAD Y CALIDAD DE CONCRETO

DATA: FECHA DE ENSAYO : 2021-07-14

TEMPERATURA AMBIENTE : 16.5°C

ALUMBRAMIENTO RELATIVO : 30%

CONDICIONES DE REALIZACIÓN DEL ENSAYO : ÁREA DE ENSAYOS ESPECIALES

CONDICIONES DE REALIZACIÓN DEL ENSAYO : LABORATORIO

* LOS DATOS PROPORCIONADOS SON EL RESULTADO DEL AUTOMÁTICO DEL LABORATORIO, SIN LA INTERVENCIÓN DEL OPERARIO.

EL PRESENTE DOCUMENTO NO DEBEA EMPLEARSE SIN AUTORIZACIÓN ESCRITA DEL LABORATORIO, SALVO QUE LA REPRODUCCIÓN SEA EN SU TOTALIDAD.

LOS RESULTADOS DE LOS ENSAYOS NO DEBEN SER UTILIZADOS COMO UNA CERTIFICACIÓN DE CONFORMIDAD CON NORMAS DE PRODUCTOS O COMO CERTIFICADO DEL SISTEMA DE CALIDAD DE LA ENTIDAD QUE LO PRODUCE. LOS RESULTADOS CORRESPONDEN A LOS ENSAYOS REALIZADOS SOBRE LAS MUESTRAS PROPORCIONADAS POR EL CLIENTE AL LABORATORIO DE MECÁNICA DE SUELOS, CONCRETO Y PAVIMENTOS.

HC-AC-217 REV.03 FECHA: 2021/04/05



Fin de Página

INGENIERO EN MATERIALES Y CONCRETO
ANITA DEL CAYUBAQ

INGENIERO EN MATERIALES Y CONCRETO
MIGUEL YANET YANET ALONSO ALIPI

INGENIERO EN MATERIALES Y CONCRETO
MIGUEL YANET YANET ALONSO ALIPI

Email: grupocentauroringenieros@gmail.com Web: <http://centauroringenieros.com/> Facebook: [centauroringenieros](https://www.facebook.com/centauroringenieros)
Av. Mariscal Castilla N° 3650 - El Tambo - Huancayo - Junín (Frente a la 1ra Puerta de la U.N.C.P.) Tel. 084 - 253727 Cel. 992875960 - 964483568 - 964966015
Para verificar la autenticidad del informe puede comunicarse a: grupocentauroringenieros@gmail.com

LABORATORIO DE MECÁNICA DE SUELOS, CONCRETO Y PAVIMENTOS CENTAURO INGENIEROS

LABORATORIO DE ENSAYO ACREDITADO POR EL ORGANISMO PERUANO DE ACREDITACION INACAL - DA CON REGISTRO Nº LE-141



Informe de ensayo con valor oficial

Inscrito en el Registro de Marcas y Servicio de INDECOPI con CERTIFICADO Nº 00314425 con Resolución Nº 007184-2019-/DSD-INDECOPI

Resolución V.L.E. - 141

LABORATORIO DE ENSAYO DE MATERIALES CENTAURO INGENIEROS
LABORATORIO DE ASFALTOS Y CONCRETO

EXPEDIENTE Nº

1.233-2021-AC

PREPAREDADO

: BACH. ANDERSON JORDENGO HUAMAN PÉREZ

ATENCIÓN

: BACH. ANDERSON JORDENGO HUAMAN PÉREZ

PROYECTO

: "APLICACIÓN DE FIBRAS DE GLAQUA ANGIUSTIFOLIA EN EL DISEÑO DE PAVIMENTOS RÍGIDOS"

UBICACIÓN

: AV. PIONEROS, ENTRE LOS TERNOS AV. PERÚ, JR. MARÍA ARGUEDAS - DISTRITO Y PROVINCIA DE CHIMBAMAYO - JUNÍN.

FICHA DE RECEPCIÓN

: 01 DE JULIO DEL 2021

FICHA DE EMISIÓN

: 30 DE JULIO DEL 2021

INFORME DE ENSAYO (Nº. 01 DE 03)

MÉTODOS:
Resistencia a la Compresión de Especificación CILINDROS DE CONCRETO.

MÉTODOS:
ASTM C69/C69M-20: Estándar Test Method for Compressive Strength of Cylindrical Concrete Specimens.

MUESTRA	CÓDIGO DE TRABAJO	ESTRUCTURA DE PROCEDENCIA	TIPO DE MUESTRA	FECHA DE INGRESO	FECHA DE AUTORIA	EDAD	DIÁMETRO ESPESOR PROMEDIO (mm)	ACTURA DE SECCIÓN TRANSVERSAL (mm ²)	ÁREA DE LA SECCIÓN TRANSVERSAL (mm ²)	CARGA MÁXIMA (kN)	RESISTENCIA DE ESPESOR DE ESPESOR (MPa)	RESISTENCIA (MPa/cm ²)	% RESIL (MPa/cm ²)	TIPO DE FRACTURA	DEFECTOS
Z-10	E-187-2021	ELABORACIÓN DE ESPESORES EN EL LABORATORIO CON ADICIÓN DE 1% CLAYBOR	PROYECTOS DE CONCRETO CLAYBOR	30/06/2021	28/07/2021	28	101.65	202.18	811.31	152.74	32.6	305.6	310	135%	NO
Z-11	E-187-2021	ELABORACIÓN DE ESPESORES EN EL LABORATORIO CON ADICIÓN DE 1% CLAYBOR	PROYECTOS DE CONCRETO CLAYBOR	30/06/2021	28/07/2021	28	102.19	203.26	820.35	137.68	27.7	277.1	310	133%	NO
Z-12	E-187-2021	ELABORACIÓN DE ESPESORES EN EL LABORATORIO CON ADICIÓN DE 1% CLAYBOR	PROYECTOS DE CONCRETO CLAYBOR	30/06/2021	28/07/2021	28	102.17	202.33	8197.74	280.65	37.6	383.8	310	138%	NO

180 IS PAW (USA)

- TIPO 1 : Conos rotacionalmente bien formados, en ambas bases, altura de 25mm de grises en capas.
- TIPO 2 : Conos bien formados sobre otra base, desplazamiento de grises verticales a través de las capas, como no bien definidos en la otra base.
- TIPO 3 : Espesores bien conformados en ambas bases.
- TIPO 4 : Espesores bien conformados en una sola base.
- TIPO 5 : Fractura de los espesores (basas inferiores e inferiores) ocurrirán comúnmente en las capas de endurecimiento.
- TIPO 6 : Similar al tipo 5 pero el terminal del alfiler se asentará.

CT	: Concreto	
CP	: Cepillado	
CAF	: Cepillado	
AN	: Altruismos de inyección	X

NOTA ILUSTRATIVA UNA MUESTRA DE CONCRETO DE ACIERO AL REGLAMENTO MAYOR DE CONSTRUCCIÓN LA CONSTITUYEN DOS PROBITAS, PARA CADA EDAD Y CALIDAD DE CONCRETO

CONDICIONES DE ENSAYO

TEMPERATURA AMBIENTE

19.1°C

HUMEDAD RELATIVA

44%

ÁREA CONCRETO REALIZADO EN EL ENSAYO

ÁREA DE ENSAYOS SOBRESALIENTES

* LAS DATAS PROPORCIONADAS POR EL PETICIONARIO SON LOS SIGNIFICANTES PERTINENTES, ATENCIÓN, NOMBRE DEL PROYECTO, UBICACIÓN, RESISTENCIA DE HORMIGÓN.

* LAS DATAS PROPORCIONADAS POR EL PETICIONARIO SON LOS SIGNIFICANTES PERTINENTES, ATENCIÓN, NOMBRE DEL PROYECTO, UBICACIÓN, RESISTENCIA DE HORMIGÓN.

EL PRESENTE DOCUMENTO NO DEBERÁ REPLICARSE SIN AUTORIZACIÓN ESCRITA DEL LABORATORIO, SALVO QUE LA REPRODUCCIÓN SEA EN SU TOTALIDAD.

LOS RESULTADOS DE LOS ENSAYOS NO DEBERÁN SER UTILIZADOS COMO UNA CERTIFICACIÓN DE COMPORTAMIENTO CON NORMAS DE PRODUCCIÓN O COMO CERTIFICADO DEL SISTEMA DE CALIDAD DE LA ENTIDAD QUE LO PRODUCE. LOS RESULTADOS CORRESPONDEN A LOS ENSAYOS REALIZADOS SOBRE LAS MUESTRAS PROPORCIONADAS POR EL CLIENTE AL LABORATORIO DE MECÁNICA DE SUELOS, CONCRETO Y PAVIMENTOS.

HC-SC-017 REV.01 FEBR. 2019/05



LABORATORIO CENTAURO INGENIEROS S.L.L.

Av. Mariscal Castilla N° 3950 - El Tambo - Huancayo

Tel. 064 - 232727 Cel. 992875800 - 964463588

www.centauroringenieros.com

Facebook: centauroringenieros

Web: http://centauroringenieros.com/

Para verificar la autenticidad del informe puede comunicarse a: grupocentauroringenieros@gmail.com

Page 1 of 1

**Anexo 07: Diseño de Mezcla $F'c=210\text{kg/cm}^2$ Muestra Patrón + 1.5% de Fibra de
Guadua Angustifolia**

LABORATORIO DE MECÁNICA DE SUELOS, CONCRETO Y PAVIMENTOS CENTAURO INGENIEROS

SERVICIOS DE:

- ENSAYOS PARA MECÁNICA DE SUELOS
- ENSAYOS EN AGREGADOS PARA CONCRETO Y ASFALTO
- ENSAYOS EN ROCAS
- ENSAYOS QUÍMICOS EN SUELOS Y AGUA
- ENSAYOS SPT, DFL, DPHS
- ESTUDIOS Y ENSAYOS GEOPÍSICOS
- PERFORACIONES Y EXTRACCIÓN DIAMANTINAS
- ESTUDIOS GEOTÉCNICOS
- CONTROL DE CALIDAD EN SUELOS CONCRETO Y ASFALTO
- EXTRACCIÓN Y TRASLADO DE MUESTRAS INSITU



Inscrito en el Registro de Marcas y Servicio de INDECOPI con CERTIFICADO N° 00114425 con Resolución N° 007184-2019-/DSD-INDECOPI

**LABORATORIO DE ENSAYO DE MATERIALES DE CENTAURO INGENIEROS
LABORATORIO DE AGREGADOS Y CONCRETO
INFORME**

EXPEDIENTE N° : 1227-2021-AC
 PETICIONARIO : ANDERSON JHORDENIO HUAMÁN PÉREZ
 ATENCION : ANDERSON JHORDENIO HUAMÁN PÉREZ
 OBRA : "APLICACIÓN DE FIBRAS DE GUADUA ANGUSTIFOLIA EN EL DISEÑO DE PAVIMENTOS RÍGIDOS"
 UBICACIÓN : MEJORAMIENTO DE VÍAS URBANAS EN LA AV. PIONEROS; ENTRE LOS TRAMOS AV. PERÚ, JR. MARÍA ARGUEDAS
 FECHA DE RECEPCIÓN : 29 DE ABRIL DEL 2021
 FECHA DE EMISIÓN : 31 DE JULIO DEL 2021

DISEÑO DE MEZCLA PRÁCTICO - CORREGIDO POR ADITIVO - MÓDULO DE FINEZA
 ADITIVO USADO: FIBRAS DE GUADUA ANGUSTIFOLIA EN 1,5%

CÓDIGO DE ORDEN DE TRABAJO: P-071-2021

1. CARACTERÍSTICAS DE LOS MATERIALES

CEMENTO

TIPO : I
 PROCEDENCIA : CEMENTO ANDINO
 PESO ESPECÍFICO : 3.12

AGUA

TIPO : AGUA POTABLE
 PESO ESPECÍFICO : 1.000 kg/m³

AGREGADOS

	FINO	GRUESO
PERFIL		ANGULAR
PESO UNITARIO SUELTO (kg/m ³)	1590.63	1437.78
PESO UNITARIO COMPACTADO	1741.25	1652.64
PESO ESPECÍFICO SECO	2.50	2.68
MÓDULO DE FINEZA	2.86	7.82
TMN	No. 4	3/4 in.
PORCENTAJE DE ABSORCIÓN	1.26%	0.67%
CONTENIDO DE HUMEDAD	2.63%	0.07%

2. CARACTERÍSTICAS DEL CONCRETO

RESISTENCIA A COMPRESIÓN : 210 Kg/cm²
 CONSISTENCIA : Plástico

3. DETERMINACIÓN DE LA RESISTENCIA PROMEDIO

Dosificación cuando no se cuenta con experiencia en obra o mezclas de prueba

f _{cr} ESPECIFICADO	f _{cr} (Kg/cm ²)	f _{cr}
210	f _c + 8,5 MPa	295

De acuerdo a lo especificado por el peticionario:

f _{cr}	295
-----------------	-----

Fuente: RNE, NORMA E.060, CAPÍTULO 5 - 5.4

4. SELECCIÓN DEL TMN

TMN : 3/4 in.

5. ASENTAMIENTO

De acuerdo a Tabla 01 : 3" a 4"

CORRECCION DE ADITIVO : 3" a 4"

7. CONTENIDO DE AIRE TOTAL

TMN : 3/4 in.
 Contenido de aire atrapado : 2.0%

9. CONTENIDO DE CEMENTO

$$Fac_{\text{cimiento}} = \frac{Vol \text{ Unit. Agua}}{a/c}$$

[Handwritten signature and stamp]

6. CONTENIDO DE AGUA

Asentamiento : 3" - 4"
 TMN : 3/4 in.

Volumen unitario de Agua : 200

8. RELACION AGUA / CEMENTO

Resistencia promedio : 295
 R A/C : 0.56

Email: grupocentauroingenieros@gmail.com Web: <http://centauroingenieros.com/> Facebook: [centauro ingenieros](https://www.facebook.com/centauroingenieros)
 Av. Mariscal Castilla N° 3950 - El Tambo - Huancayo - Junín (Frente a la 1ra Puerta de la U.N.C.P.) Telf. 064 - 253727 Cel. 992875880 - 984483588 - 984966015

Para verificar la autenticidad del informe puede comunicarse a: grupocentauroingenieros@gmail.com

LABORATORIO DE MECÁNICA DE SUELOS, CONCRETO Y PAVIMENTOS CENTAURO INGENIEROS

SERVICIOS DE:

- ENSAYOS PARA MECÁNICA DE SUELOS
- ENSAYOS EN AGREGADOS PARA CONCRETO Y ASFALTO
- ENSAYOS EN ROCAS
- ENSAYOS QUÍMICOS EN SUELOS Y AGUA
- ENSAYOS SPT, DPL, DRH

- ESTUDIOS Y ENSAYOS GEOFÍSICOS
- PERFORACIONES Y EXTRACCIÓN DIAMANTINAS
- ESTUDIOS GEOTÉCNICOS
- CONTROL DE CALIDAD EN SUELOS CONCRETO Y ASFALTO
- EXTRACCIÓN Y TRASLADO DE MUESTRAS IN SITU



Inscrito en el Registro de Marcas y Servicio de INDECOPI con CERTIFICADO N° 00114425 con Resolución N° 007184-2019-/DSD-INDECOPI

**LABORATORIO DE ENSAYO DE MATERIALES DE CENTAURO INGENIEROS
LABORATORIO DE AGREGADOS Y CONCRETO
INFORME**

EXPEDIENTE N° : 1227-2021-AC
 PETICIONARIO : ANDERSON JHORDENIO HUAMÁN PÉREZ
 ATENCIÓN : ANDERSON JHORDENIO HUAMÁN PÉREZ
 OBRA : "APLICACIÓN DE FIBRAS DE GUADUA ANGUSTIFOLIA EN EL DISEÑO DE PAVIMENTOS RÍGIDOS"
 UBICACIÓN : MEJORAMIENTO DE VÍAS URBANAS EN LA AV. PIONEROS; ENTRE LOS TRAMOS AV. PERÚ, JR. MARÍA ARGUEDAS
 FECHA DE RECEPCIÓN : 29 DE ABRIL DEL 2021
 FECHA DE EMISIÓN : 31 DE JULIO DEL 2021

10. CALCULO DEL VOLUMEN ABSOLUTO DE LA PASTA	
CEMENTO	0.11509 m3
AGUA	0.2000 m3
AIRE	0.0200 m3
TOTAL	0.33509 m3

12. CALCULO DE MÓDULO DE FINEZA
 * Tabla 04 - Módulo de fineza de la combinación de agregados

Factor cemento en sacos	8.45
TMN	3/4 in.
Módulo de fineza	5.15

14. CALCULO DE VOLUMEN DE AGREGADOS	
AGREGADO FINO	0.359 m3
AGREGADO GRUESO	0.306 m3

16. DISEÑO EN ESTADO SECO	
CEMENTO	359.07 Kg/m3
AGUA	200.00 lt/m3
AGREGADO FINO	896.97 Kg/m3
AGREGADO GRUESO	820.44 Kg/m3

17. CORRECCION DE DISEÑO POR HUMEDAD	
AGREGADO FINO HUMEDO	909.27 Kg/m3
AGREGADO GRUESO HUMEDO	821.03 Kg/m3

HUMEDAD SUPERFICIAL DEL AGREGADO	
AGREGADO FINO	1.37%
AGREGADO GRUESO	-0.60%

APORTE DE HUMEDAD	
AGREGADO FINO	12.30
AGREGADO GRUESO	-4.89

APORTE DE HUMEDAD DEL AGREGADO	7.41
AGUA EFECTIVA	192.59

18. DISEÑO DE MEZCLA FINAL	
CEMENTO	359.07 kg/m3
AGUA EFECTIVA	192.59 lt
AGREGADO FINO HUMEDO	909.27 kg/m3
AGREGADO GRUESO HUMEDO	815.55 kg/m3
CONCRETO	2276.48

Factor cemento	359
Factor cemento en bolsas	8.45
11. VOLUMEN DEL AGREGADO TOTAL	

AGREGADO : 1 - Vol. Abs. Past.

VOLUMEN AGREGADO	0.665 m3
13. CALCULO DE PORCENTAJE DE AGREG. FINO	

$$r_f = \frac{m_g - m}{m_g - m_f}$$

m	5.15
mg	7.82
mf	2.86
rf	53.94%

15. CALCULO DE PESOS DE LOS AGREGADOS	
AGREGADO FINO	897 kg/m3
AGREGADO GRUESO	820 kg/m3

Email: grupocentauroingenieros@gmail.com Web: <http://centauroingenieros.com/> Facebook: [centauro ingenieros](https://www.facebook.com/centauroingenieros)
 Av. Mariscal Castilla N° 3950 - El Tambo - Huancayo - Junin (Frente a la 1ra Puerta de la U.N.C.P.) Telf. 064 - 253727 Cel. 992875880 - 964483588 - 964966015

Para verificar la autenticidad del informe puede comunicarse a: grupocentauroingenieros@gmail.com

LABORATORIO DE MECÁNICA DE SUELOS, CONCRETO Y PAVIMENTOS CENTAURO INGENIEROS

SERVICIOS DE:

- ENSAYOS PARA MECÁNICA DE SUELOS
- ENSAYOS EN AGREGADOS PARA CONCRETO Y ASFALTO
- ENSAYOS EN ROCAS
- ENSAYOS QUÍMICOS EN SUELOS Y AGUA
- ENSAYOS SPT, DPL, DPHS
- ESTUDIOS Y ENSAYOS GEOFÍSICOS
- PERFORACIONES Y EXTRACCIÓN DIAMANTINAS
- ESTUDIOS GEOTECNICOS
- CONTROL DE CALIDAD EN SUELOS CONCRETO Y ASFALTO
- EXTRACCIÓN Y TRASLADO DE MUESTRAS IN SITU



Inscrito en el Registro de Marcas y Servicio de INDECOPI con CERTIFICADO N° 00114425 con Resolución N° 007184-2019-/DSD-INDECOPI

**LABORATORIO DE ENSAYO DE MATERIALES DE CENTAURO INGENIEROS
LABORATORIO DE AGREGADOS Y CONCRETO
INFORME**

EXPEDIENTE N° : 1227-2021-AC
 PETICIONARIO : ANDERSON JHORDENIO HUAMÁN PÉREZ
 ATENCION : ANDERSON JHORDENIO HUAMÁN PÉREZ
 OBRA : "APLICACIÓN DE FIBRAS DE GUADUA ANGUSTIFOLIA EN EL DISEÑO DE PAVIMENTOS RÍGIDOS"
 UBICACIÓN : MEJORAMIENTO DE VÍAS URBANAS EN LA AV. PIONEROS; ENTRE LOS TRAMOS AV. PERÚ, JR. MARÍA ARGUEDAS
 FECHA DE RECEPCIÓN : 29 DE ABRIL DEL 2021
 FECHA DE EMISIÓN : 31 DE JULIO DEL 2021

DOSIFICACIÓN AL PREPARAR CONCRETO EN MOLDE CONOCIDO

VOLUMEN	0.1
CEMENTO	35.907
AGUA EFECTIVA	19.259
AGREGADO FINO HUMEDO	90.927
AGREGADO GRUESO HUMEDO	81.555
CONCRETO	227.648

VOLUMEN DEL CONCRETO MEZCLADO

CEMENTO	359.07
AGUA	192.59
AGREGADO FINO	909.27
AGREGADO GRUESO	815.55
PESO ESPECIFICO	2276.48
R A/C	0.54

PROPORCIÓN EN VOLUMEN

CEMENTO	1	42.5 kg/saco
AGUA	22.80	22.80 kg/saco
AGREGADO FINO	2.53	107.62 kg/saco
AGREGADO GRUESO	2.27	96.53 kg/saco

	FINO	GRUESO
PESO UNITARIO SUELTO	1590.63	1437.78

PESO POR PIE³

CEMENTO	42.50 Kg/pie ³
AGUA	22.80 Lt/pie ³
AGREGADO FINO	45.06 Kg/pie ³
AGREGADO GRUESO	40.73 Kg/pie ³

19. PROPORCIÓN EN PESO

MATERIALES SIN CORREGIR

CEMENTO	A.F.	A.G	AGUA
359	897	820	200
359	359	359	8.4
1.00	2.50	2.28	23.67

MATERIALES CORREGIDOS

CEMENTO	A.F.	A.G	AGUA
359	909	816	193
359	359	359	8.4
1.00	2.53	2.27	22.80

Email: grupocentauroingenieros@gmail.com Web: <http://centauroingenieros.com/> Facebook: [centauro ingenieros](https://www.facebook.com/centauroingenieros)
 Av. Mariscal Castilla N° 3850 - El Tambo - Huancayo - Junín (Frente a la 1ra Puerta de la U.N.C.P.) Telf. 064 - 253727 Cel. 992875860 - 964483588 - 984968015

Para verificar la autenticidad del informe puede comunicarse a: grupocentauroingenieros@gmail.com

LABORATORIO DE MECÁNICA DE SUELOS, CONCRETO Y PAVIMENTOS CENTAURO INGENIEROS

SERVICIOS DE:

- ENSAYOS PARA MECÁNICA DE SUELOS
- ENSAYOS EN AGREGADOS PARA CONCRETO Y ASFALTO
- ENSAYOS EN ROCAS
- ENSAYOS QUÍMICOS EN SUELOS Y AGUA
- ENSAYOS SPT, DPL, DPHS
- ESTUDIOS Y ENSAYOS GEOFÍSICOS
- PERFORACIONES Y EXTRACCIÓN DIAMANTINAS
- ESTUDIOS GEOTÉCNICOS
- CONTROL DE CALIDAD EN SUELOS CONCRETO Y ASFALTO
- EXTRACCIÓN Y TRASLADO DE MUESTRAS INSTU



Inscrito en el Registro de Marcas y Servicio de INDECOPI con CERTIFICADO N° 00114425 con Resolución N° 007184-2019-/DSD-INDECOPI

**LABORATORIO DE ENSAYO DE MATERIALES DE CENTAURO INGENIEROS
LABORATORIO DE AGREGADOS Y CONCRETO
INFORME**

EXPEDIENTE N° : 1227-2021-AC
 PETICIONARIO : ANDERSON JHORDENIO HUAMÁN PÉREZ
 ATENCION : ANDERSON JHORDENIO HUAMÁN PÉREZ
 OBRA : "APLICACIÓN DE FIBRAS DE GUADUA ANGUSTIFOLIA EN EL DISEÑO DE PAVIMENTOS RÍGIDOS"
 UBICACIÓN : MEJORAMIENTO DE VÍAS URBANAS EN LA AV. PIONEROS; ENTRE LOS TRAMOS AV. PERÚ, JR. MARÍA ARGUEDAS
 FECHA DE RECEPCIÓN : 29 DE ABRIL DEL 2021
 FECHA DE EMISIÓN : 31 DE JULIO DEL 2021

* RELACION AGUA CEMENTO DE DISEÑO : 0.56
 * RELACION AGUA CEMENTO EFECTIVA (OBRA) : 0.54

20. PROPORCION EN VOLUMEN

CEMENTO	A.F.	A.G	AGUA
42.5	107.6	96.5	22.8
42.5	45.1	40.7	1.0
1.00	2.39	2.37	22.80

21. PESOS POR TANDA DE UNA BOLSA DE CEMENTO

CEMENTO	42.50 Kg/bolsa
AGUA	22.80 Lt/bolsa
AGREGADO FINO HUMEDO	107.62 Kg/bolsa
AGREGADO GRUESO HUMEDO	96.53 Kg/bolsa

CORRECCIÓN POR ADITIVO USANDO 1,5% DE FIBRA DE GUADUA ANGUSTIFOLIA

AGUA EFECTIVA	359.07 kg/m3
AGREGADO FINO HUMEDO	192.59 lt
AGREGADO GRUESO HUMEDO	909.27 kg/m3
FIBRA DE GUADUA ANGUSTIFOLIA	815.55 kg/m3
CONCRETO	13.00 kg/m3
	2289.48

DOSIFICACIÓN AL PREPARAR CONCRETO EN MOLDE CONOCIDO

VOLUMEN	0.1
CEMENTO	35.907
AGUA EFECTIVA	19.259
AGREGADO FINO HUMEDO	90.927
AGREGADO GRUESO HUMEDO	81.555
FIBRA DE GUADUA ANGUSTIFOLIA	1.300
CONCRETO	227.648

2. VOLUMEN DEL CONCRETO MEZCLADO

CEMENTO	359.07
AGUA	192.59
AGREGADO FINO	909.27
AGREGADO GRUESO	815.55
FIBRA DE GUADUA ANGUSTIFOLIA	13.00
PESO ESPECIFICO	2289.48
R A/C	0.54

Email: grupocentauroingenieros@gmail.com Web: <http://centauroingenieros.com/> Facebook: [centauro ingenieros](https://www.facebook.com/centauroingenieros)
 Av. Mariscal Castilla N° 3950 - El Tambo - Huancayo - Junin (Frente a la 1ra Puerta de la U.N.C.P.) Telf. 064 - 253727 Cel. 992875860 - 964483588 - 964966015

Para verificar la autenticidad del informe puede comunicarse a: grupocentauroingenieros@gmail.com

LABORATORIO DE MECÁNICA DE SUELOS, CONCRETO Y PAVIMENTOS CENTAURO INGENIEROS

SERVICIOS DE:

- ENSAYOS PARA MECÁNICA DE SUELOS
- ENSAYOS EN AGREGADOS PARA CONCRETO Y ASFALTO
- ENSAYOS EN ROCAS
- ENSAYOS QUÍMICOS EN SUELOS Y AGUA
- ENSAYOS SPT, DFL, DPHS
- ESTUDIOS Y ENSAYOS GEOFÍSICOS
- PERFORACIONES Y EXTRACCIÓN DIAMANTINAS
- ESTUDIOS GEOTÉCNICOS
- CONTROL DE CALIDAD EN SUELOS (CONCRETO Y ASFALTO)
- EXTRACCIÓN Y TRASLADO DE MUESTRAS IN SITU



Inscrito en el Registro de Marcas y Servicio de INDECOPI con CERTIFICADO N° 00114425 con Resolución N° 007184-2019-/DSD-INDECOPI

**LABORATORIO DE ENSAYO DE MATERIALES DE CENTAURO INGENIEROS
LABORATORIO DE AGREGADOS Y CONCRETO
INFORME**

EXPEDIENTE N° : 1227-2021-AC
 PETICIONARIO : ANDERSON JHORDENIO HUAMÁN PÉREZ
 ATENCION : ANDERSON JHORDENIO HUAMÁN PÉREZ
 OBRA : "APLICACIÓN DE FIBRAS DE GUADUA ANGUSTIFOLIA EN EL DISEÑO DE PAVIMENTOS RÍGIDOS"
 UBICACIÓN : MEJORAMIENTO DE VÍAS URBANAS EN LA AV. PIONEROS; ENTRE LOS TRAMOS AV. PERÚ, JR. MARÍA ARGUEDAS
 FECHA DE RECEPCIÓN : 29 DE ABRIL DEL 2021
 FECHA DE EMISIÓN : 31 DE JULIO DEL 2021

3. PROPORCION EN VOLUMEN

CEMENTO	1	42.5	kg/saco
AGUA	22.80	22.80	kg/saco
AGREGADO FINO	2.53	107.62	kg/saco
AGREGADO GRUESO	2.27	96.53	kg/saco
FIBRA DE GUADUA ANGUSTIFOLIA	0.036	1.54	kg/saco
PESO UNITARIO SUELTO			
	FINO	GRUESO	
	1590.63	1437.78	

4. PESO POR PIE³

CEMENTO	42.50	Kg/pie ³
AGUA	22.80	Lt/pie ³
AGREGADO FINO	45.06	Kg/pie ³
AGREGADO GRUESO	40.73	Kg/pie ³
FIBRA DE GUADUA ANGUSTIFOLIA	1.54	Kg/pie ³

5. PROPORCION EN PESO

CEMENTO	A.F.	A.G	AGUA	FIBRA DE GUADUA ANGUSTIFOLIA
359	909	816	193	13.00
359	359	359	11	11
1.00	2.53	2.27	17.32	1.17

* RELACION AGUA CEMENTO DE DISEÑO : 0.42
 * RELACION AGUA CEMENTO EFECTIVA (OBRA) : 0.54

6. PROPORCION EN VOLUMEN

CEMENTO	A.F.	A.G	AGUA	FIBRA DE GUADUA ANGUSTIFOLIA
42.5	107.6	96.5	22.8	1.54
42.5	45.1	40.7	1.0	1
1.00	2.39	2.37	22.80	1.54

7. PESOS POR TANDA DE UNA BOLSA DE CEMENTO

CEMENTO	42.50	Kg/bolsa
AGUA	17.32	Lt/bolsa
AGREGADO FINO HUMEDO	107.62	Kg/bolsa
AGREGADO GRUESO HUMEDO	96.53	Kg/bolsa
FIBRA DE GUADUA ANGUSTIFOLIA	1.54	Kg/bolsa

HC-AC-004 REV.05 FECHA: 2019/10/31

Email: grupocentauroingenieros@gmail.com Web: <http://centauroingenieros.com/> Facebook: [centauroingenieros](https://www.facebook.com/centauroingenieros)
 Av. Mariscal Castilla N° 3950 - El Tambo - Huancayo - Junín (Frente a la 1ra Puerta de la U.N.C.P.) Telf. 064 - 253727 Cel. 992875860 - 964483588 - 964966015

Para verificar la autenticidad del informe puede comunicarse a: grupocentauroingenieros@gmail.com

LABORATORIO DE MECÁNICA DE SUELOS, CONCRETO Y PAVIMENTOS CENTAURO INGENIEROS

LABORATORIO DE ENSAYO ACREDITADO POR EL ORGANISMO PERUANO DE ACREDITACION INACAL - DA CON REGISTRO N° LE-141



Informe de ensayo con valor oficial
Inscrito en el Registro de Marcas y Servicio de INDECOPI con CERTIFICADO Nº 00114425 con Resolución Nº 007184-2019-/OSD-INDECOPI

Boletín N.º 141

LABORATORIO DE ENSAYO DE MATERIALES CENTAURO INGENIEROS LABORATORIO DE AGRÉGADOS Y CONCRETO

EXPEDIENTE N° : 984-2021-AC
 PETICIONARIO : BACHI ANDERSON JHORDERIO HUAMAN PÉREZ
 ATENCIÓN : BACHI ANDERSON JHORDERIO HUAMAN PÉREZ
 PROYECTO : "APLICACIÓN DE FIBRAS DE GUANJA ANGUSTIFOLIA EN EL DISEÑO DE PAVIMENTOS RÍGIDOS"
 UBICACIÓN : AV. PRIMEROS, ENTRE LOS TRAMOS AV. PERÚ, 3R. NORIA ARGUEDAS - DISTRITO Y PROVINCIA DE CHANCHAMAYO - JUNÍN.
 FECHA DE RECEPCIÓN : 28 DE JUNIO DEL 2021
 FECHA DE EMISIÓN : 01 DE JULIO DEL 2021

FORMA DE ENSAYO (PÁG. 01 DE 03)

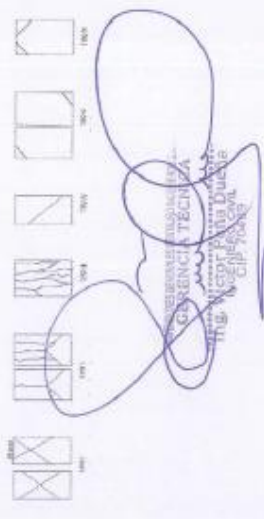
ENSAYO: Resistencia a la Compresión de Especificaciones de Concreto.
 MÉTODO: ASTM C39/C39M-20: Standard Test Method for Compressive Strength of Cylindrical Concrete Specimens.

MOUESTRA	CÓDIGO DE TRABAJO	ESTRUCTURA DE PROCEDENCIA	TIPO DE MUESTRA	FECHA DE MOLEDO	FECHA DE ROTURA	EDAD	DIÁMETRO ESPESIMEN PRINCIPAL (mm)	ÁREA DE LA SECCIÓN TRANSVERSAL (mm²)	CARGA MÁXIMA (kN)	RESISTENCIA DE ESPESIMEN (MPa)	RESISTENCIA DE ESPESIMEN (kgf/cm²)	RESISTENCIA DE DISEÑO (kgf/cm²)	N.º DE RESIS	TIPO DE FRACURA	DEFECTOS
PP-4	E-105-2021	ELABORACIÓN DE ESPESIMEN EN EL LABORATORIO CON ADICIÓN DE 1.5% CLINDULOS	PROBETAS DE CONCRETO CILINDRICAS	24/06/2021	1/07/2021	7	100.49	7957.61	332.10	22.8	228.2	210	307%	TP00 5	NO
PP-5	E-105-2021	ELABORACIÓN DE ESPESIMEN EN EL LABORATORIO CON ADICIÓN DE 1.5% CLINDULOS	PROBETAS DE CONCRETO CILINDRICAS	24/06/2021	1/07/2021	7	99.89	7896.71	300.13	25.5	254.6	210	321%	TP00 5	NO
PP-6	E-105-2021	ELABORACIÓN DE ESPESIMEN EN EL LABORATORIO CON ADICIÓN DE 1.5% CLINDULOS	PROBETAS DE CONCRETO CILINDRICAS	24/06/2021	1/07/2021	7	99.47	7770.06	178.29	32.7	227.0	210	389%	TP00 4	NO

TIPO DE FRACURA:
 TP00 1 : Correa rectangularmente bien formada, en ambas bases, menos de 25mm de grietas en el eje.
 TP00 2 : Correas bien formadas en una base, no movimiento de grietas verticales a través de la correa, como no bien delimitada en la otra base.
 TP00 3 : Correas bien formadas en las bases inferiores, con grietas verticales a través de la correa.
 TP00 4 : Fractura diagonal sin grietas en las bases inferiores, con martillo para diferenciar entre el tipo 1.
 TP00 5 : Fracturas de tipo 4 en las bases superior o inferior) ocurren comúnmente con las caras de arborado.
 TP00 6 : Similar al tipo 5 pero el terminal del otro lado es plano.
 CF : Conado
 CP : Copado
 CAP : Copado
 AI : Inhomogeneidad de espécimen

NOTA ILUSTRATIVA: UNA MUESTRA DE CONCRETO DE ACUERDO AL REGLAMENTO NACIONAL DE CONTRIBUCIÓN A LA CONSTRUCCIÓN (A CONTRIBUCIONES PROJETAS, PARA CADA EDIFICIO Y CALIDAD DE CONCRETO)

FECHA DE ENSAYO : 02/07/2021
 TEMPERATURA AMBIENTE : 13.0°C
 HUMEDAD RELATIVA : 65%
 ÁREA DONDE SE REALIZÓ EL ENSAYO : ÁREA DE ENSAYOS ESPECIALES
 OBSERVACIONES: MUESTROS REALIZADO POR EL PERSONAL DE LABORATORIO.
 * LOS DATOS PROPORCIONADOS POR EL PETICIONARIO SON LOS SUJECIONES DEL PROYECTO, ATENCIÓN, NOMBRE DEL PROYECTO, UBICACIÓN, RESISTENCIA DE DISEÑO.
 EL PRESENTE DOCUMENTO NO DEBE SER REPRODUCIDO SIN AUTORIZACIÓN ESCRITA DEL LABORATORIO, SALVO SEA LA REPRODUCCIÓN DEL RESULTADO TOTAL.
 LOS RESULTADOS DE LOS ENSAYOS NO DEBE SER UTILIZADOS COMO UNA DETERMINACIÓN DE CONFORMIDAD CON NORMAS DE PRODUCTOS O COMO CERTIFICADO DEL SISTEMA DE CALIDAD DE LA ENTIDAD QUE LO PRODUCE. LOS RESULTADOS CORRESPONDEN A LOS RESULTADOS REALIZADOS SOBRE LAS MUESTRAS PROPORCIONADAS POR EL CLIENTE AL LABORATORIO DE MECÁNICA DE SUELOS, CONCRETO Y PAVIMENTOS.
 IN-AC-001 - REV.01 - FECH: 2011/05/05



Fin es Pagina

Email: grupocentauroringenieros@gmail.com Web: <http://centauroringenieros.com/> Facebook: [centauroringenieros](https://www.facebook.com/centauroringenieros)
 Av. Mariscal Castilla N° 3950 - El Tambo - Huancayo - Junín (Frente a la 1ra Puerta de la U.N.C.P.) Telf. 064 - 253727 Cel. 992875960 - 964483368 - 96448360015
 Para verificar la autenticidad del informe puede comunicarse a: grupocentauroringenieros@gmail.com



Inscrito en el Registro de Marcas y Servicio de INDECOPI con CERTIFICADO Nº 00114425 con Resolución Nº 007184-2019-/DSD-INDECOPI

EXPEDIENTE N°
PETICIONARIO
ATENCIÓN
PROYECTO
UBICACIÓN
FECHA DE RECEPCIÓN
FECHA DE EMISIÓN

: 1036-2021-AC
: BACH. ANDERSON RIGORINDIO HUAMÁN FÉREZ
: BACH. ANDERSON RIGORINDIO HUAMÁN FÉREZ
: "APLICACIÓN DE FIBRAS DE GLANDIA ARGENTIFOLIA EN EL DISEÑO DE PAVIMENTOS RÍGIDOS"
: AV. PIONEEROS, ENTRE LOS TRAMOS AV. PERÚ, JR. HANZA ARGUEDAS - DISTRITO Y PROVINCIA DE CHIMBAMAYO - JUNÍN,
: 28 DE JUNIO DEL 2021
: 09 DE JULIO DEL 2021

LABORATORIO DE ENSAYO DE MATERIALES CENTAURO INGENIEROS
LABORATORIO DE AGREGADOS Y CONCRETO
INFORME

Informe de ensayo con valor oficial

INFORME DE ENSAYO (PÁG. 01 DE 04)

USUARIO:
Destinado a la Cooperación de Espectáculos Culturales de Concreto.

MÉTODO:
ASTM C496/C496M-20 Standard Test Method for Compressive Strength of Cylindrical Concrete Specimens.

MUESTRA	CÓDIGO DE TRABAJO	ESTRUCTURA DE PROBABILIDAD	TIPO DE MUESTRA	FECHA DE MUESTRO	FECHA DE ROTURA	EDAD	DIÁMETRO ESPESOR PROBABIO (mm)	ÁREA DE EFECTIVA ESPESOR (mm²)	ÁREA DE LA SECCIÓN TRANSVERSAL (mm²)	CARGA MÁXIMA DE ESPECIMEN (kN)	RESISTENCIA DE ESPECIMEN (MPa)	RESISTENCIA DE ESPECIMEN (kg/cm²)	RESISTENCIA DE DISEÑO (kg/cm²)	% RES. RES.	TIPO DE FRACTURA	DEFECTOS
PP-7	E-105-2021	ELABORACIÓN DE ESPECIMEN EN EL LABORATORIO CON ADICIÓN DE 1.5%	PROBETA DE CONCRETO CILINDRICA	24/06/2021	04/07/2021	14	100.22	203.62	897.11	197.26	21.1	211.1	210	100%	TIPO 5	NO
PP-8	E-105-2021	ELABORACIÓN DE ESPECIMEN EN EL LABORATORIO CON ADICIÓN DE 1.5%	PROBETA DE CONCRETO CILINDRICA	24/06/2021	04/07/2021	14	100.40	203.56	8207.70	173.07	22.0	230.2	210	95%	TIPO 5	NO
PP-9	E-105-2021	ELABORACIÓN DE ESPECIMEN EN EL LABORATORIO CON ADICIÓN DE 1.5%	PROBETA DE CONCRETO CILINDRICA	24/06/2021	04/07/2021	14	102.33	204.25	8109.232	227.24	26.6	269.3	210	138%	TIPO 3	NO

TIPO DE FRACTURA:

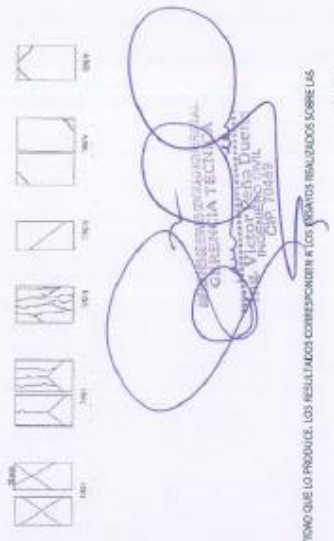
- TIPO 1 : Corrosión severa, bien formada, en ambas bases, menos de 25mm de grietas en caras.
- TIPO 2 : Grietas superficiales, en ambas bases, desplazamiento de grietas variables a través de la cabeza, como no bien delimitado en la cara base.
- TIPO 3 : Grietas verticales, en ambas bases, desplazamiento de grietas variables a través de la cabeza, como no bien delimitado en la cara base.
- TIPO 4 : Fractura diagonal sin grietas en las bases, grietas con martillo para diferenciar del tipo 1.
- TIPO 5 : Fracturas de lado en las bases (desplazamiento o inclinación) ocurren consumiendo con las caras de entablado.
- TIPO 6 : Starburst tipo 5 pero el terminal del cilindro no es abastado.

CT	Contado	
CP	Cajón	
CPV	Capas	
AN	Interrupción de ensayo	X

NOTA ALTERNATIVA: UNA MUESTRA DE CONCRETO DE ACUERDO AL REGLAMENTO NACIONAL DE CONSTRUCCIÓN LA CONSTRUCCIÓN DE PROBETA PARA CADA SÓLO Y CALDO DE CONCRETO

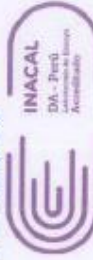
DATOS:
FECHA DE ENSAYO : 2021.07.08
TEMPERATURA AMBIENTE : 15.9°C
HUMEDAD RELATIVA : 36%
ÁREA DONDE SE REALIZÓ EL ENSAYO

OBSERVACIONES: MUESTRO REALIZADO POR EL PERSONAL DE LABORATORIO.
* LOS DATOS PROPORCIONADOS POR EL PETICIONARIO SON LOS SIGUIENTES: PETICIONARIO, ATENCIÓN, NOMBRE DEL PROYECTO, UBICACIÓN, RESISTENCIA DE DISEÑO.
EL PRESENTE DOCUMENTO NO DEBE REPRODUCIRSE SIN AUTORIZACIÓN SOBORA DEL LABORATORIO, SALVO QUE LA REPRODUCCIÓN SEA EN SU TOTALIDAD.
LOS DATOS PROPORCIONADOS POR EL PETICIONARIO NO DEBE SER UTILIZADOS COMO UNA CONFIRMACIÓN DE CONFORMIDAD CON NINGUNA DE PRODUCTOS O COMO IDENTIFICADO DEL SISTEMA DE CALIDAD DE LA ENTIDAD QUE LO PRODUCE. LOS RESULTADOS CORRESPONDEN A LOS MUESTROS REALIZADOS SOBRE LAS MUESTRAS INDICADAS EN ESTE INFORME.
INACAL DA - Perú. JUN/21. FECH: 2021/07/08



[Handwritten signature]
ING. ANDERSON RIGORINDIO HUAMÁN FÉREZ
C.E. INGENIERO EN INGENIERÍA CIVIL
C.E. INGENIERO EN INGENIERÍA DE MATERIALES

Fin de Página



Inscrito en el Registro de Marcas y Servicio de INDECOPI con Resolución Nº 007184-2019-/DSO-INDECOPI

Inscrito Nº LE-141

Informe de ensayo con valor oficial

EXPEDIENTE N°
PETICIONARIO
ATENCIÓN
PROYECTO
UBICACIÓN
FECHA DE RECEPCIÓN
FECHA DE EMISIÓN

: 1197-2021-AC
: BACH. ANDERSON HORDENITO HUAMAN RÍEZ
: BACH. ANDERSON HORDENITO HUAMAN RÍEZ
: APLICACIÓN DE FIBRAS DE GUANCA ANGIUSTIFOLIA EN EL DISEÑO DE PAVIMENTOS RÍCIDOS*
: AV. PIONEEROS, ENTRE LOS TUMBOS AV. PERU, JR. MARÍA ARGUEDAS – DISTRITO Y PROVINCIA DE CHANCHAMAYO - JUNÍN.
: 28 DE JUNIO DEL 2021
: 23 DE JULIO DEL 2021

LABORATORIO DE ENSAYO DE MATERIALES CENTAURO INGENIEROS
LABORATORIO DE AGRIEGADOS Y CONCRETO
INFORME

RESUMEN DE ENSAYO (PÁG. 01 DE 01)

DISCIVO:
Resistencia a la Compresión de Especímenes Cilíndricos de Concreto.

MÉTODOS:
R7M D50/C7M-C-20: Standard Test Method for Compressive Strength of Cylindrical Concrete Specimens.

MAESTRÍA	COMANDO DE TRABAJO	EXTRACTORA DE PROCEDECENCIA	TIPO DE MUESTRA	FECHA DE MOLEADO	FECHA DE ROTURA	EDAD	DIÁMETRO ESPESIMEN PROMEDIO (mm)	ALTIMA DE ESPESIMEN (mm)	ÁREA DE LA SECCIÓN TRANSVERSAL (cm²)	CARGA MÁXIMA (kN)	CARGA MÁXIMA (MPa)	RESISTENCIA DE ESPESIMEN (MPa)	RESISTENCIA DE ESPESIMEN (MPa/cm²)	RESISTENCIA DE DISEÑO (MPa/cm²)	% RESC.	TIPO DE FRACTURA	DEFECTOS
PP-10	E-150-2021	ELABORACIÓN DE ESPESIMEN EN EL LABORATORIO CON ADICIÓN DE 1.5% CLAUDRACAS	PROBETAS DE CONCRETO CILÍNDRICAS	24/06/2021	24/07/2021	28	102.26	204.18	2078.36	263.39	31.0	305.3	305.3	330	1.60%	TIPO 3	NO
PP-11	E-150-2021	ELABORACIÓN DE ESPESIMEN EN EL LABORATORIO CON ADICIÓN DE 1.5% CLAUDRACAS	PROBETAS DE CONCRETO CILÍNDRICAS	24/06/2021	24/07/2021	28	103.82	205.98	2032.38	236.72	23.4	205.9	205.9	330	1.48%	TIPO 3	NO
PP-12	E-150-2021	ELABORACIÓN DE ESPESIMEN EN EL LABORATORIO CON ADICIÓN DE 1.5% CLAUDRACAS	PROBETAS DE CONCRETO CILÍNDRICAS	24/06/2021	24/07/2021	28	103.19	205.00	2009.95	249.02	31.7	337.0	337.0	330	2.15%	TIPO 3	NO

TPO US Y PLANI (UM)

- TPO 1 : Concreto raramente bien formado, en áreas bajas, menos de 25mm de grietas en vigas.
- TPO 2 : Concreto bien formado sobre una base, desplazamiento de grietas verticales a través de las capas, como no haber definido en la otra lista.
- TPO 3 : Concreto raramente bien formado en áreas bajas.
- TPO 4 : Concreto raramente bien formado en áreas bajas, como no haber definido en la otra lista.
- TPO 5 : Concreto raramente bien formado en áreas bajas, como no haber definido en la otra lista.
- TPO 6 : Similar al tipo 5 pero el terminal del cilindro es cortado.

--	--	--	--	--	--	--	--	--	--	--	--	--	--	--	--	--	--

CP : Controlado
CSP : Controlado
AI : Aislamiento de masas

NOTA ILUSTRATIVA: UNA MUESTRA DE CONCRETO DE ACUERDO AL REGLAMENTO NACIONAL DE CONSTRUCCIÓN LA CONSTITUYEN DOS PROBETAS, PARA CADA EDAD Y CALIDAD DE CONCRETO

FECHA DE ENSAYO : 03/07/21
TEMPERATURA AMBIENTE : 14.80°
HUMEDAD RELATIVA : 62%

ÁREA DONDE SE REALIZÓ EL ENSAYO : ÁREA DE ENSAYOS ESPECIALES
OBSERVACIONES MÁS SIGNIFICATIVAS REALIZADAS POR EL PERSONAL DE LABORATORIO

* LOS DATOS PROPORCIONADOS POR EL PETICIONARIO SON LOS MÍNIMOS PERMITIDOS POR EL REGLAMENTO NACIONAL DE CONSTRUCCIÓN EN LA SECCIÓN DE MATERIALES DE CONCRETO.

EL PRESENTE DOCUMENTO NO DEBERÁ REPRODUCIRSE SIN AUTORIZACIÓN EXPRESA DEL LABORATORIO, SALVO QUE LA REPRODUCCIÓN SEA PARA SU TOTAL USO.

LOS RESULTADOS DE LOS ENSAYOS NO DEBEN SER UTILIZADOS COMO UNA CERTIFICACIÓN DE CONFORMIDAD CON NORMAS DE PRODUCTOS O COMO CERTIFICADO DEL SISTEMA DE CALIDAD DE LA ENTIDAD QUE NO PRODUCE LOS RESULTADOS, SINO QUE DEBE SER UTILIZADO COMO UN INFORME TÉCNICO QUE SE ENFOCA EN LOS RESULTADOS OBTENIDOS EN LOS ENSAYOS REALIZADOS SOBRE LAS MUESTRAS PROPORCIONADAS POR EL CLIENTE AL LABORATORIO DE MECÁNICA DE SUELOS, CONCRETO Y PAVIMENTOS.

HC-AC-007 REV.01: RECHA 20/04/20



INACAL DA - Perú
LABORATORIO DE MECÁNICA DE SUELOS, CONCRETO Y PAVIMENTOS CENTAURO INGENIEROS
GECENSA TECH
ING. GONZALO CASTILLA
ING. ANDERSON HORDENITO HUAMAN RÍEZ

Email: grupocentauroringenieros@gmail.com Web: <http://centauroringenieros.com/> Facebook: [centauroringenieros](https://www.facebook.com/centauroringenieros)
Av. Mariscal Castilla Nº 3050 - El Tambo - Huancayo - Junín (Frente a la fra Puerta de la U.N.C.P.) Telf. 064 - 253727 Cel. 982875880 - 984483588 - 964968015
Para verificar la autenticidad del informe puede comunicarse a: grupocentauroringenieros@gmail.com

Anexo 08: Resultados de Resistencia a Flexotracción del concreto.

Anexo 09: Certificados de Calibración de Equipos de Laboratorio.



Certificado de Calibración - Laboratorio de Fuerza

Calibration Certificate - Laboratory of Force

F-22366-001 R1

Page / Pág. 1 de 5

Equipo <i>Instrument</i>	MAQUINA SEMIAUTOMÁTICA DIGITAL PARA ENSAYOS MARSHALL Y CBR
Fabricante <i>Manufacturer</i>	PINZUAR S.A.S.
Modelo <i>Model</i>	PS - 25 M
Número de Serie <i>Serial Number</i>	150
Identificación Interna <i>Internal Identification</i>	E-GT-117
Capacidad Máxima <i>Maximum Capacity</i>	50 kN
Solicitante <i>Customer</i>	INVERSIONES GENERALES CENTAURO INGENIEROS S.A.C.
Dirección <i>Address</i>	AV. MARISCAL CASTILLA N° 3950 JUNIN - HUANCAYO - EL TAMBO
Ciudad <i>City</i>	HUANCAYO
Fecha de Calibración <i>Date of calibration</i>	2020 - 12 - 06
Fecha de Emisión <i>Date of issue</i>	2020 - 12 - 23

Los resultados emitidos en este certificado se refieren al momento y condiciones en que se realizaron las mediciones. Dichos resultados solo corresponden al ítem que se relaciona en esta página. El laboratorio que lo emite no se responsabiliza de los perjuicios que puedan derivarse del uso inadecuado de los instrumentos y/o de la información suministrada por el solicitante.

Este certificado de calibración documenta y asegura la trazabilidad a patrones nacionales e internacionales, que reproducen las unidades de medida de acuerdo con el Sistema Internacional de Unidades (SI).

El usuario es responsable de la calibración de los instrumentos en apropiados intervalos de tiempo.

The results issued in this certificate relates to the time and conditions under which the measurements. These results correspond to the item that relates on page number one. The laboratory, which will not be liable for any damages that may arise from the improper use of the instruments and/or the information provided by the customer.

This calibration certificate documents and ensures the traceability to national and international standards, which realize the units of measurement according to the International System of Units (SI).

The user is responsible for recalibrating the measuring instruments at appropriate time intervals.

Número de páginas del certificado, incluyendo anexos
Number of pages of the certificate and documents attached

05

Sin la aprobación del Laboratorio de Metrología Pinzuar no se puede reproducir el informe, excepto cuando se reproduce en su totalidad, ya que proporciona la seguridad que las partes del certificado no se sacan de contexto. Los certificados de calibración sin firma no son válidos.

Without the approval of the Pinzuar Metrology Laboratory, the report can not be reproduced, except when it is reproduced in its entirety, since it provides the security that the parts of the certificate are not taken out of context. Unsigned calibration certificates are not valid.

Firmas Autorizadas

Authorized Signature

Ing. Sergio Iván Martínez
Director Laboratorio de Metrología

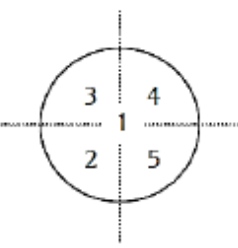
Ing. Miguel Andrés Vela Avellaneda
Métrologo Laboratorio de Metrología

IMPRESIÓN

ALTA TECNOLOGÍA CON CALIDAD HUMANA AL SERVICIO DEL MUNDO

Laboratorio de Metrología: Cl 18 #1038-72 | PBX: 57 (1) 746 4556 - 3174233640 | labmetrologia@pinzuar.com.co | WWW.PINZUAR.COM.CO

CERTIFICADO DE CALIBRACIÓN No: CCP-0155-021-21

							
IDENTIFICACIÓN DEL CLIENTE							
NOMBRE:	INVERSIONES GENERALES CENTAURO INGENIEROS S.A.C.						
DIRECCIÓN:	CAR. CENTRAL NRO 3950 INT. A JUNIN HUANGAYO EL TAMBO						
TELÉFONO:	992 875 860						
PERSONA(S) DE CONTACTO:	VÍCTOR PEÑA DUEÑAS						
IDENTIFICACIÓN DEL ÍTEM DE CALIBRACIÓN							
ITEM:	BALANZA DE PRECISIÓN	UNIDAD DE MEDIDA:	Gramos (g)				
MARCA:	ACZET	DIVISIÓN DE ESCALA REAL (d):	0,01				
MODELO:	CZ602	DIVISIÓN DE ESCALA DE VERIFICACIÓN (e):	0,01				
SERIE:	02322008025	CAPACIDAD MÁXIMA (Mx):	600				
CÓDIGO :	E-GT-1392	CAPACIDAD MÍNIMA (Min):	0,2				
CLASE:	(III) MEDIA	COEFICIENTE DE TEMPERATURA (K _T):	0,0000100 / °C				
UBICACIÓN:	SUELOS Y PAVIMENTOS						
EQUIPAMIENTO UTILIZADO							
CÓDIGO	NOMBRE	MARCA	MODELO	SERIE	VENCE CAL.	Nº CERTIFICADO	
ELP.PT.004	JUEGO DE PESAS (F1)	HAFNER	F1	9651015	2021-06-23	CC-1930-004-20	
ELP.PT.078	BARÓMETRO	CONTROL COMPANY	6530	192445037	2021-08-30	6530-10674025	
ELP.PT.056	TERMOHIGRÓMETRO	ELC	TH-0510	NO ESPECIFICA	2021-08-10	CCP-0104-045-20	
DECLARACIÓN DE TRAZABILIDAD METROLÓGICA							
Los resultados de calibración contenidos en este certificado son trazables al Sistema Internacional de Unidades (SI) por medio de una cadena ininterrumpida de calibraciones a través del PTB (Physikalisch-Technische Bundesanstalt - Alemania) o de otros institutos Nacionales de Metrología (INMs).							
CALIBRACIÓN							
MÉTODO:	COMPARACIÓN DIRECTA CON MASAS PATRÓN CERTIFICADAS						
DOCUMENTO DE REFERENCIA::	EURAMET CALIBRATION GUIDE No. 18 - VERSION 4.0 (11/2015)						
PROCEDIMIENTO:	PEC.ELP.01						
LUGAR DE CALIBRACIÓN:	SUELOS Y PAVIMENTOS						
TEMPERATURA AMBIENTAL MEDIA:	19,2 °C	±0,1 °C					
HUMEDAD RELATIVA MEDIA:	45,3 %HR	±0,9 %HR					
PRESIÓN ATMOSFÉRICA MEDIA:	690 hPa	±0 hPa					
DENSIDAD MEDIA DEL AIRE:	0,822 kg/m ³	±0,001 kg/m ³					
PRUEBA DE EXCENTRICIDAD				PRUEBA DE REPETIBILIDAD			
Posición	Indicación			emp	± 0,03 g	No. Pesada	Indicación
No. 1	200,00 g			ΔI_{acc}	Cumplimiento	No. 1	500,00 g
No. 2	200,00 g			0,00 g	Cumple	No. 2	500,00 g
No. 3	200,00 g			0,00 g	Cumple	No. 3	500,00 g
No. 4	200,00 g			0,00 g	Cumple	No. 4	500,00 g
No. 5	200,00 g	0,00 g	Cumple	No. 5	500,00 g		
	$ \Delta I_{acc} _{max}$	0,00 g		emp	± 0,03 g		
				Máx - Mín	0,00 g		
				Cumplimiento	Cumple		
PRUEBA DE ERRORES DE INDICACIÓN (PRUEBA DE PESAJES)							
Nominal	Lectura ítem	Valor Patrón	Error de Medición	Incertidumbre	Factor de Cobertura (k)	emp	Cumplimiento
[g]	[g]	[g]	[g]	[g]		[+/-] g	
0	0,00	0,0000	0,0000	0,0058	2,00	0,01	Cumple
0,5	0,50	0,5000	0,0000	0,0082	2,00	0,01	Cumple
120	120,00	120,0000	0,0000	0,0082	2,00	0,03	Cumple
180	180,00	180,0000	0,0000	0,0082	2,00	0,03	Cumple
240	240,00	240,0000	0,0000	0,0082	2,00	0,03	Cumple
300	300,00	300,0000	0,0000	0,0082	2,00	0,03	Cumple
360	360,00	360,0000	0,0000	0,0082	2,00	0,03	Cumple
420	420,00	420,0000	0,0000	0,0082	2,00	0,03	Cumple
480	480,00	480,0000	0,0000	0,0083	2,00	0,03	Cumple
540	540,00	540,0000	0,0000	0,0083	2,00	0,03	Cumple
600	600,00	600,0000	0,0000	0,0083	2,00	0,03	Cumple

CERTIFICADO DE CALIBRACIÓN

TC-15695-2021

PROFORMA : 5784A Fecha de emisión : 2021 - 09 - 27 Página : 1 de 2

1. SOLICITANTE : JJ GEOTECNIA S.A.C.
DIRECCIÓN : Av. A Mza. 48 Lote. 17 Asc. Armando Villanueva Lima - Lima - Los Olivos

2. INSTRUMENTO DE MEDICIÓN : PRESNA DE CONCRETO
 Marca : ELE INTERNATIONAL Capacidad Máxima : 120000 kgf
 Modelo : ADR TOUCH HEAD División de Escala, d : 0,1 kgf
 N° Serie : 1887-1-00074 Procedencia : USA
 Código de Ident. : NO INDICA Ubicación : LABORATORIO

3.- FECHA Y LUGAR DE MEDICIÓN.

La calibración se realizó el día 21 de setiembre del 2021 en las instalaciones de JJ GEOTECNIA S.A.C.

4. MÉTODO.

La calibración se efectuó por comparación directa tomando como referencia la norma ISO 7500-1 Calibration and verification of testing machines

5. TRAZABILIDAD.

Trazabilidad	Patrón de Trabajo	CERTIFICADO DE CALIBRACION
Patrón de Referencia AEP Transducers	Celda de Carga CLFLEX 3MN 3000 kN	12821 C - 2021

6. CONDICIONES AMBIENTALES.

MAGNITUD	INICIAL	FINAL
TEMPERATURA	21,5 °C	21,9 °C
HUMEDAD RELATIVA	70,0 %	71,0 %

7. OBSERVACIONES.

Los resultados de las mediciones efectuadas se muestran en la página 02 del presente documento.

La incertidumbre de la medición se determinó con un factor de cobertura $k=2$, para un nivel de confianza de 95%.

Con fines de identificación se colocó una etiqueta autoadhesiva con el número de certificado.

Verificar la Indicación de cero del Instrumento antes de cada medición.



Lic. Nicolás Ramos Paucar
Gerente Técnico
CFP:0316



Certificado N° : TC-15695-2021
Página : 2 de 2

RESULTADOS							
INDICACIÓN DEL EQUIPO BAJO CALIBRACIÓN		INDICACION PROMEDIO DEL PATRON		ERROR		INCERTIDUMBRE	
(%)	kgf	(%)	kgf	(%)	kgf	(%)	kgf
0,0	0,0	0	0,0	0,00	0,0	0,000	0,00
4,2	5000,0	4,2	5003,4	0,00	-3,4	0,000	0,51
8,3	10000,0	8,3	10007,8	-0,01	-7,8	0,000	0,57
16,7	20000,0	16,7	20013,1	-0,01	-13,1	0,000	0,60
41,7	50000,0	41,7	50015,2	-0,01	-15,2	0,001	0,62
50,0	60000,0	50,0	60017,9	-0,01	-17,9	0,001	0,64
58,3	70000,0	58,3	70018,5	-0,02	-18,5	0,001	0,66
66,7	80000,0	66,7	80020,5	-0,02	-20,5	0,001	0,70
75,0	90000,0	75,0	90019,7	-0,02	-19,7	0,001	0,80

Valor Convencionalmente Verdadero = Indicación del Equipo a calibrar - error

OBSERVACIONES

Con fines de identificación de la calibración se colocó una etiqueta autoadhesiva con el número de certificado.

INCERTIDUMBRE

La incertidumbre expandida de medida se ha obtenido multiplicando la incertidumbre típica de medición por el factor de cobertura $k=2$ que, para una distribución normal, corresponde a una probabilidad de cobertura de aproximadamente el 95%.

FIN DEL DOCUMENTO

Anexo 10: Plano de Estación de Conteo vehicular.



		UNIVERSIDAD PERUANA LOS ANDES	
		<small>ESCUELA ACADÉMICO PROFESIONAL DE INGENIERÍA CIVIL</small>	
TESIS:	"APLICACIÓN DE FIBRAS DE GUADUA ANGUSTIFOLIA EN EL DISEÑO DE PAVIMENTOS RÍGIDOS"		
PLANO:	PLANO DE UBICACIÓN Y LOCALIZACIÓN DE ESTACIÓN DE CONTEO VEHICULAR.		
PROFESIONAL:	BACH. HUAMÁN PÉREZ ANDERSON		LAMINA:
ESCALA:	1/1500	FECHA:	Noviembre - 2021
			01

Anexo 11: Instrumento de Recolección de Datos.



**LABORATORIO DE MECÁNICA DE SUELOS, CONCRETO Y PAVIMENTOS CENTAURO
INGENIEROS S.A.C.**



TEMPERATURA AMBIENTE: _____
HUMEDAD RELATIVA: _____

ENSAYO DE ROTURA DE ESPÉCIMEN CILÍNDRICAS DE CONCRETO

CÓDIGO DEL PROYECTO: _____ NOMBRE Y APELLIDO DEL OPERADOR: _____

N°	DESCRIPCIÓN	Nº. De Ensayo	F°C	FECHA DE VACUNDO	HORA DE VACUNDO	RESISTENCIA (COMPR. O TR.)	RESERVA (RESERVA O NO)	CT, OP, CAP*	DIM 1 (mm)	DIM 2 (mm)	ALTURAS (mm) aproximadas G.O.			A C R*	CAR. GA MÁX. MA (KN)	ESFUERZO (MPa) aproximación 0.1	TIPO DE FALLA	W	W _s
											h1	h2	h3						
1																			
2																			
3																			
4																			
5																			
6																			
7																			
8																			
9																			
10																			
11																			

FECHA DE ROTURA DE ESPÉCIMEN : _____

HORA DE ROTURA DE ESPÉCIMEN: _____

ESQUEMA

TIPO I Conos razonablemente bien formados, en ambas bases, menos de 25 mm de grietas entre capas.
TIPO II Conos bien formados sobre una base, desplazamiento de grietas verticales a través de los capos, como no bien definido en la otra base.
TIPO III Grietas verticales columnares en ambas bases, cono no bien formado.
TIPO IV Fractura diagonal en grietas en las bases; golpear con martillo para diferenciar al TIPO I.
TIPO V Fracturas de bajo en las bases (superior e inferior) ocurren comúnmente con los capos de empujados.
TIPO VI Similar al tipo V pero al terminal del cilindro es acentuado.

FIRMA JEFE DE LABORATORIO/ GERENCIA TÉCNICA

FIRMA DE ANALISTA

F-AC-004-REV.05
2021/04/23

*CT=CORTADO, OP=CAPADO, AL=ALMOHADILLA, W=PESO SUPERFICIALEMENTE SECA, W_s=MASA APARENTE DEL ESPÉCIMEN SUMERGIDO, A = ACEPTA Y R = RECHAZA

Anexo 12: Panel Fotográfico.

A. Guadua Angustifolia:



Fotografía 1: Fundo Bamboo Park, para obtención de la Especie de Guadua Angustifolia.



Fotografía 2: Fundo Bamboo Park, Especie de Guadua Angustifolia.



Fotografía 3: Proceso de Corte de la Especie de Guadua Angustifolia de Edad de 4 Años.



Fotografía 4: Obtención de la Guadua Angustifolia con Edad de 4 Años.



Fotografía 5: Proceso de secado de las fibras de Guadua Angustifolia, por 48 Horas.



Fotografía 6: Impermeabilización de fibras de Guadua Angustifolia, por 24 Horas.



Fotografía 7: Secado de fibras de Guadua Angustifolia, por 24 Horas, luego de ser impermeabilizados, de dimensiones 2mm x 2mm x 5cm.



Fotografía 8: Obtención de fibras de Guadua Angustifolia, de dimensiones 2mm x 2mm x 5cm.

B. Agregados:



Fotografía 9: Embolsado de Agregado Grueso a Solicitud del Laboratorio, de la Cantera Kimiri Chanchamayo.



Fotografía 10: Embolsado de Agregado Fino a Solicitud del Laboratorio, de la Cantera Kimiri Chanchamayo.

C. Calicata:



Fotografía 11: Calicata para el Estudio y Ensayo de Mecánica de Suelos.



Fotografía 12: Calicata para el Estudio y Ensayo de Mecánica de Suelos, ubicado en la Av. Daniel Alcides Carrión intersección con la Av. Pioneros.

D. Estudio de Tráfico Vial:

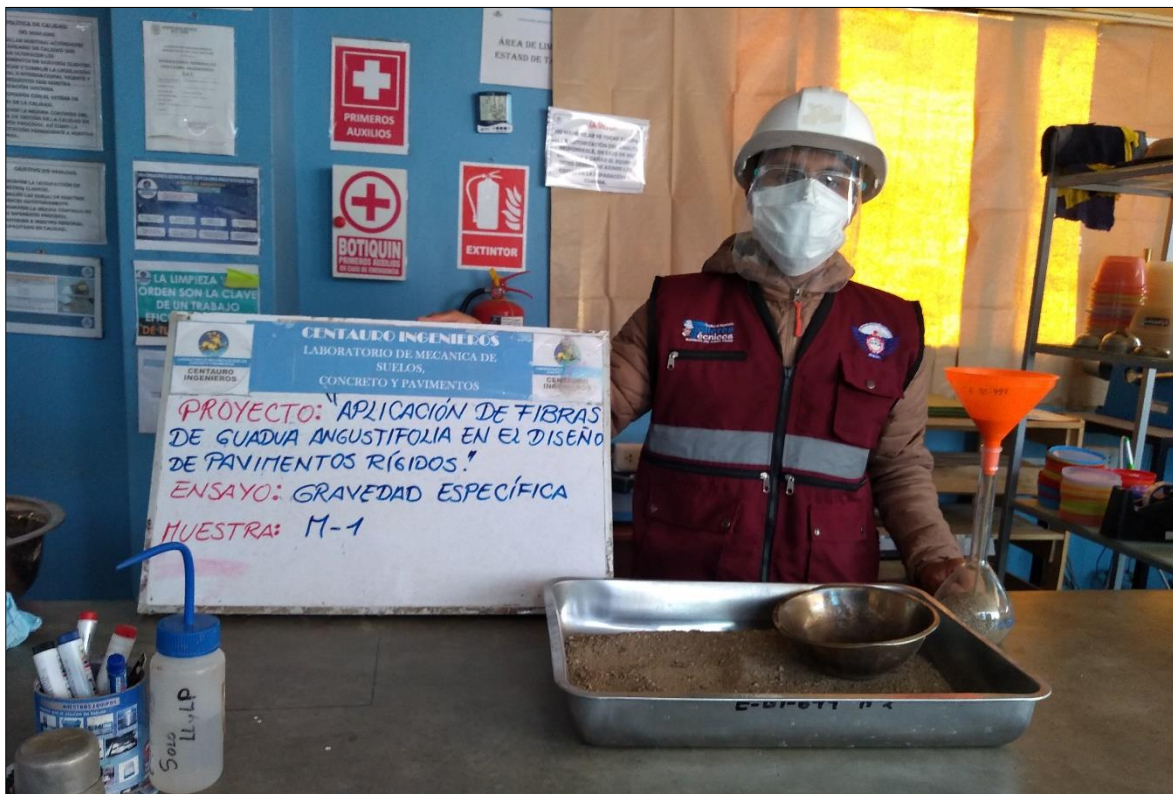


Fotografía 13: Conteo Vehicular en la Av. Pioneros intersección con la Av. Fray Deuniso Ortiz, en la Provincia de Chanchamayo.



Fotografía 14: Vehículos livianos y pesados identificados en la estación de conteo.

E. Ensayos de Laboratorio:



Fotografía 15: Ensayo de Gravedad Específica.



Fotografía 16: Ensayo de Peso Específico.



Fotografía 17: Ensayo de Granulometría.



Fotografía 18: Ensayo de Granulometría.



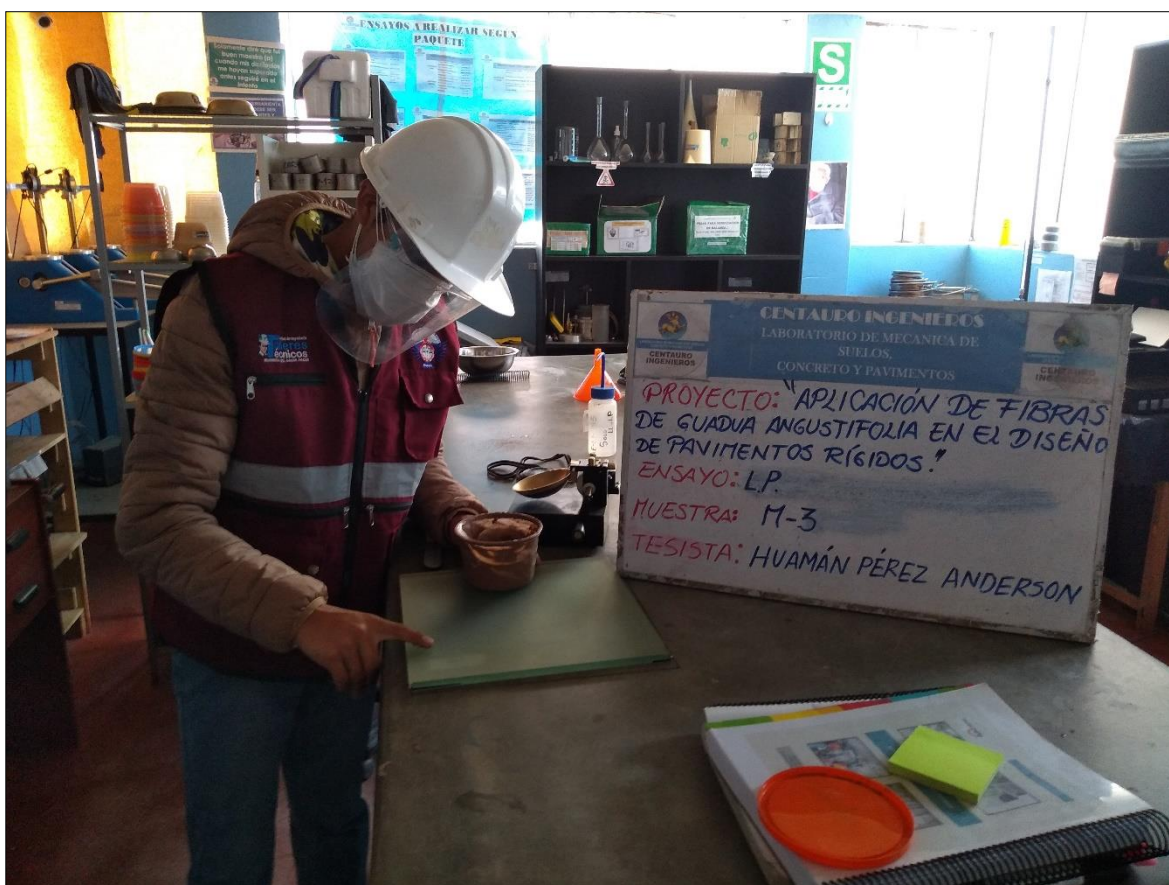
Fotografía 19: Ensayo de Contenido de Humedad.



Fotografía 20: Ensayo de CBR.



Fotografía 21: Ensayo de Límite Líquido.



Fotografía 22: Ensayo de Límite Plástico.



Fotografía 23: Ensayo de Proctor Modificado.



Fotografía 24: Ensayo Puc y Pus.



Fotografía 25: Vaciado de la Muestra Patrón con adición del 1.5% de Fibra de Guadua.



Fotografía 26: Slump de la Muestra Patrón con adición del 1.5% de Fibra de Guadua.



Fotografía 27: Especímenes de Muestra Patrón con adición del 1.5% de Fibra de Guadua.



Fotografía 28: Vaciado de Muestra Patrón con adición del 1.0% de Fibra de Guadua Angustifolia.



Fotografía 29: Slump de la Muestra Patrón con adición del 1.0% de Fibra de Guadua.



Fotografía 30: Especímenes de Muestra Patrón con adición del 1.0% de Fibra de Guadua.



Fotografía 31: Resistencia a Compresión de la Muestra Patrón a la edad de 28 Días.



Fotografía 32: Resistencia a Compresión de la Muestra Patrón con Adición del 1.5% de Fibra, ensayada a la edad de 28 Días.



Fotografía 33: Muestras de Viga Patrón.



Fotografía 33: Muestras Sometidas a Ensayo de Flexotracción (Módulo de Rotura), ensayada a los 28 Días.